

# SELEZIONE 7/8

Copie riservate agli Abbonati

DI TECNICA

## RADIO TV/HIFI ELETTRONICA

LUGLIO/AGOSTO 1982  
L. 3.500

### SPECIALE

### TELECAMERE A COLORI PORTATILI



Spedizione in Abb. Postale Gruppo III/70

### MILLIOMETRO DIGITALE

### IGROMETRO DIGITALE LCD

### VIDEOREGISTRATORE PORTATILE A COLORI

# Il salva tempo

Se vi preoccupate per quanto vi costa il tempo impiegato per eseguire misure e misure, nel vostro lavoro di manutenzione e ricerca elettronica, riflettete su ciò che al riguardo vi può offrire il nuovo oscilloscopio Philips PM 3207: "Il salva tempo".

Schermo grande e di facile lettura, elevata sensibilità di 5 mV su entrambi i canali, somma e differenza, autotriggering con scelta della sorgente e trigger TV e doppio isolamento, cioè spina di alimentazione bipolare.

Banda di 15 MHz sufficiente per esigenze presenti e future.

Aggiungete la tradizionale robustezza, affidabilità e qualità Philips e avrete solo un'ultima domanda:

"Bello! Ma il prezzo?"

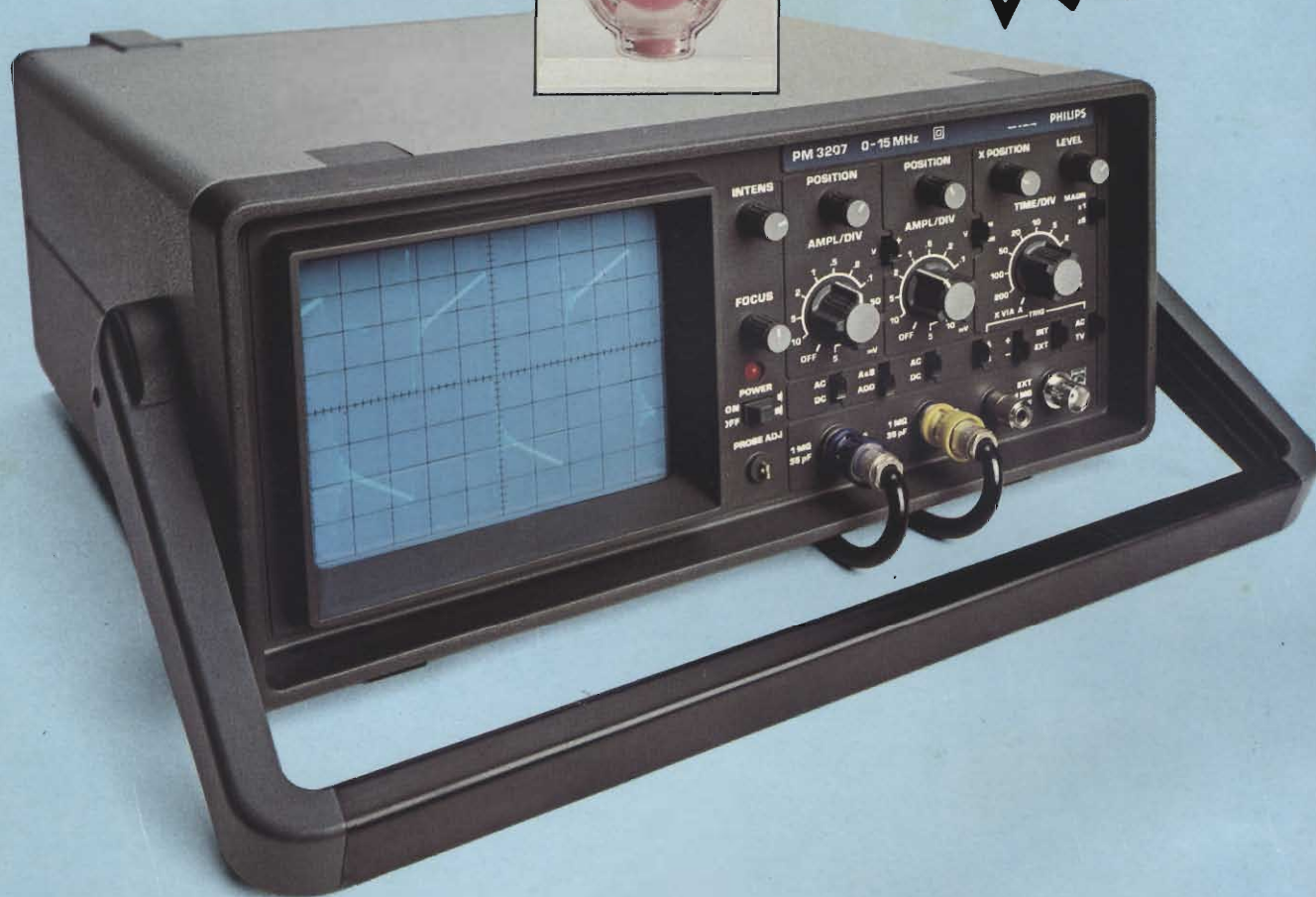
Meno di quanto vi aspettiate.

Una documentazione intitolata "Soltanto dieci minuti del vostro tempo" vi convincerà che il PM 3207 potrà farvi risparmiare tempo e denaro. Telefonateci e ve la invieremo subito.



Philips S.p.A. - Divisione Scienza & Industria  
Viale Elvezia, 2 - 20052 MONZA  
Tel. (039) 36.35.248  
Filiali: BOLOGNA (051) 493.046  
CAGLIARI (070) 666.740  
PADOVA (049) 632.766  
ROMA (06) 382.041  
TORINO (011) 21.64.121  
PALERMO (091) 527.477

**Pronta  
consegna!**



**Test & Measuring  
Instruments**

**PHILIPS**

# Usare il sistema operativo CP/M

## IL LIBRO

Il sistema operativo CP/M è stato progettato per rendere semplice l'uso di un microcomputer. Questo libro vi renderà semplice l'uso del CP/M. (Le versioni esaminate del CP/M sono il CP/M 1.4-il CP/M 2.2. e il nuovo sistema operativo multiutente MP/M) La maggior parte di utenti di microcomputer dovrà, infatti, un giorno o l'altro, fare ricorso al CP/M, disponibile su quasi tutti i computer basati sui microprocessori 8080 e Z80, come pure su certi sistemi utilizzando il 6502. Il libro, senza presupporre alcuna conoscenza di un calcolatore, inizia con la descrizione, passo-passo delle procedure di inizializzazione del sistema: accensione, inserimento dei dischetti, esecuzione delle più comuni operazioni su file, compresa la duplicazione dei dischetti. Prosegue con il PIP (programma di trasferimento dei file), il DDT (programma di messa a punto) e ED (programma editor). Per entrare sempre più, fornendo numerosi consigli pratici, all'interno del CP/M e delle sue operazioni, al fine di comprenderne appieno le risorse ed eventualmente dare gli strumenti per successive modifiche.

## SOMMARIO

Introduzione al CP/M e all'MP/M-Le caratteristiche del CP/M e dell'MP/M-Gestione dei file con PIP-L'uso dell'editor-Dentro al CP/M e all'MP/M-Guida di riferimento ai comandi e ai programmi del CP/M e dell'MP/M-Consigli pratici-Il futuro-messaggi comuni di errore-tabella di controllo di ED-nomi dei dispositivi di PIP-riassunti dei comandi-parole chiave di PIP-parametri di PIP-tasti di controllo per la digitazione dei comandi-tipi di estensione-lista dei materiali-organizzazione della stanza del calcolatore-verifiche in caso di errore-regole di base per la localizzazione dei guasti.

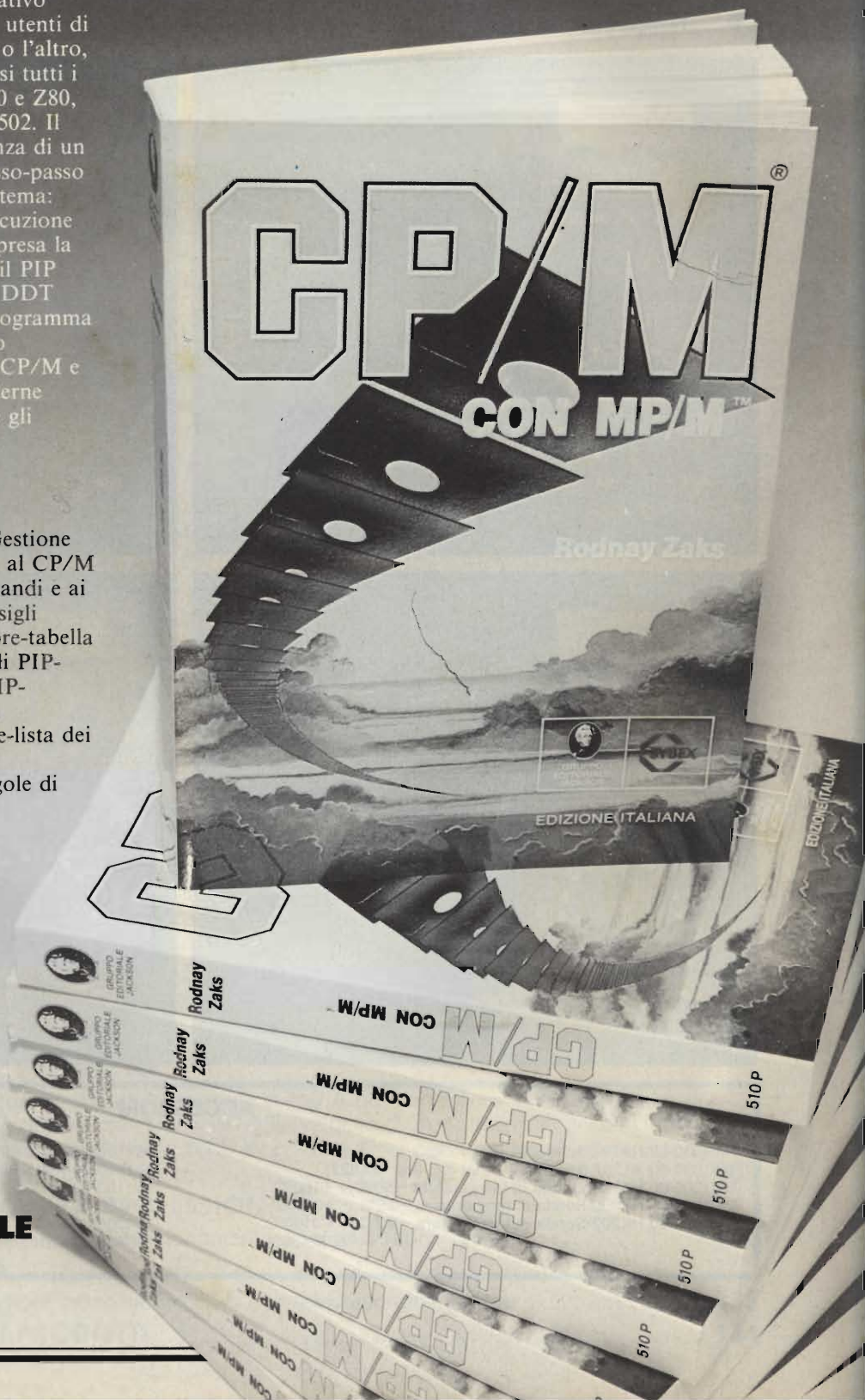
Pagg. 320 Cod. 510P

L.22.000 (Abb. L.19.800)

Per ordinare il volume  
utilizzare l'apposito tagliando  
inserito in fondo alla rivista.



**GRUPPO EDITORIALE  
JACKSON**  
**Divisione Libri**



# MULTIMETRI DIGITALI

metrix

L'esecuzione compatta e il moderno design favoriscono una efficace maneggevolezza di questa nuova serie di strumenti ad alta precisione.

L'uso è facilitato dalla particolare disposizione dei selettori delle funzioni a pulsante e del commutatore centrale rotativo.

Grazie agli LCD e ad un nuovo convertitore analogico/digitale e consumo ridottissimo, gli strumenti hanno una lunga autonomia d'esercizio.

Polarità automatica. Segnalazione luminosa BAT se l'autonomia è inferiore a 5 ore.

Temperatura di funzionamento: 0-50°C - Dimensioni: 188x86x50 - Peso: 0,4 kg



**TM/0522-00**

**MX 522**

- Display: 3½ cifre a cristalli liquidi (2000 punti)
- Altezza della cifra: 12,7 mm
- Precisione: 0,5%
- 6 funzioni - 22 portate
- Impedenza d'ingresso: 2 MΩ (c.c./c.a.)
- Autonomia: 1500 ore



**TM/0562-00**

**MX 562**

- Display: 3½ cifre a cristalli liquidi (2000 punti)
- Altezza della cifra: 12,7 mm
- Precisione: 0,2%
- 6 funzioni - 25 portate
- Impedenza d'ingresso: 10 MΩ (c.c./c.a.)
- Autonomia: 2000 ore



**TM/0563-00**

**MX 563**

- Display: 3½ cifre a cristalli liquidi (2000 punti)
- Altezza della cifra: 12,7 mm
- Precisione: 0,1%
- 9 funzioni - 32 portate
- Misura delle temperature: -20 +1200°C con sonda a termocoppia - Risoluzione: 1°C
- Misura in dB: -20 +40 dB
- Risoluzione: 0,1 dB
- Autonomia: 1000 ore



**TM/0575-00**

**MX 575**

- Display: 4½ cifre a cristalli liquidi (20.000 punti)
- Altezza della cifra: 10 mm
- Precisione: 0,05%
- 7 funzioni - 24 portate
- Frequenzimetro su due gamme: 10 kHz e 50 kHz
- Autonomia: 150 ore

## ACCESSORI

TM/1030-02 HA794 Sonda HT 30 kV c.c.  
 TM/1030-00 HT207 Sonda HT 30 kV c.c. (Per MX522)  
 TM/1200-00 HA1159 Sonda di temperatura -50°C ÷ +150°C  
 TM/1210-00 HK200 Sonda di temperatura -25°C ÷ +350°C  
 TM/1220-00 HK202 Sonda di temperatura -20°C ÷ + 1100°C  
 (Per MX563)

TM/1100-00 AM10 Pinza amperometrica 200 A (apertura 15x11 mm)  
 TM/1110-00 AM15 Pinza amperometrica 1000 A (apertura Ø 50 mm)  
 TM/1150-00 HA303 SHUNT c.c. 30 mV - 30 A  
 TM/1160-00 HA300 SHUNT c.c. 30 mV -  
 TM/1300-00 HA902 Sonda (Filtro TV)  
 TM/1400-00 AE182 Borsa di trasporto

DISTRIBUITI DALLA

**G.B.C.**  
italiana

# Sommario

**EDITORE**  
Jacopo Castellfranchi

**DIRETTORE RESPONSABILE**  
Ruben Castellfranchi

**DIRETTORE EDITORIALE**  
Giampietro Zanga

**COMITATO DI DIREZIONE**  
Gianni Brazzoli  
Lodovico Cascianini  
Piero Soati

**COORDINATORE**  
Gianni De Tomasi

**REDAZIONE**  
Sergio Cirimbelli  
Daniele Fumagalli  
Tullio Lacchini

**GRAFICA E IMPAGINAZIONE**  
Bruno Sbrissa  
Giovanni Fratus  
Giancarlo Mandelli

**FOTOGRAFIA**  
Luciano Galeazzi  
Tommaso Merisio

**PROGETTAZIONE ELETTRONICA**  
Angelo Cattaneo  
Filippo Pipitone

**CONTABILITA'**  
Pinuccia Bonini  
Claudia Montù  
M. Grazia Sebastiani

**DIFFUSIONE E ABBONAMENTI**  
Claudio Bautti  
Rosella Cirimbelli  
Patrizia Ghioni

**COLLABORATORI**  
Paolo Bozzola  
Giuseppe Contardi  
Vita Calvaruso  
Renato Fantinato  
Amadio Gozzi  
Sandro Grisostolo  
Stefano Guadagni  
Michele Michelini

**PUBBLICITA'**  
Concessionario per l'Italia e l'Estero  
Reina & C. S.r.l.  
Via Washington, 50 - 20149 Milano  
Tel. (02) 498066/7/8/9/060 (5 linee R. A.)  
Telex 316213 REINA I

Concessionario per USA e Canada:  
International Media  
Marketing 16704 Marquardt  
Avenue P.O. Box 1217 Cerritos,  
CA 90701 (213) 926-9552

**DIREZIONE, REDAZIONE,  
AMMINISTRAZIONE**  
Via dei Lavoratori, 124  
20092 Cinisello Balsamo - Milano  
Tel. (02) 61.72.671 - 61.72.641

**SEDE LEGALE**  
Via V. Monti, 15 - 20123 Milano  
Autorizzazione alla pubblicazione  
Trib. di Monza n. 239 del 17.11.73

**STAMPA**  
Litosole - 20080 Albairate (Milano)

**DIFFUSIONE**  
Concessionario esclusivo  
per l'Italia e l'Estero:  
SODIP - Via Zuretti, 25 - 20125 Milano  
V. Serpieri, 11/5 - 00197 Roma

Spediz. in abbon. post. gruppo III/70

Prezzo della Rivista L. 2.500  
Numero arretrato L. 3.500

Abbonamento annuo L. 30.000  
Per l'estero L. 30.500

I versamenti vanno indirizzati a:  
Jacopo Castellfranchi Editore  
Via dei Lavoratori, 124  
20092 Cinisello Balsamo - Milano  
mediante l'emissione di assegno  
circolare cartolina vaglia o utilizzando  
il c/c postale numero 315275

Per i cambi d'indirizzo allegare  
alla comunicazione l'importo di  
L. 500, anche in francobolli, e indicare  
insieme al nuovo anche il vecchio  
indirizzo.

\* Tutti i diritti di riproduzione e  
traduzione degli articoli pubblicati  
sono riservati.

<b>NEWSLETTER</b> .....	6
<b>PERSONAL COMPUTER</b>	
BMC IF 800 Modello 20 .....	12
<b>VIDEO</b>	
Minitelcamera per studi e ricerche in medicina .....	19
Trinicon: Telecamera a colori semiprofessionale portatile .....	22
Tubo da ripresa a colori con filtri a strisce .....	25
Tubo miniatura per telecamere portatili .....	28
Tubi da ripresa TV: Principio di funzionamento .....	34
Videoregistratore portatile a colori Betamax .....	38
Nuove tecnologie per ridurre le dimensioni dei tubi da ripresa TV .....	41
Minitelvisore con schermo piatto della Sony .....	87
<b>LE BASI</b>	
Effetto "Blooming" e "coda di cometa" .....	43
<b>TELECOMUNICAZIONI</b>	
Progettazione dei circuiti stripline - II parte .....	45
<b>COMPUTER</b>	
Terminale video professionale - II parte .....	50
<b>TV DA SATELLITE</b>	
La ricezione del satellite Meteosat - IV parte .....	54
<b>ELETTRONICA &amp; AUTO</b>	
Stetoscopio elettronico .....	59
Sintonia elettronica AM/FM 8 + 8 canali .....	62
Telefono per auto - II parte .....	66
<b>NUOVE TECNOLOGIE</b>	
La voce elettronica si afferma nel mercato consumer .....	73
Stato dell'arte dei ricevitori televisivi con schermo piatto .....	107
<b>MICROONDE</b>	
Generatori di spettro per calibrazione a microonde .....	77
Diodi per frequenze superiori a 1000 MHz .....	79
Convertitore miscelatore a diodi Schottky .....	86
<b>STRUMENTAZIONE</b>	
Igrometro digitale L.C.D. ....	90
Prescaler VHF-UHF 100 ÷ 1000 MHz .....	93
Milliohmmetro digitale da 3 cifre .....	119
<b>LABORATORIO</b>	
Il condensatore di filtro .....	97
<b>IDEE DI PROGETTO</b>	
Generatore di impulsi di corrente a 150 A per controllare le caratteristiche di dispositivi di potenza - Controllo della velocità di un motore in c.c. - Relé da 100 A che isola segnali fino a 1000 Vc.c. - Due timer per regolare un alimentatore stabilizzato a commutazione .....	103
<b>ELETTRONICA PROFESSIONALE</b>	
... Ancora "RXM2": funzionamento a larga banda .....	130
<b>AUDIO</b>	
Amplificatore mono-stereo HI-FI con telecomando - I parte .....	133
<b>NUOVI PRODOTTI</b> .....	144



## Autovox e Voxson verso la fusione?

**L**a Autovox e la Autovox TV si fonderanno in un'unica società? È quanto prevede il Consiglio di Amministrazione dell'azienda che ha presentato in tal senso una proposta all'assemblea degli azionisti. La fusione dovrebbe avvenire per incorporazione.

Entrambe le società hanno un capitale superiore ai tre miliardi di lire. La fusione in un'unica società rientra negli sforzi di razionalizzazione che le industrie italiane operanti nell'elettronica civile (televisori, autoradio ecc.) stanno compiendo anche per poter usufruire delle agevolazioni previste dalla recente legge che ha istituito presso il Ministro dell'Industria il "Fondo per l'Elettronica" dotato di 200 miliardi di lire.

## Le banche rifiutano il credito alla Voxson

**A**l 16 giugno scorso l'intervento della Cassa Integrazione Guadagni a favore dei lavoratori della Voxson di Roma era costato alla comunità 17 miliardi di lire, pari a circa 900 milioni di lire al mese.

La situazione dell'azienda laziale permane difficile. Le banche si sono rifiutate, sempre fino al giugno scorso, di accordare il necessario sostegno creditizio (16 miliardi di lire) necessario per sostenere la ripresa produttiva. In una lettera inviata ai ministri del Tesoro, del Bilancio, dell'Industria e delle Finanze il presidente della giunta regionale del Lazio, Giulio Santarelli ha chiesto un concreto intervento in favore della Voxson, sottolineando che la ripresa produttiva di questa importante azienda elettronica non si rivelerebbe sterile ed episodica dal momento che i prodotti della Voxson (televisori, autoradio, giranastri) hanno un loro mercato consolidato da oltre 30 anni di esperienza, mercato che risulta tuttora disponibile ad assorbire la produzione, specie se si considera, fra l'altro, che il piano di ripresa presentato al CIPI era conseguente ad un pacchetto di ordini della Fiat e di altri primari clienti per quattro miliardi di lire.

## La tecnologia punto di forza dei TVC Siemens

**I**l comparto della televisione a colori non è abbastanza maturo da consentire, oggi, alle società leader del settore il mantenimento di una rendita di posizione legata alla loro capacità di ricerca. La tecnologia elettronica sta avendo una crescita rapidissima, l'80% dei componenti non ha più di tre anni di vita.

Sarà una lotta, quindi, con un lungo futuro ancora tutto da giocare": di questa opinione è Arturo Creatini, direttore della divisione radiotelevisione della Siemens Elettra. Questa società ha importato nel 1981 circa 42 mila dei 600 mila TVC acquistati dalla Germania. "Se la cifra assoluta, ha detto Creatini, non è elevatissima, il contenuto tecnologico che essa contiene, invece, è di tutto riguardo". La Siemens fu la prima a presentare nel 1977 un apparecchio a colori con dentro un microcomputer (per accedere a gestire a piacere un segnale di comando) e nel 1979 ad introdurre sul mercato televisori a sintesi di frequenza con ricerca elettronica automatica di 99 canali, con la possibilità di memorizzarne 39.

## Ultravox: vuole aumentare la quota di mercato

**D**opo avere patito il tormentoso momento della scelta politica fra Pal e Secam, la Ultravox ha iniziato una nuova rincorsa che senza pienamente tradire gli obiettivi per cui era nata nel 1948 ha assunto anche i "colori" della diversificazione. Tale diversificazione qualitativa è stata assunta in seguito alla ideazione di un videoterminale gestito da un minicomputer e programmato per l'ottimale uso di un software molto sofisticato.

Nello stesso tempo, però, la Ultravox vanta la realizzazione di TVC di qualità e di affidabilità elevate, quali solo un costruttore veramente indipendente può mettere a punto, grazie alla massima libertà di cui gode nella scelta dei componenti.

**TRIO****SERIE PRINCIPALI****SERIE «ALTA FREQUENZA»**

Oscilloscopi portatili a «tecnologia avanzata»  
 70MHz (Mod. 2070)  
 100MHz (Mod. 2100)  
 4 canali/8 tracce, 1mV/div, doppio sweep e molte caratteristiche esclusive

**SERIE DI BASE**

a prezzi «popolari»:

10MHz (Mod. 1562A) L. 568.000\*

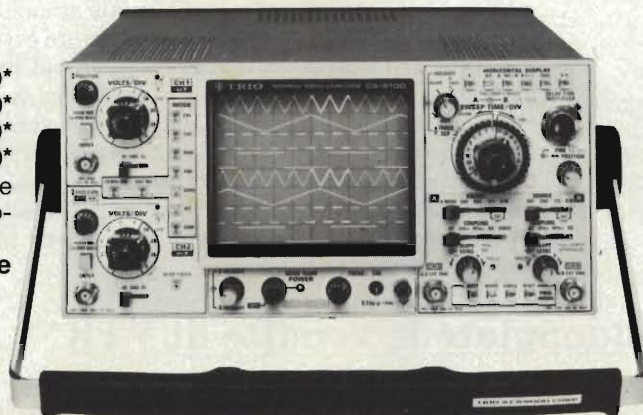
15MHz (Mod. 1560All) L. 699.000\*

20MHz (Mod. 1566A) L. 798.000\*

35MHz (Mod. 1577A) L. 1.311.000\*

doppia traccia, funzionamento anche XY, espansione asse X, trigger automatico.

Completi di 2 sonde (comprese nel prezzo)

**SERIE «DE LUXE»**

doppia traccia, con trigger a ritardo variabile e doppia presentazione dello sweep (normale e ritardato-espanso)

20MHz (Mod. 1820) L. 1.016.000\*

30MHz (Mod. 1830) L. 1.311.000\*

convenienti nel prezzo nonostante le numerose caratteristiche di pregio.

Completi di 2 sonde (comprese nel prezzo)

\* Aprile 82. IVA esclusa. Pag. al ritiro (Milano).  
 Y = 5,10 ± 2%

# i piccoli GIGANTI

**MEGACI-CLIMETRO**

Mod. DM-801  
 (0,7-250MHz)

**OSCILLATORE**

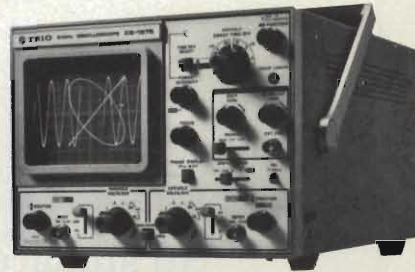
Mod. AG-203, quadra-sino, bassa dist. (0,1%), da 10Hz a 1MHz. L. 275.000\*

**CON FASE**

Mod. CS-1575, oltre alle due tracce presenta contemporaneamente anche la figura di Lissajous ed il rif. fase 0°. Ideale per misure dinamiche di ampiezza-fase-distorsione (5MHz/1mV)

**PORTATILE**

Mod. CS-1352 (rete-batteria/c.c.), doppia traccia, 15MHz/2mV, 21x14x35 cm (6,5Kg).

**TRIO****ALTRI MODELLI**

**RIVENDITORI AUTORIZZATI CON MAGAZZINO:** BERGAMO: C&D Electronica (249026); BOLOGNA: Radio Ricambi (307850); CAGLIARI: ECOS (373734); CATANIA: IMPORTEX (437086); COSENZA: Franco Angotti (34192); FERRARA: EL.PA. (92933); FIRENZE: Paoletti Ferrero (294974); FROSINONE: SAIU (83093); GENOVA: Gardella Elettronica (873487); GORIZIA: B & S Elettronica Professionale (32193); CASTELLANZA: Vematron (504064); LIVORNO: G.R. Electronics (806020); MARTINA PRANCA: SIRTEL (723188); MILANO: Hi-Tec (3271914); I.C.C. (405197); NAPOLI: Bernasconi & C. (223075); PADOVA: RTE Elettronica (605710); PALERMO: Elettronica Agrò (250705); PIOMBINO: Alessi (39090); REGGIO CALABRIA: Importex (94248); ROMA: GB Elettronica (273759); GIUPAR (578734); IN.DI. (5407791); ROVERETO: C.E.A. (35714); TORINO: Petra Giuseppe (597663); VERONA: RI.M.E.A. (574104); UDINE: P.V.A. Elettronica (297827).

**Vianello**  
 Sede: 20121 Milano - Via Tommaso da Cazzaniga 9/6  
 Tel. (02) 34.52.071 (5 linee)  
 Filiale: 00185 Roma - Via S. Croce in Gerusalemme 97  
 Tel. (06) 75.76.941/250-75.55.108

Alla VIANELLO S.p.A. - MILANO

SE-7/8-82

Inviatemi informazioni complete, senza impegno

NOME .....

SOCIETA'/ENTE .....

REPARTO .....

INDIRIZZO .....

CITTA' ..... TEL. ....

## La Telefunken spera nei videoregistratori

**I**n una intervista a Il Sole-24 Ore l'Amministratore Delegato della Telefunken Italiana, Max Schindele, ha detto che "per la consociata italiana il 1981 è stato un anno critico".

La necessità di ridimensionare la nostra produzione significava dover mettere in libertà un certo numero di persone in quanto il livello di produzione non poteva essere mantenuto. Comunque queste difficoltà sono state superate, una parte del personale è stato messo in Cassa Integrazione e dal 15 marzo scorso la produzione ha ripreso.

Guardiamo con fiducia al futuro; da alcuni mesi i nostri risultati possono essere considerati soddisfacenti. Non parliamo di rilancio, ma piuttosto di consolidamento, anche tenuto conto dell'attuale situazione economica del Paese.

Il campo che ci lascia speranza per il futuro è il settore videoregistratore; in esso nel resto dell'Europa si registrano quote di incremento eccezionali. In Italia, purtroppo, questo sviluppo non si nota ancora. Il motivo è da ricercare nel fatto che l'offerta di programmi televisivi attraverso le televisioni private è tale che un programma in più della videocassetta non è allettante come altrove, dove il telespettatore può vedere 3 o 4 programmi soltanto.

Inoltre sul mercato l'offerta di "software" (nastri pre-registrati) è assai limitata. In Germania, per esempio, vengono offerti più di 3.500 titoli, con sistemi di noleggio a bassissimo costo".

## Sharp: raddoppiate le vendite di VTR

**P**rofiti e vendite eccezionali per la Sharp nell'esercizio al 31 marzo scorso. L'utile netto è assommato a yens 20,38 miliardi (1 yen = 5,4 lire circa) mentre le vendite sono assommate a yens 580,1 miliardi, con incrementi rispettivamente del 25,1% e del 15,7%. Un buon andamento hanno avuto, anche per questo costruttore, i videoregistratori a cassette le cui vendite sono raddoppiate. Sono cresciute del 122% le forniture di personal computer e di calcolatrici tascabili.

Il fatturato export equivale al 57,2% di tutto il venduto consolidato dalla Sharp che nel decorso esercizio ha destinato ad investimenti yens 46 miliardi mentre prevede di spenderne quest'anno una cinquantina di miliardi.

## Minori profitti per la Seiko

**N**el periodo aprile 81 - marzo 82 le vendite di orologi Seiko sono assommate a 276 miliardi di yens, con una diminuzione del 2,5% rispetto ai precedenti 12 mesi. Conseguentemente sono scesi anche i profitti della Hattari and Co., il gruppo che comprende la Seiko e con i cui prodotti essa realizza circa i tre quarti di tutto il giro di affari. La flessione dell'utile è stata del 29,1% (a 2,4 miliardi di yen).

Le vendite sono rimaste su livelli invariati (364,8 miliardi di yen).

## No sindacale al cavo

**I** sindacati inglesi hanno vivacemente criticato i programmi governativi di ampliare e rinnovare la rete nazionale di televisione via cavo. Le Trade Union accusano il governo di agire con troppa rapidità e in modo velleitario, rischiando di conseguenza di fallire.

Per la verità il governo britannico per ora si è limitato ad affidare ad una commissione di studiare le implicazioni sulla attuale struttura radiotelevisiva della eventuale espansione delle reti in cavo, sulle quali trasferire anche trasmissioni diverse da quelle televisive. Anche se non palesemente i sindacati inglesi si schierano a fianco del British Telecom, le PTT inglesi, che rivendica un ruolo alternativo a quello che, invece, il governo conservatore appare determinato ad affidare a privati, i gestori appunto di reti via cavo.



## Gran Bretagna: test europeo per il videodisco

**L**o sviluppo del sistema a videodischi "Laservision" sarebbe costato alla Philips più di 350 miliardi di lire. Lo riferisce il Financial Times, il quotidiano economico-finanziario Londinese, ad avviso del quale RCA e Victor Company of Japan avrebbero sostenuto investimenti ancora superiori. Tanti sforzi però non hanno sortito gli effetti commerciali sperati. Negli Stati Uniti, dove i videodischi hanno fatto la loro prima comparsa più di due anni fa, la RCA ha venduto nel 1981 poco più di 100 mila sistemi, la metà circa di quelli programmati. Il compito di fungere da test in Europa se lo è preso a carico la Gran Bretagna dove la Philips ha da poco iniziato a commercializzare il suo sistema che propone ad un prezzo di circa 500 dollari. C'è molta e comprensibile attesa intorno alla rispondenza del pubblico inglese, da cui dipende gran parte delle strategie promozionali in Europa da parte dei venditori di questi apparecchi.

## La bacchetta magica della TI

**N**on ci sarà più bisogno di andare a scuola per apprendere a leggere. I progressi dell'elettronica hanno sopperito anche a questo obbligo. La Texas Instruments ha annunciato negli scorsi giorni un sistema per bambini e ragazzi in grado di aiutare nell'apprendimento della lettura. L'unità si chiama "Magic Wand Speaking Reader" e sostanzialmente è un condensato di due tecnologie attorno al noto "Speak & Spell" che molto successo ha riscosso. Sul mercato americano costerà 120 dollari. Nei programmi della società esso rappresenta il primo di una famiglia di strumenti di aiuto all'insegnamento e di prodotti portatili per il computing che usano le memorizzazioni a codice di barra. È questa infatti una delle due tecniche incorporate nell'apparecchio (l'altra è la sintesi vocale che nel caso del Magic Wand, termine che tradotto in italiano significa bacchetta magica, è stata di molto migliorata).

## In aumento le vendite Stern

**V**engono definite "brillanti" e "in costante aumento" le vendite dei televisori STERN. Dal Dott. Casanova, Direttore Commerciale della linea oggetto del connubio ZANUSSI-G.B.C. Italiana. La richiesta di TVC in genere è stata sostenuta dall'inizio dell'anno e ha raggiunto il suo massimo nel mese precedente al MUNDIAL. Secondo un sondaggio campione presso i più importanti rivenditori di 6 città italiane anche il mercato VTR ha toccato delle punte record. La gamma di TVC STERN che comprende svariati modelli 16", 20", 22", 26" ha incontrato il favore della clientela, sfruttando il discreto, anche se stagionale, andamento del mercato. La STERN che ricordiamo, è un marchio ZANUSSI, completa la sua linea con 5 modelli TV B/N e una serie Audio di radiorecettori e radioregistratori. Ormai impostasi per la sua qualità la produzione della STERN si avvia a conquistare una porzione di mercato valutato intorno al 2% delle vendite 1982.

## Italtel Ela: 30,6 miliardi di fatturato

**D**urante il 1981 il primo impegno della Italtel Ela, oltre ad assicurare la necessaria continuità di gestione e lo sviluppo commerciale, è stato quello di completare la struttura aziendale adeguandola alle caratteristiche dei vari campi in cui opera, razionalizzando ed armonizzando in un disegno organico le varie attività acquisite. Alla fine del 1981 la struttura tecnico-commerciale è stata articolata in due settori principali: gli impianti e il Largo Consumo. Si è anche provveduto a ristrutturare profondamente la rete di vendita e distribuzione. Nel corso dell'esercizio, la società, che aveva a fine 1981 un organico di 208 unità, si è trovata ad operare su mercati caratterizzati da una accesa concorrenza e da difficoltà congiunturali. Nonostante uno sviluppo consistente delle vendite (+45% in termini monetari, rispetto al 1980) che ha portato a un fatturato di 30,6 miliardi di lire, il primo esercizio registra una perdita di 380 milioni di lire, dovuta soprattutto ad alcune commesse con esito negativo. Nel settore dell'alta fedeltà è stata acquisita la rappresentanza esclusiva per l'Italia della gamma completa Fisher, prodotta dalla Sanyo. Prosegue la rappresentanza Beyer Dynamic.

## Una strategia per la Philco Italiana

**S**arà definita nei prossimi anni, in relazione ai progressi (o regressi) del riassetto nel settore dell'elettronica civile che, come noto, ha istituito una società, la REL (Ristrutturazione Elettronica S.p.A.), dalla quale dipenderanno più d'una unità operativa. La Philco mirerebbe ad essere uno di questi interlocutori, magari non da sola ma in compagnia di qualche altra azienda di dimensioni più o meno analoga. La società bergamasca ma a capitali iraniani, infatti, tra le tante possibilità sta esaminando l'alternativa di scorporare il settore televisivo, proprio allo scopo di rendersi disponibile ad un discorso di Joint-venture. Alla Philco viene accreditata una produzione di 100 mila televisori all'anno, equivalente al 5% del mercato nazionale, ma la società rivendica una potenzialità maggiore e, soprattutto, una produttività (330 pezzi pro-capite all'anno) tipico delle grandi imprese.

Dal 1977 al 1981 sono stati investiti dalla Philco 19 miliardi ottenendo risultati apprezzabili: le società ha chiuso il bilancio '81 con un utile netto di 3,5 miliardi di lire a fronte di un fatturato di 110 miliardi. L'indebitamento bancario risulta contenuto a circa il 12% delle vendite.

## Terminale televisivo per telematica

**S**i chiama ZT-1 il primo terminale americano di telematica. Lo ha sviluppato la Zenith Radio Corp., il gruppo leader della televisione. Collegato alla rete telefonica il terminale permette di accedere alle banche dati, nonché di svolgere funzioni di posta elettronica, di trasferimento elettronico di fondi e altre ancora. La commercializzazione dello ZT-1 è iniziata nelle settimane scorse ad un prezzo di 675 dollari.

Sarà venduto anche in Europa ad opera della Zenith Data Systems e dalla catena di negozi Heath. Il sistema si compone di due parti essenziali: una tastiera formata da 63 tasti e uno schermo che nel caso è lo "ZVM 121", già utilizzato per i personal computer della Zenith che lo costruisce. Il terminale si distingue, dicono i suoi ideatori, per la elevata affidabilità e la facilità d'impiego.

## Di \$ 26,8 miliardi il consumo CMOS nel 1990

**“L**'impatto dei dispositivi CMOS sulle competitive tecnologie dei circuiti integrati”, è il titolo di uno studio realizzato dalla Strategic Incorporated, una casa americana di ricerche di marketing rappresentata in Europa dalla IPI di Londra. In questo studio viene affermato che utenti e produttori di microchip si apprestano a fronteggiare un altro significativo mutamento ma, sebbene coscienti di tale trasformazione, non comprendono completamente l'ampiezza. Nei prossimi anni, aggiunge il rapporto della Strategic, la tecnologia CMOS si sostituirà a quella NMOS in un numero crescente di applicazioni. Alla base di questa avanzata ci saranno diverse ragioni: nuovi consumi, maggiore velocità, aumentata immunità agli errori e costi più bassi su basi funzionali. La tecnologia CMOS sta diventando competitiva con le prestazioni delle tecnologie TTL e NMOS, come i numerosi annunci di società americane stanno a dimostrare. La NS sta sviluppando versioni in CMOS dei suoi microcomputers da 16 e 32-bit. La Intel ha progettato RAM da 1K, 4K e 16K. La Motorola ha messo a punto microprocessori da 8-bit con relativa periferica compatibili con la famiglia 6800. In CMOS i giapponesi stanno sviluppando delle RAM dinamiche da 256K. Lo studio in questione sostiene che nel 1990 il mercato dei circuiti integrati CMOS sarà equamente suddiviso fra dispositivi di memoria e dispositivi logici. Anche giganti delle dimensioni di IBM, DEC e HP - conclude lo studio - apriranno i loro laboratori e le loro fabbriche ai circuiti CMOS in aggiunta agli impegni già in essere con le tecnologie NMOS e bipolari. Nel 1990 il mercato mondiale dei CMOS equivarrà a 26.800 milioni di dollari.

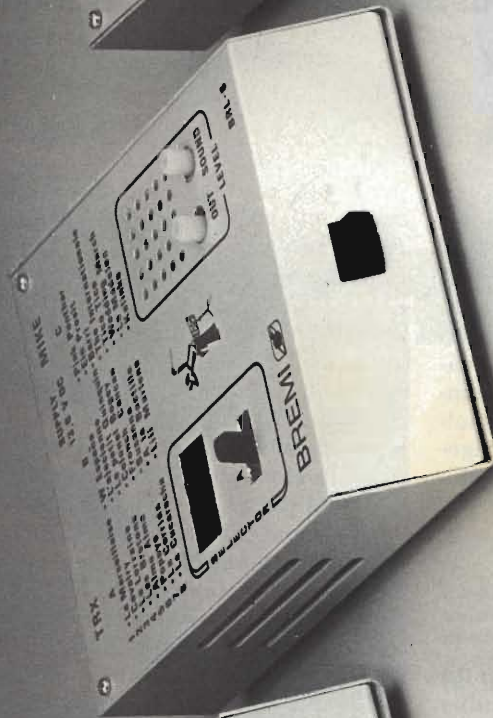
**BREMI®**

# le tre novità



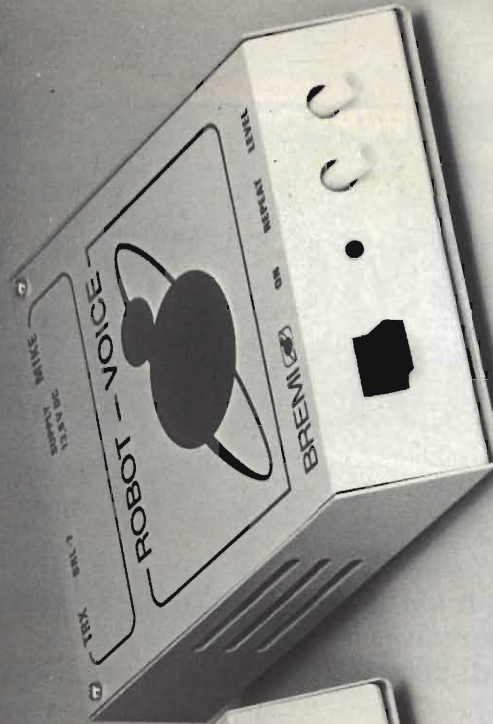
**GENERATORE DI ECO  
MOD. BRL 8**

- Inserzione passante tra microfono e apparecchio utilizzatore
- Regolazione dell'effetto e del livello d'uscita
- Alimentazione: 10 ÷ 15V



**GENERATORE DI MOTIVI  
MOD. BRL 6**

- 24 temi musicali selezionabili
- Inserzione passante tra microfono e apparecchio utilizzatore
- Regolazione del livello d'uscita e del volume sonoro
- Alimentazione: 10 ÷ 15V



**GENERATORE DI VOCE ROBOT  
MOD. BRL 7**

- Inserzione passante tra microfono e apparecchio utilizzatore
- Regolazione dell'effetto e del livello d'uscita
- Alimentazione: 10 ÷ 15V

**BREMI®**

BREMI ELETTRONICA - 43100 PARMA ITALIA - VIA BENEDETTA 155/A  
TELEFONI: 0521/72209-771533-75680-771264 - TELEX 531304 BREMI

# BMC IF 800 MODELLO 20

a cura della Redazione

Continuiamo la pubblicazione di una serie di articoli sui più qualificati personal disponibili sul mercato italiano. In questo numero presentiamo il BMC IF800, un personal facile da usare con un software di ottimo livello, in grado di sfruttare appieno le possibilità dell'hardware.

**È** arrivato dal Giappone un micro computer molto interessante, si tratta del BMC OKI IF 800 modello 20.

È indubbiamente una macchina diversa dalla maggior parte dei micro che siamo abituati a vedere sul mercato. Infatti ci propone con estrema compattezza tutte quelle facilities che molto spesso sui personal di questa categoria di prezzi non sono affatto disponibili né opzionali.

## Hardware

Anche se il sistema sembra un "tutto in uno", in realtà è composto da due moduli base: uno con la tastiera e la stampante, l'altro con il monitor e i mini floppy disk. Tastiera e stampante si appoggiano con molta pulizia sulla base del monitor; i fili di collegamento tra i due sono completamente nascosti all'interno del piede destro di questo ultimo.

La tastiera è di 99+10 tasti e comprende 10 tasti funzione, un tastierino numerico sulla destra con triplo zero, *RETURN*, i segni delle quattro operazioni, il punto e la virgola, un tastierino di controllo a 8 tasti, situato subito a sinistra del tastierino numerico, che comprende le quattro frecce per il controllo cursore e le funzioni *DEL*, *INS*, *CLS* e *HOME*, 2 tasti per il controllo della tabulazione (*H TAB* e *H TAB SET/CL*), un tasto *CANcel* che funziona a tutti gli effetti come un *Break*, e,

per finire, tre tasti di controllo della stampante incorporata, cioè un *FORM FEED* per fare avanzare la carta, un *HARD COPY* per ottenere appunto l'*HARD COPY* del video e un *PRINT* a interruttore che quando è premuto provoca la stampa su stampante di tutto quello che appare sul video. I "+ 10" costituiscono una soluzione notevole, sono 10 tasti funzione collocati sulla cornice del monitor, che sotto OKI BASIC duplicano i 10 tasti posti sulla tastiera, la cui funzione può essere indicata graficamente da video con grande comodità, alla maniera dell'HP 9845 C. Si noti che tutti i tasti, esclusi quelli con le lettere, il *RETURN*, il *LINE FEED* e l'*ESCAPE*, possono essere ridefiniti dall'utente per le sue esigenze. Quindi, per esempio, il tastierino numerico può essere utilizzato per controllare il cursore sotto word processor; sarà sufficiente assegnare a ogni tasto un'appropriata stringa di caratteri di controllo dello wp. Di fianco alle lettere, oltre ai normali *CONTROL* e *ESCAPE*, è disponibile anche un tasto *COMMAND* e un tasto *GRAPH*, che funzionano in modo analogo ai primi due, e che in BASIC permettono rispettivamente l'introduzione di comandi con una sola battuta (alla maniera del Sinclair ZX80, es. *COMMAND I = INPUT*) e l'uso di un potente set di caratteri grafici. Il set grafico del BMC è particolarmente potente dato che, per venire incontro alle esigenze dell'alfabeto giapponese moderno Kana, viene utilizzato un codice a 8 bit (l'ASCII standard è a 7 bit), che permette ben 256 caratteri di-

versi. Si noti che è purtroppo assente lo shift lock, anche se questo non da molto fastidio dato che in BASIC lo shift funziona in modo invertito: le lettere normali vengono stampate maiuscole, quelle shiftate minuscole, funzione ovviamente non operativa sotto word processor e sotto CP/M. Non abbiamo contato 2 tastini situati sul fianco sinistro della macchina, opportunamente lontani dalla tastiera vera e propria, cioè un IPL (Initial Program Loader) che provoca un *BOOT* "freddo", riportando il calcolatore nello stato immediatamente seguente al power-on, e un NMI (Non Maskable Interrupt) che è utile per interrompere l'esecuzione di un programma, anche in linguaggio macchina, e rilanciarlo senza perdere il contenuto della memoria, quando *CAN* dovesse fallire. Vicino a questi due tastini si trova anch'è l'interruttore di accensione. Sul fianco destro della tastiera ci sono i connettori per l'interfaccia standard RS 232 C, la penna luminosa, un monitor esterno e un registratore a cassette. Sul lato destro della tastierina, sotto il tastierino numerico, può essere inserita una cartuccia ROM ad accesso sequenziale da 20 Kbyte. Più cartucce possono essere collegate insieme fino ad un massimo di 1 Mbyte.

La stampante incorporata è una Microline 80 ad aghi, 80 colonne a carattere non discendente (matrice 7x7), 80 cps monodirezionale non ottimizzata, in grado di fare due copie oltre all'originale. I trattori non sono regolabili ma si possono impiegare anche moduli



L'unità centrale del sistema. Colpisce la compattezza del cabinet considerando che esso incorpora anche la stampante. Piacevole il design: si noti anche il felice accostamento dei toni di colore.



La tastiera, conforme ai criteri di razionale distribuzione dei tasti, si presenta come tra le più complete oggi disponibili su personal computer. Si notino, tra l'altro, i tasti per il completo controllo del cursore, i 10 tasti di funzione, riportati anche sulla cornice del monitor, nonché quelli di attivazione del modo grafico e della stampante.

non a trattore e quindi di qualsiasi misura.

Nel piede destro c'è un pannello che può portare fino a 5 slot, inseriti direttamente nel bus del IF 800. Sul sistema standard vi sono inseriti un mini floppy disk controller che può supportare fino a 4 unità e una scheda per il video. Sono disponibili tutta una serie di slot che permettono di interfacciare la macchina pressoché in qualunque ambiente (le schede sono descritte più avanti).

L'OKI modello 20 viene fornito con monitor a colori supportato da un potente package grafico con una risoluzione di 640 punti per 200 linee, che, per



un personal, è da considerarsi un ottima risoluzione. A differenza da alcuni altri personal che hanno, e usano alternativamente, due memorie video separate, una per la grafica e l'altra per i caratteri, sul IF 800 è testo e grafica sono visualizzati contemporaneamente.

L'IF 800 è basato sul microprocessore Z80A con 64 Kbyte di memoria RAM per i programmi e i dati. 16 Kbyte di questa memoria sono dedicati al video e sono affiancati da altri 2 x 16 Kbyte. Sono quindi disponibili 48 Kbyte di memoria video 16 Kbyte per ogni colone base, (rosso, verde, blu), che rendono disponibili otto colori (rosso, verde, blu, magenta, giallo, ciano, bianco e nero).

Con qualche modifica sul controller video (a livello di ponticelli) è possibile ottenere 8 livelli di grigi invece degli 8 colori. L'IPL (Initial Program Loader), attivato dal tastino IPL sopra menzionato, è contenuto in una ROM a partire da 2 Kbyte e svolge una funzione piuttosto sofisticata; infatti al power-on controlla tutta la memoria e poi cerca un sistema operativo su tutte le possibili sorgenti, in ordine: sulla cartuccia ROM inseribile sotto il tastierino numerico, sui floppy disk e sul registratore, dando errore se non ne trova alcuno.

Un'altra features notevole è costituita dall'orologio incorporato, alimentato da un accumulatore al NiCad, ricaricato durante il funzionamento norma-

le della macchina che mantiene per un mese, a calcolatore spento, data e ora, facilmente accessibili e modificabili via software.

Naturalmente il nostro BMC è anche dotato di facoltà musicali. Un altoparlante interno può essere programmato per suonare su cinque ottave, da 65 a 1976 Hertz.

Sulla destra del monitor ci sono i due drive da 5,5 pollici a doppia faccia e doppia densità, uno dei più veloci su personal di questo costo (tempo d'accesso medio 300 ms), ognuno dei quali può contenere fino a 280 Kbyte.

## Software

Per l'OKI IF 800 sono disponibili due sistemi operativi: il CP/M versione 2.2 64 Kbyte e l'OKI BASIC, da non confondere con MBASIC che gira sotto CP/M. Accanto a questi due sistemi è disponibile un disco di test macchina (si tratta di un disco OKI BASIC) che permette di eseguire una diagnostica completa di tutti i componenti del sistema in qualsiasi configurazione.

### CP/M versione 2.2

Il CP/M 64 Kbyte rimpiazza una precedente versione provvisoria da 54 Kbyte. Sul nostro diskette, oltre alle funzioni standard del CP/M, e a vari notevoli dimostrativi grafici veramente "entertaining" erano disponibili i seguenti comandi:

**MBASIC.COM** - BASIC standard sotto CP/M

**CONFIG.COM** - utility per definire caratteristiche utente del sistema come: soft/hard scroll, comando di startup tasti definibili, assegnamenti I/O, ecc.

**COPY.COM** - utility per copiare, traccia per traccia, tutto un disco, o solo la parte sistema di esso, o solo la parte non sistema

**FORMAT.COM** - utility per formattare un disco vergine

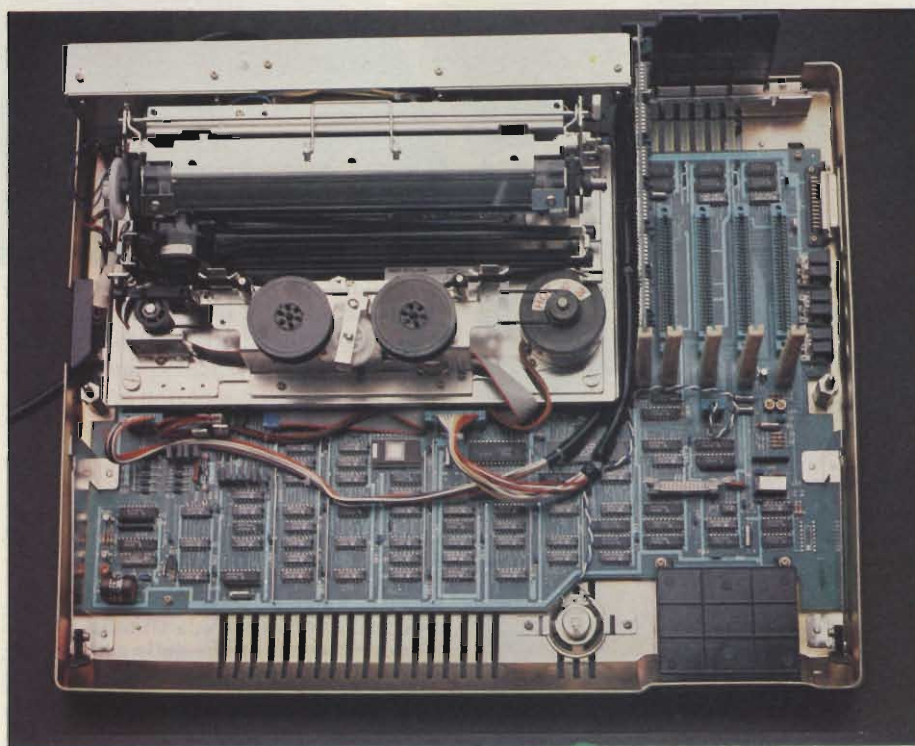
**INSTALL.COM** - package di word processing WORD STAR (standard sotto CP/M); comprende anche alcune overlay

**SET.COM** - setta ora e data nell'orologio interno

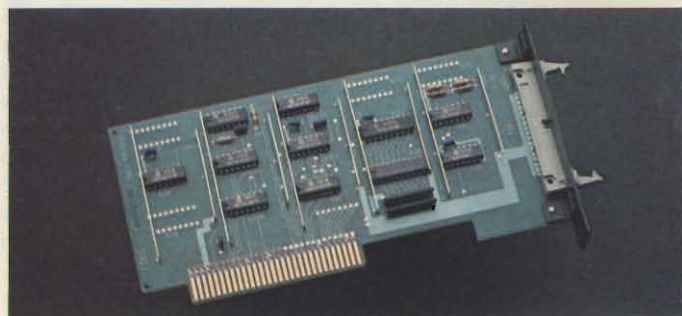
**TIME.COM** - stampa ora e data

**MEMR.COM** - test completo della memoria

**DUMBTERM.COM** - programma per comunicazioni seriali duplex



La vista interna del calcolatore mostra la razionalità della distribuzione dei componenti oltre ad un accurato assemblaggio degli stessi. L'unico appunto si riferisce al fatto che tutti gli integrati sono saldati sulla scheda: evidentemente i giapponesi si fidano molto della qualità.



La scheda di governo delle unità disco. Sempre ottima l'accuratezza dell'esecuzione.

*INIT.COM* - inizializza, usato prima di alcuni dimostrativi

*LIB.COM* - di cui non siamo riusciti, in mancanza di documentazione, a capire la funzione

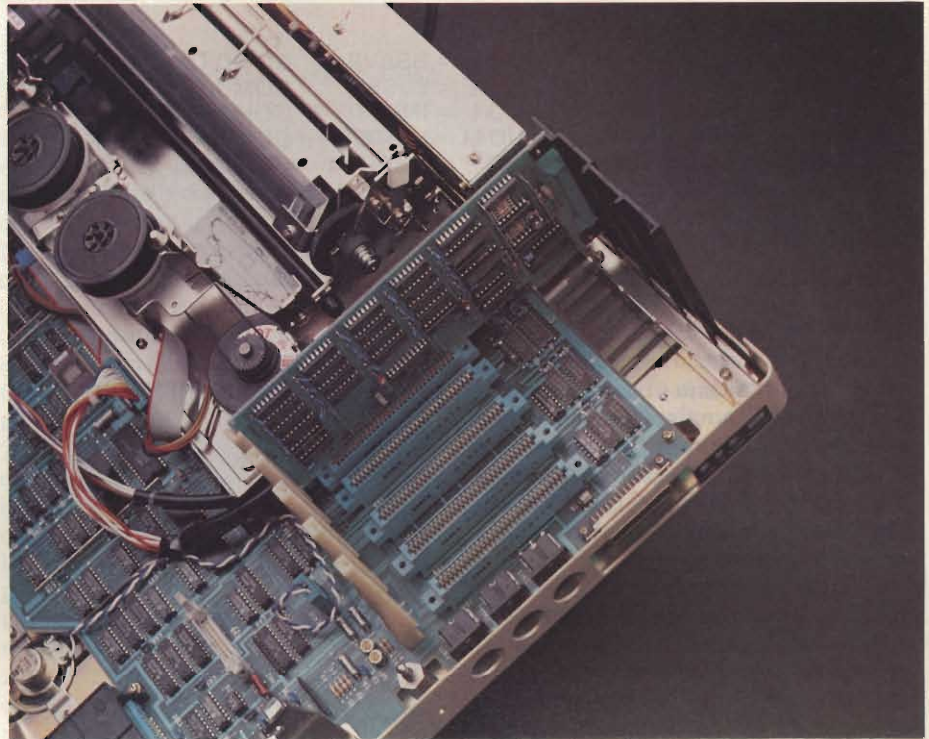
*TMAKER.COM* - una versione del Visicalc, serve a creare tabelle di calcolo ecc. è accompagnato da una trentina di file tra cui overlay, utility, dimostrativi.

*DISZILOG.COM* - secondo la stessa definizione della nota di copyright "super CPM Z80 dis-assembler"

*WM.COM* - utile alla manipolazione di programmi in linguaggio macchina

Vi è quindi un buon numero di facilities che dovrebbero essere in grado di soddisfare le esigenze di qualsiasi utente. Pur non essendo a nostra disposizione, ci dicono ci siano anche altri linguaggi implementati.

Una nota particolare è meritata dalla possibilità di avere il "soft scroll" del video, cioè lo scroll graduale tipo titoli televisivi, cosa che, come molte altre nel BMC, rendono questa macchina particolarmente comoda per l'utilizzatore finale (ma anche per il programmatore). Tramite la stessa utility che permette di settare i parametri dello scroll (*CONFIG.COM*), si può anche accedere a molte altre features del sistema come assegnamenti dei tasti definibili, assegnamenti di I/O, caratteristiche delle porte di I/O, caratteristiche della stampante incorporata (lunghezza del modulo di carta, numero di linee stampabili per pagina, numero di caratteri per linea), e il comando di start-up (stringa comando e condizioni di funzionamento, su boot caldi e/o freddi). Tutte le modifiche fatte con questa utility possono essere registrate su disco col sistema operativo in modo che vengono caricate automaticamente all'accensione.



Un particolare dell'interno evidenzia la disponibilità di cinque connettori di espansione che rendono il sistema aperto anche ad applicazioni dedicate.

## OKI BASIC

L'OKI BASIC è una versione potenziata, per adattarla all'hardware, del Microsoft BASIC (versione 5). Allo start-up il sistema chiede quanti disk drive deve supportare, da uno a quattro, e quanti file possono essere aperti contemporaneamente, da nessuno a quindici, e alloca quindi lo spazio per il buffer, circa 150 Kbyte per disco e 250 per file, visualizzando la memoria conseguentemente disponibile per il programma dell'utente, che è risultato essere tra i 16 Kbyte e i 20 Kbyte. Sarebbe stato più comodo, specie per l'utilizzatore finale del software, avere dei parametri di start-up modificabili da programma o con un utility, come già sotto CP/M con *CONFIG.COM*.

Il BASIC della Microsoft è abbastanza conosciuto perché sia utile farne una descrizione dettagliata di tutti i comandi. Ci limiteremo a descrivere le particolarità della versione su OKI, che permettono lo sfruttamento delle avanzate caratteristiche dell'hardware.

I tasti definibili in OKI BASIC sono solo 10, rispetto ai 30 definibili sotto CP/M, dato che quelli sulla cornice del monitor duplicano quelli della tastiera ed è assente la funzione *SHIFT* per questi ultimi, quando sono premuti emettono una stringa di 15 caratteri che viene caricata da disco all'accensione e che

può essere modificata via software (vedere tabella 1), questi tasti possono anche essere impiegati molto comodamente per saltare a delle subroutine tramite l'istruzione *ON KEY GOSUB*.

L'editing dei programmi BASIC è molto comoda usando il tastierino di controllo del cursore: ci si può spostare velocemente in tutte le direzioni sulla parte di listato mostrata sul video, eseguire le opportune correzioni, usando anche i tasti *DELETE* e *INSERT* che permettono rispettivamente di cancellare o inserire un carattere in una linea, e quando si vuole fare accettare al calcolatore una linea corretta basta essere col cursore in un punto qualsiasi di detta linea e premere *RETURN*.

L'introduzione dei programmi è velocizzata dalla possibilità di introdurre intere parole chiave con una sola battuta. Questo si ottiene usando il tasto *COMMAND* insieme a una lettera (vedere tabella 2), possibilità che abbiamo apprezzato molto.

Ovviamente tutte le parole chiave non contenute nella *tabella 1* o nella *tabella 2*, devono essere scritte per intero.

Nella *tabella 2* vediamo alcune delle parole chiave speciali dell'OKI BASIC. *CONSOLE* accetta quattro parametri. Permette di definire una finestra sul video a partire da una linea dello schermo per una certa lunghezza, di avere

### Lista degli assegnamenti iniziali

F1	LOAD
F2	FILES ^ m
F3	SAVE
F4	END ^ m
F5	COLOR
F6	PRINT DATE\$, TIME\$ ^ m stampa data e orario
F7	CONT ^ m
F8	KEY
F9	LIST ^ m
F10	RUN ^ m
nota	^ m = RETURN

Tabella 1

COMD A = AUTO	COMD B = BSAVE	COMD C = CONSOLE
COMD D = DELETE	COMD E = ELSE	COMD F = FOR
COMD G = GOTO	COMD I = INPUT	COMD K = KEY
COMD L = LPRINT	COMD M = MOTOR	COMD N = NEXT
COMD O = OPEN	COMD P = PRINT	COMD R = RETURN
COMD S = STOP	COMD T = THEN	COMD U = USING
COMD V = VAL	COMD W = WIDTH	
COMD X = XOR		

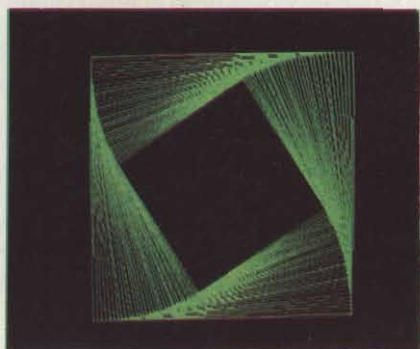
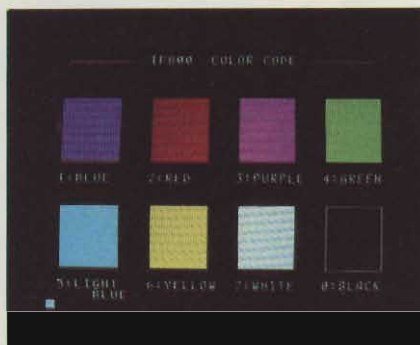
Tabella 2

mostrata sull'ultima linea del video, in campo inverso, una spiegazione dei 10 tasti definibili, formata dai primi 7 caratteri assegnati ad ogni singolo tasto, e di scegliere, come già sotto CP/M uno scroll duro o morbido (più lento e graduale).

*COLOR* accetta quattro parametri; i primi due, cioè, il colore dei caratteri e il colore dello sfondo, ovviamente influenzano solo ciò che viene stampato dopo il comando, permettendo di avere la presenza contemporanea di caratteri in tutti i colori, utile ad esempio nella creazione di menù dove l'elemento selezionato può cambiare colore. Il terzo parametro è il colore della cornice e il quarto il colore di mascheratura. Quest'ultimo parametro impedisce la visualizzazione di tutti i punti dello schermo che non abbiano una componente del colore specificato, senza peraltro cancellarli dalla memoria video. Questo permette, per esempio, di poter fare tre grafici in tre colori diversi e di cambiare istantaneamente il colore tra un grafico e l'altro o di sovrapporli per esempio per un confronto ecc.

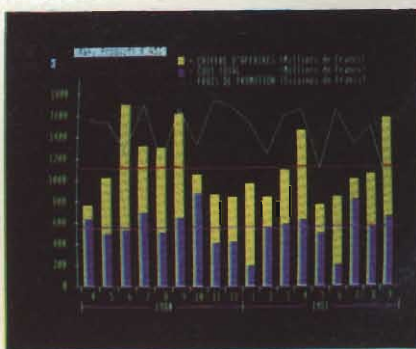
*WIDTH* accetta come parametri il numero di caratteri per linea, solo i valori 80 e 48 sono accettabili, e il numero di linee per pagina, 20 o 25. Risultano quindi 4 possibili modi di funzionamento del video, che uniti alla possibilità descritte nei paragrafi precedenti e alla capacità grafica, fanno la gestione video del IF 800 uno dei più versatili sui personal attualmente in commercio. Con le performace descritte avremmo soltanto preferito la possibilità di gestire finestre sul video in modo più versatile.

Sotto OKI BASIC sono sfruttabili al 100% le potenti capacità grafiche dell'hardware. Il potente set di istruzioni grafiche comprende funzioni come la *CIRCLE* che permette di tracciare cerchi, ellissi o archi di essi, con centro in un qualsiasi punto dello schermo e colore a piacere. Vi è poi una *PAINT* che permette di riempire l'interno di una figura di qualsiasi forma già disegnata sul video con un colore sempre a piace-



re, considerando come limiti linee di un colore qualunque. Per disegnare forme irregolari molto comoda la *DRAW*, una "tartaruga" che accetta una stringa comando come quelle del *GML* (Graphic Macro Language); per chi sa che cosa è una tartaruga basti sapere che questa implementa movimenti dell'origine assoluti e relativi per coordinate, movimenti relativi con tracciamento o senza o con tracciamento ma senza spostamento dell'origine secondo gli assi cartesiani o un angolo a piacere, e per una lunghezza, con una scala e un colore qualsiasi. *LINE*, oltre ad assolvere la banalissima funzione di tracciare una linea, continua o tratteggiata, tra due punti, permette di tracciare un rettangolo (o un quadrato) avente i punti specificati come angoli opposti, usando o grafica vettoriale o un carattere, e di cancellarne o riempirne l'interno sia in colore che con il carattere scelto. *GETO* e *PUTO* permettono di trasferire caratteri o grafica da una parte di schermo consentono per esempio di copiare una parte di schermo in un'altra parte o possono servire come base per più sofisticate elaborazioni grafiche. *PSET* permette di accendere un punto di un colore a piacere, che può essere resettato con *PRESET*, *POINT* ritorna il colore del punto indicato. Il cursore può essere controllato con *LOCATE* che lo posiziona nelle righe e colonne specificate e può impedirne il lampeggio, *POS* ritorna la posizione orizzontale del cursore, mentre *CSRLIN* ne ritorna la verticale. *SCREEN* (X, Y) ritorna il valore ASCII del carattere nella posizione specificata. L'unica funzione che si potrebbe desiderare ancora è la *Polygon* che permette di disegnare un poligono di un numero di lati qualsiasi.

Nella serie di foto le notevoli capacità color grafiche e la gamma delle possibili applicazioni non necessitano di commento.





Un'altra cosa che avremmo apprezzato sarebbe stata la possibilità di usare tutte le funzioni grafiche con linee tratteggiate invece che continue.

Da OKI BASIC sono facilmente accessibili anche le altre caratteristiche dell'hardware. La penna luminosa, che lavora su una matrice di 200 linee per 40 punti, è gestita dall'istruzione *PEN*, con o senza argomenti, che può ritornare separatamente le coordinate orizzontali e verticali e il numero di area in cui la penna si trova nell'istante in cui la si preme e quando la si tiene premuta, o un valore *TRUE (-1)* se la penna è tenuta premuta; può inoltre delimitare l'area di funzionamento, attivarla e disabilitarla. È anche disponibile una *ON PEN GOSUB* che va ad una certa subroutine a seconda del numero di area in cui si trova la penna. La penna luminosa, usata insieme ai tasti definibili e sfruttando le capacità del video, permette di avere un I/O interattivo molto efficiente.

Questo BASIC si presta bene anche per calcoli scientifici; infatti oltre ai calcoli in singola precisione che ritornano 6 decimali, ci sono quelli in doppia precisione che ritornano ben 16 decimali! Tra le funzioni segnaliamo una comoda *FIX* che ritorna la parte intera di un numero; a differenza della comune *INT* con numeri negativi non ritorna il primo numero più basso dello specificato. In fondo al manuale BASIC vi è una comoda tabella che riporta come calcolare complicate funzioni usando quelle disponibili.

Tra i comandi notevoli, di cui qualunque programmatore vorrebbe poter disporre, ricordiamo: *COMMON* che permette di passare variabili da un programma che ne chiama un'altro con la *CHAIN*.

*CHAIN* gestisce il concatenamento di programmi (overlay); come opzione si possono passare tutte le variabili o solo quelle specificate con la *COMMON*, o, cosa veramente notevole, non avere cancellato il programma chiamante, ma soltanto, eventualmente, alcune linee, e avere l'overlay che si sovrappone solo sopra le linee di uguale numero di linea; *MERGE* è in tutto simile alla *CHAIN* ma, dato che ritorna sempre al livello comandi è da usare solo in modo diretto; *DEF CHR\$* che ridefinisce la matrice di punti di un carattere con una matrice a piacere, permettendo, sfruttando le posizioni riservate ai caratteri giapponesi, di avere contemporaneamente sul video alfabe-

to standard (già definito ma che può essere facilmente sostituito con un personalizzato) e corsivo (da definire) o russo e greco o caratteri grafici a piacere o qualsiasi altra cosa; *KEY* che permette di assegnare una stringa fino a 15 caratteri ad un tasto definibile; *DEF* che definisce, alla maniera del Pascal, un insieme di variabili di un certo tipo (*Integer, Single Precision, Double Precision, String*); *Oncom Gosub* in cui *COM* è un carattere numerico tra 1 e 4 ricevuto da una delle porte di I/O; *OPTION BASE* che permette di avere 1 come limite inferiore delle matrici invece di 0; *ON ERROR GOTO* e *RESUME* di uso noto; *SWAP* per scambiare il valore di due variabili; *TRON/TROFF* per attivare e disattivare la funzione di trace; *WHILE* e *WEND* che funziona in modo simile al *WHILE/BEGIN* del Pascal, fornendo un'interessante alternativa al *FOR/NEXT*; *CUI, CUS* e *CUD* che convertono una stringa di 2, 4, 8 caratteri in un numero intero, in singola e doppia precisione, la funzione opposta è svolta da *MKI\$, MKS\$, MKD\$*, che usate insieme a *HEX\$* e *OCT\$* per le conversioni in esadecimale ed in ottale permettono di passare direttamente tra una qualunque variabile BASIC e valori in base 8, 10 o 16 in tutti i modi.

I file random vengono gestiti nel seguente collaudatissimo modo: il buffer di 256 caratteri del file viene gestito per mezzo di variabili stringa scelte nel

programmatore e dimensionate con la *FIELD*. Per l'assegnamento dei valori a queste variabili si usano *LSET* e *RSET* a seconda che le si voglia giustificare con blank a destra o sinistra. Comode le funzioni *LOC* e *LOF* che ritornano rispettivamente il numero del record che segue l'ultimo al quale è stato effettuato l'accesso e il numero di record più grande del file. I record sono letti e scritti con i comandi *GET* e *PUT*.

La stampante è gestita nel modo standard Microsoft, un "L" usata come prefisso di un comando di stampa su video provoca la stampa su stampante (*LLIST, LFILES, LPRINT, LPRINT USING*). Esiste anche una *COPY* che causa l'hard-copy di tutto ciò che è sul video (grafica e caratteri).

Vi sono ovviamente ancora molte altre funzioni e comandi in questo BASIC, ma quelli sopra elencati basteranno per fare capire al lettore che ci troviamo di fronte ad uno dei BASIC più potenti. Si può rivolgere un unico appunto alla mancanza dei comandi di copia e formattazione che devono essere eseguiti tramite una versatile utility in linguaggio macchina fornita col sistema, ma si può osservare che non vengono usati nella programmazione normale e che avrebbero altrimenti sottratto ancora spazio alla già non abbondantissima memoria utente resa disponibile dal BASIC (18 Kbyte-20 Kbyte).

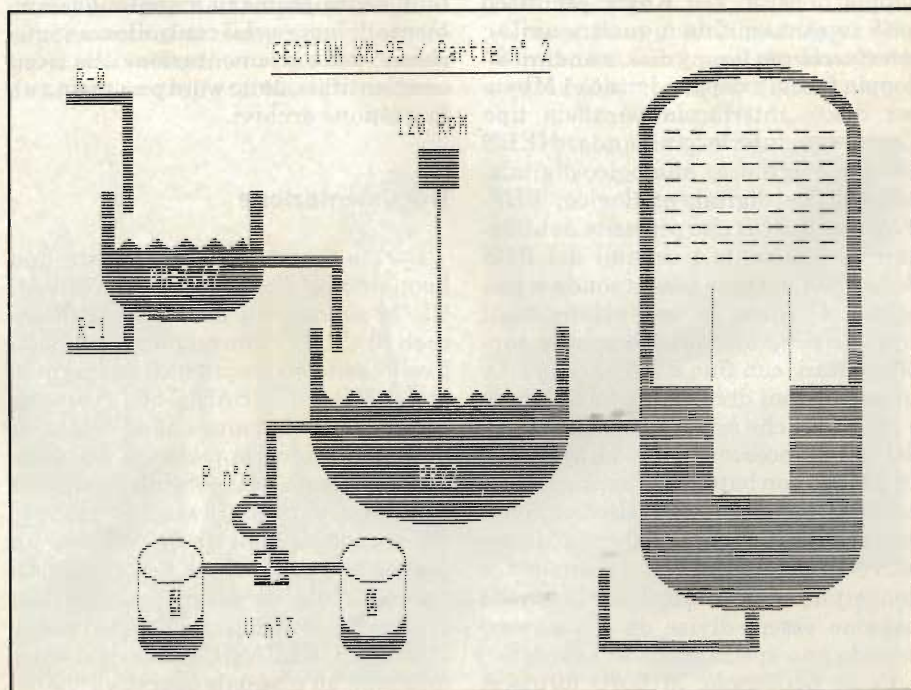


Grafico realizzato con la stampante incorporata nel sistema

## Espandibilità

Il modello 20 viene fornito in una sola configurazione: tastiera, monitor a colori, due drive da 5,5 pollici e relativi slot. Non è necessario alcuno slot supplementare per collegare altri due mini floppy. Invece dei mini floppy da 5,5 pollici è possibile impiegare in alternativa floppy standard da 8 pollici ma sempre in numero massimo di 4. Per la registrazione di dati e programmi è immediatamente collegabile, anche un registratore a cassetta esterno. Volendo rendere il sistema più versatile si può facilmente aggiungere la penna luminosa (è sufficiente inserirla nel fianco destro del calcolatore). Un monitor televisivo monocromo esterno può essere collegato con altrettanta facilità alla presa, situata sempre sul lato destro, che fornisce un segnale video composito. Una prima possibilità di I/O è fornita dalla RS 232 C disponibile, sempre sul lato destro dell'apparecchio, anche sulla configurazione minima del sistema. Un passo successivo consiste nell'utilizzare i 5 slot sul retro della macchina. Uno di questo slot è obbligatoriamente impiegato per il monitor, un'altro generalmente per i dischi. Sono attualmente disponibili le seguenti schede: video interfaccia per video a colori o con 8 livelli di grigio (con qualche modifica sulla scheda); seconda interfaccia standard RS 232 C; interfaccia per mini floppy disk doppia faccia e doppia densità, 280 Kbyte per disco (può supportare fino a quattro unità); interfaccia per floppy disk standard 8" doppia faccia e doppia densità 1 Mbyte per disco; interfaccia parallela tipo Centronics; interfaccia standard IEEE 488, convertitore analogico-digitale, convertitore digitale-analogico, *BUFFER* per il *BUS* che permette di utilizzare direttamente i segnali del *BUS* dello Z80A, tramite questa sonda si può anche collegare un'espansione degli I/O che supporta quattro schede supplementari con fino a 256 linee di I/O, tre espansioni di memoria da 64 Kbyte e 128 Kbyte che espandono la memoria del microprocessore, da 256 Kbyte (16 x 16 Kbyte), con batteria di backup utilizzabile come buffer, una scheda universale che permette la creazione di dispositivi speciali fornendo dimensioni e connettori appropriati. Tutte le schede possono essere divise da più sistemi usando uno speciale box di supporto.

Come periferiche la BMC fornisce: mini floppy singolo 5,5 pollici 280 Kbyte, floppy 8 pollici doppio drive 1

### Produttore:

BMC International  
5/27 Tanimachi Osaka (Giappone)

### Distributore:

REBIT (divisione della G.B.C. Italiana S.p.A)  
V.le Matteotti, 66 - 20092 Cinisello B. (MI)  
Tel. 02/6181801 - 6189391

BMC - OKI if 800 mod. 20  
Z80A - 64 Kbyte RAM - sist. op. CP/M - OKI-BASIC

Linguaggi BASIC, COBOL, FORTRAN ecc. Interfaccia RS 232

2 floppy disk 5" 1/4 280 Kbyte per unità doppia faccia

Video colori 12" 8 colori sovrapponibili ad alta risoluzione, 120.000 punti

Stampante ad aghi incorporata matrice 7x7; 80 caratteri/sec.;

80-40 caratteri/linea; modo alfabetico/grafico

L. 9.500.000 + IVA

Interfaccia IEEE 488

L. 440.000 + IVA

Interfaccia Centronics

L. 210.000 + IVA

Convertitore A/D - D/A

L. 1.375.000 + IVA

Light pen

L. 523.000 + IVA

Cartuccia ROM

L. 110.000 + IVA

Hard Disk 5,25" - 5 MB

L. 4.300.000 + IVA

Mbyte per disco, un disco rigido Winchester da 5,25 pollici da 5 Mbyte oppure 10 Mbyte, una stampante a 132 colonne bidirezionale 120 cps, la penna luminosa di cui abbiamo già parlato, plotter con possibilità di cambiare 6 penne che si collega tramite l'interfaccia Centronics un digitalizzatore di circa 30 cm x 30 cm interfaccia RS 232 C, e un modem per comunicazioni telefoniche seriali. Naturalmente qualunque periferica può essere collegata al IF 800 tramite le interfacce standard o eventuali interfacce speciali.

Tutte queste possibilità di espansione consentono all'OKI IF 800 di adattarsi senza problemi a qualunque ambiente di lavoro, dal controllo computerizzato della strumentazione alla ricerca scientifica, dallo word processing alla gestione archivi.

## Documentazione

Con la macchina viene fornita una buona documentazione. I manuali del CP/M sono quelli della Digital Research (il CP/M è uno standard), di buon livello, sono accompagnati dal manuale del MBASIC (BASIC-80); ci hanno comunque informato che si tratta di documentazione provvisoria e che saranno presto disponibili manuali BMC. La parte hardware comprende un gruppo di fogli di specifiche e un manuale di riparazione, accompagnati dal manuale di descrizione dei test macchina contenuti nell'apposito dischetto. L'OKI BASIC è descritto in tre manuali: un manuale operativo che descrive le caratteristiche della macchina sotto OKI BASIC, un manuale di

descrizione dei comandi BASIC che ci ha dato una buona impressione generale anche se lo abbiamo trovato un po' troppo succinto in certi punti, e una "reference guide"; anche qui ci hanno detto che ci saranno presto manuali più completi. Tutti questi manuali sono purtroppo in inglese e speriamo che l'importatore italiano si dia da fare per tradurli. Unico manuale in italiano è per ora quello dello word processor Word Star. Va detto che è comunque facile trovare manuali italiani sul CP/M o sul Microsoft BASIC dato che si tratta di sistemi largamente diffusi. Non ci è stata purtroppo fornita la documentazione su alcune funzioni disponibili sotto CP/M, ma, trattandosi di un prodotto arrivato in Italia da poco tempo crediamo che non tarderà ad arrivare

## Conclusioni

Per le prestazioni offerte l'OKI IF 800 modello Q20 è da considerarsi una macchina di elevato livello. Il prezzo, in Italia è di Lit. 9.500.000 + IVA, ed è senz'altro adeguato alle prestazioni offerte. Non rivolgendosi certo all'hobbista domenicale o allo studente si propone come allettante alternativa a sistemi utilizzati professionalmente, di costo ben superiore.

L'importatore-distributore esclusivista italiano, la REBIT divisione della GBC, sede principale a Cinisello Balsamo (MI) in via Matteotti 66, sembra curare molto la diffusione di questa macchina e c'è quindi da aspettarsi un buon servizio di fornitura e assistenza.

# MINITELECAMERE PER STUDI E RICERCHE IN MEDICINA

Ing. dipl. Heinz-Wolfgang Köhler

In campo medico, la telecamera è ormai di casa sia come mezzo didattico che diagnostico. Le attuali minitelecamere consentono di portare i vantaggi delle tecniche video anche in altri campi specializzati della medicina e della chirurgia come quello dell'oculistica e della biologia. L'articolo presenta tre tipi di minitelecamere: una di piccole dimensioni, l'altra per riprese di movimenti veloci, la terza per la presentazione a colori dello spettro dell'infrarosso.

**I**n campo medico si sta sempre più affermando la tendenza di presentare mediante sistemi video i risultati di ricerche e di studi compiuti nei settori specializzati della microscopia e dell'endoscopia. Adattare sotto l'aspetto meccanico e elettrico una normale telecamera a queste nuove esigenze presenta non poche difficoltà specialmente nel caso in cui vengano usati microscopi o endoscopi orientabili. È per consentire di collegare senza particolari difficoltà la telecamera a queste apparecchiature mediche di ricerca che molti progettisti, dopo lunghi studi, sono riusciti a realizzare telecamere estremamente piccole e leggere. In questo loro compito sono stati facilitati da un lato dai costruttori di circuiti integrati che riescono a incorporare nei chip un numero di funzioni sempre maggiore, e dall'altro dai costruttori di tubi da ripresa TV che sono riusciti in questi ultimi tempi a realizzare tipi con dimensioni veramente ridotte (78 mm di lunghezza).

## Una telecamera a colori monotubo di ridotte dimensioni

È prodotta dalla Fa. Lemke, Gröbenzell/Monaco. Il componente chiave è costituito da un tubo da ripresa a colori

con filtro a strisce molto sensibile, sistemato in un robusto contenitore di alluminio di dimensioni 4 cm x 4 cm x 16 cm. L'elettronica non necessariamente occorrente al funzionamento del tubo è stata sistemata in una unità di controllo separata, fornita come subsistema insieme al relativo monitor (figura 1). Il collegamento tra telecamera e unità di controllo è realizzato median-

te un cavo lungo 3 m, che serve anche da cavo di alimentazione della telecamera.

I dati tecnici principali sono i seguenti:

- 300 righe di risoluzione al centro dell'immagine
- rapporto segnale/disturbo 48 dB
- intensità luminosa minima richiesta inferiore a 5 lux (lx)

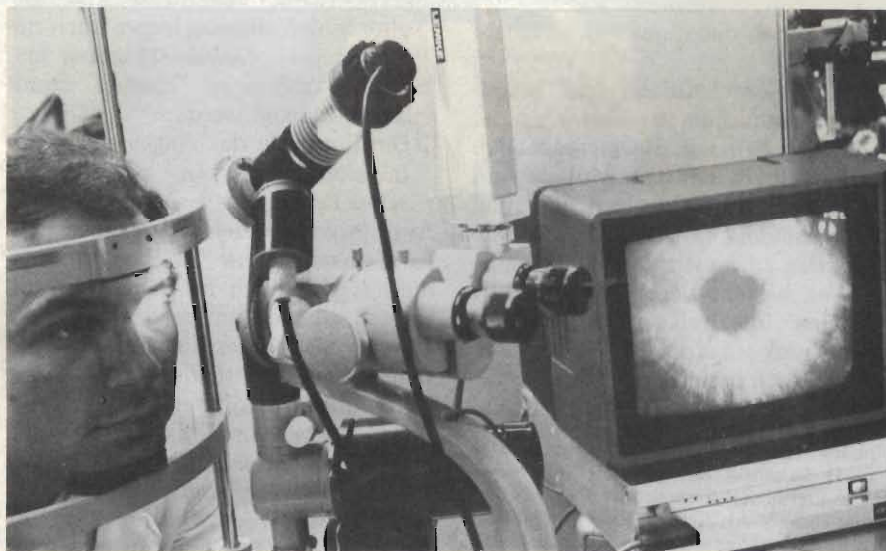


Fig. 1 - Combinazione di una telecamera a colori miniatura con un microscopio per uno studio sull'occhio (Foto: Köhler).

- peso 400 g
- impiego di due nuovi filtri a pettine
- montaggio a C
- sette differenti adattatori per il collegamento di tutti i tipi di endoscopi flessibili o rigidi normalmente impiegati

La telecamera è così piccola da essere maneggiata dagli endoscopisti come una "maniglia", e di conseguenza non costituisce un ingombro per le apparecchiature mediche di ricerca vere e proprie. Essa trova quindi ideale impiego in tutti quei casi nei quali assumono grande importanza le dimensioni e il peso, in particolare nelle apparecchiature di studio e di diagnosi nel settore della medicina oculistica.

Questa telecamera miniatura rappresenta quanto di più piccolo esiste sul mercato nel settore delle telecamere PAL a colori monotubo. Grazie alla sua elevata sensibilità (richiede poca luce) e alla nitidezza delle immagini da essa fornite, questa telecamera potrà trovare interessanti applicazioni anche in altri campi della medicina.

### Una telecamera per riprendere movimenti veloci

Da qualche tempo è comparsa sul mercato tedesco una telecamera di nuova concezione la quale, combinata con un adatto videoregistratore consente di riprendere 200 immagini complete al secondo; le immagini possono essere, a loro volta, ripresentate su schermo, una alla volta oppure e velocità rallentata.

Il sistema completo (prodotto dalla Dedo Weigert Film, Monaco) è costituito dalla telecamera, dal sistema di comando, dal registratore, dal monitor e ed eventualmente da una lampada stroboscopica. La telecamera è equipaggiata con tre Plumbicon da 2/3 di pollice. Può essere munita, di farfalla battitempo. Ciò permette di ottenere tempi di esposizione compresi tra 0,5 ms e 5 ms. Per tempi di esposizione dell'ordine di 20  $\mu$ s è prevista la sincronizzazione dei lampi della lampada stroboscopica. Ciò consente di riprendere e presentare immagini ben definite (e cioè non mosse) di oggetti che si muovono molto rapidamente.

I segnali video forniti dalla telecamera vengono registrati su un apposito registratore che impiega normali cassette VHS e che lavora con una velocità di trascinamento del nastro tre volte superiore a quella normale. Il sistema TV a colori adottato negli apparecchi è l'NTSC, il quale con i suoi 60 quadri al secondo, è senz'altro più veloce del sistema PAL (norma CCIR).

Per avere una precisa identificazione delle immagini viene assegnato a ciascuna di esse un codice di tempo che permette di descrivere nella maniera più precisa fenomeni che si svolgono rapidamente. In una normale cassetta VHS della durata di due ore è possibile "memorizzare" 430.000 singole immagini. Come in tutti i sistemi di registrazione che prevedono la riproduzione rallentata dei movimenti, così anche in questo è richiesta una intensa illumina-

nazione della scena ripresa. Così, per una illuminazione a lampi stroboscopici e con un diaframma 4, occorreranno più di 3000 lx; quest'ultimi diventerebbero 25000 nel caso in cui davanti al diaframma si dovesse sistemare la farfalla battitempo.

Una telecamera di questo tipo trova un adeguato impiego in campo medico, e in particolare nella medicina sportiva, nell'ortopedia e nell'ottica dove potrebbe essere usata per lo studio del tempo di reazione della pupilla e della durata dei movimenti della cornea. In questi casi si tratta infatti di studiare a velocità rallentata fenomeni che in natura si svolgono molto velocemente oppure che durano per un tempo estremamente breve. Altri settori d'impiego riguardano, sempre nel campo della medicina, lo studio delle reazioni dei tessuti sotto l'azione di un raggio laser (figura 2), lo studio del comportamento delle corde vocali e della membrana del timpano; nei settori farmacologico e fisiologico, per lo studio del comportamento e della velocità di contrazione dei muscoli immersi nei liquidi biologici (preparati).

Anche nel campo della ricerca, dello studio e del progetto di nuovi apparecchi chirurgici, una telecamera "high speed" come quella descritta potrà trovare un proficuo utilizzo: si pensi all'impiego di coltelli in rapida rotazione usati in alcune microoperazioni chirurgiche, allo studio del comportamento della punta del trapano del dentista, tanto per citarne alcuni.

### Una telecamera che riprende a colori lo spettro invisibile dell'infrarosso

Per la visualizzazione dei colori occorre disporre di un sensore che reagisce alle varie lunghezze d'onda dei colori dello spettro sia "sentendoli" singolarmente (modo sequenziale) sia tutti in una volta (modo contemporaneo). Una normale telecamera si limita a lavorare ovviamente solo entro il settore visibile dello spettro.

In campo scientifico e in particolare in quello della medicina, molte volte occorre invece poter "vedere a colori" anche le porzioni di spettro che si trovano alle due estremità dello spettro visibile, e cioè l'infrarosso e l'ultravioletto, e di conseguenza poter disporre di una telecamera a "banda larga".

Un modo per risolvere questo problema potrebbe essere questo: estrarre una porzione relativamente stretta del-



Fig. 2 - Collegamento di una telecamera "high speed" ad un fotocoagulatore laser per lo studio delle reazioni laser. (Foto: Köhler)



**Fig. 3 - Telecamera trasportabile combinata con un endoscopio a fibre ottiche impiegato per l'esame dello stomaco. (a destra). L'immagine può essere osservata anche su un monitor TV.**



lo spettro da studiare e suddividerla a sua volta in tre canali in modo da poter meglio riuscire a evidenziare anche piccole differenze di luminanze spettrali. È quello che ha fatto appunto l'olandese Davidse il quale ha descritto una telecamera che riesce a evidenziare molto accuratamente solo la *porzione dello spettro del rosso*. È stata scelta questa porzione dello spettro per il fatto che arrossamenti della pelle con varie sfumature possono dare precise indicazioni circa lo stato di irrorazione sanguigna oppure evidenziare fenomeni infiammatori.

Per le ricerche sull'occhio, lo spettro dell'infrarosso (vicino al rosso) assume particolare importanza a motivo di queste sue tre caratteristiche:

- i raggi infrarossi sono praticamente invisibili
- gli infrarossi possono penetrare all'interno dei tessuti meglio dei raggi visibili. Alla formazione di un'immagine potranno contribuire pertanto anche strati di tessuti situati in profondità; non potranno pertanto verificarsi eventuali false interpretazioni.
- i pigmenti dell'occhio presentano agli infrarossi un comportamento tutto particolare.

Sono questi motivi che hanno spinto alla realizzazione di una telecamera a colori capace di lavorare *esclusiva-*

*mente nelle vicinanze dell'infrarosso*; ciò permetteva infatti di poter meglio effettuare particolari ricerche e studi sull'occhio, in particolare le variazioni dei pigmenti come già detto.

Il primo prototipo di una siffatta telecamera multispettrale all'infrarosso è stata realizzata in una clinica oculistica specializzata di Monaco. Questo progetto è stato finanziato in parte dallo stato.

Come tubi da ripresa vennero impiegati tre Vidicon sensibili all'infrarosso. La suddivisione di questo spettro è stata effettuata mediante particolari filtri correttivi e specchi diecrici realizzati appositamente per questo scopo. La corrispondenza delle tre bande in cui viene suddiviso lo spettro dell'infrarosso da riprendere, con i colori visibili del rosso, del verde e del blu può essere realizzata in 6 modi diversi. Per aver dell'immagine infrarossa (immagine invisibile), una corrispondente immagine a colori *visibile* si è presa come componente *rossa* visibile, la porzione di spettro infrarossa ad onda più larga, come componente *verde* visibile, la porzione di spettro infrarosso ad onda media, e come componente *blu* visibile la porzione di spettro infrarosso ad onda più corta.

È possibile anche un'ulteriore elaborazione dei segnali video in segnali digitali. Per far ciò occorre trasformare

simultaneamente in segnali digitali i tre segnali video, trattenerli in una memoria tramite microprocessore per poi poterli rielaborare e studiare con comodo in un secondo tempo.

Questa telecamera a colori è stata progettata esclusivamente per studi e ricerche in campo ottico. Questo però non toglie che possa essere impiegata anche in altri campi della medicina. ■

#### Bibliografia

- **Funkschau 3/1982** -  
Medizinische Videokameras.  
Dipl. Ing. Heinz - Wolfgang Köhler.

### La Leadership dei videogiochi ad Hong Kong

Spetterebbe al piccolo Paese in diano la supremazia nella esportazione di videogames, ruolo conteso con accanimento anche da Formosa.

Nel 1981 Hong Kong avrebbe esportato sistemi per oltre 115 miliardi di lire, con un incremento di quasi il 600% rispetto al 1980.

# TRINICON

## Telecamera a colori semiprofessionale portatile

di L. Cascianini

La riduzione delle dimensioni dei tubi da ripresa TV a colori ha permesso di rendere estremamente maneggevoli le telecamere. Questo fatto ha consentito la loro utilizzazione in nuovi settori dell'industria e della ricerca. Recentemente è apparsa sul mercato una telecamera a colori, monotubo, altamente automatizzata la quale, combinata con il videoregistratore portatile BETAMAX, consente anche all'amatore e all'hobbista di realizzare riprese e film a colori della durata di 3 ore e mezzo.



Telecamera a colori HVC-4000P e videoregistratore SL-F1E, portatili entrambi. La telecamera fornisce immagini a colori impiegando un unico tubo da ripresa (Trinicon) da 2/3 di pollice. Possiede un mirino elettronico formato da un cinescopio b/n da 1/2 di pollice. È munita di un obiettivo macro zoom.

Il videoregistratore è un Betamax (scansione elicoidale a due testine). Fornisce un segnale video RF, codificato Pal, su tutti i canali della banda UHF. Impiega videocassette da 1/2 pollice per una durata di registrazione massima fino a 3 ore e mezza. La batteria di alimentazione (12 V) ha una capacità di 1,5 ampere/ora.

**H**a fatto la sua apparizione sul mercato una telecamera a colori che con il relativo videoregistratore, rappresenta quanto di più funzionale e maneggevole esiste attualmente nel settore della videoregistrazione da telecamera portatile. La Sony, leader nel settore delle miniapparecchiature audio e video, ha concentrato in questa accoppiata telecamera/videoregistratore la sua esperienza pluriennale e il suo know-how ragguardevoli in questo settore. Queste apparecchiature hanno infatti beneficiato

dei grandi progressi tecnologici conseguiti in questi ultimi tempi nel settore dell'ottica (CANON), dell'integrazione su larga scala (LSI), della videoregistrazione magnetica (BETAMAX), e della produzione di tubi miniatura per riprese TV a colori (TRINICON).



Fig. 1 - Indicazione di tutte le funzioni attuabili con la telecamera Sony HVC-4000 P.

La telecamera portatile HVC-4000P è stata realizzata per funzionare con il videoregistratore trasportabile BETA-MAX SL-F1E. Quest'ultimo però può registrare anche immagini irradiate dai normali canali televisivi. Nel qual caso è disponibile il sintonizzatore TT-F1E che provvede, una volta programmato, a registrare programmi in modo autonomo entro un arco di tempo fino a due settimane.

### Il sistema ottico

L'immagine sul target del TRINICON è prodotta da un obiettivo CANON macro zoom (F/1,4) motorizzato che permette di passare senza vibrazioni, in 10 secondi, da una ripresa grandangolare con 12,5 mm di focale ad una

ripresa tele di 75 mm. Il motore dello zoom è silenzioso, per cui non può interferire con la qualità dell'audio. L'illuminazione minima della scena è 60 lux (f/1,4). Il controllo automatico della luminosità della scena può abbracciare valori di illuminazione compresi tra 60 e 100.000 lux.

### La telecamera

Come in tutte le telecamere, così anche in questa, il componente più importante è costituito dal tubo da ripresa, che in questo caso è il TRINICON, un tubo con filtri a strisce che *da solo* è in grado di fornire i segnali dei tre colori primari R, G, B. Il TRINICON possiede tutte le caratteristiche dei tubi da ripresa TV a colori da 2/3 di pollice prodotti in America e in Europa. Non presenta infatti gli effetti "blooming" e "coda di cometa", e possiede inoltre un'elevata risoluzione orizzontale (fino a 300 linee).

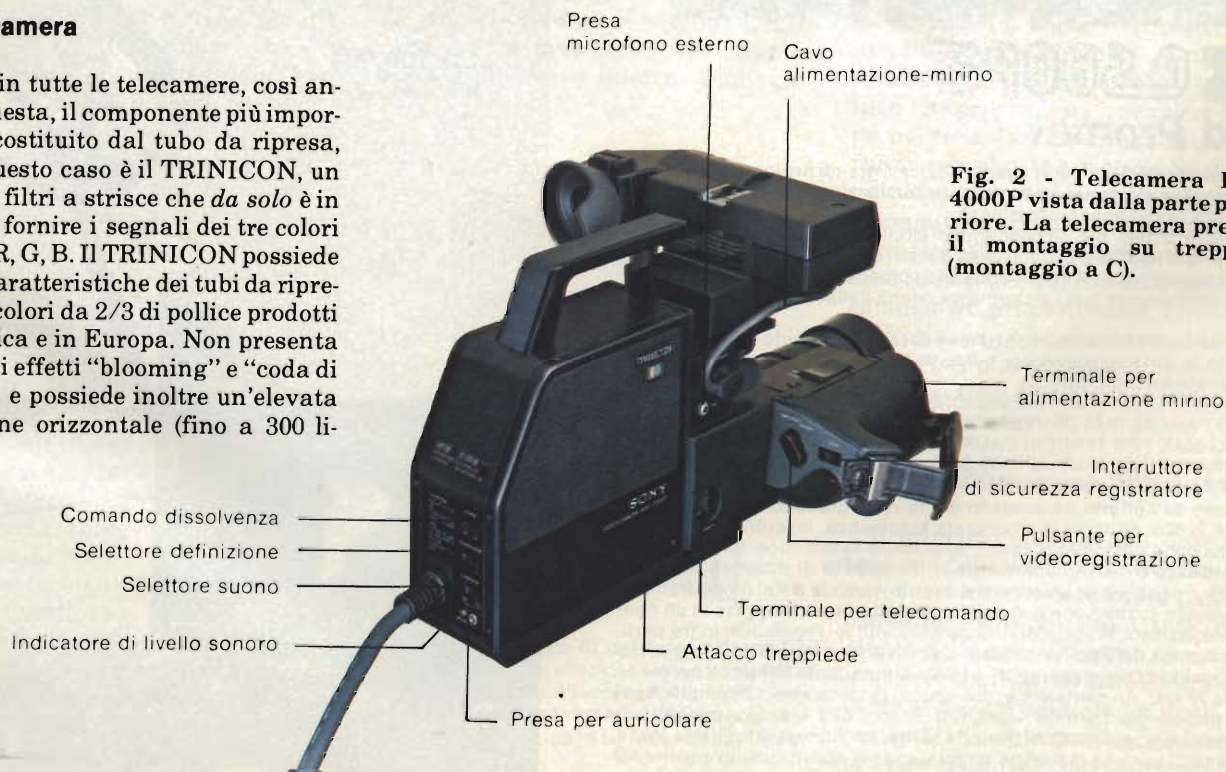


Fig. 2 - Telecamera HVC-4000P vista dalla parte posteriore. La telecamera prevede il montaggio su treppiede (montaggio a C).

L'ottica macro di questa telecamera dà la possibilità di rivedere gli oggetti piccoli, più grandi di quello che sono in realtà: insetti, piante e qualsiasi altro piccolo oggetto potranno essere ripresi alla distanza avvicinata di 3,5 cm. Molte volte nei film, un'immagine sembra dissolversi tra le scene più importanti. Anche questa telecamera consente di usare la tecnica di dissolvenza: basta agire sul comando dissolvenza automatica (automatic fader), che si trova sul retro della telecamera, e avremo all'inizio della registrazione dissolvenza *dal nero*, e alla fine, dissolvenza *verso il nero*.

Contemporaneamente alla dissolvenza dell'immagine si ha anche attenuazione del suono.

### Lo standard

La telecamera fornisce un segnale video codificato PAL (CCIR) su un'impedenza di 75 Ω. Il suo valore è 1 V da picco a picco; il segnale di sincronismo (prodotto dalla stessa telecamera) è diretto in senso negativo. Il raster è interlacciato (312 1/2 righe ogni campo) e 625 per un quadro completo. Il segnale video fornito dalla telecamera ha un rapporto segnale/disturbo di circa 45 dB.

### Il mirino elettronico

L'operatore può vedere con tutto comodo la scena ripresa e registrata, sullo schermo di un piccolo cinescopio bianco e nero da 1 1/2 pollice. Ovviamente, si vede sia la scena sia tutti gli effetti speciali.

È possibile rivedere automaticamente anche gli ultimi secondi dell'ultima scena registrata premendo il pulsante Record/Review, sistemato in posizione comoda sull'impugnatura della telecamera. Guardando nel mirino è possibile inoltre controllare tutti i parametri interessati ad una buona ripresa come il bilanciamento dei colori, l'esposizione e la regolazione del diaframma, e verificare se l'illuminazione della scena è sufficiente. Al termine della registrazione è sempre possibile rivedere sullo schermo del mirino le riprese effettuate (funzione di monitor).

### Facilitazioni per la messa a punto della telecamera

La HVC-4000P è la telecamera più sofisticata non professionale attualmente esistente sul mercato. Ciononostante non occorre essere un professio-

nista per poterla usare; con un minimo di attenzione è possibile realizzare ottimi film. Molti suoi comandi hanno infatti una "posizione verde" che fissa automaticamente il valore corretto di esposizione ed esegue (se lo si ritiene opportuno) tutte le regolazioni più importanti. L'aver reso automatica la regolazione di tutti i parametri interessanti ad una corretta ripresa è molto importante in quanto l'operatore può concentrare la sua attenzione esclusivamente sulla migliore inquadratura e angolazione della scena.

### Alimentazione e dati meccanici

La tensione di alimentazione della telecamera è 12 V. La potenza assorbita è 8,3 W (compresi 1,8 W per il funzionamento del mirino elettronico). Il peso è 2,9 kg. Le dimensioni (larghezza x altezza x profondità) sono: 255 x 200 x 354 mm compresi obiettivi zoom, mirino ed impugnatura.

La telecamera Trinitron è infine dotata di una funzione di inversione video (normal/reverse) che consente di registrare da fotografie a colori negative.

## CERCA-METALLI



### Mod. Promet

Questo rivelatore è concepito per la ricerca a grandi profondità e per l'impiego simultaneo ma separato della discriminazione. Si ottengono così, con facilità prestazioni professionali.

Il promet è dotato del sensibilissimo circuito G-Max che, unitamente all'esclusione degli effetti parassitari del terreno, non solo consente la ricerca di oggetti preziosi escludendo dalla prospezione i rottami, ma elimina automaticamente tutti i disturbi dipendenti dalla natura ferrosa del terreno.

Questo cerca-metalli è provvisto anche del circuito di auto esclusione che stabilizza la sintonia sul miglior punto di lavoro.

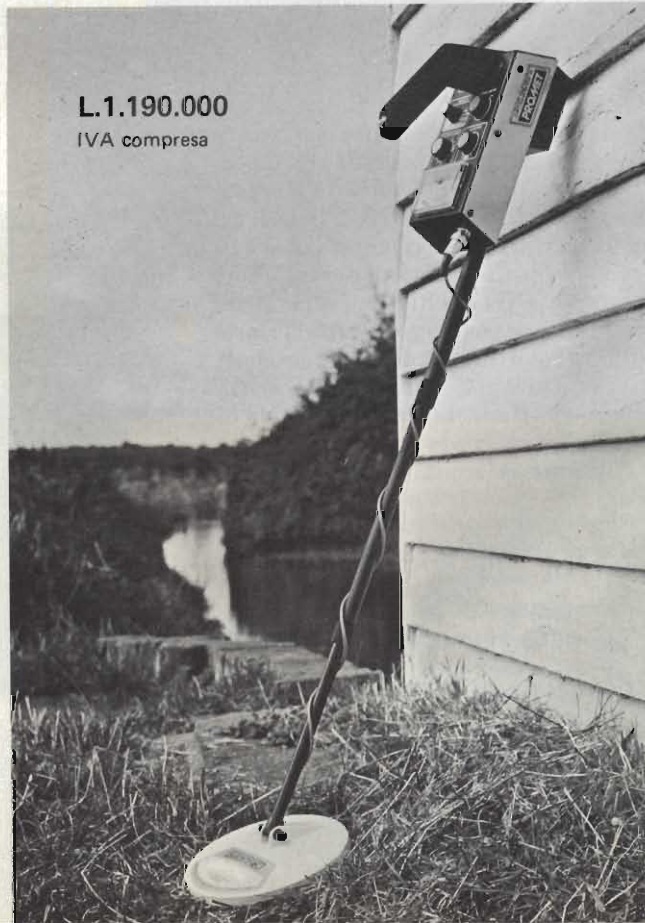
#### Caratteristiche principali

SUPER-PROFONDITÀ DI RILEVAZIONE "G-MAX". ESCLUSIONE DEGLI EFFETTI PARASSITARI DEL TERRENO G-MAX. IN ALTERNATIVA ESCLUSIONE G-MAX PER TERRENI CAMPAGNOLI O SPIAGGIE CON LA CONTEMPORANEA DISCRIMINAZIONE DEGLI OGGETTI E DELLE STAGNONE. SELEZIONI PROGRAMMATE PER LA MASSIMA FACILITÀ D'IMPIEGO.

Esclusione dell'effetto parassitario del terreno graduabile. Possibilità di scelta di livello. Sintonia memorizzata automatica, inseribile a pulsante. Commutazione del modo di lavoro istantaneo automatico. Sintonia "ON/OFF". Indicatore visivo supersensibile. Possibilità di misurare la carica delle pile. Possibilità di lavoro nella discriminazione o nel modo tradizionale. Robusta costruzione con il sistema elettronico compreso in un contenitore metallico. Braccio di ricerca telescopico, regolabile, in tre parti. Testa di ricerca del tipo "Widescan" da otto pollici, VLF/TR 2-D, per la più precisa localizzazione dei reperti trovati. Altoparlante interno. Frequenza di lavoro 19 kHz. Alimentazione: due gruppi di pile a stilo, 12 complessivamente, oppure due batterie ricaricabili. Peso 2,1 kg. Massima penetrazione nel terreno o sensibilità di rivelazione; nel funzionamento G-Max, circa 40 centimetri per una moneta singola, ancora approssimativamente 40 centimetri per il funzionamento nelle condizioni G e D; possibilità di rilevare grandi masse metalliche a metri di profondità.

SM 9940-00

DISTRIBUITO IN ITALIA DALLA GBC



L.1.190.000

IVA compresa



# TUBO DA RIPRESA A COLORI CON FILTRI A STRISCE

a cura della Redazione

In questi ultimi tempi, le telecamere portatili a colori hanno visto allargarsi il loro campo d'impiego. Ciò è stato possibile grazie al parallelo sviluppo di videoregistratori portatili. La trasportabilità della telecamera è dovuta principalmente al fatto d'impiegare un unico tubo da ripresa al posto dei tre o quattro delle telecamere convenzionali. In questo articolo è illustrato il principio di funzionamento di un tubo da ripresa in grado di fornire, da solo, separatamente, i segnali video dei tre colori primari.

**T**utti i sistemi di televisione a colori si basano sul fatto che l'occhio umano, osservando da una certa distanza due punti vicini di differente colore, non riesce a distinguere il colore del puntino singolo bensì percepisce un colore differente, risultante dalla mescolanza dei due colori. Partendo da questo "difetto" dell'occhio si è visto che per riprodurre tutti i colori esistenti in natura bastano tre soli colori chiamati colori *primari* e precisamente il rosso, il verde e il blu.

Basandosi su questo fenomeno, le attuali telecamere scindono per prima cosa, mediante filtri, specchi dicroici o prismi, i colori della scena ripresa nei tre colori primari rosso, verde e blu, ed inviano queste tre componenti primarie della scena ripresa, sui target di tre tubi da ripresa dai quali ricavano i tre segnali dei colori primari, e cioè, i segnali R G e B.

Nella maggior parte delle telecamere, il segnale di luminanza viene ricavato elettricamente dai tre segnali dei colori primari. Nelle telecamere molto professionali, il segnale di luminanza viene fornito da un quarto tubo da ripresa che fornisce direttamente il segnale di luminanza. Siccome i tre tubi da ripresa, presentano una differente sensibilità alle tre componenti dei colori primari, i segnali R, G e B in uscita vengono di regola normalizzati in maniera che una superficie bianca di una

scena ripresa possa essere riprodotta bianca anche sullo schermo del cine-scopio. Questa messa a punto è nota come *taratura del bianco*.

Nelle telecamere a tre tubi o a quattro tubi occorre evidentemente che un dato punto della scena venga analizzato nello stesso istante dai tre o dai quattro fasci di elettroni dei tre o quattro tubi da ripresa: solo se si verifica questa condizione si avrà perfetta sovrapposizione delle tre o quattro immagini.

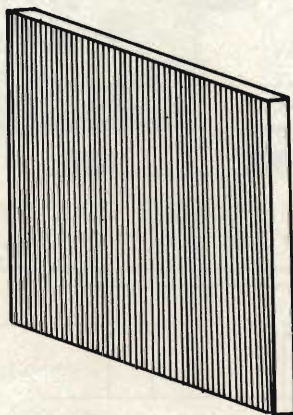


Fig. 1 - Struttura di principio di un filtro a strisce. Le singole strisce dei filtri sono disposte verticalmente. Le strisce si succedono in triplette di filtri che lasciano passare solo le luci rossa, verde e blu.

Quando ciò non avviene, le immagini a colori riprodotte sullo schermo del cine-scopio presenteranno colori differenti da quelli della scena ripresa e colorazioni ai bordi.

Una telecamera siffatta è indubbiamente complicata e costosa. Complicata nel senso che ogni tubo da ripresa richiede le sue bobine di deflessione e di focalizzazione nonché il relativo pre-amplificatore ecc. Anche le rispettive ottiche, e cioè l'insieme dei prismi o dei filtri che provvedono a scindere la scena nei tre colori fondamentali, risulteranno complicate e costose. Se si vuole quindi ridurre il costo della telecamera e semplificare il suo funzionamento occorrerà studiare altri sistemi per scindere i colori della scena nelle rispettive componenti primarie rosse, verde e blu.

Un sistema è quello dei cosiddetti *filtri a strisce* che permette di ricavare da un unico tubo da ripresa, i tre segnali dei colori primari R, G e B.

## Tubo da ripresa con filtri a strisce

Il principio che sta alla base di un tubo con filtri a strisce è semplice ed è il seguente: in un determinato punto del cammino percorso dalla luce proveniente dalla scena si inserisce un *filtro a strisce*. Un filtro siffatto è formato da tante striscette colorate verticali, molto strette in larghezza, le quali lasciano passare soltanto la luce corrispondente

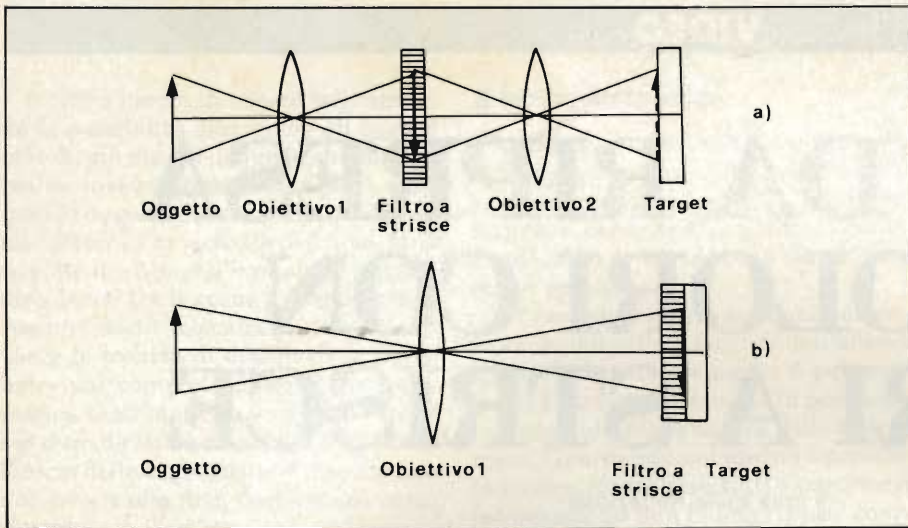
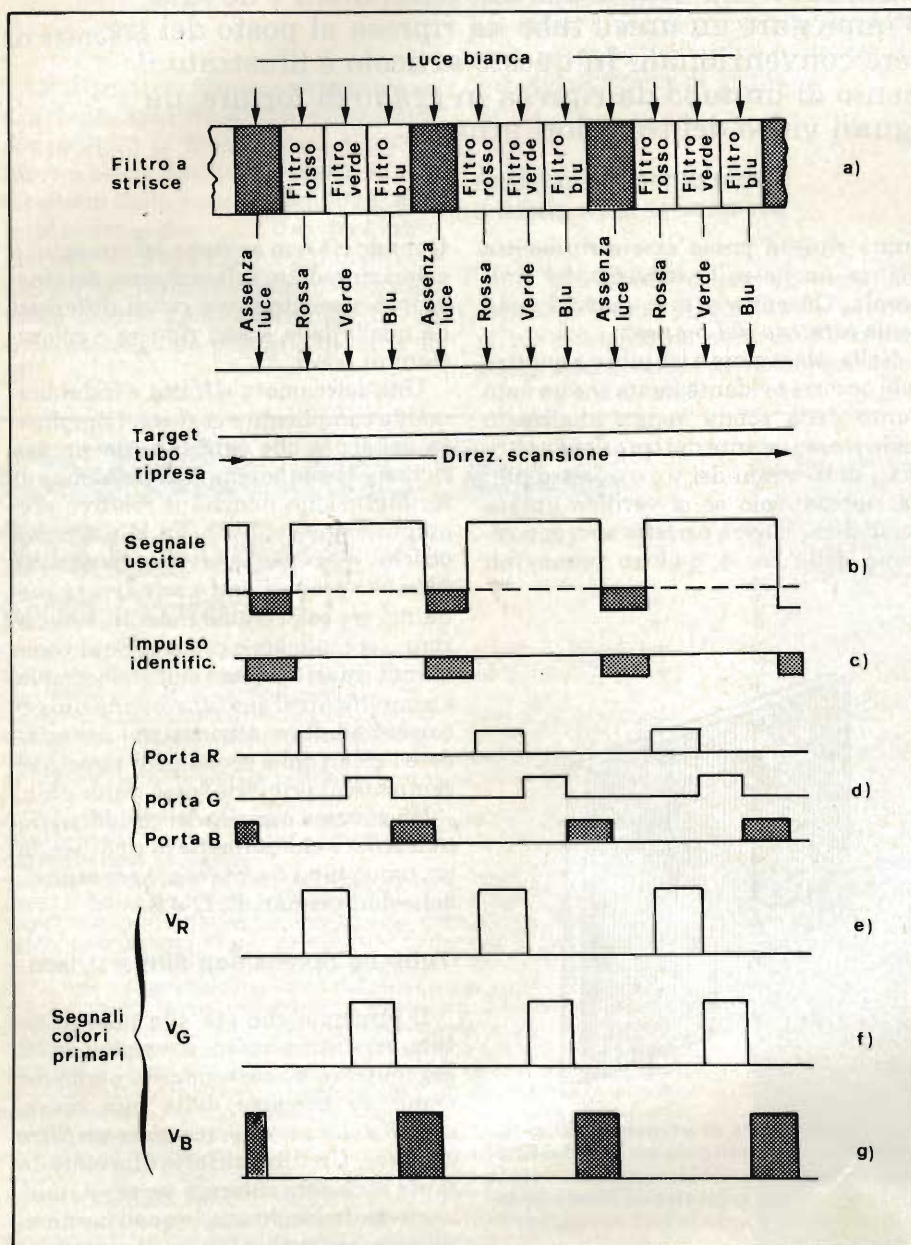


Fig. 2 - Inserimento di un filtro a strisce; a) all'interno del sistema ottico della telecamera; b) sulla superficie del target all'interno del tubo. Il disegno è fatto in modo che il fascio di scansione è osservato dall'alto.



al colore della striscia (figura 1). Disponendo un filtro di questo tipo tra le lenti del sistema ottico oppure immediatamente prima del target e supponendo di riprendere un bianco, sull'immagine riprodotta sul target avremo una sequenza di triplette di barrette rosse, verdi e blu (figura 2). Il fascio di elettroni del tubo, nel processo di scansione di queste barrette, fornirà in corrispondenza di ciascuna, un segnale corrispondente all'intensità luminosa di ciascuna barretta.

Supponendo per il momento che questo particolare tubo fornisca i segnali R, G, B separati da ogni striscetta è evidente che, data l'estrema piccolezza delle singole strisce, lo schermo di un cinescopio a colori apparirà bianco. Solo avvicinandosi e osservando con una lente sarà possibile rivedere le triplette verticali rosse, verdi e blu.

Il problema sarà ora di vedere come sia possibile che un unico fascio di elettroni fornisca tre differenti segnali, i segnali R G B, come cioè faccia ad applicare, ogni volta, durante la scansione, il segnale di una striscetta al relativo canale.

Per realizzare questa operazione sono stati studiati vari sistemi. Noi, per il momento, descriveremo quello più semplice, e cioè, il sistema *time multiplex*.

### Formazione dei segnali R, G, B con il sistema time multiplex

Esaminiamo attentamente la figura 3a, dove è riportata una porzione del filtro a strisce. Partendo da sinistra notiamo una striscia che *non lascia passare* nessuna luce, seguita da una tripletta di striscette-filtro che fanno passare la componente rispettivamente rossa, verde e blu. Supponendo di riprendere un bianco (luce bianca), il segnale d'uscita dal tubo durante la scansione di una riga sarà quello indicato in figura 3b. Qui vediamo che si ha

Fig. 3 - Separazione dei segnali dei colori primari VR, VG, VB in un tubo con filtro a strisce mediante impiego del sistema time multiplex. Il fascio di elettroni nel suo processo di scansione esplora sia le strisce opache che quelle trasparenti di ciascuna tripletta. Il segnale che viene generato in corrispondenza delle strisce opache serve per identificare e separare (segnale di identificazione) le tre strisce trasparenti di ciascuna tripletta. La separazione dei tre segnali dei colori primari viene effettuata mediante porte logiche pilotate dai segnali di identificazione.

una segnale minimo quando il fascio esplora la striscia opaca e un segnale massimo quando il fascio esplora le strisce rosse, verdi e blu (o meglio le luci rosse, verdi e blu prodotte dalle corrispondenti strisce sul target).

Nella figura 3b per semplicità, ad ogni tripletta di filtri rossi, verdi e blu abbiamo fatto corrispondere un unico segnale rettangolare. In realtà, ad ogni tripletta di strisce corrisponde una tripletta di segnali con angoli molto arrotondati.

A questo punto, l'attenzione va fissata sui segnali che il fascio di elettroni produce quando passa sopra la striscia opaca. Sono segnali *periodici* e possono quindi essere presi come segnali di riferimento o di identificazione. Sono di basso valore dato che praticamente vengono prodotti dalla corrente in oscurità. In ciascuna riga, il loro numero è ben determinato, come del resto è ben determinato anche il numero delle strisce contenute in una riga.

Si comprende facilmente come, partendo dalla struttura geometrica molto esatta del filtro a strisce, anche i relativi segnali, compreso quello di identificazione e quelli prodotti dai colori delle singole strisce, abbiano una durata ben determinata, e nel tempo di scansione di una riga, si succedano quindi con una cadenza fissa (clock).

Ciò premesso, sarà possibile pilotare mediante un contatore comandato da questo clock, tre porte logiche (figura 3d) le quali potranno "aprirsi", *la prima* in corrispondenza dei segnali delle strisce rosse la seconda in corrispondenza delle strisce verdi e la terza in corrispondenza dei segnali delle strisce blu. Ciascuna delle suddette porte potrà quindi considerarsi la *sorgente* dei segnali dei colori primari rispettivamente del rosso, del verde e del blu. In definitiva quindi è la differente distanza nel tempo di ciascun segnale primario di una tripletta rispetto al relativo segnale di identificazione che la precede, che permette la separazione dei tre

segnali dei colori primari  $V_R$ ,  $V_G$ ,  $V_B$ . Questa separazione è indicata graficamente nelle figure 3e, f, g.

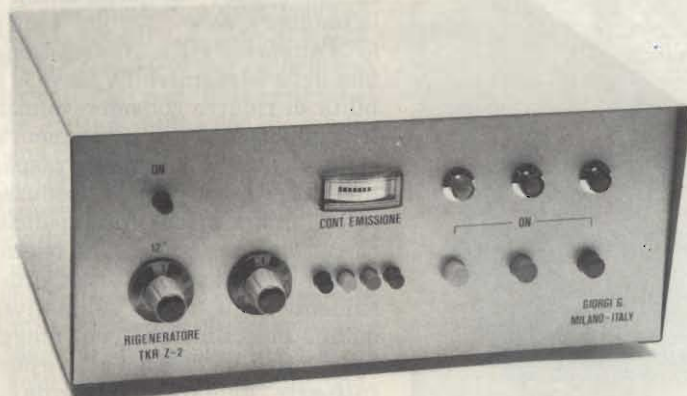
Il segnale di luminanza, anche in questo caso, si ricava per matricizzazione dei segnali dei colori primari  $V_R$ ,  $V_G$ ,  $V_B$  ricavati nella maniera suddetta. Se invece si impiegasse un secondo tubo da ripresa, allora il compito di produrre il segnale di luminanza verrebbe affidato a questo secondo tubo.

Il sistema time multiplex descritto è, come abbiamo visto, estremamente semplice, non è però esente da inconvenienti tra i quali segnaliamo: l'esigenza di realizzare un tubo da ripresa con un potere risolutivo tre volte superiore a quello dei tubi convenzionali. Anche i relativi amplificatori video fino all'ingresso delle porte logiche, devono possedere una banda passante superiore. Un eventuale sfasamento dei segnali che pilotano le porte, causerebbe inevitabilmente colori sbagliati. Anche l'illuminazione della scena deve essere molto elevata. ■

# Giorgi G.

## APPLICAZIONE ELETTRONICA - STRUMENTAZIONE

20159 Milano - Via Alserio, 3 - Tel. 68.84.495



**TECNICI non GETTATE i cinescopi difettosi ma riattivateli con il Rigeneratore Z-2!**

- Lo Z-2 dopo il trattamento ridona al tubo la luminosità e i colori originali
- Non danneggia gli elettrodi con scariche nocive
- Impiega tecniche nuove d'avanguardia con l'impiego di frequenze ultrasoniche
- Controlla e rigenera l'emissione dei tre catodi, (Rosso-Verde-Blu) separatamente o simultaneamente
- Verifica lo stato del cinescopio ed è indispensabile per fare preventivi. Anche a TV spento si sa con sicurezza se il tubo è efficiente e così si evitano inutili riparazioni.

RIGENERATORI DI CINESCOPI Z-2 A COLORI BIANCO E NERO E 12" UTILE PER DETERMINARE SE IL GUASTO DIPENDE DAL CINESCOPIO O DAI CIRCUITI

**GARANTITO 2 ANNI**

Sono interessato a:

Ricevere documentazione tecnica

Acquistare lo strumento.

In questo caso fare domanda scritta allegando numero di codice fiscale oppure partita IVA.

Nome: .....

Cognome: .....

Ditta: .....

Indirizzo: .....

Città: ..... Tel: .....

SE-7/8-82

# TUBO MINIATURA PER TELECAMERE PORTATILI

a cura di J. Cadovic

Le telecamere portatili a colori troveranno in questo tubo la soluzione ideale dei loro problemi: leggerezza, elevata definizione, basso consumo per citare i più importanti. L'articolo illustra una serie di novità tecnologiche introdotte per la prima volta con lo scopo preciso di produrre un tubo da ripresa TV veramente di piccole dimensioni.

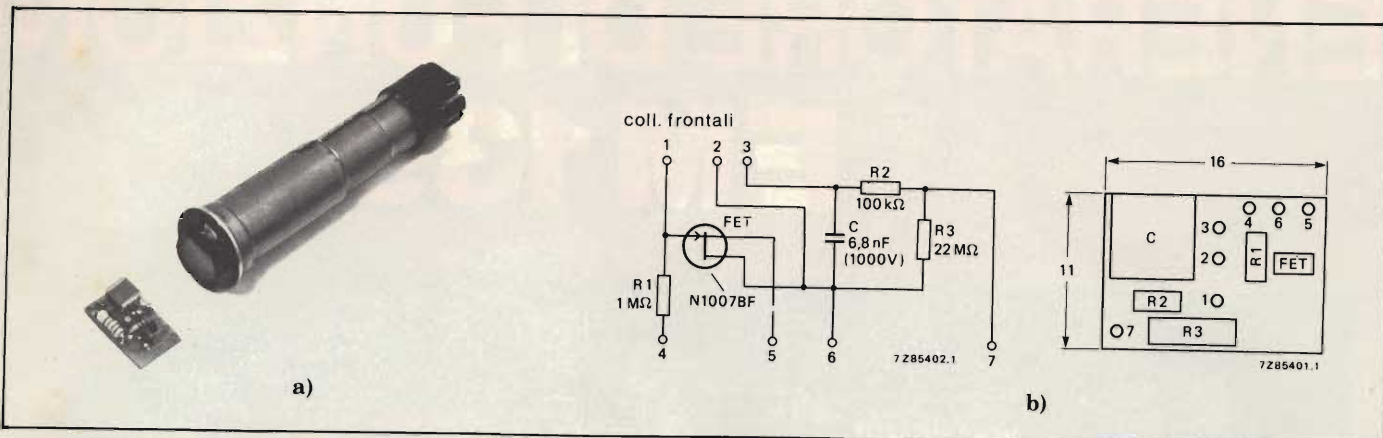


**L**e attuali tecnologie VLSI consentono di integrare nei chip un numero sempre più grande di funzioni circuitali. Questo vale sia per i sistemi analogici ma principalmente per i sistemi digitali. Questo dato di fatto ha portato alla "miniaturizzazione" di molte apparecchiature operanti nel campo della produzione industriale e della ricerca scientifica, e di conseguenza all'impiego di questi apparati in nuovi settori. In questi ultimi tempi la tendenza verso "sempre il più piccolo" l'abbiamo vista affermarsi nel settore delle telecamere TV, dove la possibilità di ridurre considerevolmente le loro dimensioni e di conseguenza consentito una loro maggiore trasportabilità ha permesso la loro introduzione in settori finora inesplorati (medicina, ricerca, sport ecc. ecc.). La telecamera infatti da "macchina" custodita gelosamente negli studi TV, sta diventando una macchina che può "viaggiare" all'aperto, alla luce del sole, e può inoltre essere "guidata" non solo da esperti cameramen ma anche da fotografi, "hobbisti", amatori, ecc.

Alla trasportabilità e all'estrema maneggevolezza delle attuali telecamere hanno contribuito non solo i nuovi circuiti integrati LSI ma principalmente i nuovi tubi da ripresa, estremamente compatti, capaci di dare ottime

---

I Plumbicon da 2/3 di pollice consentono di realizzare telecamere trasportabili. Questa telecamera (LDK14) lavora con tre tubi; pesa 5,5 kg.



immagini anche se impiegati in "esterni" dove le condizioni di illuminazione non sono certamente quelle calibrate e dosate degli studi TV, ma possono andare da scene molto illuminate (alta montagna, mare), a poco illuminate (normali abitazioni).

I tubi da ripresa per le telecamere trasportabili dovranno pertanto avere elevata *sensibilità*, ottima *risoluzione dinamica*, capacità di riprendere oggetti molto luminosi fissi o mobili, presenti nella scena da riprendere senza introdurre l'effetto "blooming" o "coda di cometa".

### Tubo da ripresa con diagonale di 8 mm

Queste esigenze hanno spinto i costruttori specializzati in questi componenti a passare dal noto e molto impiegato Plumbicon da 2/3 di pollice, con diagonale di 11 mm (introdotto nel 1975) ad un nuovo tubo con diagonale di appena 8 mm (per esempio, il Plumbicon 80XQ Philips). Questo tubo (*figura 1a*) consente di dimezzare dimensioni e peso di una telecamera funzionante con un tubo da 2/3 di pollice, telecamera che già con il tubo con diagonale dia 11 mm era facilmente trasportabile. La maggiore trasportabilità è dovuta anche al fatto che, grazie all'introduzione della focalizzazione elettrostatica, le batterie di alimentazione sono diminuite di numero, e questo fatto apre la possibilità di incorporare nella telecamera anche il registratore video che attualmente è invece portato a tracolla dall'operatore.

### Struttura elettrodica e focalizzazione elettrostatica

La struttura del Plumbicon con diagonale di 8 mm si discosta considerevolmente da quella dei precedenti tubi da ripresa (*figura 2*). Il contenitore di

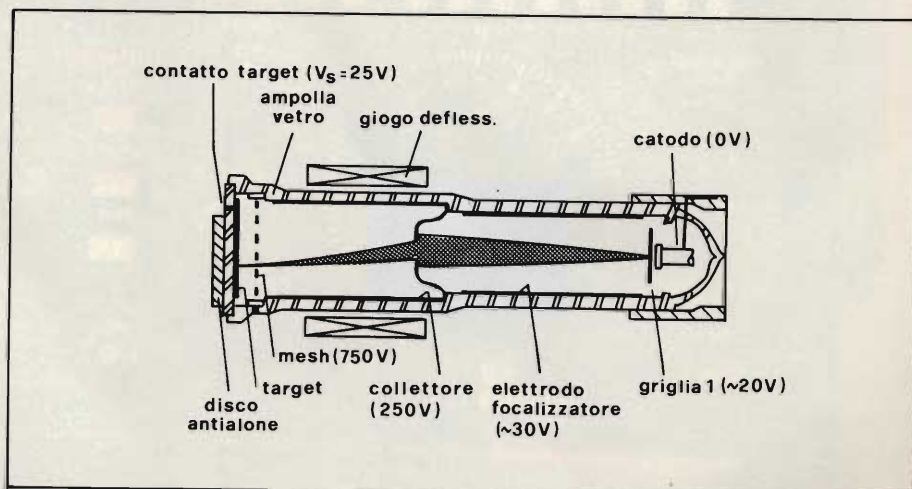


Fig. 2 - Struttura elettrodica, bobina di deflessione e connettore esterno per gli elettrodi del Plumbicon da 8 mm



# GENERATORE DI FUNZIONI EM 139



- **Campo di frequenza:** da 0,1 Hz a 10 MHz
- **Funzioni:** Sinusoidale, rettangolare, triangolare, rampa, impulsi e burst
- **Modulazione d'ampiezza:** regolabile da zero al 100%
- **Modulazione di frequenza**
- **Volutore interno**

# UNAOHM

**START S.p.A.**

**Uff. Commerciale** : Via F. Brioschi, 33 - 20136 MILANO  
Tel. 02/8322852-3-4-5

**Stabilimento** : Via Di Vittorio, 45 - 20068 PESCHIERA BORROMEO (MI)  
Tel. 02/5470424-5-6-7 - Telex: UNAOHM 310323

# è in edicola!

# Bit

UNA PUBBLICAZIONE  
DEL GRUPPO EDITORIALE JACKSON

LA PRIMA  
E PIÙ DIFFUSA RIVISTA  
DI PERSONAL COMPUTER

3.000

HANNOVER MESSE '81

WORDCRAFT 80  
WORDSTAR

Speed in Abbe. Postale Gruppo IIR70



APPLE  
WRITER

APPLE,  
ATARI,  
PET,  
SINCLAIR  
E VIC  
CLUB

**BITEST**  
HEWLETT PACKARD HP125

In questo numero:

- TI 99/4A, Osborne 1, Rainbow 100
- "Hannover Messe '81 Cebit"
- Bitest HP 125
- Il word-processing
- Wordcraft 80, Wordstar, Apple writer
- I package di W.P.
- Sistema di word-processing in Pascal per Apple
- Lo Scripsit della Tandy
- Apple, Atari, Pet, Sinclair e Vic Club
- CPM/Corner

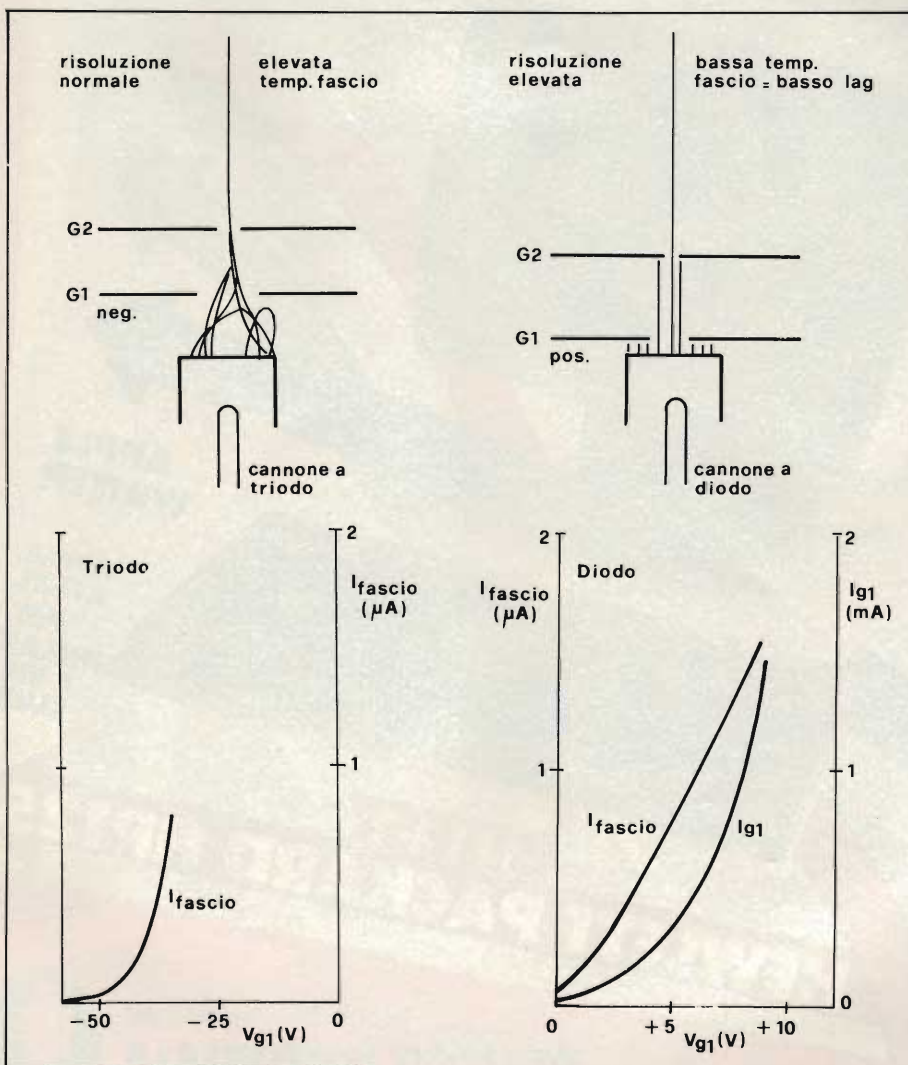
Una pubblicazione del  
**GRUPPO EDITORIALE  
JACKSON**



**Tabella 1:**  
Confronto tra le caratteristiche principali di due plumbicon (da 8 e 11 mm)

Tubo	80XQ	XQ2427	
Giogo	DT1120	AT1109	
Focalizzazione	elettrostatica	magnetica	
Diagonale di scansione	8	11	mm
Lunghezza complessiva	78	115	mm
Diametro del giogo	22	35	mm
Peso tubo	11	25	g
Peso giogo	50	230	g
Peso complessivo	65	225	g
Filamento	0,5	0,6	W
Focalizzazione (potenza complessiva)	—	0,9	W
Potenza complessiva	0,5	1,5	W
Profondità modulazione a 4 MHz*	45	65	%
Sensibilità	280	220	( $\mu$ A/ lumen)
Capacità di uscita	3,5	6,5	pF
Lag dopo 60 ms**	6,5	9	%

\* Misurata con luce verde  
\*\* Misurata con luce verde senza luce di polarizzazione



vetro non è la solita ampolla per il mantenimento del vuoto ma diventa anch'esso un elemento funzionale in quanto fa da supporto ai principali elettrodi del cannone. Infatti, oltre al target, che di regola fa parte dell'ampolla, sono stati "adagiati" sul vetro l'elettrodo per la focalizzazione elettrostatica, il collettore e il "mesh" (e cioè l'elettrodo a reticolo che si trova di fronte alla superficie interna del target e che serve a decelerare gli elettroni).

La nuova strutturazione di alcuni elettrodi consente di ottenere tolleranze dimensionali dell'ordine del micron, e di conseguenza, di avere un'ottima "registrazione". Tra gli altri vantaggi segnaliamo inoltre una maggiore stabilità delle caratteristiche e assenza assoluta di microfonicità.

Il catodo, impregnato di materiali speciali, consente di ridurre, a parità di emissione catodica, l'energia richiesta per l'accensione del filamento; la tensione passa da 6,3 V a 9 V, (55 mA).

Il cannone elettronico è un *cannone a diodo*, in quanto la griglia 1 è resa positiva rispetto al catodo (figura 3). Il cannone a diodo, (i cannoni convenzionali funzionano a triodo, e cioè con tensione negativa in griglia), permette di eliminare la convergenza del fascio, e di conseguenza il cross-over. Come conseguenza si ha una diminuzione della resistenza differenziale e della temperatura del fascio, e conseguente riduzione del lag (Lag = ritardo nella formazione di una nuova corrente di segnale dopo una rapida variazione di luminosità del target). Ridurre il fenomeno del lag significa poter impiegare target più sottili, e di conseguenza, avere un aumento della profondità di modulazione e della risoluzione "statica".

Per ridurre l'ingombro dell'alimentatore (batterie), la focalizzazione anziché essere come al solito ottenuta per via magnetica è realizzata per via elettrostatica. L'elettrodo focalizzatore (figura 2) è costituito da un sottile strato metallico depositato sulle pareti dell'ampolla del tubo. Questo elettrodo, a cui viene applicata una tensione di circa 30 V, insieme al collettore a 250 V forma una lente *acceleratrice* che con-

Fig. 3 - Confronto tra il convenzionale cannone a triodo con crossover del fascio e il nuovo cannone a diodo nel quale il crossover non è più presente. In basso sono riportate le relative curve caratteristiche.



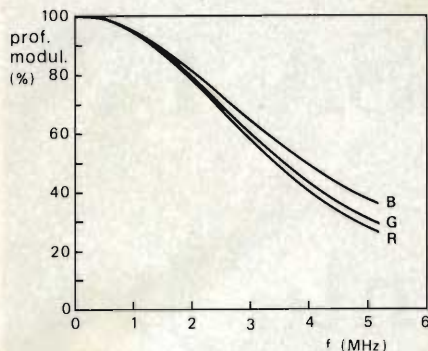


Fig. 4 - Profondità di modulazione in funzione della frequenza per i colori rosso, verde e blu nel Plumbicon 80XQ.

Tabella 2:  
Confronto tra telecamere a colori a 3 tubi funzionanti con 80XQ e XQ2427

Tubo	80XQ	XQ2427	
Lunghezza focale lenti (zoom)	6,5-78	9-108	mm
Apertura obiettivo	f/1,4	f/1,7	
Peso lenti	1,1	1,6	kg
Peso prisma	0,2	0,4	kg
Peso tubo e giogo (x3)	0,2	0,8	kg
	<b>Totale</b>	<b>2,8</b>	<b>kg</b>
Filamento	1,5	1,8	W
Focalizzazione	—	2,7	W
Circuito focalizzazione	—	1,5	W
	<b>Totale</b>	<b>6,0</b>	<b>W</b>
Rapporto segnale/disturbo con 600 lux. $\rho = 60\%$ , f/2 alla massima apertura	46,1	50	dB
	52,3	52,7	dB

sente di ottenere uno spot con diametro ben determinato entro una distanza inferiore a quella richiesta dalle lenti unipotenziali. Questa lente acceleratrice consente non solo di accorciare il tubo ma insieme al cannone a diodo, tende anche a impedire che gli ioni eventualmente presenti possano "avvelenare" il catodo. Anche l'elettrodo del collettore è ottenuto mediante deposizione di uno strato metallico sulle pareti dell'ampolla.

La deflessione del fascio ha luogo all'interno del collettore; data la bassa tensione applicata al collettore (250 V), il fascio di elettroni non subirà all'interno del collettore una forte accelerazione, e di conseguenza, l'energia richiesta per la deflessione del fascio risulterà più ridotta.

La parte del collettore rivolta verso il catodo termina con una chiusura a cupola il cui foro centrale tende a diminuire il diametro del fascio, e di conseguenza, mentre costituisce parte della lente acceleratrice, riduce nello stesso tempo al minimo l'aberrazione sferica del fascio con il risultato finale di avere agli angoli del target una definizione pressochè identica a quella che si ha al centro.

C'è da notare inoltre che il mesh, essendo di ridotte dimensioni, è anche molto robusto, e di conseguenza, non soggetto a fenomeni di microfonicità. Questo particolare è molto importante in quanto se la telecamera dovesse contenere un registratore video, il motore e la relativa puleggia di trascinamento del nastro non potrebbero causare fenomeni di microfonicità, e di conseguenza, non potrebbero alterare la qualità dell'immagine.

Il target possiede bassa capacità di uscita. In proposito sarà opportuno fa-

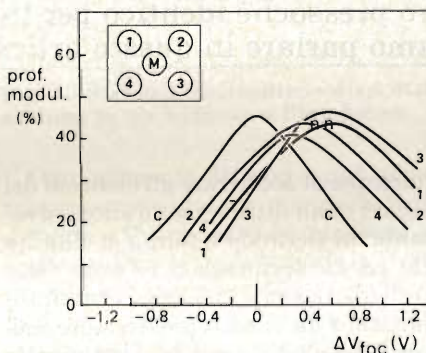


Fig. 5 - Profondità di modulazione al centro e agli angoli del target dell'80XQ a 4 MHz, in funzione della variazione della tensione di focalizzazione. Misurata con luce verde.

re presente che la sensibilità di un tubo da ripresa tende ad aumentare all'aumentare del rapporto segnale/disturbo. Un sistema per aumentare questo rapporto consiste appunto nel ridurre la capacità di uscita del tubo. In questo tubo, la riduzione della capacità di uscita è stata ottenuta diminuendo le dimensioni dello strato conduttivo metallico trasparente sul quale si trova il target. Ciò ha consentito di realizzare un miglioramento di 3 dB nel rapporto segnale/disturbo.

Un'altra novità: il tubo non ha piedini. I collegamenti al collettore, all'elettrodo focalizzatore, alla griglia 1, al catodo e al filamento sono realizzati mediante contatti metallici riportati sulla base del tubo. Questa esecuzione non soltanto rende più corto e più leggero l'insieme giogo di deflessione/tubo ma consente anche di estendere oltre la sua parte terminale, lo schermo in mu-metal così da ottenere una schermatura veramente efficace contro i campi magnetici esterni.

Data l'estrema precisione con cui sono realizzati sia l'ampolla che gli elettrodi depositati sulla sua parete interna, questo tubo non ha bisogno di magneti o di bobine di allineamento, per cui tutto l'insieme risulta più semplificato e compatto.

Interessante è la tabella 1 nella quale sono riportati i dati caratteristici essenziali dei Plumbicon 80XQ e XQ2427. Perciò che riguarda i dati meccanici e quelli dell'alimentazione, decisamente l'80XQ presenta indiscussi vantaggi. Data l'area di scansione più piccola, l'80XQ denuncia una certa perdita di definizione, evidenziata da una più bassa profondità di modulazione a 4 MHz. Impiegato in una telecamera a colori a tre tubi, questa perdita di definizione non si nota.

Nella tabella 2 sono riportati i dati caratteristici di due telecamere a colori a tre tubi impieganti rispettivamente i Plumbicon 80XQ e XQ2427. Il confronto non è rigoroso in quanto questi due tubi posseggono dimensioni di diagonale e target di differente valore. ■

**Leggete**

**CINESCOPIO**

**... la rivista**

**del**

**riparatore TV**

# TUBI DA RIPRESA TV

## Principio di funzionamento

a cura di L. Cascianini

Molti sono i tipi di tubi impiegati attualmente nelle telecamere in bianco e nero e a colori: Vidicon, Plumbicon, Newvicon tanto per citare i più usati.

Anche le dimensioni assunte sono molto differenziate. Il principio di funzionamento resta però pressochè identico per tutti, ed è di questo che vogliamo parlare in questo articolo.

**I**n qualsiasi tubo da ripresa TV, un sistema di lenti (obiettivo) provvede a mettere a fuoco sulla faccia anteriore dello strato fotoconduttore (target), la scena che si vuole riprendere. Lo strato fotoconduttore trasforma l'immagine ottica presente sulla faccia anteriore in una corrispondente *immagine elettrica* (formata cioè da cariche elettriche), che si forma sulla faccia posteriore, e cioè sulla faccia che "guarda" il catodo del tubo. L'immagine elettrica viene successivamente analizzata riga su riga da un sottile fascio di elettroni che trasforma le *differenti densità di cariche* contenute in una riga di scansione (corrispondenti alle *differenti intensità luminose* della "riga" dell'immagine ottica) in una riga di segnale video.

Nella *figura 1* è riportata la struttura essenziale di un tubo da ripresa (Vidicon o Plumbicon). La scansione e la focalizzazione del fascio avvengono in questo caso entrambe per via magnetica. Il cannone elettronico s'incarica di produrre il fascio che provvede alla scansione dell'immagine. Il fascio viene focalizzato e deflesso dalle bobine rispettivamente di focalizzazione e di deflessione e può quindi "atterrare" ed analizzare riga su riga lo strato fotoconduttore (target).

Il cannone è formato da un catodo riscaldato in maniera indiretta e da una serie di griglie (g1...g4). La tensione applicata sulla griglia 1 provvede a controllare l'intensità della corrente del fascio. La griglia 2 (primo anodo)

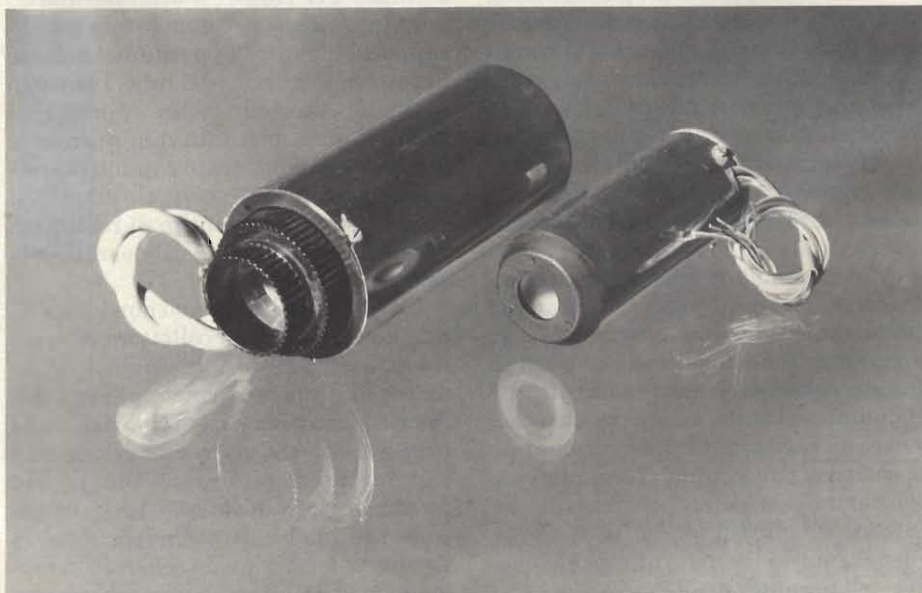
s'incarica di accelerare gli elettroni del fascio i quali attraversano successivamente un elettrodo a forma di cilindro (g3) ed un sottilissimo reticolo detto mesh (g4); quest'ultimo ha il compito di realizzare un campo deceleratore uniforme, immediatamente davanti alla faccia interna del target.

Le bobine di focalizzazione producono un campo magnetico le cui linee di forza sono dirette in direzione dell'asse del tubo. Questo campo, in combinazione con un adatto valore di tensione applicato alla griglia 3, effettua la focalizzazione del fascio sulla superficie del

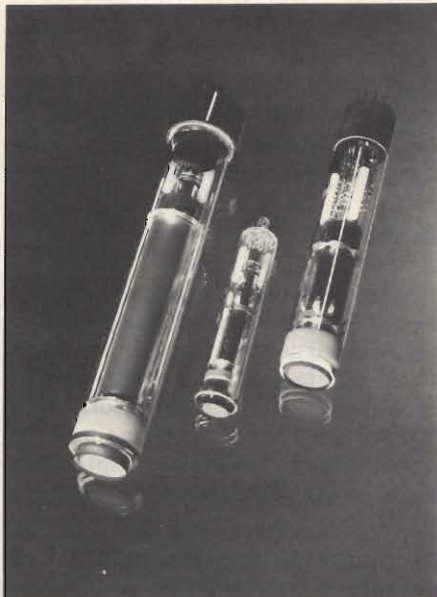
target. La focalizzazione perfetta del fascio potrà pertanto essere realizzata sia agendo sulla corrente circolante nelle bobine di focalizzazione sia agendo sulla tensione applicata a g3.

Due bobinette, cosiddette di allineamento, producono un campo trasversale, il quale, potendo essere variabile, consente di rendere il cammino del fascio *parallelo* rispetto all'asse longitudinale del tubo con il risultato finale di fare atterrare perpendicolarmente il fascio in tutti i punti della superficie del target.

Due serie di bobine di scansione (ri-



Esempi di gioghi di deflessione e di focalizzazione di tubi per ripresa TV. In questi ultimi tempi la focalizzazione viene realizzata per via elettrostatica.



Alcuni tipi di tubi da ripresa Vidicon e Plumbicon. I Vidicon sono disponibili in diametri da 1 pollice e 2/3 di pollice. I Plumbicon da 1-1/4 di pollice a 2/3 di pollice sono i tubi da ripresa ideali per la televisione a colori.

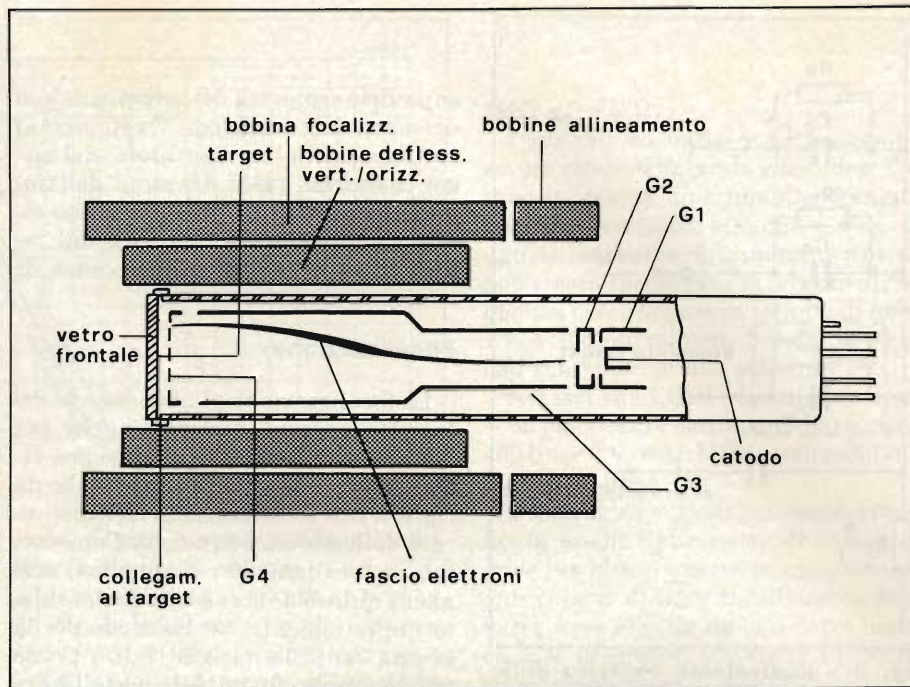


Fig. 1 - Sistema elettrodico e disposizione delle bobine di deflessione e di focalizzazione in un Vidicon o Plumbicon.

spettivamente di riga e di quadro) s'incaricano infine con i loro campi magnetici di deflettere orizzontalmente e verticalmente il fascio in modo da effettuare la scansione riga su riga di tutta la superficie utile del target.

Il target, "cuore" del sistema, è evidenziato in maniera particolareggiata in figura 2. Sulla "testa" del tubo oltre ad esso si trovano:

- una parete di vetro con superficie otticamente piatta
- uno strato (film) conduttore, trasparente, depositato sulla parete interna della parete di vetro e collegato elettronicamente con un contatto esterno (elettrodo del segnale)
- un sottilissimo strato di materiale fotoconduttore, è cioè il target, depositato sullo strato metallico conduttore trasparente. Questo materiale fotoconduttore possiede al buio una resistenza elettrica molto elevata la quale tende a diminuire via via che il materiale viene esposto ad un'illuminazione crescente.

### Funzionamento

L'elettrodo di contatto esterno (elettrodo del segnale) viene collegato tramite un resistore di carico ad una sorgente di tensione, per es., di 45 V (figura 3). Il target può essere immaginato come formato da un gran numero di elementi (minuscoli target) corrispondenti al numero degli elementi di cui è formata l'immagine presente sulla sua superficie.

Ogni elemento del target può essere rappresentato da un minuscolo condensatore  $C_c$  collegato da una parte all'elettrodo del segnale tramite lo strato conduttore trasparente, e avente in parallelo un resistore  $R_c$ ; questo resistore si comporta come un resistore LDR (Light Dependent Resistor) in quanto può variare la sua resistività al variare della luce che lo investe.

Quando il target viene esplorato (scansione), gli elettroni del fascio, avvicinandosi ad esso a bassa velocità, continueranno ad "atterrare" nella zona esplorata fino a che essa avrà pres-

sochè raggiunto lo stesso potenziale del catodo. Questo processo viene chiamato *stabilizzazione del potenziale del catodo*. Esso produce una differenza di potenziale ai capi dello strato fotoconduttore, che tende a caricare ogni "condensatore" ( $C_c$ ) associato ad ogni elemento del target fino a fargli assumere lo stesso valore del potenziale applicato all'elettrodo del segnale.

Quando il materiale fotoconduttore del target si trova in oscurità, si comporta come un materiale isolante, per cui soltanto una piccola frazione della carica dei "condensatori" di cui abbia-

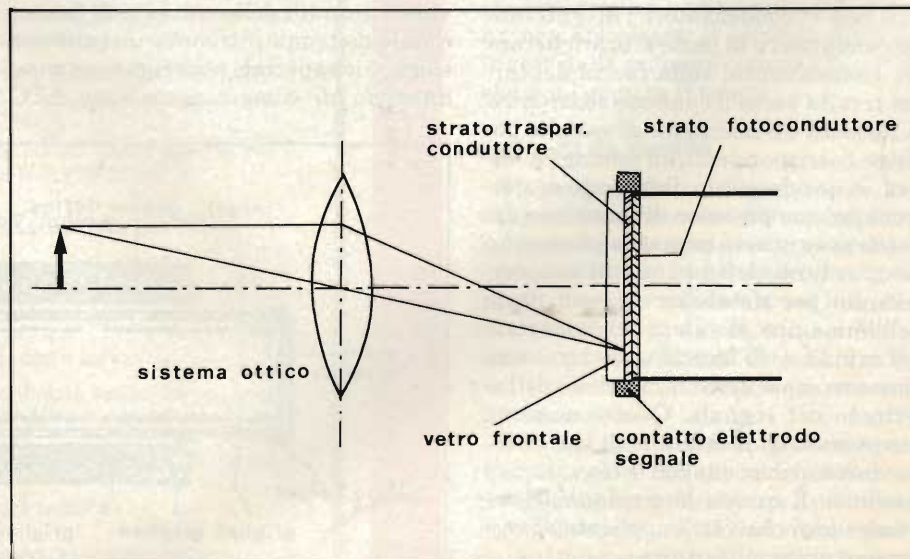


Fig. 2 - Struttura del target. Gli elementi essenziali sono lo strato conduttore metallico trasparente sopra il quale viene formato per diffusione lo strato fotoconduttore (target).

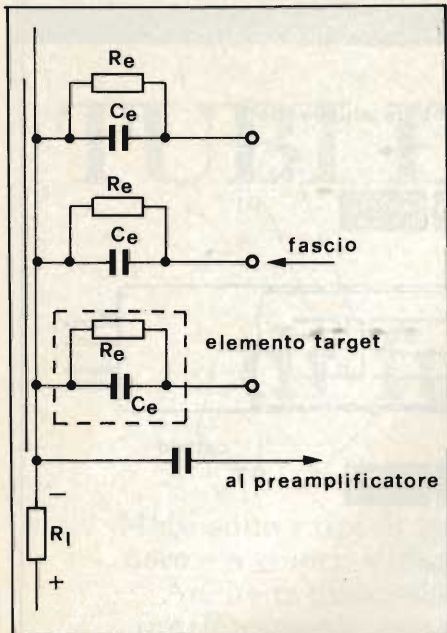


Fig. 3 - Equivalente elettrico dello strato fotoconduttore. Questo può essere pensato come formato da minuscoli elementi (o target) che si comportano come tanti condensatori e in parallelo un resistore LDR, e cioè, un resistore variabile al variare della luce che lo colpisce.

mo immaginato sia formato, sfuggirà via tra una scansione e la successiva. Questo piccolo numero di cariche sfuggite dal target verrà comunque "rimpiazzato" da un uguale numero di cariche (elettroni) fornite dal fascio di elettroni, e la corrente a cui questo ripristino dà luogo costituisce la cosiddetta *corrente in oscurità*.

Quando il target viene esposto alla luce, o meglio quando sulla sua superficie viene messa a fuoco un'immagine ottica, gli elementi del target illuminati, e cioè i "condensatori", diventeranno conduttori e in parte si scaricheranno. Conseguenza: sulla faccia del target rivolta verso il cannone elettronico si formerà un'immagine di cariche positive corrispondenti all'immagine ottica. A questo punto, il fascetto di elettroni nel suo processo di scansione depositerà su questa immagine di cariche positive tanti elettroni quanti ne occorreranno per ristabilire in ogni parte dell'immagine, il valore del potenziale del catodo, e ciò facendo, produrrà una corrente capacitiva in direzione dell'elettrodo del segnale. Questa corrente attraversando il resistore di carico  $R_e$ , produrrà ai suoi capi un certo valore di tensione. È questa la tensione del *segnale video* che verrà applicata al successivo preamplificatore.

Si dice che un tubo da ripresa è *stabilizzato* quando l'intensità della sua corrente di fascio è tale da riportare la

superficie esplorata del target al valore del potenziale del catodo. Quando ciò si verifica, tutti i "condensatori" del target, compresi quelli dei punti dell'immagine molto illuminata, potranno essere completamente *ricaricati* dal fascio di elettroni nel suo processo di scansione.

### Focalizzazione

La focalizzazione e la deflessione del fascetto possono avvenire anche per via elettrostatica. In figura 4 si può vedere la struttura interna di un tubo da ripresa con focalizzazione elettrostatica e deflessione magnetica. Come nei tubi a focalizzazione magnetica, così anche qui, abbiamo un catodo riscaldato indirettamente, un elettrodo per la griglia controllo (griglia 1), un primo anodo (griglia 2), un elettrodo cilindrico (griglia 4) e un reticolo fine o mesh (griglia 5).

La griglia 4 è divisa in questo caso in due parti: tra queste viene inserito un elettrodo focalizzatore a bassa tensione (griglia 3) ottenendosi in questo modo una lente optoelettronica.

La focalizzazione elettrostatica ha il vantaggio di richiedere meno energia per il funzionamento del tubo. Non è più presente infatti la bobina di focalizzazione, e di conseguenza non è richiesta alcuna corrente di focalizzazione.

### Cannone anticometa

Per far fronte a scene con soggetti molto illuminati, le cui zone del target non potrebbero essere stabilizzate con i valori normali della corrente di fascio, è stato da tempo introdotto un cannone elettronico speciale noto come *cannone anticoda di cometa* o cannone ATC

(Anti-Comet-Tail) con riferimento allo strascico di luce che segue sullo schermo di un televisore, un oggetto molto luminoso in movimento.

### Cannone a diodo

Normalmente, in un cannone elettronico di un tubo da ripresa, la griglia 1 è negativa rispetto al catodo. Nel cannone a diodo, la griglia 1 è positiva rispetto al catodo. Ciò tende a modificare il fascio e consente di avere una forte "riserva di fascio" nel caso si riprendano scene molto illuminate.

### Parametri più importanti dei tubi da ripresa

I parametri più significativi di un tubo da ripresa sono:

- 1) La sensibilità luminosa
- 2) La sensibilità radiante
- 3) La risoluzione
- 4) Il lag

La *sensibilità luminosa* ( $S_l$ ) è una caratteristica molto importante. Viene definita come corrente media di segnale ( $I_s$ ) prodotta per unità di flusso luminoso, uniformemente distribuito sull'area analizzata (A) del target, e cioè:

$$S_l = \frac{I_s}{AB_{ph}} \quad \text{in } \mu\text{A/lumen}$$

dove  $B_{ph}$  è la luminanza dello strato fotoconduttore (in lumen/m<sup>2</sup>).

La *sensibilità radiante* ( $S_r$ ) è la corrente media di segnale prodotta per unità

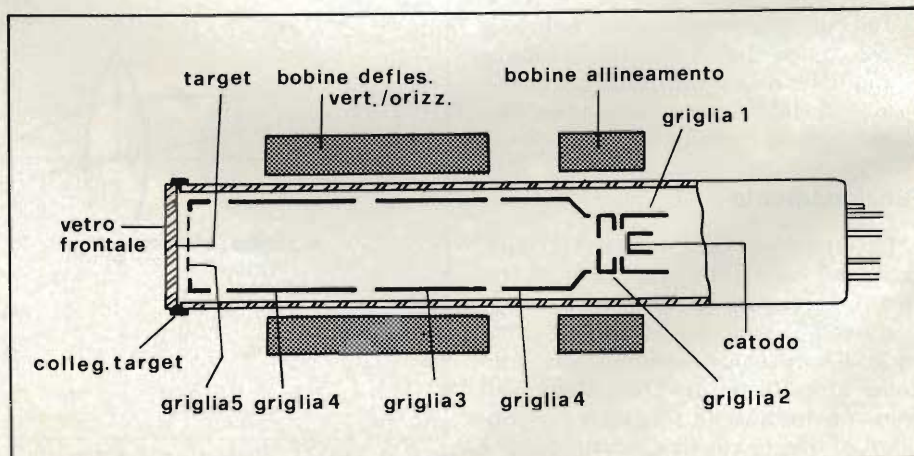
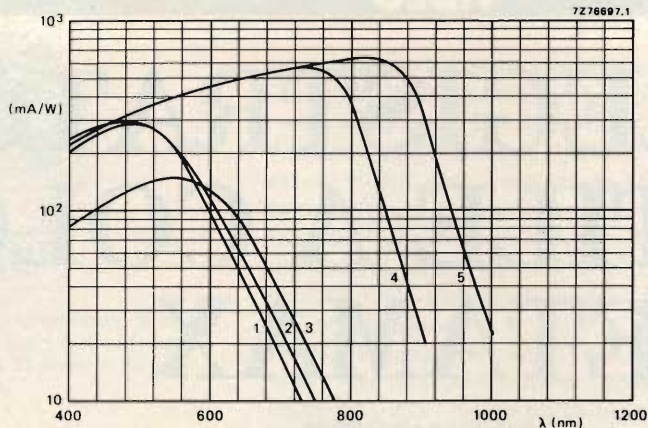


Fig. 4 - Sistema elettrostatico e disposizione delle bobine di deflessione in un tubo con focalizzazione elettrostatica.

**Fig. 5 - Risposta spettrale di alcuni tubi da ripresa TV. 1 = Per il Plumbicon XQ1073; 2 = per il Vidicon XQ1280; 3 = per il Vidicon XQ1240; 4 = per il Newvicon XQ1274; 5 = per il Newvicon XQ1276**



di energia radiante uniformemente distribuita sull'area esplorata del target. L'energia radiante è normalmente espressa in mA/W e, per una data lunghezza d'onda, è legata alla sensibilità luminosa ( $S_L$ ) dalla relazione:

$$S_r(\lambda) = 0,680 V(\lambda) S_L(\lambda)$$

nella quale  $V(\lambda)$  è la sensibilità spettrale normalizzata dell'occhio alla lunghezza d'onda  $\lambda$ . La funzione  $V(\lambda)$  è definita internazionalmente per via empirica; il suo valore di picco è preso

come l'unità e corrisponde alla lunghezza d'onda di 555 nm.

La sensibilità radiante di un tubo varia con la lunghezza d'onda. Le curve di risposta spettrale riportate in figura 5 indicano l'andamento di queste variazioni in alcuni tipici tubi da ripresa.

La risoluzione di un tubo da ripresa è normalmente espressa in termini di profondità di modulazione. Questa è definita dal rapporto (espresso in %) tra le ampiezze del segnale ad onda quadra (misurate su apposito monitor) con frequenza rispettivamente di 5

MHz e 0,5 MHz.

I segnali ad onda quadra possono essere ottenuti facendo riprendere dal tubo in esame un'immagine formata da barre verticali bianche e nere di uguale larghezza. L'immagine ripresa può essere specificata in termini di frequenza video oppure in termini di linee TV, e cioè, dal numero delle barre verticali contenute in uno schermo TV.

Nel sistema CCIR (riga di scansione = 52  $\mu$ s), 5 MHz corrispondono a circa 400 linee TV, e 0,5 MHz corrispondono a circa 40 linee TV.

L'immagine ripresa può essere specificata anche dal numero di coppie di linee per mm ( $1_p/mm$ ). In questo caso, una coppia di linee indicherebbe una barra nera seguita da una barra bianca. Ciò premesso, 400 righe TV corrisponderebbero a:

- 15,6 coppie di linee per mm, in un tubo con diagonale di 30 mm (area analizzata » 12,8 mm x 17,1 mm)
- 20,8 coppie di linee per mm, in un tubo da 25 mm, e cioè da un pollice (area analizzata = 9,6 mm x 12,8 mm).
- 30,3 coppie di linee per mm, in un tubo da 17 mm e cioè da 2/3 di pollice (area analizzata 6,6 mm x 8,8 mm)

In un tubo da ripresa esiste sempre un certo ritardo nel ripristino di una nuova corrente di segnale a seguito di una variazione rapida di illuminazione del target. È questo il fenomeno della lag. In un tubo da ripresa si riscontrano due tipi di lag: il lag fotoconduttivo e il lag di scarica detto anche capacitivo. Il primo è determinato principalmente dalla natura del target; il secondo dipende invece dalla maniera con cui il fascio di elettroni scarica il target.

### Vari tubi da ripresa

I principali sono: il Plumbicon, il Vidicon e il Newvicon. La differenza principale tra questi tubi da ripresa è data dal materiale di cui è formato il target. Questo è ossido di piombo nel Plumbicon, trisolfuro di antimonio nel Vidicon e una miscelazione di seleniuro di zinco, tellururo di zinco e cadmio nel Newvicon.

Il Plumbicon è il tubo preferito per riprese a colori. Il Vidicon dà prestazioni leggermente inferiori ma è più robusto e più economico. Il Newvicon è molto sensibile specialmente all'infrarosso. Siccome possiede un target molto sottile presenta elevata risoluzione ma anche elevato lag.



**elettro nucleonica s.p.a.**

MILANO - Piazza De Angeli, 7 - tel. (02) 49.82.451  
ROMA - Via C. Magni, 71 - tel. (06) 51.39.455

Azienda leader nel campo della strumentazione elettronica ricerca

## RIVENDITORI

a cui affidare la vendita non esclusiva di un package di strumenti elettronici di misura di uso generale, quali:

- \* Multimetri digitali 3 1/2 portatili e da banco KEITHLEY
- \* Oscilloscopi, Generatori di segnali e Frequenzimetri digitali LEADER ELECTRONICS
- \* Strumentazione per Laboratori di riparazione Radio-TV e per Radioamatori LEADER ELECTRONICS.

La ricerca è estesa a tutto il territorio nazionale.

Si offre: - sconto interessante sui prezzi di listino  
- massiccio supporto pubblicitario e pubblicazione dell'elenco dei Rivenditori sulle più importanti riviste del settore  
- assistenza tecnica a nostro carico

Si richiede: - massima serietà e continuità nell'azione di vendita  
- adeguato spazio espositivo in negozi o magazzini di vendita  
- tenuta a stock di alcune unità per dimostrazione e pronta consegna  
- sufficiente conoscenza tecnica.

I Rivenditori interessati ed in possesso dei requisiti richiesti sono pregati di scrivere o telefonare alla

**ELETTRONUCLEONICA - Direzione Commerciale**  
Piazza De Angeli, 7 - 20146 Milano - Tel. 02 - 49.82.451 int. 17

# VIDEOREGISTRATORE PORTATILE A COLORI BETAMAX

a cura della Redazione



È un videoregistratore semiprofessionale, progettato principalmente per lavorare con la telecamera portatile Triniton. Nonostante le ridotte dimensioni, esso fornisce immagini a colori di elevata qualità (300 righe TV), e consente di realizzare effetti speciali come ricerca oscillante dell'immagine, movimenti rallentati, fermo e ricerca immagine, velocità doppia, ecc., tipici dei videoregistratori professionali.

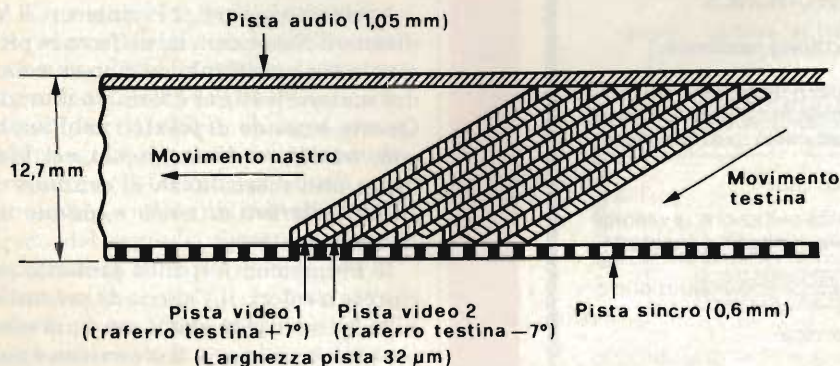


Fig. 1 - Come vengono registrate le piste video sul nastro. Ogni pista è lunga 121,8 mm e contiene 312  $\frac{1}{2}$  righe. Due piste affiancate contengono i segnali video di 625 righe, e cioè un quadro completo.

**L**o sviluppo e la produzione di telecamere portatili richiedevano il parallelo sviluppo e produzione di videoregistratori ultraleggeri e compatti, trasportabili a tracolla dall'operatore della telecamera. La Sony, produttrice della telecamera semiprofessionale monotubo a colori HVC-4000P, non poteva quindi non realizzare anche un videoregistratore trasportabile, adatto a registrare le scene riprese dalla telecamera. Il nuovo videoregistratore a colori (SL-F1E) è il più piccolo esistente attualmente sul mercato. Registra le immagini su videocassetta con nastro di appena mezzo pollice (~ 12,7 mm).



Fig. 2 - Tamburo portatestine. È più basso rispetto ai tamburi dei videoregistratori precedenti. Il diametro è rimasto però invariato.

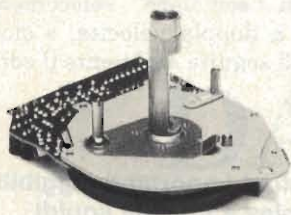


Fig. 3 - Uno dei 5 motori impiegati in questo videoregistratore.

## Il sistema Betamax

Il principio di funzionamento è l'ormai noto Betamax (o formato beta), introdotto dalla Sony fino dal 1975. La parola beta significa in giapponese "molto vicino" con riferimento alla localizzazione delle piste video registrate sul nastro che si trovano appunto l'una a ridosso dell'altra, e registrate con differenti angoli d'inclinazione della testina (più precisamente del traferro della testina), come indicato in *fig. 1*.

Altre caratteristiche del sistema Betamax sono: bassa velocità di scorrimento del nastro (18,73 mm/s); ridotta lunghezza delle piste video (32  $\mu$ m): un capello misura 70  $\mu$ m! Siccome la velocità di registrazione (velocità della testina rispetto al nastro) è 58,3 mm/s e l'angolo della testina è 5°, ciascuna pista trasversale completa (contenente cioè tutte le righe di un semiquadro TV) misurerà 121,8 mm.

Le piste vengono "scritte" da due testine con inclinazione angolare (azimut) di + 7° oppure - 7°. Ai bordi del nastro si trova, da un lato la pista audio (1,0 mm) che può, a sua volta, suddividersi in 2 piste (per registrazioni stereo-bilique), e dall'altra, la pista per i sincronismi e per i segnali di controllo (0,6 mm).

Oltre a queste caratteristiche comuni a tutti i videoregistratori Betamax, l'SL-F1E deve le sue ridotte dimensioni e l'elevata affidabilità alle seguenti innovazioni:

1) riduzione dell'altezza del tamburo

porta-testine (54 mm), esattamente la metà dell'altezza dei tamburi precedenti pur mantenendo invariato il diametro che è rimasto 7,45 cm, lo stesso cioè di tutti i registratori Betamax (*figura 2*). L'aver mantenuto invariato questo diametro significa mantenere su un elevato livello la qualità delle immagini fornite dal videoregistratore.

- 2) Presenza di 5 motori. Quelli delle bobine e del trascinarsi del nastro (capstan), sono molto piatti (*figura 3*); fattore questo che ha contribuito notevolmente alla riduzione delle dimensioni dell'apparecchio.
- 3) Il nuovo sistema di caricamento ad U (*figura 4*). Rispetto ai sistemi precedenti, il nastro, pur mantenendo tutti i vantaggi operativi, percorre un tratto più breve, avanzando dolcemente senza sollecitazioni, il che garantisce una maggiore durata e una migliore resa anche dopo un prolungato impiego.

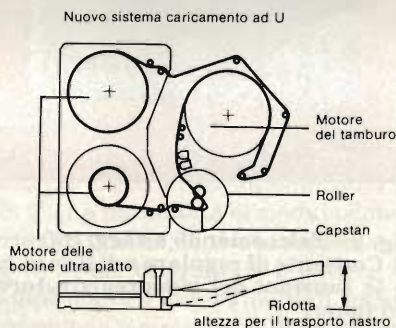
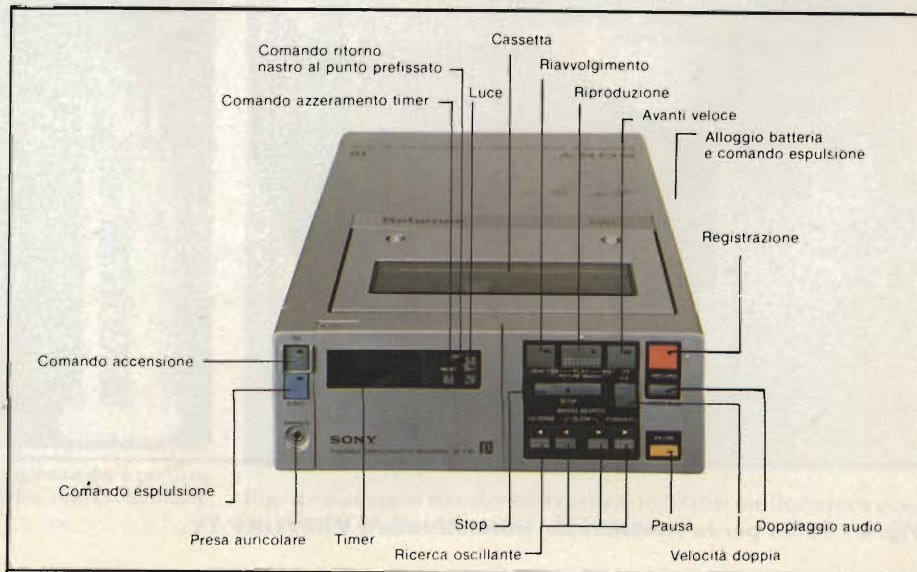


Fig. 4 - Nuovo sistema di caricamento ad U. Il nastro percorre un tratto più breve.

Fig. 5 - Localizzazione dei vari comandi del videoregistratore SL-F1E.



## Caratteristiche elettriche

Il videoregistratore fornisce un segnale video in radiofrequenza, (canali UHF da 30 a 39), su una impedenza di 75  $\Omega$  sbilanciati. Il segnale video è quello caratteristico del sistema PAL. È previsto anche un segnale video di uscita, non modulato in r.f., avente le stesse caratteristiche di quello fornito dalla telecamera.

Il segnale video prodotto dalla telecamera viene applicato al videoregistratore a mezzo di un connettore a 14 piedini. Il segnale video ha una ampiezza di 1 V da picco a picco su una impedenza di 75  $\Omega$ . I segnali di sincronismo sono diretti in senso negativo.

La risoluzione orizzontale a colori è di 260 linee, che diventano 300 nelle immagini in bianco e nero. Il rapporto segnale/disturbo è circa 40 dB per il colore e 43 dB per il bianco e nero.

Il segnale audio perviene al videoregistratore tramite il connettore a 14 piedini collegato alla telecamera. Il segnale audio è prodotto da un microfono incorporato nella telecamera. La banda audio riprodotta va da 50 a 10000 Hz e il rapporto segnale/rumore è circa 40 dB.

Come già accennato, il nastro avanza alla bassa velocità di 18,73 mm/s, e ciò permette con la cassetta Betamax L-830 una registrazione della durata di 3 h e 35 m, la durata di un normale film.

La tensione di alimentazione è 12 V. La capacità della batteria è 1,5 A/h e permette un'ora di registrazione. La potenza assorbita è 8,4 W. È possibile alimentare il registratore anche dalla tensione di rete tramite un apposito adattatore di corrente (ACF-1E) oppu-

re dalla tensione della batteria dell'auto tramite un altro tipo di adattatore (DCC-2500).

Il videoregistratore misura 215 x 80 x 325 mm (larghezza x altezza x profondità), e pesa appena 4,5 kg.

### Caratteristiche salienti

Il video registratore SL-F1E, collegato alla telecamera portatile HVC-4000 P, consente di rivedere automaticamente attraverso il mirino della telecamera gli ultimi secondi della registrazione. Per ottenere ciò basta premere il pulsante record/review presente sulla telecamera (figura 5). Successivamente il nastro si ferma in attesa della prossima ripresa. Il passaggio tra le varie riprese è netto, pulito e senza disturbi dato che il registratore è munito di un microcircuito di temporizzazione e di fase.

Oltre a questa caratteristica, importante agli effetti dell'hobbista e dell'amatore, il registratore è dotato anche della ricerca dell'immagine (picture search). In questo caso, basta premere il relativo pulsante, e sarà possibile vedere l'immagine video scorrere velocemente sullo schermo in avanti oppure all'indietro fino alla scena che si vuole rivedere.

Questa prerogativa consente di evidenziare la parte migliore dei film sia quelli girati dall'operatore sia quelli preregistrati sulle cassette Beta.

Una nuova funzione incorporata in



Fig. 7 - Telecomando a raggi infrarossi. Consente di regolare a distanza tutte le funzioni del videoregistratore e del tuner.

questo registratore è quella nota come "swing search" la quale consente di ricercare l'immagine alla velocità normale oppure al rallentatore sia in avanti che indietro. Questa possibilità è molto utile quando si riprendono avvenimenti sportivi. Se la funzione "swing search" non consente di rallentare l'immagine come si desidera, c'è la possibilità di bloccare completamente l'immagine. Se invece interessa rivedere il tutto a velocità elevata, allora esiste la funzione "2 x fast play" che permette di "scivolare" velocemente in avanti, a doppia velocità, e ciononostante di seguire agilmente il contenuto.

### Indicazioni importanti leggibili sul display a cristalli liquidi

Un display multifunzione (figura 5) consente di valutare quanto tempo di registrazione resta ancora da fare; segnala l'eventuale formazione di condensa, indica la direzione del nastro e le condizioni di carica della batteria. Per sostituire la batteria scarica basta premere un pulsante e la batteria viene automaticamente espulsa. Una batteria NP-1 consente come già detto un'ora di registrazione. Per la ricarica è sufficiente un'ora soltanto.

### Combinazione videoregistratore-tuner

Oltre alla registrazione di scene riprese dalla telecamera, il videoregistratore può registrare anche normali programmi TV.

Per raggiungere questo secondo scopo, è disponibile il tuner TT-F1E (figura 6) che permette di registrare canali VHF (2-12) e UHF (21-58). Il tuner è munito di un timer con programmatore automatico. È possibile pertanto registrare programmi anche se fuori casa, per periodi fino a 2 settimane consecutive. È possibile registrare 9 differenti programmi trasmessi su 9 differenti canali, per una durata complessiva di 3 ore 35 minuti di registrazione. Tutte le funzioni del tuner e del videoregistratore (complessivamente 18) possono essere effettuate anche mediante telecomando a raggi infrarossi (figura 7). Il telecomando è alimentato da una batteria da 3 V.



Fig. 6 - Tuner per la ricezione dei normali canali VHF/UHF TV.



# NUOVE TECNOLOGIE PER RIDURRE LE DIMENSIONI DEI TUBI DA RIPRESA TV

di Bernard W. Prasse

L'articolo illustra tubi da ripresa TV a focalizzazione magnetica e deflessione elettrostatica. Vengono evidenziati i vantaggi della deflessione elettrostatica: elevata e uniforme risoluzione, leggero effetto "coda di cometa", buona linearità, ridotte dimensioni ed elevata stabilità meccanica.

**N**el settore della produzione dei tubi da ripresa TV (principalmente Vidicon), l'attuale tendenza è di accorciarli ulteriormente non a scapito ovviamente delle prestazioni che attualmente hanno raggiunto standard elevati. Scopo: realizzare telecamere più piccole, meno pesanti più trasportabili e richiedenti batterie di alimentazione sempre meno ingombranti.

Nella *figura 1* si può vedere una versione accorciata del modello Z 7803 (General Electric) da un pollice ( $\approx 25$  mm  $\varnothing$ ). La profondità di modulazione è del 75% a 5 MHz, la risoluzione massima in senso orizzontale è 2 MHz, la risoluzione dell'immagine agli angoli corrisponde a circa l'85% di quella che l'immagine presenta al centro dello schermo. L'"effetto cometa" inoltre

non è più accentuato di quello riscontrato nei tubi con larghezza normale. Anche i suoi dati tecnici corrispondono a quelli di un tubo normale.

La *figura 2* mostra un tubo accorciato da 5/8 di pollice ( $\approx 15,63$  mm). Questo tubo è munito di un target al silicio le cui prestazioni non sono inferiori a quelle del target di un tubo da ripresa convenzionale. Per meglio comprende-

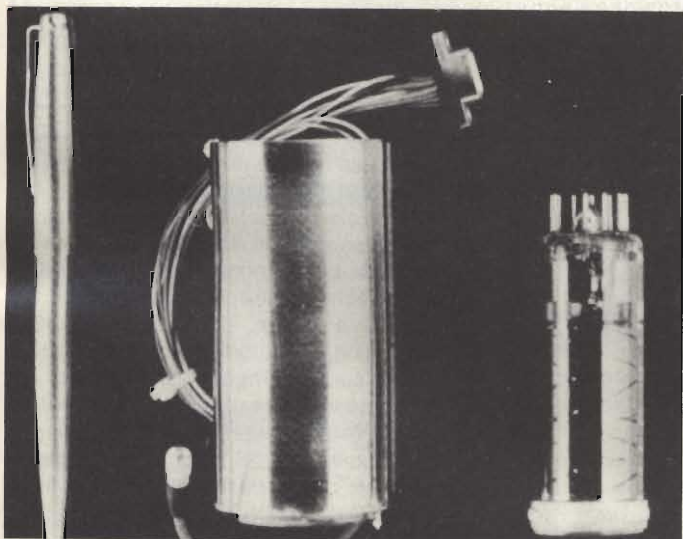


Fig. 1 - Versione accorciata di un tubo da ripresa da 1 pollice (Z 7803 General Electric). La focalizzazione elettrostatica, la deflessione è magnetica.

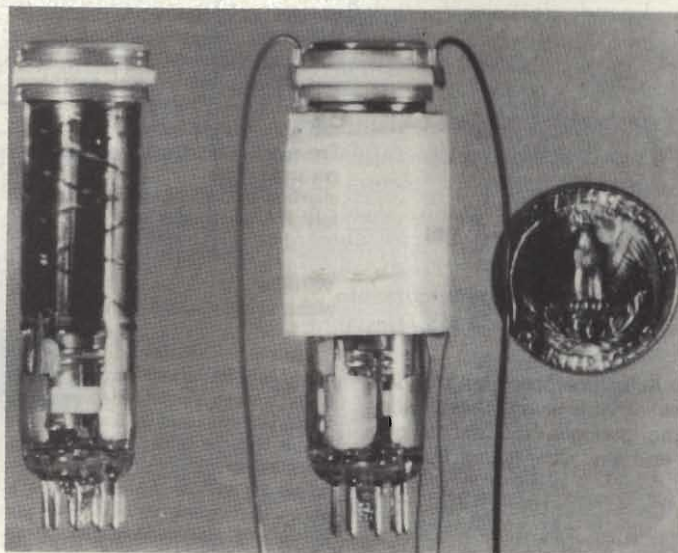


Fig. 2 - Esempio di tubo da ripresa da 5/8 di pollice accorciato, prodotto dalla General Electric.

re quanto tra poco diremo su questi tubi non sarà fuori luogo precisare alcuni concetti.

In un Vidicon, la deflessione del fascio e la sua focalizzazione sulla superficie del target possono essere realizzate entrambe sia per via magnetica che per via elettrostatica. Possiamo quindi avere teoricamente quattro possibilità che trovano una loro effettiva applicazione pratica nei tubi da ripresa comuni. In proposito c'è solo da fare questa precisazione: la focalizzazione magnetica consente di ottenere una risoluzione dell'immagine migliore di quella ottenibile con la focalizzazione elettrostatica.

### Vantaggi della deflessione elettrostatica

Abbiamo detto che la deflessione del fascio può essere realizzata anche per via elettrostatica; questa presenta una serie di indiscussi vantaggi rispetto alla deflessione magnetica, e cioè:

- a parità di angolo di deflessione, l'energia richiesta per la formazione di un campo elettrostatico è molto più piccola di quella richiesta per la formazione di un analogo campo magnetico
- l'energia richiesta dalla deflessione elettrostatica è ridotta dato che essa viene in parte recuperata ad ogni processo di scansione.
- la deflessione elettrostatica consente di ottenere sul target (fotocathodo) una focalizzazione uniforme. Ciò è dovuto al fatto che il tempo occorrente agli elettroni per arrivare dall'anodo al target è costante e non dipende dall'angolo di deflessione. In altre parole ciò vuol dire che la componente assiale dell'accelerazione degli elettroni rimane costante fino alla superficie del target.
- la deflessione elettrostatica non richiede ovviamente alcuna bobina per cui l'unica bobina, e cioè quella di focalizzazione, potrà assumere dimensioni più ridotte, e di conseguenza richiedere meno corrente.

Lo svantaggio della deflessione elettrostatica è quella di richiedere tensioni di deflessione elevate, dell'ordine dei 200 V. Ciò nonostante, grazie alla loro robustezza meccanica, alle ottime prestazioni e al basso consumo, questi *Vidicon accorciati* stanno introducendosi in settori finora a loro sconosciuti. Accoppiati a tubi intensificatori d'immagini consentono di effettuare riprese in piena notte.



Fig. 3 - Plumbicon con diagonale da 11 mm (Philips)

### Nuove idee

Finora abbiamo parlato solo di riduzione della lunghezza del tubo e non di riduzione della *superficie* del target. È evidente però che, insistendo sulla riduzione della lunghezza e lasciando inalterate le dimensioni della scansione sul target, si andrà incontro a forti distorsioni del raster dovute al maggiore angolo di deflessione richiesto. Queste

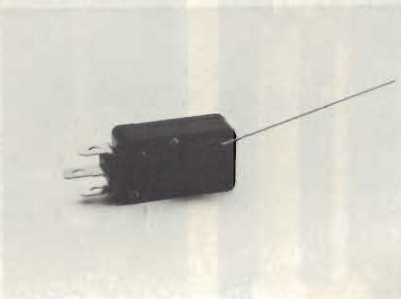
distorsioni geometriche si notano specialmente agli angoli. Questo è effettivamente un serio inconveniente. E non è il solo al quale si va incontro, quando si cerca di ridurre le dimensioni del Vidicon. Così, per avere la stessa risoluzione di un tubo di dimensioni normali è evidente che occorrerà diminuire ulteriormente anche il diametro del fascio aumentandone quindi la densità. Questa però non può essere aumentata a piacere dato che essa dipende a sua volta dalla densità di emissione del catodo. D'altra parte, mantenendo inalterata la densità della corrente e il diametro del fascio, e riducendo la superficie del target si va inevitabilmente incontro ad un peggioramento di qualità del segnale video d'uscita (aumenta il rapporto segnale/disturbo) e in definitiva ad uno scadimento della qualità dell'immagine.

Al presente stato dell'arte non è quindi prevedibile un'ulteriore miniaturizzazione del tubo da ripresa, dato che il rumore trae origine, per lo più, dalla capacità dispersa del fotoelemento (target) e dai relativi collegamenti. Bisognerebbe tentare di limitare la superficie del target solo alla sola zona esplorata dal fascio e ridurre al minimo le dimensioni dei terminali dell'elettrodo del target, ed infine montare il primo FET amplificatore immediatamente dietro lo strato fotoconduttore. Solo riuscendo ad introdurre queste modifiche si potrebbe ottenere un'immagine di qualità da un Vidicon di soli 5 mm di diametro! ■

### Bibliografia

Funkschau 3/1982 - *Neur Weg zu Kleinen Videoaufnahmeröhren* - Bernard W. Prasse

### Microinterruttori a leva rotante



Microinterruttore azionato da una leva rotante.

ELCONTROL  
Centergross (BO)

La leva rotante degli interruttori AHR della National Matsushita ne permette l'impiego su macchine a gettoniera, su confezionatrici, su macchine per il conteggio di piccoli oggetti, in applicazioni domestiche, elettrogiochi, ecc...

La leva rotante, in acciaio lunga 45 mm, aziona il microinterruttore mediante uno speciale meccanismo interno.

Dotato di terminali tipo Taston, l'interruttore è caratterizzato da una portata dei contatti di 5A 250 Vca, da 1.000.000 di operazioni meccaniche e da una vita elettrica di 50.000 operazioni. La resistenza iniziale dei contatti è 50 mΩ mentre la resistenza di isolamento è 10C MΩ a 500 Vcc.

# EFFETTO “BLOOMING” E “CODA DI COMETA”

a cura della Redazione

Molte volte può succedere che si debbano riprendere scene TV nelle quali sono presenti oggetti luminosi fermi o in movimento aventi un'intensità più elevata di tutto il rimanente della scena. Questa situazione si verifica di solito quando si riprendono scene in ambienti scarsamente illuminati. In questi casi, la corrispondente immagine di cariche elettriche prodotte da queste sorgenti molto luminose sulla faccia interna del target del tubo da ripresa (Vidicon o Plumbicon) non riesce ad essere completamente “letta” dal fascio di elettroni durante il suo normale processo di scansione. Più esattamente succede che il fascio di elettroni non riesce a rifornire di tutte le cariche necessarie quel punto più illuminato del target. Questa incompleta “lettura” di oggetti molto luminosi dà luogo a due fenomeni caratteristici che si notano molto bene sullo schermo del televisore: l'effetto cosiddetto “blooming” e l'effetto “comet tailing” o coda di cometa.

L'effetto “blooming”, letteralmente effetto “fioritura”, è quel fenomeno per cui un oggetto molto luminoso, di determinate dimensioni, appare sullo schermo di un monitor o del televisore con dimensioni maggiori di quelle naturali, appare cioè come circondato da una cornice luminosa. L'effetto “comet tailing” cioè effetto “coda di cometa” è invece quello strascico di luce che accompagna sullo schermo TV oggetti molto luminosi che si muovono velocemente sullo schermo.

Questi effetti sono dovuti, come già accennato, al fatto che il fascio di elettroni non riesce a rifornire quei punti luminosi del target con un numero di elettroni pari al numero delle cariche prodotte dal punto luminoso. Il rimedio più ovvio sarebbe quindi quello di aumentare l'intensità della corrente del fascio. Aumentare la corrente del fascio significa però ridurre la risoluzione e aumentare il lag (il lag è il ritardo nella formazione di una nuova corrente di segnale dopo una rapida variazione di luminosità del target).

## ACT e DBC: due soluzioni per un problema

Il problema della riproduzione fedele di oggetti molto luminosi presenti sulla scena da riprendere è stato risolto in due maniere. La prima soluzione è stata trovata dieci anni fa, ed è fornita da un cannone particolare anticometa, detto anche *cannone ACT* (ACT = Anti-Comet-Tail), il cui principio di funzionamento si può vedere in *figura 1*. Il cannone ACT neutralizza le sorgenti luminose della scena aumentando l'intensità della corrente soltanto durante il tempo di ritorno e “leggendo” poi alla solita maniera le altre parti

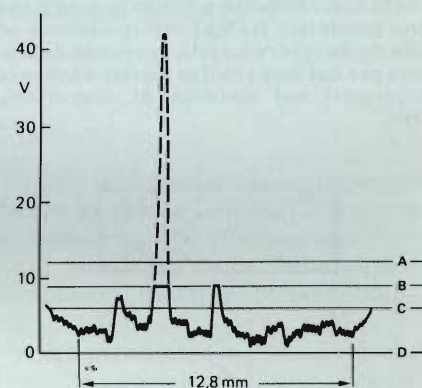


Fig. 2 - Variazione della tensione V sulla superficie del target di un Plumbicon. Per poter “leggere” il punto molto luminoso durante il tempo di ritorno, il cannone ACT incrementa la corrente di fascio aumentando la tensione Vg1 ed abbassando la tensione Vg3. Per impedire che durante il ritorno venga “letta” tutta l'immagine elettrica, il sistema aumenta anche la tensione applicata al catodo A = massimo livello del segnale stabilito dalla corrente del fascio durante la lettura; B = tensione sul catodo durante il ritorno; C = livello di picco del bianco, D = tensione sul catodo durante la lettura.

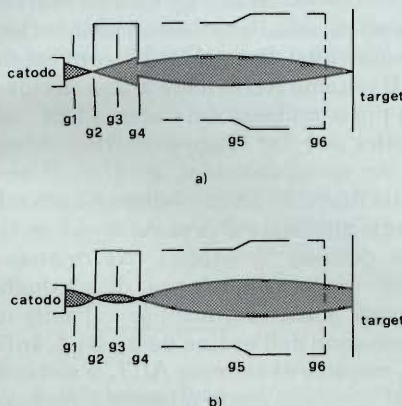
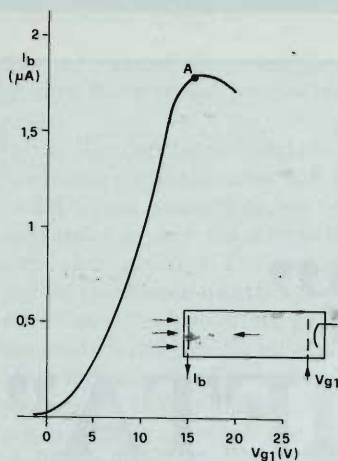


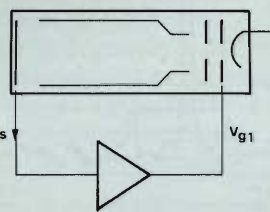
Fig. 1 - Cannone elettronico con ACT. In a) fascio elettronico durante la scansione; in b) durante il tempo di ritorno.

della scena (costituita da un'immagine di cariche). I cannoni ACT sono attualmente impiegati in molti tipi di Plumbicon da 25 o da 30 mm.

La seconda e più recente soluzione di questo problema è data dal cosiddetto *controllo dinamico del fascio DBC* (DBC = Dinamyc Beam Control), noto anche con la sigla CTS (CTS = Comet-Tail-Suppression). Questo sistema prevede l'aumento della corrente del fascio *soltanto* durante la fase di scansione e non durante il tempo di ritorno; inoltre, l'aumento del fascio avviene solo quando questo incontra



**Fig. 3 - Corrente di fascio  $I_b$  in un Plumibicon con cannone a diodo (misurata con un target fortemente illuminato) in funzione della tensione di griglia  $V_{g1}$ . I tubi con cannone a diodo posseggono una pendenza  $I_b/V_{g1}$  molto elevata ed una forte riserva della corrente del fascio per cui sono molto adatti ad essere impiegati nel sistema di correzione DBC.**



**Fig. 4 - Nel sistema DBC la corrente di fascio  $I_b$  durante la scansione tende ad aumentare soltanto quando incontra un punto molto luminoso. Il sistema impiega un anello di reazione che risponde ai rapidi aumenti della corrente del segnale  $I_s$  con un aumento di  $V_{g1}$ , e di conseguenza di  $I_b$ .**

nel processo di scansione, un punto della scena fortemente illuminato.

Le ampie escursioni nella corrente di fascio richieste dal sistema DBC limitano il suo impiego ai soli tubi da ripresa aventi una notevole riserva di fascio. La nuova serie di Plumibicon con cannone a diodo, curva caratteristica con pendenza elevata (figura 3) e notevole riserva di corrente di fascio sono ideali per lavorare con il sistema di correzione DBC.

### Principio di funzionamento del sistema di correzione DBC

È riportato schematicamente nella figura 4. La corrente del segnale  $I_s$  (segnale video) varia durante la scansione del fascio a seconda del numero maggiore o minore di cariche che il fascio deve neutralizzare, o più semplice-

mente, varia in base all'intensità luminosa della scena da riprendere. Quando il fascio incontra un punto molto luminoso della scena, il corrispondente aumento di  $I_s$  viene rilevato da un anello di reazione il quale fa aumentare la tensione sulla griglia 1, e di conseguenza anche la corrente di fascio, con il risultato finale che quest'ultima sarà allora in grado di effettuare la "lettura" completa del punto luminoso. L'elevata pendenza della curva caratteristica del cannone a diodo (figura 3) oltre a consentire di avere quella notevole riserva di corrente di fascio richiesta dal sistema DBC tenderà anche a ridurre il rischio di eventuali oscillazioni che potrebbero instaurarsi nell'anello di reazione.

Il sistema DBC lavora con valori di corrente al disotto del tetto di saturazione (punto A in figura 3). La figura 5 illustra più in particolare, il funzionamento del sistema di correzione DBC. Il segnale video proveniente dal pre-

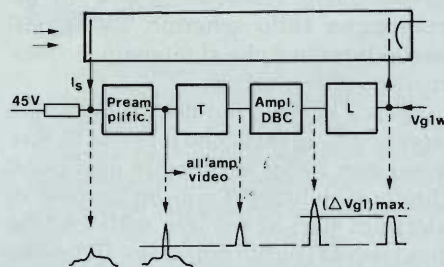
amplificatore viene applicato contemporaneamente all'amplificatore video e ad un circuito-soglia T il quale provvede a confrontare il valore momentaneo del segnale con un valore prefissato che definisce la soglia dell'intensità luminosa. I segnali che superano questa soglia vengono inoltrati all'amplificatore DBC, e di conseguenza, alla griglia controllo  $g_1$ .

### Il sistema DBC nelle telecamere a colori

La figura 6, indica tre modi con i quali il sistema DBC può essere incorporato in una telecamera a colori. La disposizione riportata in figura 6a richiede tre sistemi DBC separati in quanto ciascun tubo è controllato in modo indipendente. In figura 6b, un unico sistema DBC nel canale del verde provvede a controllare tutti e tre i tubi da ripresa della telecamera.

Questo sistema ha l'inconveniente di non rispondere alle elevate intensità luminose del rosso e del blu.

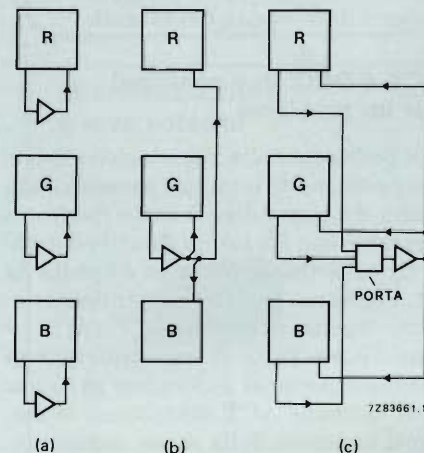
La figura 6c elimina questo inconveniente impiegando un unico amplificatore DBC che riceve i segnali dei punti molto luminosi provenienti da ciascun canale tramite un circuito porta.



**Fig. 5 - Schema a blocchi di un tipico sistema DBC. T = circuito di soglia; L è lo stadio limitatore  $V_{g1w}$  è la tensione di griglia normale di lavoro del tubo.**

### Confronto tra il sistema ACT e il sistema DBC

Il cannone ACT neutralizzando i punti luminosi durante la fase di ritorno del fascio, blocca ampie escursioni di tensione durante la scansione per gli effetti blooming e "coda di cometa" sono ridotti al minimo. Al contrario, nel sistema DBC i punti molto luminosi producono ampie escursioni di tensione; ciò nonostante, l'elevata corrente di fascio che esso produce riduce considerevolmente i due suddetti inconvenienti. Il sistema ACT richiede una circuiteria più complessa del sistema DBC, ed inoltre può dar luogo in corrispondenza dei punti luminosi, a valori di corrente fino a  $50 \mu A$  che vengono naturalmente applicate al preamplificatore video durante il ritorno. Nel sistema DBC in corrispondenza di analoghi elevati punti luminosi, le correnti in gioco sono dell'ordine da 2 a  $3 \mu A$ . Infine, rispetto al sistema ACT, il sistema DBC richiede meno potenza e questo è un punto importante a suo favore in vista della realizzazione di telecamere portatili.



**Fig. 6 - Tre differenti sistemi di applicazione del sistema DBC in una telecamera a colori a tre tubi.**

# PROGETTAZIONE DEI CIRCUITI STRIPLINE

di Konrad Hupfer/ing. Prelez. - seconda parte

I principi teorici che stanno alla base del funzionamento delle stripline sono stati illustrati nella prima parte. Qui si danno suggerimenti per la loro pratica attuazione con particolare riguardo agli accorgimenti da adottare nel disegnare il profilo dei conduttori. Si danno infine alcuni esempi di realizzazioni pratiche.

**C**hi si proponga di progettare delle stripline asimmetriche destinate a circuiti di elevato livello, come possono essere per esempio i risonatori, avrà tutto l'interesse a conoscere l'influenza delle perdite per irradiazione  $\alpha_R$ , che finora sono state trascurate. *Belohoubek e Denlinger* [5], basandosi sui lavoro di *Levin* [4], hanno svolto indagini approfondite sulle perdite totali nei circuiti a stripline risonanti in  $\lambda/4$  (figura 8). Il progettista dovrà scegliere l'impedenza caratteristica più adatta per ottenere il massimo Q nel circuito oscillante. In figura 9 appaiono, sotto forma di curve di Q per risonatori in  $\lambda/4$ , i risultati delle ricerche effettuate sull'argomento delle perdite nel rame, nel dielettrico e per irradiazione. Si può vedere per esempio che, ad un'impedenza caratteristica di circa 70  $\Omega$ , sarà possibile ottenere un Q complessivo di 350, con uno spessore del substrato pari a 0,8 mm ( $f = 1$  GHz;  $\epsilon_r = 2,35$ ).

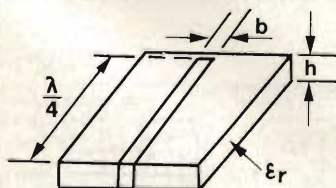


Fig. 8 - Circuito risonante in  $\lambda/4$  nella configurazione a stripline: b = larghezza del conduttore, h = spessore del substrato,  $\epsilon_r$  = costante dielettrica del substrato.

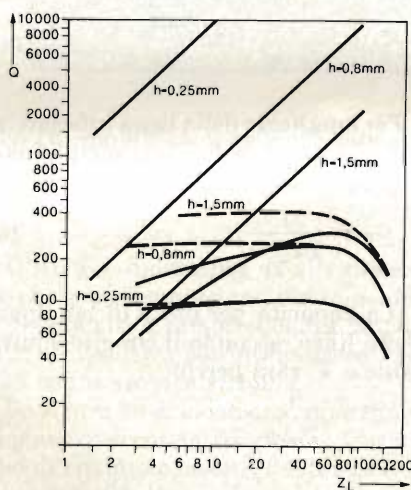


Fig. 9 - Rappresentazione del Q del circuito risonante in  $\lambda/4$  nella configurazione stripline, in funzione dell'impedenza caratteristica  $Z_L$  e dello spessore del substrato h. Linea continua nera:  $Q_r$  derivato dalla perdita per irradiazione  $\alpha_R$ ; linea tratteggiata nera:  $Q_0$  derivato dalle perdite nel rame e nel dielettrico ( $\alpha_C + \alpha_D$ ); Linea blu:  $Q_{totale}$  che deriva dal totale delle perdite  $\alpha_R + \alpha_C + \alpha_D$ .

Si è già detto nell'articolo precedente che con la tecnica delle stripline si possono ottenere, oltre alle linee con impedenza adattata, anche induttanze e condensatori dotati di eccellente stabilità.

Se ora prendiamo in considerazione il circuito equivalente di una linea (figura 10), che abbia l'impedenza caratteristica  $Z_L$ , l'induttanza per unità di lunghezza di un circuito a  $\pi$  sarà definita dalla seguente formula:

$$L_\pi = \frac{Z_L}{\omega} \sin \frac{\omega l}{v} \quad (10)$$

Se l'induttanza sarà indipendente dalla frequenza ( $l \leq \lambda/8$ ), la formula sarà:

$$L_\pi = \frac{Z_L \cdot l}{v} = \frac{Z_0 \cdot l}{c} \quad (11)$$

dove i simboli hanno i seguenti significati:  
 $l$  = Lunghezza della linea  
 $v$  = Velocità di fase  
 $Z_0$  = Impedenza caratteristica per  $\epsilon_r = 1$   
 $c$  = Velocità di fase nel vuoto

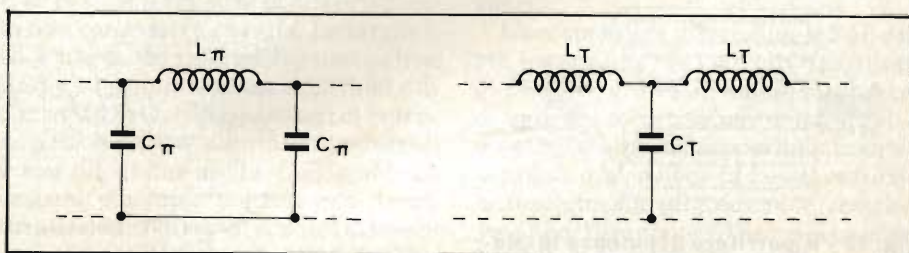


Fig. 10 - I circuiti equivalenti a  $\pi$  ed a T.

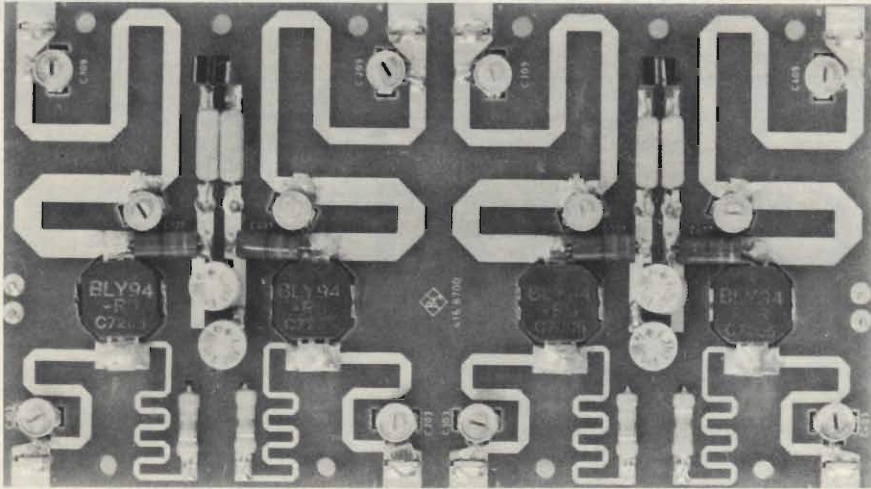


Fig. 11 - Esemplio di tecnologia ibrida; modulo amplificatore VHF da 200 W.

$$v = \frac{c}{\sqrt{\epsilon_{\text{reff}}}} \quad (12)$$

Si può osservare che L dipende soltanto da  $Z_0$  ossia dalle dimensioni  $b/h$  del sistema a striscia.

Se invece ci si riferisce al circuito equivalente a T della linea, l'induttanza sarà:

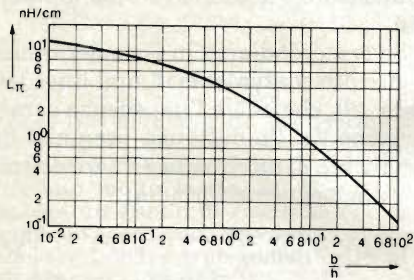


Fig. 12 - Nomogramma per la determinazione rapida dell'induttanza di una stripline.

$$L_T \approx \frac{Z_L \cdot l}{2v} = \frac{Z_0 \cdot l}{2c} \quad (13)$$

La capacità equivalente  $C_\pi$  nella configurazione a  $\pi$  sarà:

$$C_\pi = \frac{1}{Z_L \cdot \omega} \cdot \tan \frac{\omega l}{2v} \quad (14)$$

Per lunghezze della linea inferiori od uguali a  $\lambda/8$ , la formula si semplificherà:

$$C_\pi \approx \frac{l}{2Z_L \cdot v} \quad (15)$$

La capacità per unità di lunghezza della linea, secondo il circuito equivalente a T, sarà perciò:

$$C_T \sim \frac{l}{Z_L \cdot v} \quad (16)$$

Osservando le formule dell'induttanza e della capacità, risulterà evidente l'opportunità di scegliere impedenze caratteristiche elevate ( $Z_L > 80 \Omega$ ) se si vogliono ottenere induttanze di effetto apprezzabile; in questo caso, le capacità in parallelo per il circuito equivalente a  $\pi$  ( $C_\pi$ ) avranno un valore trascurabile. Nel circuito equivalente a T si ottengono delle capacità  $C_T$  apprezzabili con piccoli valori delle induttanze in serie  $L_T$ , scegliendo per le linee una bassa impedenza ( $Z_L \sim 10 \Omega$ ).

I progettisti di circuiti per frequenze di 500 MHz al massimo (per esempio circuiti di adattamento per amplificatori a transistori) ricorrono spesso alle tecniche stripline.

Si tratta infatti di un mezzo molto comodo per introdurre induttanze e linee adatte. Per quanto riguarda invece i condensatori, si preferiscono i chip e le strutture multistrato perché si tratta di forme più compatte e più "concentrate" rispetto ai condensatori ricavati con la tecnica stripline. Si tratta della tecnica cosiddetta "ibrida" (figura 11).

L'induttanza e la capacità necessarie al progetto, devono essere calcolate a partire dalle dimensioni della stripline ( $b/h$ ) e dalla costante dielettrica  $\epsilon_r$ . Per il calcolo di  $L_\pi$  e di  $C_T$  esiste un metodo descritto da Clemm [6]:

$$L_\pi = 197.5 \ln \left\{ 1 + \frac{6.28}{b/h} \right. \\ \left. [1 + 0.27 \tanh^2 \left( \frac{1.4}{b/h} \right)] \right\} \left[ \frac{\text{nH}}{\text{cm}} \right].$$

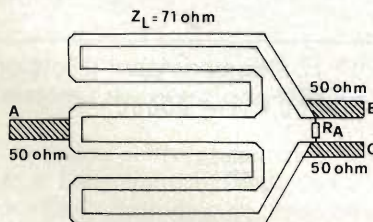
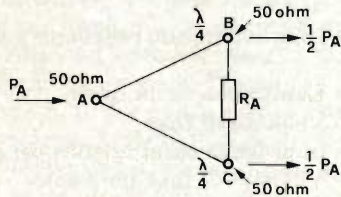


Fig. 13 - Ripartitore di potenza in configurazione stripline (secondo Wilkinson).

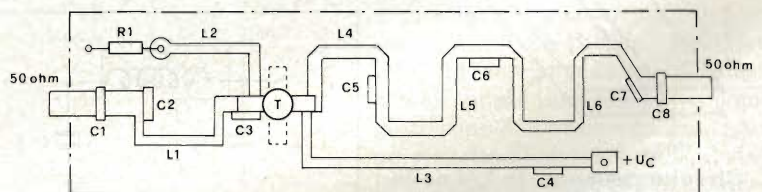
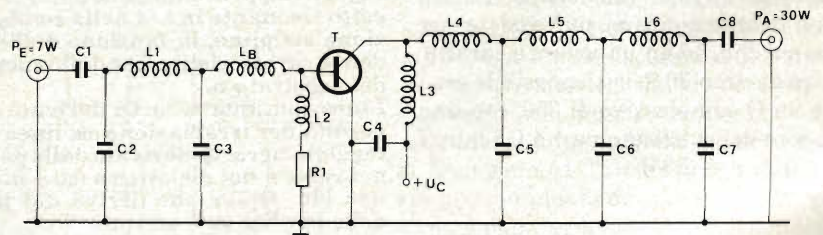


Fig. 14 - Schema ed aspetto esterno di un amplificatore UHF da 30 W in configurazione stripline.

$$C_T = \frac{56.22 \cdot \epsilon_r}{\ln \left\{ 1 + \frac{6.28}{b/h} \left[ 1 + 0.27 \tanh^2 \left( \frac{1.4}{b/h} \right) \right] \right\}}$$

[ pF / m ]

L'andamento di  $L_r$  rispetto al rapporto  $b/h$ , rappresentato nella curva di figura 12, permette di determinare rapidamente il valore dell'induttanza di una stripline.

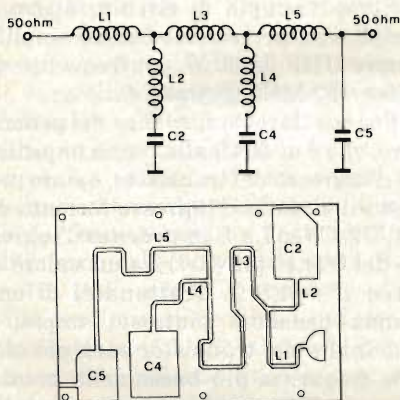


Fig. 15 - Schema e realizzazione pratica di un filtro armonico per trasmettitore VHF.

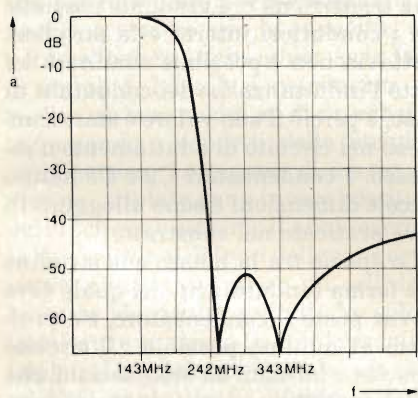


Fig. 16 - Caratteristica di attenuazione del filtro di figura 15.

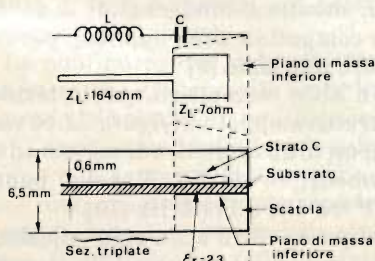


Fig. 17 - Progetto stripline di un filtro armonico a circuito stampato.

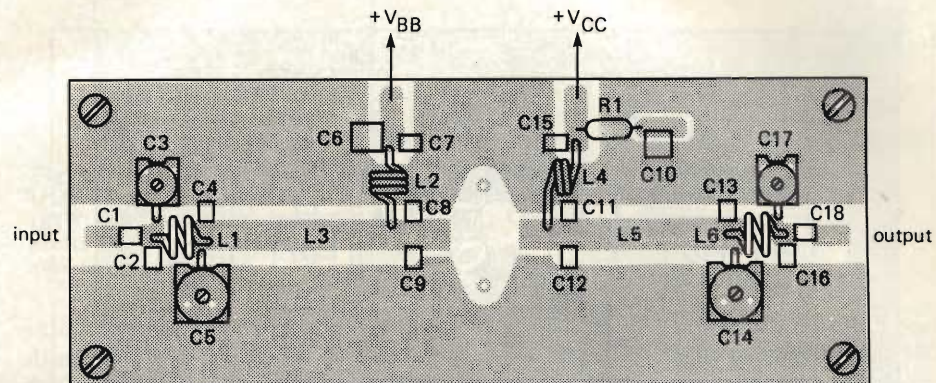
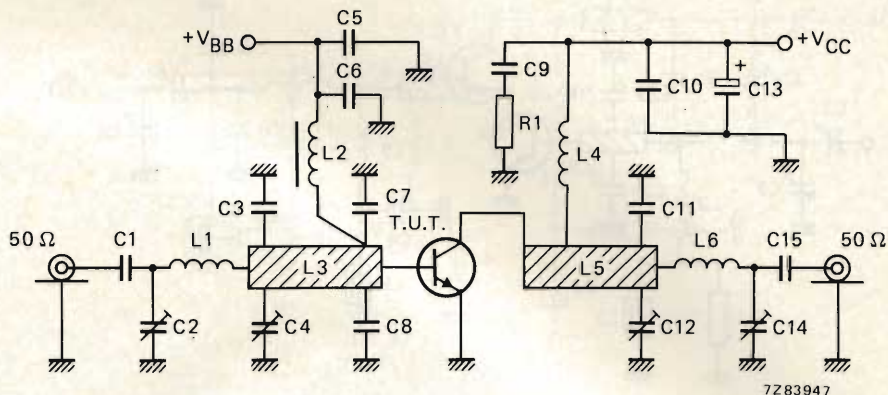


Fig. 18 - Amplificatore a larga banda (170 - 230 MHz) con due transistori BLV33F. a) Circuito elettrico; b) Sua realizzazione in stripline (a richiesta possiamo fornire il progetto completo di questo amplificatore).

Oltre alle induttanze ed alle capacità, che sono i componenti fondamentali dei circuiti a radiofrequenza, anche altri componenti potranno essere ottenuti con la tecnica stripline.

La figura 13 ci mostra un ripartitore di potenza secondo Wilkinson. Questo tipo di circuito consiste, nella sua versione più semplice, in due linee stampate di lunghezza  $\lambda/4$ , che hanno, per esempio, la forma a meandri e che terminano nella resistenza di bilanciamento  $R_A$ . Le impedenze caratteristiche dei due trasformatori in  $\lambda/4$  sono progettate in modo da trasformare i 50  $\Omega$  che si presentano in B e C nei 100  $\Omega$  del punto A. Il collegamento in parallelo, che avviene nel punto A, ristabilisce l'impedenza di 50  $\Omega$ . Quando il ripartitore si affaccia su carichi equilibrati in B ed in C, la resistenza di bilanciamento non consumerà energia. La larghezza di banda del ripartitore è pari a circa il 25%, e l'isolamento tra i due rami è di circa 20 dB. Questi ripartitori di potenza possono essere naturalmente costruiti con più di due uscite. Collegando in cascata più linee  $\lambda/4$  con impedenza caratteristica diversa, si potrà ottenere un aumento della larghezza di banda.

I punti in cui la stripline cambia dire-

zione formano delle discontinuità nell'andamento della capacità lungo la linea, che altrimenti avrebbe un corso omogeneo. Per compensare almeno in parte gli effetti di questo fenomeno, gli angoli hanno i caratteristici smussi obliqui.

Per evitare che ci siano accoppiamenti indesiderati tra linee che hanno percorsi adiacenti, la distanza tra queste deve essere di circa 3b per  $Z_L \leq 60 \Omega$  e di almeno 5 ..... 10b per  $Z_L \geq 70 \Omega$ .

Il progettista dovrà comunque decidere quale sia il grado di accoppiamento ammesso e di conseguenza se il circuito dovrà essere ad alta oppure a bassa impedenza. Nel prendere una decisione si dovrà tenere conto dell'attuale tendenza alla miniaturizzazione, che non lascia troppa libertà nell'uso degli spazi.

L'accoppiatore direzionale a 3 dB è il più importante tra i circuiti ripartitori di potenza, grazie all'ampia larghezza di banda. La costruzione di questo elemento si è dimostrata possibile, mantenendo le dimensioni ed i costi entro limiti accettabili, proprio con le tecniche stripline. Per ottenere l'accoppiamento necessario tra le due linee principali, si regolano in modo opportuno lo spesso-

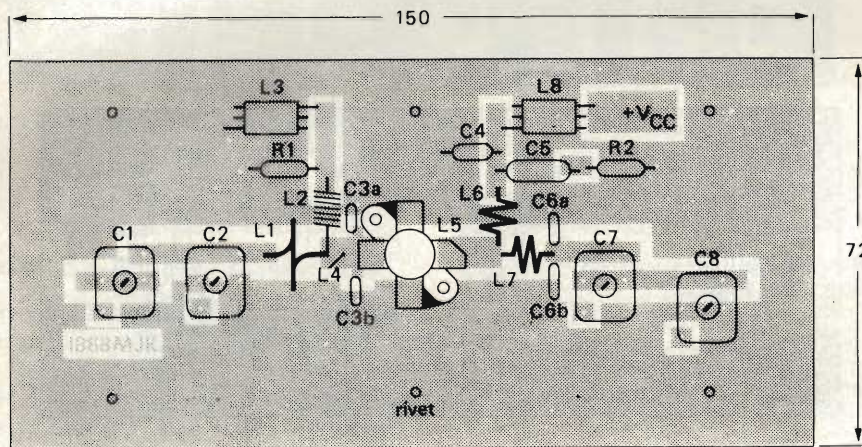
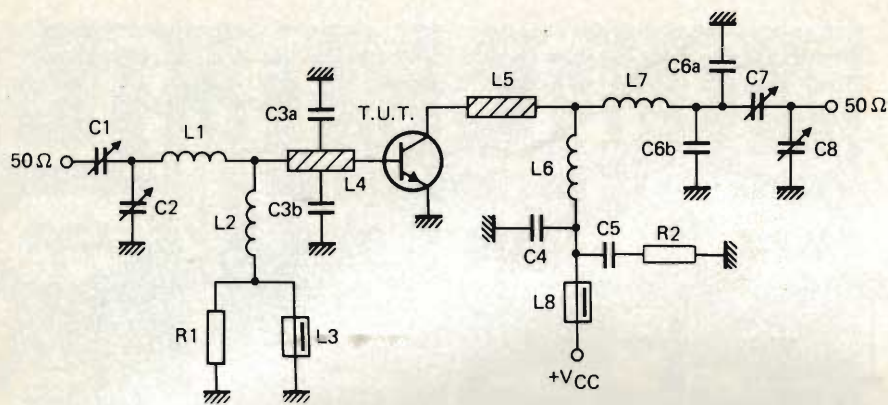


Fig. 19 - Amplificatore a 175 MHz con BLW 85. Sopra: circuito elettrico. Sotto: sua realizzazione in stripline.

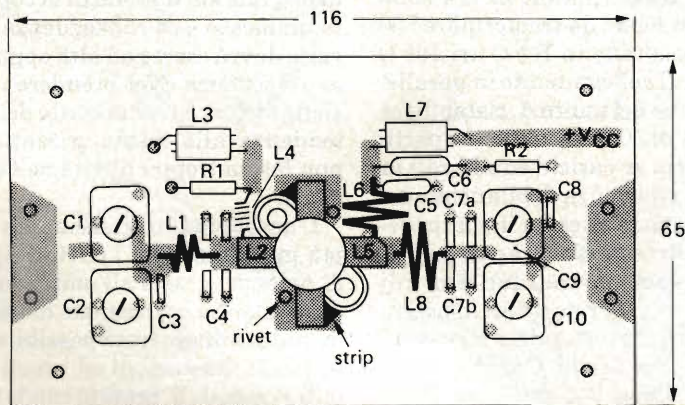
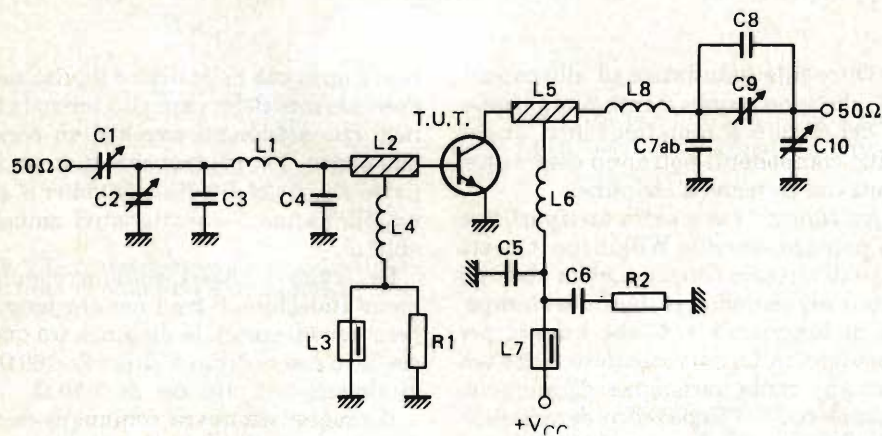


Fig. 20 - Amplificatore RF a 87,5 MHz con BLW 77. Sopra: circuito elettrico. Sotto: sua realizzazione in stripline.

re del substrato e la larghezza del conduttore. I risultati ottenuti sono un'attenuazione di accoppiamento pari a 20 dB ed una perdita di inserzione limitata a 0,3 dB. La geometria della stripline si calcola usando il procedimento contenuto nel testo citato al punto [8] della bibliografia, con riferimento alla struttura triplate.

### Qualche realizzazione pratica

Come esempio di circuito attivo a stripline, descriveremo ora un amplificatore UHF da 30 W, per frequenze da 225 a 400 MHz (figura 14).

Per adattare l'impedenza del generatore, che è di 50 Ω, alla bassa impedenza d'ingresso del transistor, è stato previsto il circuito d'ingresso formato da L1, C2, C3 ed L<sub>B</sub>. L'impedenza d'ingresso del transistor (R<sub>BE</sub>) ha un valore di circa 1 + j1,5 Ω. Trattandosi di una banda passante piuttosto ampia, il guadagno del transistor sarà più alto alle frequenze più basse della banda: questo effetto sarà compensato dalla caratteristica del filtro d'ingresso, che presenta una trasmissione migliore per le frequenze più alte.

I terminali d'uscita del transistor hanno una forma tale da permettere una transizione più graduale possibile tra i conduttori interni e la stripline. Tuttavia non è possibile eliminare del tutto l'induttanza L<sub>B</sub> dei conduttori di base, e perciò il suo valore è stato compreso nel circuito di adattamento d'ingresso. I condensatori C2 e C3 hanno piccole dimensioni e sono alloggiati in cave praticate nel substrato.

Lo spazio tra la massa e la stripline che forma l'induttanza, nel quale deve trovar posto il condensatore, è così ridotto al minimo possibile. Il circuito d'uscita è formato da sette sezioni, che forniscono l'impedenza di carico complessa che occorre al transistor di potenza. Anche questa parte del circuito ha una configurazione ibrida: le induttanze sono ricavate dalle piste conduttrici, mentre i condensatori sono del tipo compatto e sono applicati per saldatura alle piste [9].

Un altro esempio di questa tecnica costruttiva appare in figura 15. Si tratta di un filtro armonico destinato ad un trasmettitore da 50 W nella banda VHF tra 100 e 144 MHz [10].

In questo filtro sono stati calcolati i valori delle induttanze e delle capacità in funzione dell'attenuazione che dovranno subire le armoniche. I calcoli si



basano su sistemi convenzionali, ossia sull'impiego di un catalogo di filtri, completato da un sistema di ottimizzazione (che potrà essere per esempio il programma COMPAC). Il passo successivo della progettazione è di adattare i risultati del calcolo alle soluzioni caratteristiche della tecnica stripline. In questo esempio vediamo che sia le induttanze che le capacità sono ricavate dallo strato conduttore. Intuitivamente, le induttanze saranno le piste lunghe e strette, mentre le capacità saranno le piastre di ampia superficie, che avranno la massa come seconda armatura. In questo modo si otterranno parecchi vantaggi: minor tempo di costruzione e di collaudo, maggior stabilità e riproducibilità del circuito, eccetera. Le perdite nei componenti dovranno essere ridotte al minimo, in modo da rendere minima l'attenuazione all'interno della banda passante (figura 16). Allo scopo, la scelta è caduta sulla configurazione triplate ad alto Q. Le induttanze L1, L2, L3, L4 ed L5 sono realizzate mediante linee ad elevata impedenza (circa 150 Ω) mentre le capacità C2, C4 e C5 sono delle linee a bassa impedenza (circa 10 Ω).

La forma triplate ad alto Q è proprio quello che ci vuole per avere un'impedenza caratteristica molto alta: solo che per fare questo occorrerebbero superfici eccessive per le capacità, che perderebbero anche qualcosa in fatto di stabilità. La soluzione consiste nel realizzare le capacità su di un substrato, secondo i concetti della stripline asimmetrica. Le piastre di massa del sistema triplate sono invece costituite dallo schermo esterno, il quale esercita la sua azione al di fuori delle zone capacitive, che stanno verso gli orli della bassetta. Ne risulta quindi che solo le induttanze saranno in configurazione triplate, beneficiando dell'elevato valore di Q garantito da questo sistema. Invece le capacità si avvalgono del dielettrico del substrato con le due armature che corrispondono alle metallizzazioni delle due facce: in questo modo si godrà di tutti i vantaggi di basso ingombro e di stabilità.

La configurazione delle induttanze permette di ottenere alte impedenze, tuttavia le capacità in parallelo secondo il circuito equivalente a  $\pi$ , non saranno più trascurabili, e dovranno essere compensate mediante piccole variazioni della lunghezza delle singole linee. Il substrato è in teflon rinforzato da fibre di vetro, spesso circa 0,6 mm. Il tutto è racchiuso in una scatola di

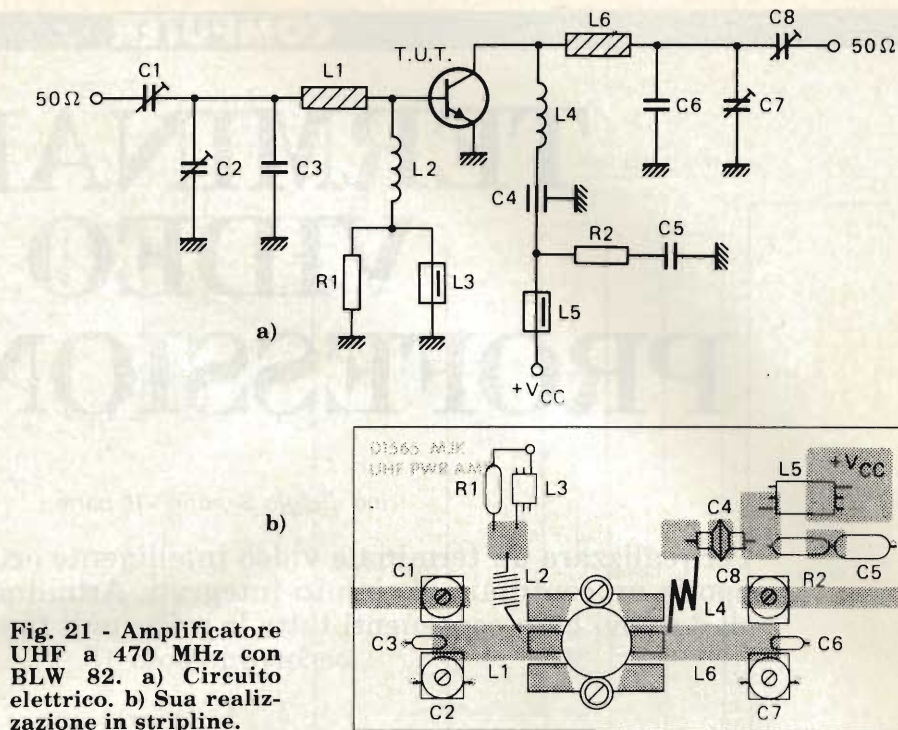


Fig. 21 - Amplificatore UHF a 470 MHz con BLW 82. a) Circuito elettrico. b) Sua realizzazione in stripline.

ottone argentato che forma l'armatura di massa del triplate. La distanza uniforme tra schermo esterno e bassetta è garantita da distanziali in materiale plastico a basse perdite. In questo modo si otterrà una configurazione triplate priva di discontinuità.

Parliamo ora delle ultime novità in questo settore. Negli ultimi anni è stato messo a punto un sistema di metallizzazione chimica (CMS), che ha permesso ai progettisti di godere contemporaneamente dei vantaggi della tecnica a film spesso e di quella a film sottile [11]. Questi strati metallici hanno una resi-

stività molto ridotta. Si è potuto così ottenere un Q a circuito aperto di 550 (valore teorico 560.), nel corso di esperimenti effettuati presso la AEG-Telefunken. Tali esperimenti riguardavano un risonatore ad anello da 10 GHz: i conduttori erano stati lucidati e la loro sezione era stata sagomata secondo i dati di Wiesbeck (vedi la prima parte di questo articolo); Si noti che le tecniche convenzionali a film sottile permettono di raggiungere un Q di solo 410.

Konrad Hupfer

(News from Rohde/Schwarz 93)

#### Bibliografia:

- 4) L. Levin: L'irradiazione da parte delle discontinuità delle stripline. Inst. Elec. Eng. Monograph 1358E, pagine 163 - 170 Febbraio 1960.
- 5) E. Belohoubek, E. Denlinger. Studi sulle perdite nei risonatori a microstriscia. IEEE Trans. on microwave theory and techniques, Giugno 1975.
- 6) H. L. Clemm: Capacità ed induttanze nei conduttori a striscia asimmetrici. Frequenz 22 (1968) N° 7, pagine 196 - 201.
- 7) Sviluppo degli elementi e dei gruppi funzionali nella tecnica delle microstrisce. Indagini effettuate dal ministero per la ricerca e la tecnologia della Germania Federale. Rapporto finale NT 400, parte b; 20 febbraio 1975.
- 8) G. Mathaei: Filtri a microonde, circuiti di adattamento d'impedenza e strutture di accoppiamento. New York 1964, Mc Graw Hill.
- 9) K. Hupfer, H. Helmrich: Amplificatore VHF da 50 W a transistori Internationale Elektronische Rundschau 27 (1973) N° 8, pagine 165 - 168.
- 10) K. Hupfer: Filtro armonico per trasmettitore VHF con tecnica a striscie conduttrici. Fernmelde - Praxis 54 (1977), N° 10, pagine 439 - 447.
- 11) A. F. Bogenschütz, J. L. Jostan, R. Oswald, I. Steiner: Circuiti a microonde costruiti con la tecnica CMS. Wissenschaftliche Berichte AEG-Telefunken 52 (1979) N° 1-2, pagine 71 - 77.

# TERMINALE VIDEO PROFESSIONALE

Ing. Sergio Saporiti - II<sup>a</sup> parte

Per realizzare un terminale video intelligente occorre fino a poco tempo fa un centinaio di circuiti integrati. Attualmente, con l'introduzione di 4 nuovi chip contenenti tutte le principali funzioni di controllo, ne occorrono solo 15.

**L**e figure 1 e 2 indicano la realizzazione pratica di un terminale video completo con minimo numero di componenti. Per la sua realizzazione sono necessari solo 15 integrati, incluso la decodifica della tastiera e la conversione per l'ottenimento di un'interfaccia RS232. Nonostante il basso numero di componenti, questo terminale offre le seguenti prestazioni:

- pagine con 24 o 25 righe di caratteri, ciascuna di 80 caratteri.
- ogni carattere è costituito da una matrice di 7 x 9 punti contenuti in un

blocco di 9 x 12 (i possibili caratteri sono 96 caratteri alfanumerici ASCII, 32 simboli speciali).

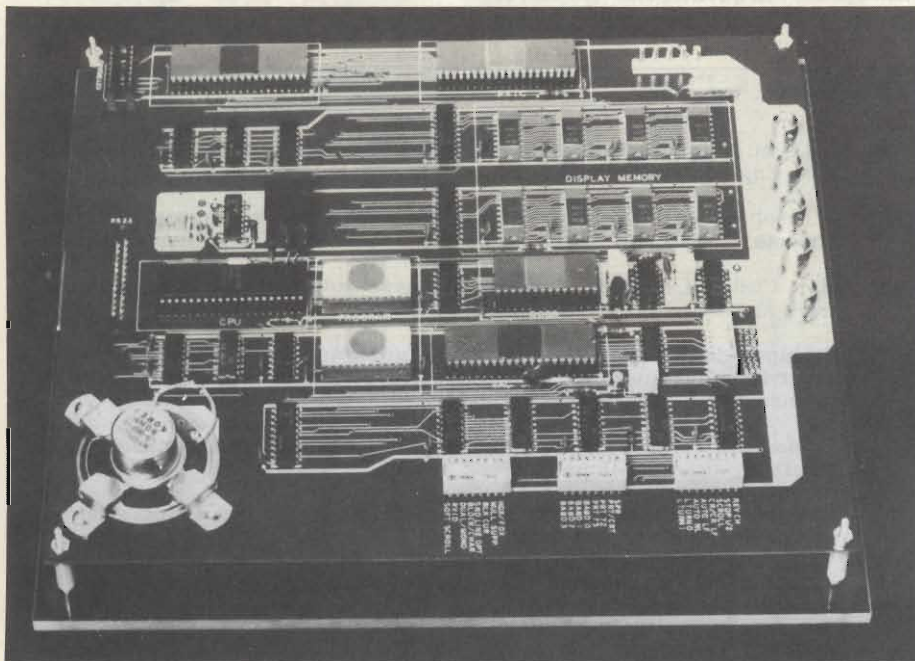
- cursore a blocco, a sottolineatura, lampeggiante o no
- tastiera di 128 tasti comprensivi dei tasti di controllo del cursore
- un'interfaccia RS232 del tipo full o half-duplex; selezione tra 16 possibili velocità con generatore interno e trasmissione di un carattere o blocco di caratteri.
- tre modi di funzionamento: normale, trasparente (visualizza caratteri

grafici e di controllo), immagini a pagine fisse o a scorrimento con possibilità di scorrimento lento (verticale od orizzontale)

- cinque attributi di visualizzazione: lampeggiamento, immagine negativa, alta luminosità, sottolineatura e assenza di visualizzazione.

Nel progetto, per ridurre la circuiteria è stato previsto per il PVTC il modo di funzionamento indipendente. L'interfaccia bidirezionale per la memoria di visualizzazione è realizzata con una 8x31. Essa può essere sostituita con una 74LS374 se non è richiesto la lettura della memoria da parte della CPU. Il programma del microcomputer 8049 è contenuto nella sua memoria ROM interna. Inoltre, internamente al microcomputer, è disponibile anche una RAM utilizzabile dall'unità centrale. Ricordiamo brevemente che il PVTC (2672) reagisce ai comandi della CPU (8049) controllando che i trasferimenti di dati tra la CPU e la memoria di visualizzazione (memoria RAM) avvengano solo durante gli intervalli di spegnimento del fascio elettronico del cinescopio in modo da evitare interferenze sull'immagine. Esso indirizza poi la memoria RAM. I dati in essa contenuti sono quindi visualizzati per mezzo del DCGG (2670) il quale provvede a generare le uscite parallele relative alle informazioni dei punti del carattere. Questi verranno trasformati in dati seriali dal VAC (2673) che aggiunge anche gli attributi voluti e fornisce le uscite video agli amplificatori video del monitor.

Il 2671 (PKCC) è utilizzato come in-



Prototipo di laboratorio del terminale video intelligente realizzato con gli integrati descritti.

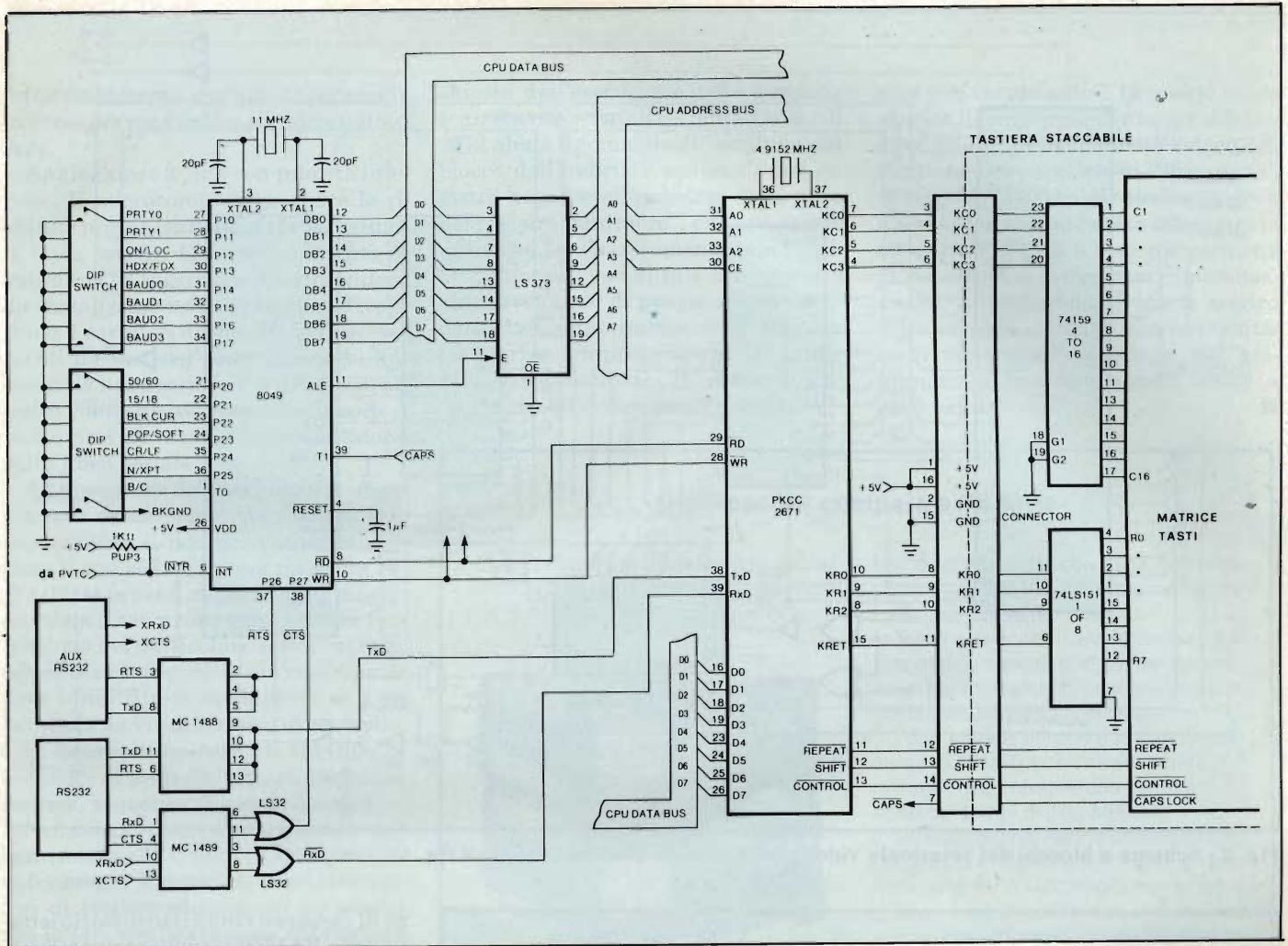


Fig. 1 - Schema a blocchi del terminale video professionale intelligente.

terfaccia seriale e decodificatore di tastiera. Esso indirizza il 74LS159 che pilota una tastiera a matrice 16x8. Ogni tasto premuto è rilevato all'ingresso KRET dall'integrato 74LS151. Quindi il PKCC provvede a decodificare secondo lo stato degli ingressi SHIFT e CONTROL e a presentare il codice alla CPU. Le funzioni di "ripetizione tasto" e "ripetizione continuata" sono eseguite automaticamente dal 2671.

### Organizzazione della memoria

La minima capacità di memoria è di 2 Kbyte così suddivisi (gli indirizzi sono in esadecimale):

- da 0000 a 004F, dati per la riga 25 (linea di stato)
- da 0050 a 007F, non usati
- da 0080 a 07FF, dati per le righe da 1 a 24.

I registri "primo indirizzo di visualizzazione" e "ultimo indirizzo di visualizzazione" del PVTC (2672) sono caricati rispettivamente con 0080 e 07FF. In questo modo questa parte della RAM

funziona come una pila circolare.

Inizialmente, i dati sono organizzati nella RAM nel seguente modo:

- da 0080 a 00CF, dati riga 1
- da 00D0 a 011F, dati riga 2
- .....
- da 07B0 a 06FF, dati della riga 24
- da 0000 a 004F, dati della riga 25 (linea di stato)

Quando è richiesta un'operazione di scorrimento della pagina, la CPU cambia il valore del registro di inizio pagina del PVTC da 0080 con 00D0. In questo modo, la pagina è spostata di una riga verso l'alto. Dopo il raggiungimento dell'ultimo indirizzo (ora è l'ultimo carattere della riga 23), il PVTC automaticamente cambia l'indirizzo e riparte da 0080 per la ventiquattresima riga. I dati sono ora così organizzati:

- da 00D0 a 011F, dati riga 1
- da 0120 a 016F, dati riga 2
- .....
- da 07B0 a 06FF, dati riga 23
- da 0080 a 00CF, dati riga 24
- da 0000 a 004F, dati riga 25.

La CPU può in tempo utile azzerare le locazioni da 0080 a 00CF, e cancellare pertanto la riga 24 sullo schermo. La linea di stato (riga 25) è mantenuta in una sezione separata dalla RAM: ciò per evitare di dover spostare i dati in essa contenuti ogni volta che ricorre un'operazione di scorrimento. Perciò, il 2672 deve sapere in anticipo di cambiare la sequenza di indirizzamento all'inizio della riga 25. Ciò è reso possibile dall'interrupt all'inizio della riga 24 proveniente dallo stesso 2672. La CPU risponde a questo interrupt cambiando il contenuto del registro di indirizzamento dapprima con l'indirizzo 0000, poi con il corretto indirizzo di visualizzazione prima che il blanking verticale termini.

### Considerazioni sul software

Il software disponibile per l'8049 prevede le caratteristiche di un terminale video standard. All'accensione, il microcomputer esegue l'azzeramento della sua RAM (o RAM del sistema), inizializza il 2672 (PVTC) per ottenere il formato dello schermo desiderato, il ti-

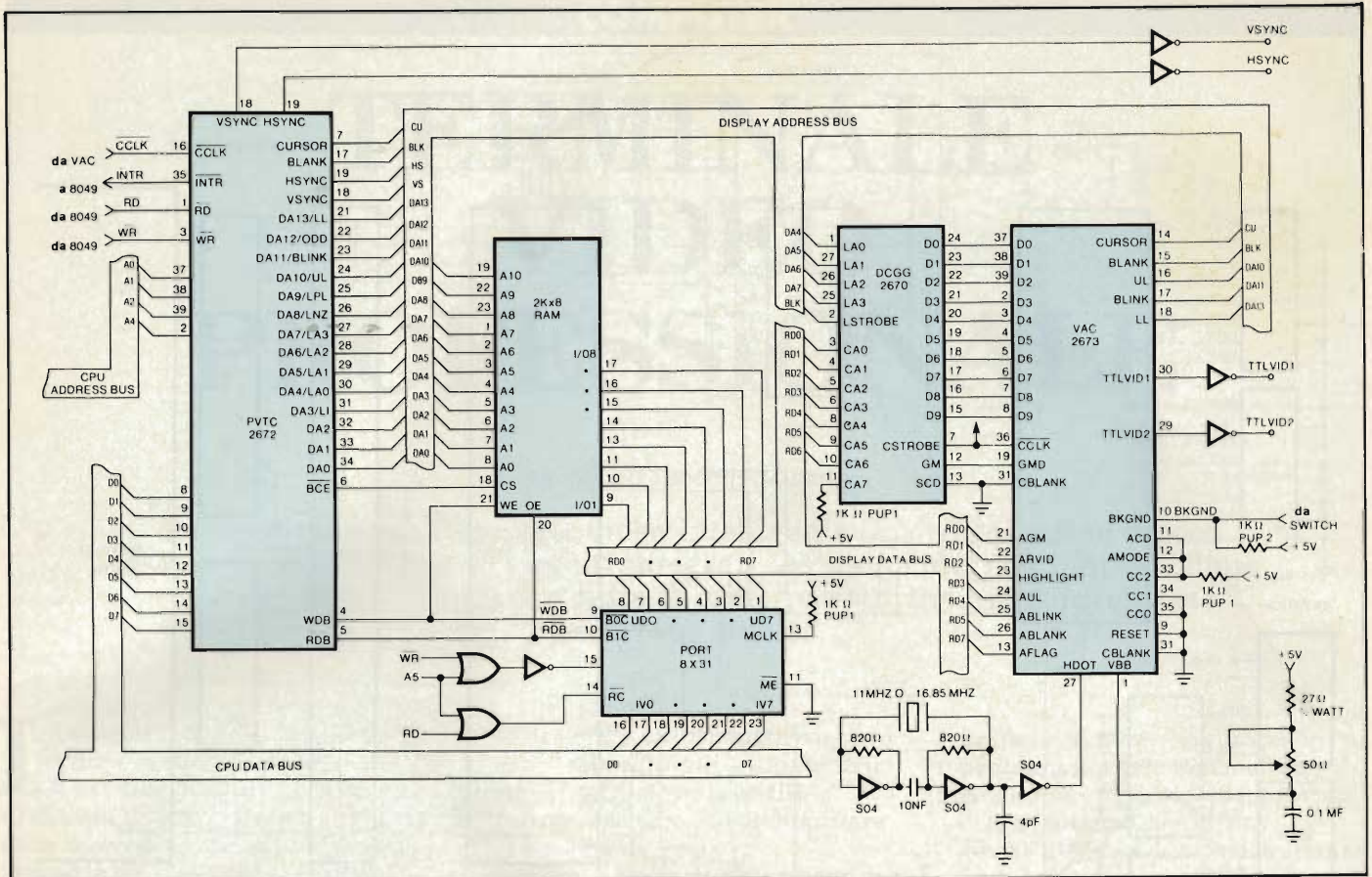


Fig. 2 - Schema a blocchi del terminale video professionale (continuazione di fig. 1)

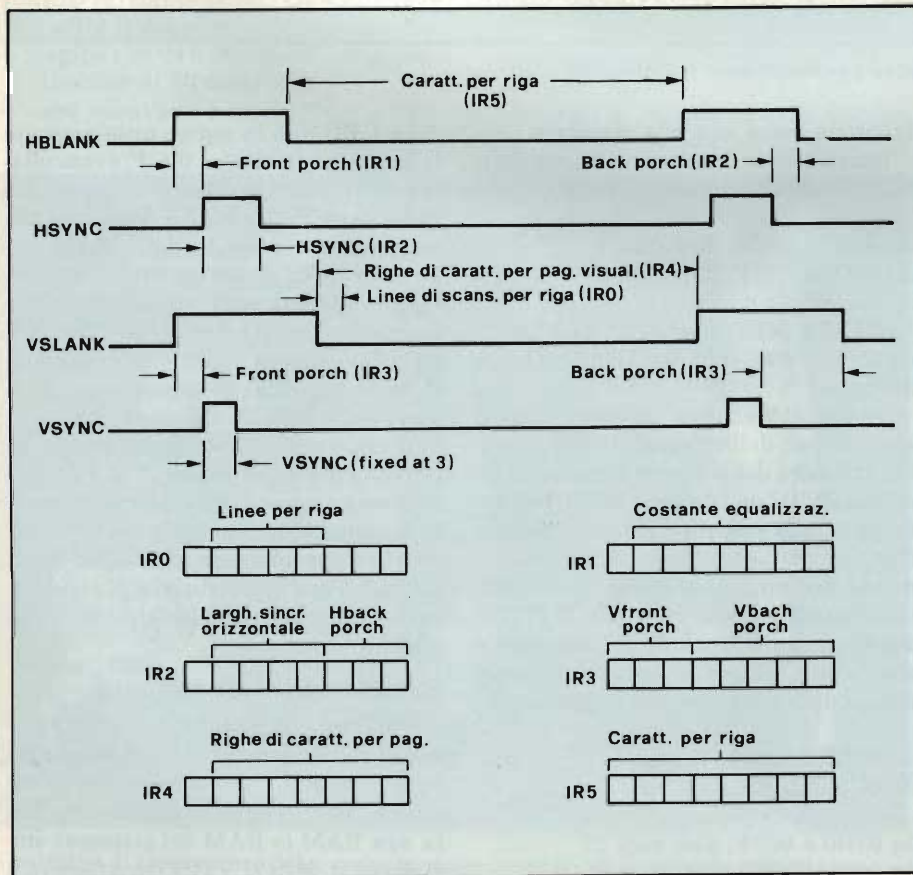


Fig. 3- Segnali di sincronizzazione verticale e orizzontale e registri di controllo.

po di cursore e l'indirizzo di inizio lettura della RAM di visualizzazione, riempie la RAM di visualizzazione con il codice corrispondente allo spazio (esadecimale 20) in modo da cancellare lo schermo. Inizializza il 2671 (PKCC) per l'accettazione dei caratteri provenienti dalla tastiera o dalla linea seriale, legge infine gli interruttori per la predisposizione del terminale (velocità di scansione, tipo di cursore...).

A questo punto il microcomputer abilita gli *interrupt* e si pone in attesa.

Le sorgenti di *interrupt* previste sono tre: il PVTC, la tastiera, la linea seriale. Siccome l'8049 prevede un solo livello di *interrupt*, l'ingresso reale di *interrupt* è collegato al PVTC a cui è stato dato la massima priorità. Il riconoscimento delle richieste provenienti dalle altre due sorgenti avviene con la lettura dei registri presenti nel 2671 (PKCC). Si è assegnata la massima priorità all'*interrupt* proveniente dal 2672 (PVTC) in quanto esso significa aggiornamento dell'immagine. Per evitare quindi che la modifica (esempio, aggiornamento indirizzi memoria visualizzazione, inserzione nuovo carattere...) non venga eseguito in tempo utile con conseguenti disturbi sull'immagine, il microcomputer interrompe

immediatamente qualsiasi operazione in corso per provvedere a gestire l'interrupt.

Analogamente, ma con priorità inferiore, il microcomputer gestisce le richieste provenienti dalla tastiera o dalla linea seriale. Esse normalmente riguardano o l'inserzione di un carattere da visualizzare o di un carattere di controllo. I caratteri da visualizzare provenienti da tastiera sono trasmessi anche sulla linea seriale. Per alcuni caratteri di controllo (es. controllo cursore...) non è previsto invece la trasmissione sulla linea seriale.

Alla ricezione della richiesta di inserzione di un carattere (da tastiera o linea seriale), il microcomputer memorizza il suo codice in una memoria FIFO (First Input First Output) di 8 byte, ed inizia il suo riconoscimento con l'attuazione del particolare sottoprogramma ad esso associato. Il microcomputer deve innanzitutto distinguere se è un carattere da visualizzare o di controllo, e in quest'ultimo caso, di che tipo di carattere di controllo si tratti (controllo cursore, sequenza di controllo ecc.).

Nei momenti di pausa, quando cioè la memoria FIFO è vuota, il microcomputer esegue il controllo degli interruttori di predisposizione per accertarsi che la loro configurazione sia rimasta immutata. In caso contrario provvede a modificare il formato dello schermo.

La memoria FIFO a 8 byte è necessaria per l'azzeramento di una riga ri-

chiesta dall'esecuzione della funzione scorrimento. Infatti, nonostante il 2672 abbia il comando di "scrittura del blocco dall'indirizzo contenuto nel registro cursore all'indirizzo contenuto nel registro puntatore", che può essere utilizzato per l'azzeramento rapido della memoria, l'uso di tale comando ha l'inconveniente di provocare un fastidioso lampeggiamento della riga da far scorrere. Si preferisce allora utilizzare ripetutamente il comando di "scrittura all'indirizzo del registro cur-

sore con incremento". In questo modo si evita il lampeggiamento, ma si introduce una limitazione nella velocità di ricezione dei caratteri di 240 caratteri al secondo (2400 baud). Per sopperire a questa limitazione è stata introdotta la memoria FIFO di 8 byte che permette di ricevere 8 caratteri contemporaneamente, aumentando il limite teorico della velocità a 19200 (ulteriori limitazioni dovute all'esecuzione del programma abbassano questo limite a 8600 baud). ■

### Oscilloscopi compatti a 75 MHz

La Philips ha presentato due oscilloscopi di classe da laboratorio sviluppati per l'impiego nella manutenzione. Si



tratta del PM 3254 con base dei tempi semplice e del PM 3256, una versione con base dei tempi ritardata.

Tutti i componenti, sia elettronici che meccanici, sono stati scelti per garantire un comportamento ottimale anche in condizioni particolarmente severe.

I due modelli offrono una banda passante di 75 MHz con una sensibilità di 2 mV sulle due entrate e una gamma della base dei tempi di 100 MHz.

Gli oscilloscopi hanno un tubo a raggi catodici che fornisce tracce fini e luminose, che danno oscillogrammi stabili e precisi. La luminosità elevata ottenuta con questi tubi permette di utilizzare gli apparecchi anche in ambienti molto illuminati.



RAPPRESENTANTE PER L'ITALIA

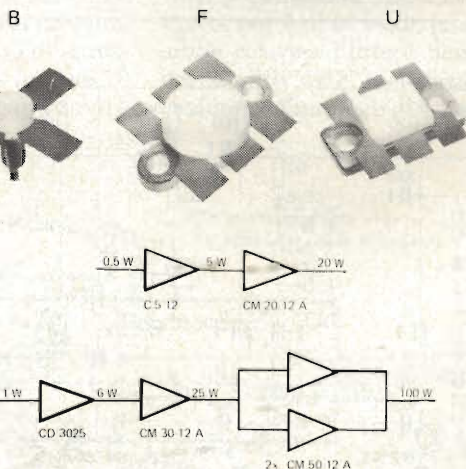
CTC



UHF LAND MOBILE TRANSISTOR 12V 400-500 MHz

	POWER OUT W	POWER IN (470 MHz)	PACKAGE
C 1 - 12 (2)	1	0,1	B (2)
C 3 - 12 (1)	4	1	B
C 5 - 12 (1)	5	0,5	B
CD 5944	2,5	0,15	B
CD 5945	4	0,5	B
CD 3025	10	2	B
CD 3285	10	1,5	B
C 12 - 12 (1)	12	4	B
C 25 - 12 (1)	25	10	B
CM 10-12 A (1)	10	2	F
CM 20-12 A (1)	20	5	F
CM 30-12 A	30	8	F
CM 45-12 A	45	14	F
CM 50-12 A (1)	50	12	F
CM 60-12 A	60	20	F
CME 80-12	80	30	U

nota 1 normalmente a stock — nota 2: custodia B senza la vite



DOCUMENTAZIONE, ASSISTENZA TECNICA E PREZZI INDUSTRIA A RICHIESTA.

ST E s.r.l. — via maniago, 15 — 20134 milano — tel. (02) 215.78.91-215.35.24 - cable stetron

# LA RICEZIONE DEL SATELLITE "METEOSAT"

a cura di John Cox - parte quarta

Nella puntata scorsa, abbiamo descritto per sommi capi il ricevitore per il METEOSAT che proponiamo. Ora passiamo dalla teoria alla pratica, illustrando minutamente la circuiteria del convertitore, del sistema FM e del modulo a bassa frequenza; in pratica, i settori più importanti dell'apparecchiatura.

**P**remettiamo che, come si usa fare in pressochè tutte le apparecchiature a microonde, l'oscillatore di conversione è montato a parte, e sarà descritto nella prossima puntata. Lo schema elettrico del convertitore è riportato nella figura 1. Si nota che comprende un preamplificatore a due stadi (T1, T2), un mixer attivo (T3) e due stadi amplificatori di media frequenza (T4 ed I1).

Gli stadi che fanno parte del preamplificatore, sono stati oggetti di uno studio particolarissimo per ottenere un NF (rumore) pressochè trascurabile. Per il primo stadio si è selezionato il

moderno transistor per microonde BFR 14B (Siemens). Questo bipolare al silicio, è dato per una figura di rumore di 2 - 2,5 dB a 2 GHz. Il cavo dell'antenna è connesso alla base solo tramite un condensatore da 30 pF, il che implica che il transistor presenti un'impedenza d'ingresso di 50  $\Omega$  (valore d'uscita dell'antenna). Questo tipo di accoppiamento da luogo ad un rumore molto più basso di quello che si potrebbe avere con un circuito d'adattamento a mezza onda. Anche se non rappresenta il metodo di connessione più favorevole *in assoluto*, per quel che riguarda il rumore, il sistema, ha il vantaggio di assicu-

rare una neutralizzazione affidabile; il primo stadio è infatti inevitabilmente critico, in ogni apparecchio di questo genere.

Per il secondo stadio amplificatore, i transistori BFR 34A e BFT 65 (ambidue Siemens) presentano delle caratteristiche di rumore sufficientemente limitate; si può preferire il BFT 65.

Lo stadio miscelatore che segue non è critico e si può impiegare senza problemi un altro transistor BFT 65.

La stabilizzazione del punto di lavoro nei confronti della tensione  $\pm V$  e delle fluttuazioni della temperatura, spesso non è trattata, nei circuiti già molto progrediti di questo tipo. Pur senza dilungarci in inutili dettagli, diremo che in questo caso una eccellente stabilità è ottenuta con un metodo piuttosto semplice. Come si vede nello schema, la polarizzazione per i due primi stadi è ricavata tramite tre resistenze ed un diodo zener ciascuno. La polarizzazione per lo stadio convertitore, è ottenuta con due economici transistori per bassa frequenza; in tal modo, il punto di lavoro del mixer si adatta automaticamente al livello del segnale che giunge dall'oscillatore.

L'alimentazione generale è stabilizzata a 12V; la tensione che giunge tramite il cavo di connessione al ricevitore FM, che segue, ha il valore di 15V e per la regolazione serve l'IC TDA 1412. Sono previsti dei filtri divisori ai due lati di raccordo che separano la c.c. ed il segnale a 137,5 MHz, che devono essere

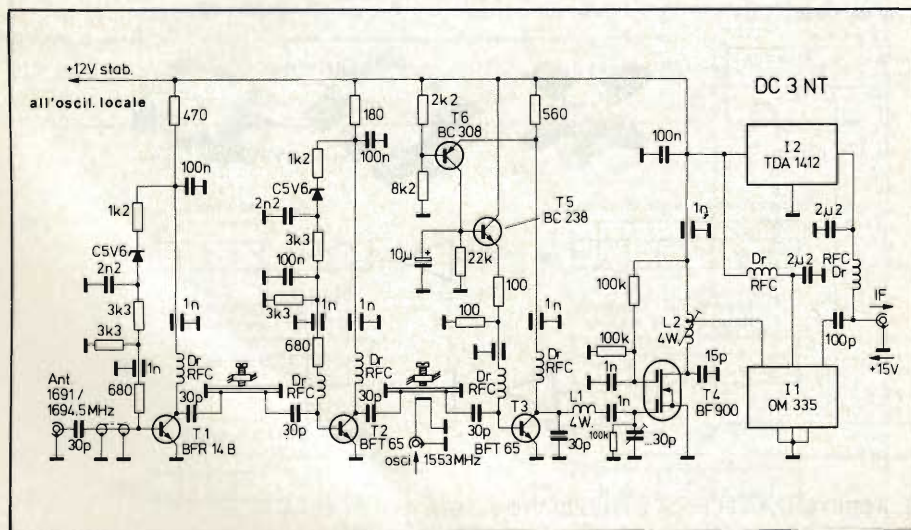


Fig. 1 - Schema elettrico del convertitore ad 1,7 GHz. Nel primo stadio (T1) è indispensabile impiegare il transistor BFR 14 B.

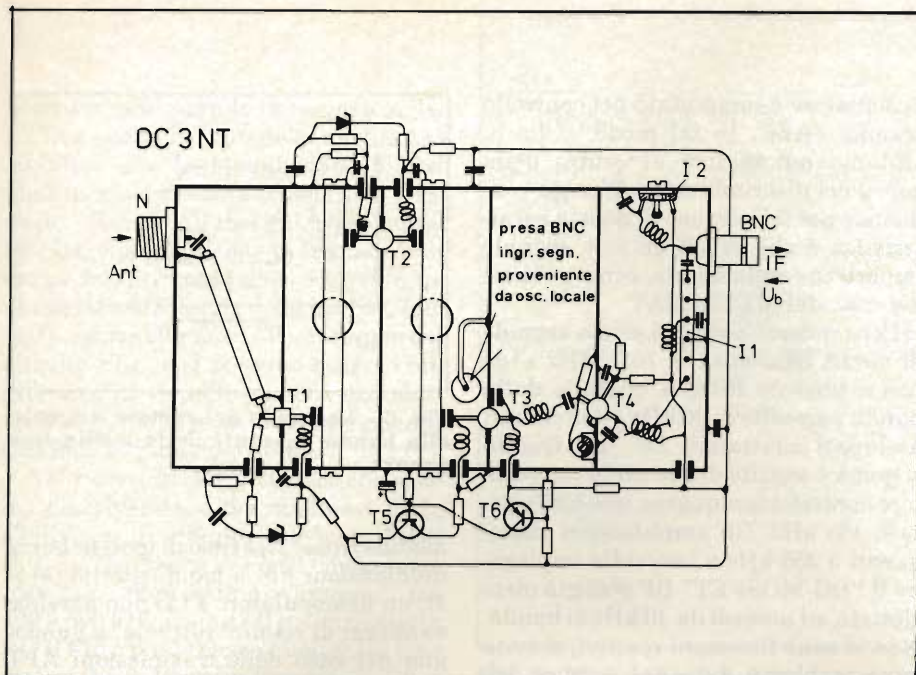


Fig. 2 - Realizzazione pratica del convertitore che impiega l'accordo a linee a mezza onda (seconda e terza camera risonante da sinistra). "I 1" è l'integrato ibrido OM 335.

realizzati con impedenze da  $22 \mu\text{H}$  e condensatori da  $2,2 \text{ nF}$ .

Nel primo stadio amplificatore di media frequenza, è impiegato un transistor DG-MOSFET a basso rumore BF900; per l'adattamento verso il transistor mixer si utilizza un sistema a p-greco. Come secondo stadio amplificatore s'impiega un circuito integrato ibrido OM 335 della Philips, che eroga ben 23 dB di guadagno. Tale forte amplificazione, è unicamente necessaria per compensare le perdite lungo un eventuale cavo d'uscita che si diparta verso il ricevitore VHF/FM susseguente.

È da considerare infatti, che il cavo che raccorda l'antenna al convertitore può essere lungo al massimo un paio di metri (si riveda la scorsa puntata) per evitare perdite, ma anche per non introdurre dei segnali parassitari. In tal modo, nella maggior parte delle installazioni, l'antenna ed il convertitore saranno "remoti" ed i segnali METEOSAT perverranno al resto della stazione ricevente tramite un cavo coassiale piuttosto prolungato. Certo, come abbiamo detto, talvolta, per l'esposizione dell'antenna basta un terrazzo rivolto a sud-ovest (si deve sempre rammentare che il METEOSAT "staziona" sul Golfo di Guinea, a latitudine e longitudine zero, quindi sull'Africa nord-occidentale), ma se uno spazio aperto non è disponibile, è necessario fare uso di altane, attici, tetti e simili, quindi il convertitore in diversi casi sarà "lonta-

no" dal resto dell'apparecchiatura; sistemato subito "sotto" all'antenna a parabola.

Comunque, con l'impiego dell'integrato ibrido, impiegando l'antenna descritta nella puntata scorsa, durante la captazione dei segnali METEOSAT si ha una uscita di 1 mV, che non è davvero poco, nel caso specifico, visto che i segnali provenienti dallo spazio si misurano sempre nella scala dei  $\mu\text{V}$ : mille volte meno e simili.

La realizzazione meccanica del convertitore è mostrata nella figura 2. Il disegno è in scala, il che significa, che per tornare all'originale, basta comparare le linee risonanti a mezza onda, (preferite in ultima analisi ai risuonatori per una maggiore facilità di realizzazione) che devono essere lunghe 70 mm. Le dimensioni di ciascuna cavità

risonante (vista la frequenza potremo anche dire "camera risonante") sono riportate nella figura 3. Il convertitore comprende cinque scomparti identici in ottone o rame argentato, che hanno le dimensioni di 140 mm per 70 mm. Sono esclusi i vani dell'oscillatore locale, che, come sappiamo, deve essere realizzato a parte.

Parliamo ora del "ricevitore" VHF che segue il converter descritto. Abbiamo rammentato che questo settore non deve essere costruito appositamente; potrebbe servire anche un apparecchio VHF/FM del commercio.

Il progetto che ora descriviamo, però, è appositamente concepito per il lavoro METEOSAT, e forma un tutt'uno con il convertitore e gli stadi seguenti, quindi lo si deve prendere in buona considerazione. Talvolta è più facile realizzare di sana pianta, che modificare apparati esistenti!

Dunque, il ricevitore VHF non deve avere una sensibilità assolutamente speciale, vista l'uscita del converter; tuttavia, per maggior sicurezza s'impiegano due stadi amplificatori d'ingresso dal rumore minimo, che funzionano sulla banda "bassa" dei satelliti (136 - 138 MHz), eventualmente captabili, ed impiegano i noti ed eccellenti MOSFET BF 900.

Questi transistori non necessitano di neutralizzazione, e la loro circuiteria può essere notevolmente semplificata, visto che il source ed il gate 1 sono a massa, come "ritorno", e la polarizzazione per i gate 2 di tutti e cinque gli stadi amplificatori variamente utilizzati giunge da una sorgente comune. I filtri passabanda da L2 ad L5, devono essere regolati in modo tale che sia possibile ricevere l'intera banda "bassa" dei satelliti VHF. L'elevata preamplificazione, e l'impiego di un mixer attivo,

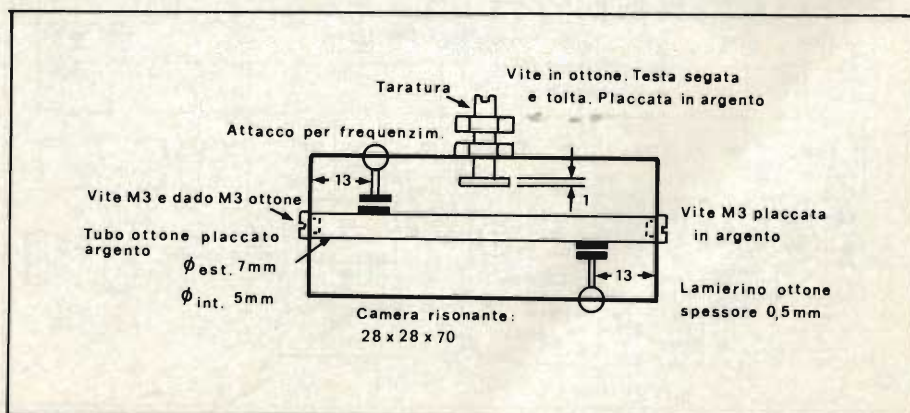


Fig. 3 - Dettagli di realizzazione della camera risonante a mezza onda.

sono indicati per ricevere non solo i segnali forti, o relativamente "forti", come quelli ricavati dal convertitore (è opportuno rammentarsi che il campo di  $10 \mu\text{V}/\text{metro}$ , nella gamma FM broadcasting è ritenuto *intenso* tanto per fare un paragone), ma anche per le applicazioni secondarie, tipo satelliti VHF, nelle quali attendersi segnali importanti è vano.

Il circuito integrato mixer SO 42P (Siemens) permette di conseguire una conversione ad alto guadagno, pur impiegando pochi componenti esterni ed una bassa potenza da parte dell'oscillatore locale.

La frequenza dell'oscillatore locale può essere a  $10,7 \text{ MHz}$  al di sotto della frequenza d'ingresso, e la tensione-segnale d'uscita, avrà un valore ben grande: all'incirca  $50 \text{ mV}$ .

Nella puntata precedente, abbiamo detto che in questo caso un oscillatore locale dalla frequenza fissa, a cristallo, non è bene impiegabile, indicando anche le motivazioni di tale giudizio. In seguito, sarà descritto un oscillatore controllato in tensione (VCO), che da solo comunque, non sarebbe sufficiente a mantenere una eccellente stabilità a lungo termine. Per tale ragione, come vedremo, si è scelta una soluzione originale. In pratica, quando lo squelch è chiuso, l'oscillatore vien fatto "spazzolare", ed in tal modo, il ricevitore FM esplora una banda di circa  $500 \text{ kHz}$ , sin che non è presente un segnale. Non appena si capta la portante nella banda che interessa, lo squelch va a riposo e

l'oscillatore è commutato nel controllo tramite l'AFC. In tal modo, si ha la sintonia automatica al centro della curva del discriminatore. L'unica condizione per il buon uso di questa caratteristica è che vi sia un solo segnale importante sulla banda, come avviene nel caso del METEOSAT.

Per rendere "netto" il primo segnale di media frequenza, a  $10,7 \text{ MHz}$  s'impiega un solo filtro a cristallo dalla banda passante di  $30 \text{ kHz}$  e due circuiti accordati adattatori: L6 - L7. Questo sistema è seguito dal secondo convertitore controllato a quarzo, che ha l'uscita a  $455 \text{ kHz}$ . Gli amplificatori susseguenti a  $455 \text{ kHz}$  a loro volta impiegano il "DG-MOSFET" BF 900, già menzionato, ed accordi da  $40 \text{ kHz}$  di banda. Non vi sono fenomeni reattivi, si evita ogni problema dato dal rumore dell'amplificazione a banda larga ed i limiti dati dal sovraccarico sono simmetrici.

Dopo i tre stadi basati sui BF 900, si nota il demodulatore PLL-FM, che impiega il circuito integrato 4046 (I3). Il vantaggio di base dato da questo tipo di circuito, che sarà esposto con maggiori dettagli tra poco, essendo ancora non molto comune, è che si possono ottenere dei segnali BF dal rapporto segnale-rumore molto elevato anche con dei rapporti di segnale-rumore RF non tanto buoni; l'effetto è evidentissimo se comparato a ciò che si può ricavare dai rivelatori a coincidenza o a rapporto convenzionali.

Il vantaggio aumenta con l'indice di

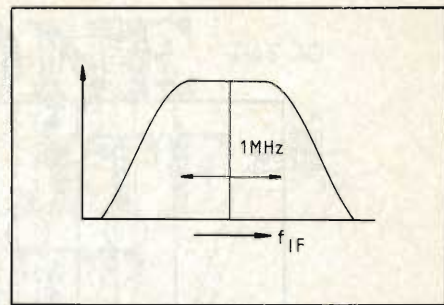


Fig. 5 - La banda del rumore è eguale alla banda passante della media frequenza.

modulazione. Nel caso di ipotetiche comunicazioni FM a banda stretta ( $M = 1$ ), un demodulatore PLL non darebbe vantaggi di risalto, tuttavia, il guadagno nel caso delle trasmissioni APT provenienti dal METEOSAT ( $M = 3,75$ ) è notevole.

Proprio per tale ragione si è potuto misurare un rapporto segnale-rumore di  $30 \text{ dB}$  con l'impiego in questo apparecchio, pur avendo un segnale-rumore nel canale di media frequenza di soli  $11 \text{ dB}$ . In pratica, il demodulatore PLL, offre dei notevoli vantaggi particolarmente per le comunicazioni FM nella banda dei GHz. Per esempio, nella banda dei  $10 \text{ GHz}$ , sono frequenti degli indici di modulazione, di  $M=10$ , sino ad  $M=15$ , e tali condizioni sono perfettamente ideali per l'impiego di un rivelatore PLL. Per spiegare come si ottiene il miglior rapporto tra segnale e rumore, assumiamo un esempio un po' portato all'estremo: una portante VHF è modulata con un segnale di  $1 \text{ kHz}$  con una deviazione FM di  $1 \text{ MHz}$ .

Ciò significa che serve una banda passante di circa  $1 \text{ MHz}$ , e che il rumore con la banda di  $1 \text{ MHz}$  è presentato all'ingresso del rivelatore FM convenzionale assieme al segnale necessario (figura 5). Logicamente, è possibile sopprimere la tensione di rumore BF risultante tramite un filtro passabasso; ma non completamente. Il comportamento di un demodulatore PLL, è completamente diverso, come si vede nella figura 6.

Senza il segnale di media frequenza, il segnale del VCO sarà centrato al centro della curva passabanda di media; il filtro passabasso collegato al discriminatore limiterà allora la banda passante del rumore a circa il doppio della frequenza di taglio del filtro passabasso. Se dalla media frequenza giunge un segnale, questo si accosterà al segnale del VCO, dopo che l'anello PLL si è

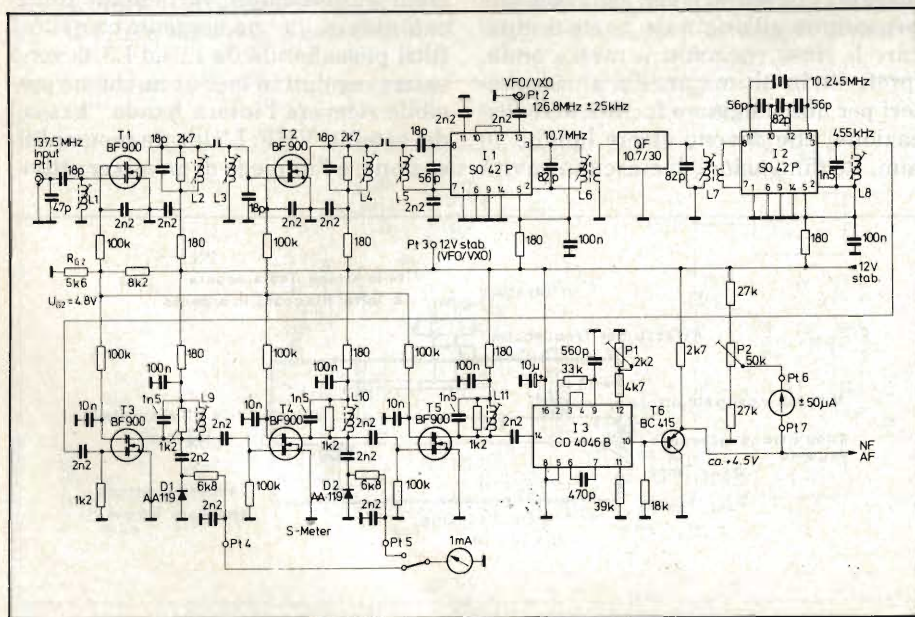


Fig. 4 - Modulo di media frequenza del sistema (ricevitore VHF).



bloccato assimilando la frequenza del VCO a quella del canale di media. Ciò significa che la modulazione di frequenza appare come tensione di controllo. Grazie all'inseguimento automatico, è possibile che la frequenza di taglio del filtro passabasso sia inferiore rispetto alla banda della media (figura 7). Appunto questo è il vantaggio del circuito PLL, e si possono notare i miglioramenti rispetto ai convenzionali rivelatori FM, specie con l'incremento dell'indice di modulazione.

Nel ricevitore METEOSAT che stiamo descrivendo, come rivelatore PLL, s'impiega un circuito integrato MOS (I3). La frequenza del VCO può essere regolata, approssimativamente, tra 400 e 500 kHz tramite il potenziometro P1. Il filtro passabasso è collegato tra i reofori 2 e 9. L'uscita (terminale 10), è applicata, tramite un amplificatore-separatore all'indicatore della discriminazione. La regolazione dell'indice al centro della scala può essere ottenuta tramite il P2.

Parliamo ora dello S-Meter. Il campo generato dal METEOSAT ricade in una banda relativamente stretta, qual che sia l'antenna ed il convertitore. Per tale ragione, uno S-meter convenzionale, con una scala di 80 - 100 dB non può essere utilizzato. Le piccole differenze nell'indicazione, non sono infatti molto d'aiuto nel regolare le varie parti del sistema. Per tale ragione, nel nostro

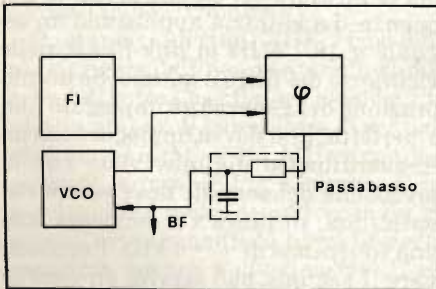


Fig. 6 - Rivelatore PLL/FM.

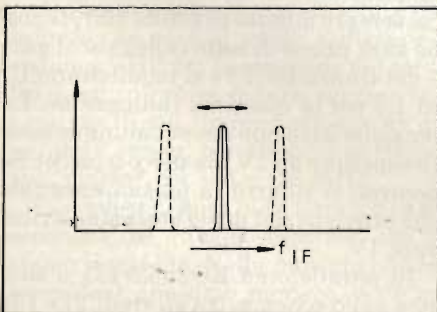


Fig. 7 - Banda del rumore = 2 x frequenza di taglio del filtro passabasso.

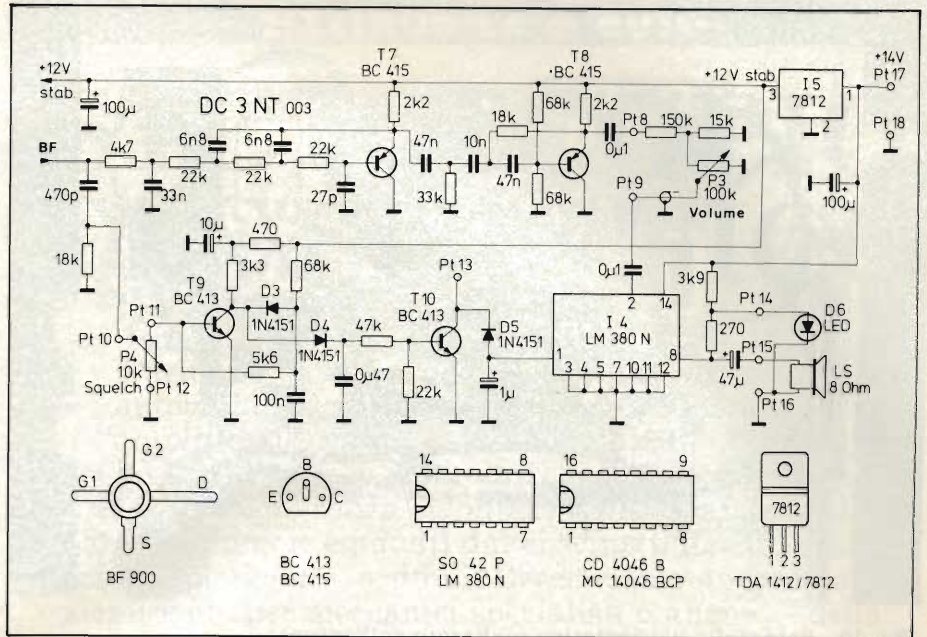


Fig. 8 - Modulo "bassa frequenza" del ricevitore VHF.

apparecchio si preferisce impiegare uno S-meter dalla scala lineare. Si prevedono due portate; se il segnale è fortemente preamplificato, lo strumento sarà connesso al Pt 4. Se invece il guadagno è più basso, ad esempio perché si utilizza un cavo molto lungo tra il convertitore ed il ricevitore VHF, lo S-Meter sarà connesso al Pt 5.

La figura 8 mostra lo schema elettrico del modulo BF. La parte più importante è il filtro a bassa frequenza, che è del tipo passabasso con una frequenza di taglio di 700 Hz e dal filtro passaalto

che ha una frequenza di taglio di circa 4 kHz. Il segnale APT è presente in forma di sottoportante a 2,4 kHz, con una massima deviazione in frequenza di 9 kHz. La deviazione in frequenza determina la gamma dei grigi. Il bianco corrisponde a 9 kHz ed il livello del nero è situato a circa 1,8 kHz di deviazione. Siccome la più elevata modulazione di frequenza è di 1680 Hz, è necessario che la banda a bassa frequenza compresa tra 720 Hz e 4080 Hz possa passare linearmente, dopo il rivelatore FM. La sottoportante a 2,4 kHz con le

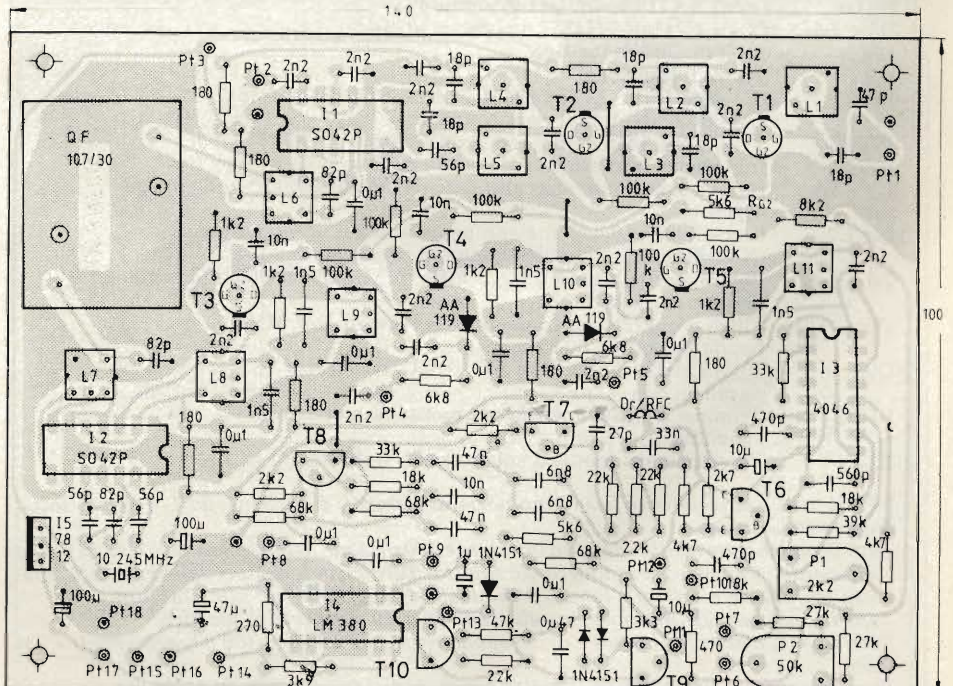


Fig. 9 - Piazzamento delle parti del ricevitore VHF sul circuito stampato previsto.

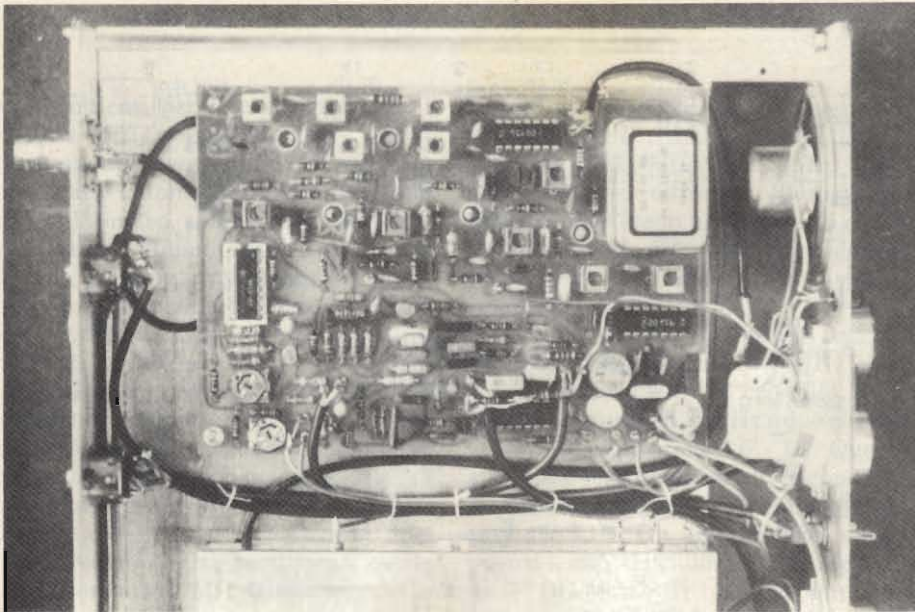


Fig. 10 - Fotografia del prototipo realizzato dall'autore.

proprie bande laterali è presente (con la tensione di circa 1V alla deviazione di 9 kHz) al terminale Pt 8, il quale è collegato al rivelatore AM che fa parte dell'elaboratore dei segnali video. La sezione ultima detta completa il ricevitore.

Un economico amplificatore integrato audio (I4), serve per il monitor del segnale di modulazione acustica del segnale all'ingresso. Virtualmente, non

s'impiegano componenti esterni. Per sopprimere il rumore quando il segnale non è presente (funzionamento di squelch), s'impiega un circuito noto da gran tempo (T9 e T10) che ha sempre dato ottimi risultati. Con questo, è possibile, ad esempio, commutare il sistema di elaborazione dei segnali video tramite la connessione Pt 13. Il LED D6 s'illumina brevemente, quando lo squelch è chiuso, ed emana la massima

luminosità solo quando è presente un segnale.

Parliamo ora della realizzazione pratica. Per il montaggio del ricevitore VHF si prevede una base stampata che sorregge tutte le parti che si vedono negli schemi di figura 4 ed 8. Le figure 9 e 10 mostrano appunto l'apparecchio assemblato su tale supporto.

La figura 10 è la fotografia del prototipo dell'apparecchio, in uso sin dal 1979 con ottima soddisfazione.

Per semplificare la realizzazione, è bene impiegare degli avvolgimenti preavvolti e preallineati: ne servono 11 in tutto. Le resistenze di smorzamento che si osservano nella figura 4, in parallelo ad L2 ed L4, dal valore di 2,7 k  $\Omega$ , vanno connesse sul lato-rame dello stampato, in corrispondenza dei terminali. Poichè il montaggio è molto compatto, per primi, si devono comunque collegare i tre ponticelli che si vedono nella figura 9, che in seguito potrebbero essere dimenticati, e in ogni caso in seguito risulterebbero dall'installazione piuttosto laboriosa. Per le parti, vale la solita procedura di iniziare dalle resistenze fisse e dai condensatori non polarizzati (quindi dai componenti più piccoli ed aderenti alla basetta) per poi procedere via via con tutti gli altri. Segue ora un elenco di tutte le parti necessarie: per lo I 3, è bene impiegare uno zoccolo.

Vediamo ora l'allineamento del ricevitore VHF. Conviene eseguire per prima la taratura del canale di media frequenza. La si inizia applicando un segnale a 10,7 MHz al link di L6, nelle vicinanze del filtro a quarzo. Se la calibrazione del generatore impiegato non è perfetta, lo si dovrà impiegare con un frequenzimetro digitale, visto che la precisione del segnale deve essere elevatissima, in pratica è ammessa solo una tolleranza di  $\pm 1$  kHz. Per osservare il segnale può servire un oscilloscopio munito di sonda 10:1. In alternativa, si possono anche eseguire delle misurazioni con un voltmetro elettronico, sempre munito di sonda 10:1. Il probe sarà prima di tutto collegato al gate 1 del transistor T3 e si regoleranno L7 ed L8 per la massima indicazione. La tensione letta non deve comunque essere superiore ad 1V (da picco a picco). Se occorre, si ridurrà la tensione-segnale che proviene dal generatore sino a ricavarne 1V.

In parallelo ad RG2 (5,6 k $\Omega$ , a sinistra nello schema, tra gli stadi T1 e T3), si conatterà temporaneamente un potenziometro da 5000  $\Omega$ . In tal modo si

#### ELENCO DEI COMPONENTI

T1 ÷ T5	: BF 900 (Texas Instruments).
T6 ÷ T8	: BC415, BC308 o transistori analoghi audio PNP.
T9-T10	: BC413, BC238 o transistori analoghi audio NPN.
D1-D2	: Diodi AA119 o similari al germanio.
D3 ÷ D5	: Diodi 1N4148, 1N4151 o similari al silicio.
D6	: LED di qualunque tipo.
I1-I2	: SO 42 P (Siemens).
I3	: CD 4046 B (RCA) oppure MC 14046 BCP (Motorola).
I4	: LM 380 N (National Semiconductor).
I5	: 7812, TDA 1412 o analogo stabilizzatore a 12V.
RFC	: Impedenze miniatura, valore non critico.
L1 ÷ L5	: Bobine schermate e preallineate (NEOSID 005118, indicazione argento).
L6, L7	: Come le precedenti, ma con presa e link d'accoppiamento (NEOSID 005138, indicazione blu, rossa, bianca).
L8 ÷ L11	: Bobine per la banda 0,1 ÷ 3 MHz (NEOSID 005960, indicazione nero, rosso, rosso).
Filtro	: Filtro a quarzo con frequenza centrale di 10,7 MHz, banda passante: 30 kHz.
Quarzo	: 10,245 MHz, contenitore HC - 18/U, risonanza parallela con 30 pF.
P1-P2	: Trimmer potenziometrici per montaggio orizzontale, spaziatura 10/5 mm.
P3-P4	: Potenziometri montati sul pannello frontale.

NOTE : tutte le resistenze fisse sono normali elementi a carbone, da 1/4 W, 5% salvo diversa indicazione.

Tutti i condensatori dalla capacità inferiore a 100 pF sono del tipo ceramico con un basso coefficiente termico, ed una tolleranza ridotta. Tutti i condensatori dalla capacità compresa tra 470 pF e 1500 pF sono a film plastico (Styroflex), ad alta stabilità.

Tutti i condensatori interposti tra gli stadi T6 e T9 sono a film plastico.

Tutti i condensatori di bypass e di accoppiamento, da 2,2 nF a 100 nF, sono ceramici a disco.

I condensatori al Tantalio sono del tipo a goccia: ne servono, uno da 1  $\mu$ F e due da 10  $\mu$ F.

I condensatori elettrolitici sono per montaggio verticale, ne servono, uno da 47  $\mu$ F e due da 100  $\mu$ F. La tensione di lavoro per tutti è 16V.

# STETOSCOPIO ELETTRONICO

di S. Sironi

Parliamo di stetoscopio elettronico per motori automobilistici. In questo campo gli stetoscopi "amplificati", vanno rapidamente diffondendosi, perchè consentono di formulare facilmente la diagnosi di un guasto, senza smontare nulla, sentendo ad esempio i rumori emanati dai cuscinetti guasti, o dalle punterie sregolate, o simili. Descriviamo appunto uno stetoscopio per meccanici specialisti o anche... "della domenica"!

potrà variare il guadagno dei cinque stadi che impiegano i MOSFET. Il probe sarà ora collegato al gate 1 del T4 e si regolerà la L9 per il massimo segnale letto. Se il valore del segnale supera i 3V (da picco a picco), è necessario ridurre il guadagno tramite il potenziometro "provvisorio".

Ora si regoleranno gli avvolgimenti L10 (con il probe connesso al gate 1 del T5), ed L11 (con il probe connesso al terminale 14 dello I 3). Anche questi saranno regolati per le massime letture. Il circuito funziona con una banda piuttosto larga, quindi eseguendo la taratura si deve cercar di ottenere una curva dalla sommità appiattita. Logicamente, in questo senso, il migliore allineamento può essere ottenuto impiegando uno sweep.

L'accoppiamento all'uscita, se si usa uno sweep, sarà eseguito tramite una resistenza da 1 k  $\Omega$  e si curerà il ricavo di una curva "appiattita" come detto.

Di seguito, comunque, si deve tarare il rivelatore PLL. Per effettuare il lavoro, serve un segnale del valore esatto di 10,7 MHz e si collegherà un voltmetro c.c. ad alta impedenza al terminale 2 dello I 3. la frequenza del VCO potrà così essere allineata per mezzo del P1 rendendola eguale a quella del generatore. Non appena le due frequenze coincidono, al terminale 2 apparirà una tensione che vale metà dell'alimentazione, come dire 6V. Per finire, la lettura dello strumento del discriminatore sarà regolata in modo tale da portare al centro l'indice, tramite P2.

Passando agli stadi VHF, è possibile raggiungere l'allineamento collegando prima di tutto l'oscillatore locale a Pt2 ed alla massa. Il generatore di segnali sarà sintonizzato a 137 MHz e connesso tra il terminale Pt1 e la massa. La regolazione è molto semplice; basta tarare gli avvolgimenti da L1 ad L6 per la massima lettura nello S-meter. L'aggiustamento sarà eseguito con più operazioni successive, se occorre alternative, e con tutta la pazienza necessaria.

A questo punto, la regolazione è terminata; se però si vuole utilizzare il sistema VHF per la ricezione dei satelliti posti in orbita polare, servirà una taratura in più, da condurre con un generatore sweep, per ottenere un responso "piatto" tra 136 e 138 MHz.

Con quest'ultima nota termina la descrizione del "nucleo centrale" del sistema ricevente. Nella puntata che apparirà sul prossimo numero. vedremo l'oscillatore UHF, e l'altro oscillatore VXO-VHF.

**I**l rumore è composto da vibrazioni meccaniche che si propagano in un mezzo, che può essere l'aria, l'acqua, i metalli eccetera.

Il complesso rumore di un motore comprende le vibrazioni generate dai vari organi in movimento, che hanno qualità acustiche diverse, con percussioni, rotolamento, strofinio ecc. In pratica, molteplici e diversi fragori, sibili, rombi ecc, sono trasmessi dai pistoni, dalle bronzine, dai cuscinetti, dalle punterie, dall'albero motore, ecc, all'intero blocco, ed è appunto sul monoblocco che possono essere rilevati, se

s'impiega una sorta di pick-up, costituito da un microfono ad asticella, per esempio piezoceramico, che abbia i fori di passaggio dell'aria otturati ad evitare che olio e sporcizia possano penetrare nella capsula, ed un'astina solidale che riprende le vibrazioni.

A fini diagnostici, l'involuppo del rumore può essere filtrato, ed in tal modo si otterrà il passaggio solo di una certa banda di frequenza (per esempio un rombo cupo, un ticchettio, o un sibilo da attrito nel rotolamento). Se la banda passante che risulta dal filtro è amplificata, e se si effettua l'ascolto tramite

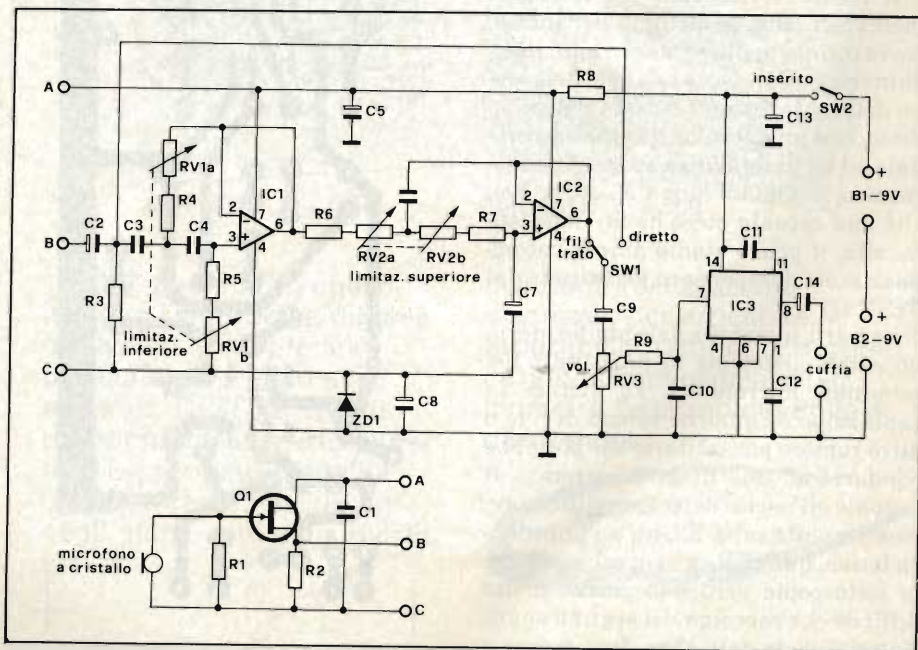


Fig. 1 - Schema elettrico dello stetoscopio.

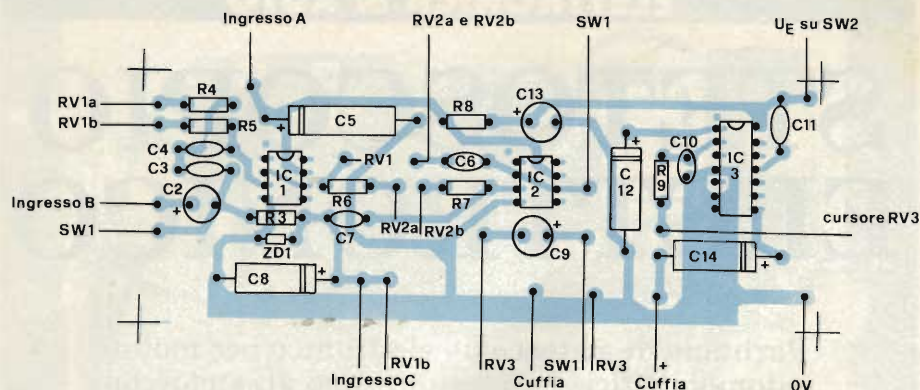


Fig. 2 - Disposizione dei componenti sulla basetta stampata. È da notare che, come è detto nel testo, Q, R1, R2 e C1 saranno cablati direttamente sulla capsula microfonica X1.

una cuffia che isoli dagli altri rumori dell'ambiente, in tal modo si può ricavare una sensibilità tale da sentire, per esempio, il fruscio prodotto dai perni che ruotano nei rubini di un orologio meccanico, e, naturalmente, ogni vibrazione di un motore. Se si sposta l'astina pick-up lungo il monoblocco, è facile localizzare la sorgente di un particolare suono anomalo, considerando che in prossimità della sorgente, tale suono è assai più forte.

In pratica, quindi senza smontare nulla, il meccanico può individuare l'origine di un guasto e indicarla al cliente (che certo sarà soddisfatto di una diagnosi tanto immediata) o risparmiare tempo evitando lavori inutili.

### Schema elettrico

Il nostro stetoscopio per impieghi meccanici (che, lo diciamo per inciso, trova ottima applicazione in ogni macchinario complesso, e non solo nel campo delle autovetture) utilizza il pick-up detto, cioè un microfono a cristallo solido ad un'astina (genere ago da materasso, o simile), lunga e sottile. Poiché una capsula piezo ha un'impedenza alta, il primo stadio amplificatore-adattatore d'impedenza è costituito dal FET "Q1".

Le parti inerenti a tale stadio, devono essere sistemate in prossimità dei terminali microfonici, ad evitare la captazione di qualche ronzio di rete o altro rumore parassitario che potrebbe condurre ad una diagnosi erronea. Il segnale all'uscita del preamplificatore, cioè presente sulla R2, ha un'impedenza bassa, quindi il cavo di raccordo con lo stetoscopio vero e proprio è molto difficile che raccolga dei segnali spuri. Come si vede, tale cavo deve essere a tre capi, corrispondenti ad A (alimen-

tazione), B (segnale audio), C (massa generale). Il capo C può essere rappresentato da una calza schermante.

L'audio generato dai rumori meccanici, attraverso due filtri che servono

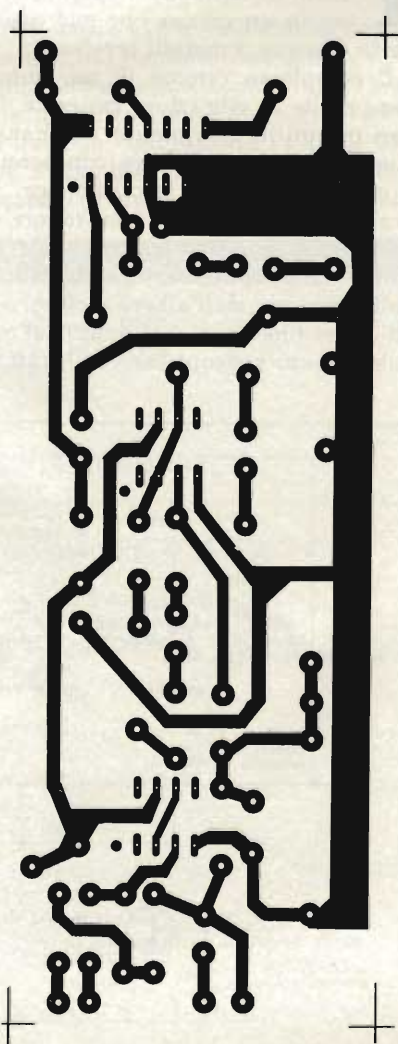


Fig. 3 - Lato-rame della basetta.

### ELENCO COMPONENTI

#### Resistenze

R1	= 10 MΩ
R2-R4	
R5-R6-R7	= 4,7 kΩ
R3-R9	= 10 kΩ
R8	= 470 Ω

#### Potenziometri

RV1 a,b	= 200 kΩ dual log.
RV2 a,b	= 100 kΩ dual log.
RV3	= 10 kΩ log.

#### Condensatori

C1	= 47 nF a film plastico
C2-C9	= 10 μF 63 V elettrolitico
C3-C4	= 10 nF polistirolo
C5	= 470 μF 25 V elettrolitico
C6-C7	= 1,5 nF a film plastico
C8-C13	= 100 μF 25 V elettrolitico
C10	= 100 pF ceramico
C11	= 100 nF MKH
C12	= 47 μF 25 V elettrolitico
C14	= 220 μF 25 V elettrolitico

#### Semiconduttori

IC1-IC2	= 741
IC3	= LM380
Q1	= 2N3819 FET

#### Varie

SW1-SW2	= Interruttore miniatura
SK1	= Presa DIN 3 pol.
SK2	= Presa 3,5 mm

per la selezione predetta. Vi è un pass-alto, costituito dall'amplificatore operazionale IC1, da RV1a, RV1b e parti complementari, nonché un passabasso che impiega IC2, RV2a, RV2b ed annessi. Il deviatore SW1, consente di effettuare l'ascolto filtrato o non filtrato per paragoni che si rendano necessari. Sia IC1 che IC2 costituiscono dei filtri a frequenza variabile del secondo ordine. I segnali che possono attraversare il passa-alto, tramite la regolazione del doppio controllo, saranno compresi nella banda che supera le frequenze di 80 Hz e 3 kHz (campo di azione del filtro).

Il passabasso attenua tutti i segnali al di sopra della sua frequenza-limite, che tramite RV2a-b, può essere stabilita tra 700 Hz e 15.000 Hz.

Con l'impiego alternativo dei due filtri, si può restringere la banda passante sino ad isolare in pratica il solo rumore che interessa.

Il vero amplificatore del complesso, è l'IC3, un comune LM 380 che ha il pregio di necessitare di poche parti esterne. RV3 serve come controllo di volume, C11 aggiusta il responso e C14 porta i segnali alla cuffia, che deve essere

a bassa impedenza, 8  $\Omega$  o simili.

Per l'alimentazione del complesso si impiegano due pile da 9V poste in serie. La tensione parzializzata per gli amplificatori operazionali IC1 ed IC2 si ottiene tramite ZD1 e C8.

### Il montaggio

Come abbiamo premesso, lo stetoscopio sarà diviso in due parti; il sistema pick-up ed il resto della circuiteria (ospitata sulla basetta di figura 2). Il pick-up sarà realizzato unendo meccanicamente un grosso ago da sellaio, materassaio o simili alla capsula piezo prevista, e collegando direttamente R1 ai reofori della capsula. Anche la base del Q1 andrà direttamente al "capo caldo" della capsula, ed R2 e C1 saranno sistemati nei pressi. In pratica, tutto lo stadio relativo al Q1 può impiegare come sostegno una piccola basetta portacapicorda.

Il sistema pick-up preamplificatore-adattatore, sarà racchiuso in una scatola metallica, dalla quale spognerà l'ago di ricerca.

Per il cavo di raccordo abbiamo già detto: un bipolare munito di calza schermante, e di due spinotti DIN, rappresenta la soluzione più valida. Tutto il resto dello stetoscopio, può essere normalmente assemblato sulla basetta che si vede nella figura 2, e non servono particolari suggerimenti.

Il complesso filtro-amplificatore di potenza dello stetoscopio, con le pile ed i controlli, può essere ospitato in un'altro contenitore metallico che normalmente, sarà conservato in una tasca della tuta. Per la connessione della cuffia conviene impiegare un jack standard.

### Il collaudo

Dopo aver riscontrato tutte le parti per vedere se le polarità, i valori e gli orientamenti sono esatti, si controlleranno anche le connessioni al pick-up ed ai regolatori. Se tutto va bene, lo stetoscopio potrà essere collaudato. Per una semplice prova funzionale, basta una radiolina: portando l'ago a contatto con il mobile, e sintonizzando una stazione che trasmetta musica, si verificherà il campo d'azione dei filtri. In seguito per valutare la sensibilità, può servire una sveglia meccanica. Il tic-tac del bilanciere deve essere avvertito molto forte, e dall'esterno deve essere possibile localizzare la posizione del medesimo.

# "DIGIT 1 + DIGIT 2" ... per comprendere l'elettronica digitale.

"DIGIT 1" è il libro che consente l'apprendimento passo-passo dei concetti di elettronica digitale grazie ad un originale metodo didattico basato sull'utilizzo di un'apposita e particolare basetta stampata fornibile a richiesta.

I circuiti sono oltre 50, tutti molto interessanti, che spaziano dal frequenzimetro al generatore di onde sinusoidali-triangolari-rettangolari, fino all'impianto semaforico o alla pistola luminosa.

Una serie di pratiche e



Cod. 2000 L. 7.000



Cod. 6011 L. 6.000

"DIGIT 2" è il libro che insegna l'elettronica digitale attraverso un approccio prettamente pratico alla materia. "DIGIT 2" infatti propone la realizzazione dei migliori progetti digitali a circuiti integrati sviluppati negli ultimi anni dalla rivista Elektor.

divertenti realizzazioni, insomma, per arricchire il proprio laboratorio, la propria casa o, semplicemente per imparare l'elettronica digitale divertendosi.

**SCONTO 10%**  
agli abbonati

Per ordinare questi volumi utilizzare l'apposito tagliando inserito in fondo alla rivista.

# SINTONIA ELETTRONICA AM/FM 8 + 8 CANALI

di Filippo Pipitone - prima parte

Nei sistemi autoradio, è assai comodo disporre della sintonia a memoria; in tal modo non si brancola più alla ricerca di una manopola, e non la si ruota, più o meno finemente, alla ricerca di una stazione che magari "fluttua" impegnando la mano destra del guidatore per un tempo troppo lungo.

Riportiamo un sistema automatico di accordo che è molto progredito visto che fa largo uso di recentissimi IC. Chi lo vorrà adottare, contribuirà alla sicurezza della guida (a parte l'agio) il che ci sembra molto importante.

**I**l sistema di sintonia elettronica che descriviamo, è molto avanzato, e del tutto affidabile. È previsto per l'utilizzo negli apparecchi autoradio, ma può completare un qualsiasi tuner compreso in un riproduttore HI-FI, con il vantaggio di "centrare" subito il programma che interessa, senza tante manovre di ricerca con la manopola di sintonia.

Nelle autoradio contribuisce alla sicurezza della guida; infatti, come ogni testo automobilistico sottolinea, le mani devono essere tenute sul volante con la posizione "ore dieci e dieci", e branciando a tastoni alla ricerca di una manopola, evidentemente, lo sterzo è controllato dalla sola presa della mano sinistra, che non è sufficiente se interviene una qualunque situazione di pericolo.

Con il nostro automatismo, per la ricerca di una stazione, basta il tempo che serve per cambiare velocemente marcia, quindi si ha proprio un controllo "a misura di guida".

Il sistema di sintonia elettronica, è già alquanto sofisticato; permette di memorizzare e richiamare ben otto canali (stazioni) nella banda della modulazione d'ampiezza, ed altri otto in quella FM.

Sedici possibilità di programmazione, sono veramente tutto ciò che serve, nel comune, ed oltre.

A parte ogni questione pratica di utilità, crediamo che un esercizio di controllo elettronico così progredito, possa servire come ispirazione per chi s'interessa del progetto di sistemi riceventi per avionica, per stazioni VHF in genere, e di ricevitori professionali dal vario utilizzo. Mutando l'impiego, è ovvio, certi settori circuitali dovranno essere rivisti, ma il principio rimane valido.

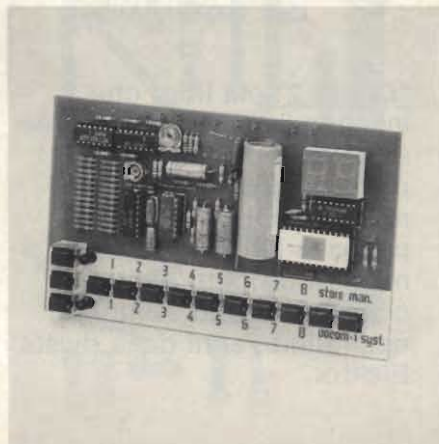


Foto della sintonia elettronica AM/FM 8 + 8 canali a realizzazione ultimata.

La base del sistema è costituita dal circuito integrato SAA 1089.

Tale nucleo funziona combinato con un convertitore analogico-digitale (DAC) ed un comparatore.

La figura 1 riporta lo schema di principio della nostra sintonia elettronica. Come si vede, premendo uno dei tasti di richiamo compresi nel "Control Panel", lo Scanner (ricercatore) inizia ad esplorare gli ingressi. Ciascuno di questi, ha un codice specifico che è memorizzato nello "Scanner Latch" (Memoria di scansione).

Il "decoder delle funzioni" converte il codice in un indirizzo di memoria nella RAM prevista. Ad ogni indirizzo di memoria corrisponde una stazione selezionabile. Al tempo stesso, il decoder fornisce un comando che attiva l'oscillatore.

Se l'informazione di preset deve essere memorizzata, in altre parole, se si vuol caricare nella memoria un'indicazione relativa ad una emittente, è necessario premere sia il tasto del canale che quello di "Store" (accumolo).

Il decoder che predispone il tipo di lavoro, è quindi previsto per:

- A) Generare un indirizzo di "RAM".
  - B) Mettere in funzione l'oscillatore.
- L'ultimo detto, l'oscillatore, funzio-

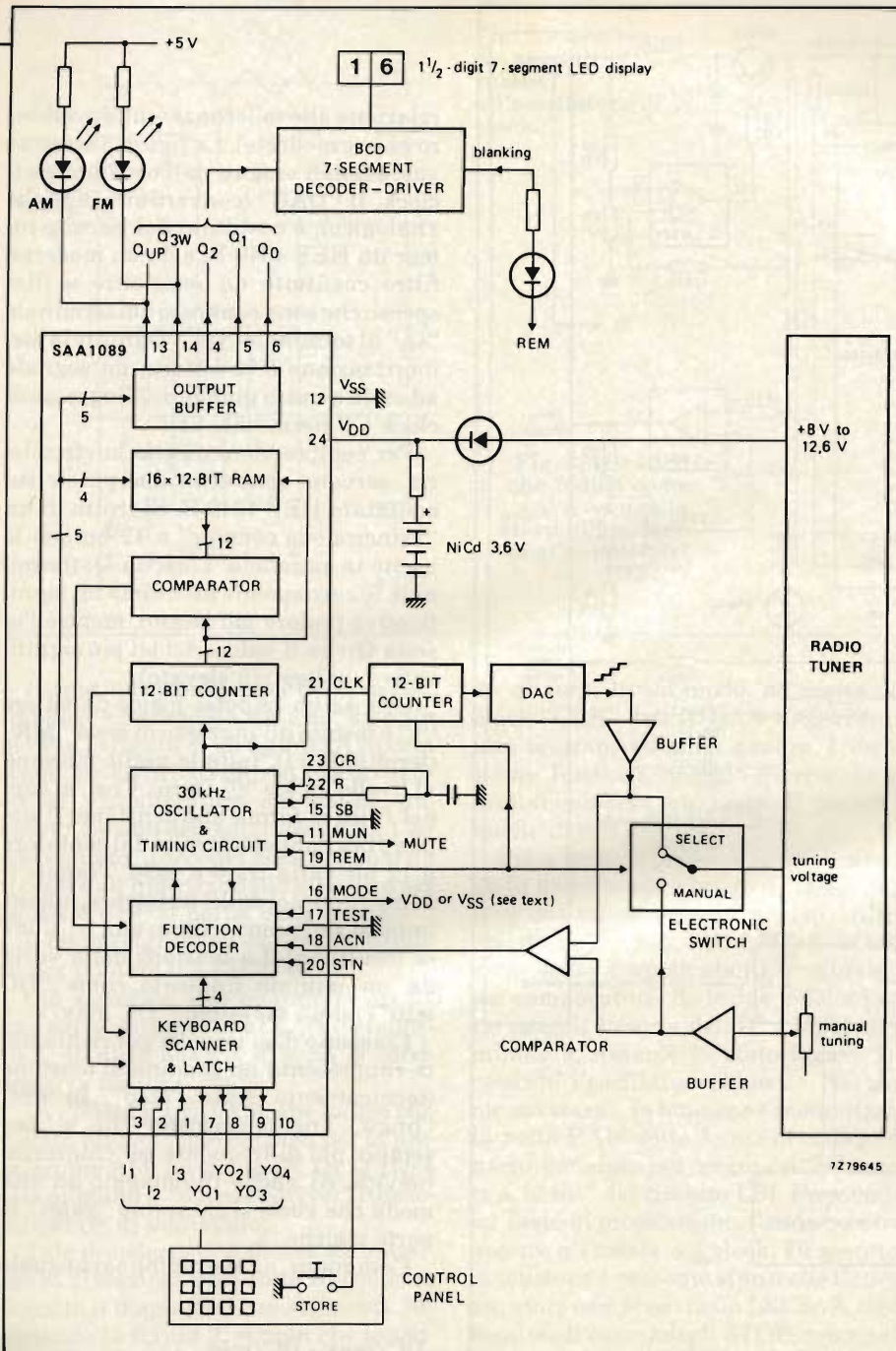


Fig. 1 - Schema a blocchi del sistema di sintonia elettronica AM/FM

na sino a che non riceve un comando di stop. Tale comando, è applicato al "decoder delle funzioni" (ACN), ed è ricavato dal comparatore.

All'esterno del circuito LSI, gl'impulsi forniti dall'oscillatore sono convertiti in una tensione di comando utile per i varicap che stabiliscono l'accordo. Va detto inoltre, che gl'impulsi sono valutati da un contatore a 12 bit sempre compreso nel circuito LSI. Quando dall'esterno giunge un comando di stop, che equivale ad una stazione sintonizzata, l'oscillatore è bloccato. Il codice

binario presente nel contatore a 12 bit, del circuito LSI, è allora introdotto nella RAM, più precisamente, nell'indirizzo indicato dal "decoder delle funzioni".

In pratica, ciascuna emittente ha la propria informazione in codice binario che la contraddistingue. Per richiamarne una, già memorizzata, si esegue la procedura che ora dettagliamo:

- 1) Lo "Scanner" determina il codice relativo alla preselezione.
- 2) Il "Decoder delle funzioni" codifica l'indirizzo di memoria nella

RAM; il numero binario equivalente a tale indirizzo è trasferito al comparatore.

- 3) Il comando di preset, attiva anche l'oscillatore (che funziona a 30 kHz).
- 4) Il contatore a 12 bit che è compreso nell'IC LSI, valuta il numero degli impulsi.
- 5) Il codice binario fornito dal predetto contatore a 12 bit è continuamente comparato con quello posto in memoria (tecnicamente: STORED) nel comparatore ed ottenuto dalla RAM. Se i due codici sono eguali, il comparatore del circuito LSI fornisce il comando di "stop" all'oscillatore tramite il blocco "Decoder delle funzioni".

- 6) In tal modo, l'emittente in precedenza memorizzata tramite la tastiera, a questo punto è scelta perchè il contatore esterno è nella giusta posizione; l'indirizzo di memoria codificato dal "decoder delle funzioni" è anche utilizzato in alternativa, a questo punto, per la lettura del numero del tasto che è stato premuto.

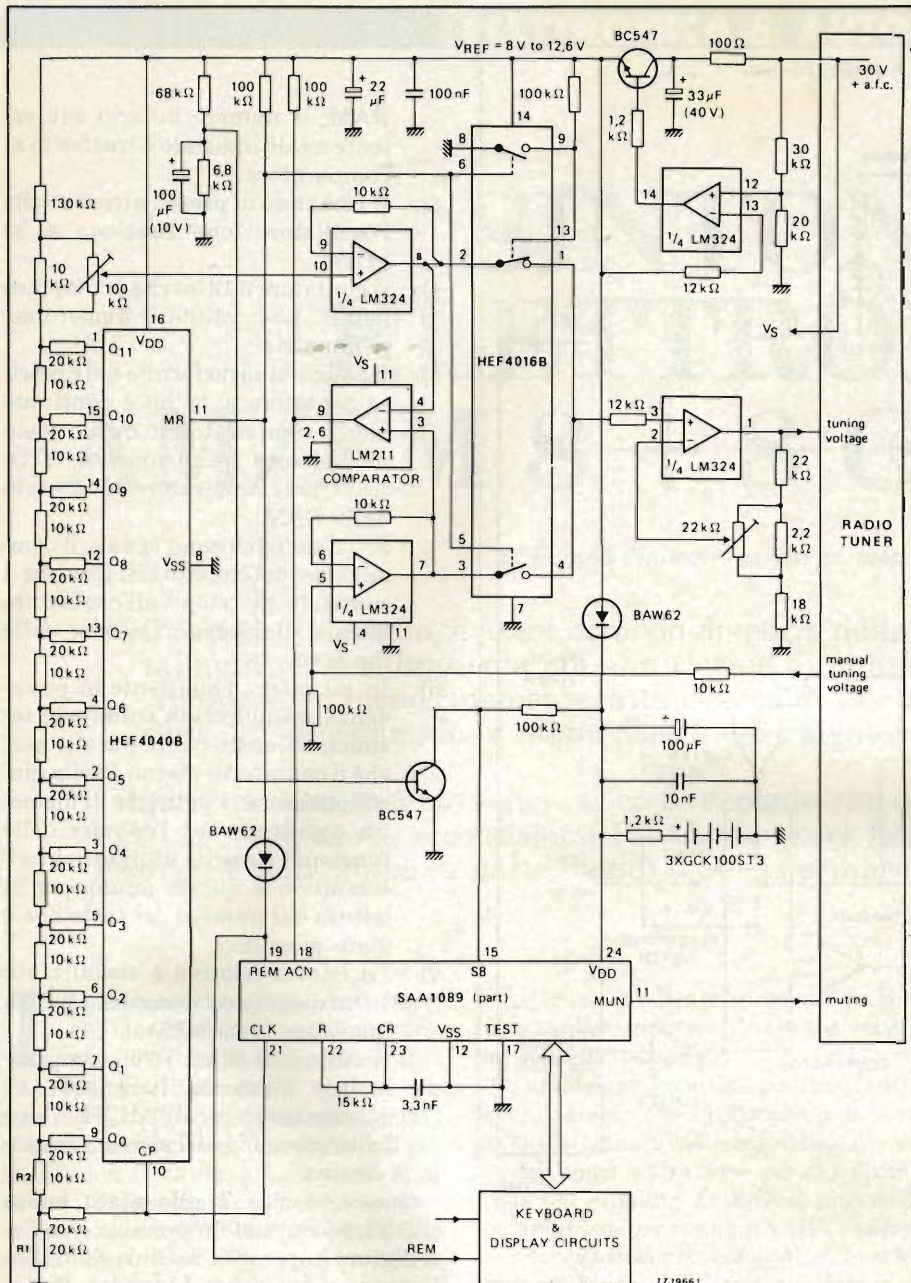
- 7) La lettura relativa è visualizzata su un display ad una cifra e mezza (massima lettura 19).

Il circuito LSI (SAA 1089) comprende inoltre un'uscita, terminale 11 (MUN) che serve per il "MUTE", cioè per il silenziamento del sistema durante la ricerca.

Questa uscita è allo stato basso (LOW), se un tasto è premuto e se l'oscillatore è operante, mentre si effettua la memorizzazione e la lettura. In tal modo, si previene un aumento o una diminuzione della tensione di sintonia, che produrrebbe sgradevoli effetti acustici.

Le figure 2 e 2A illustrano lo schema elettrico completo della sintonia elettronica che esponiamo. Nulla di nuovo, l'abbiamo già detto in precedenza, il nucleo centrale di tutto il sistema è l'IC integrato a larga scala SAA 1089 della Philips, un prodotto molto recente che abbiamo ottenuto per le valutazioni, e per lo studio delle applicazioni pratiche.

L'oscillatore interno, ha la propria frequenza determinata dalla resistenza da 15 k  $\Omega$ , e dal condensatore da 3300 pF (3,3 nF) che si scorgono collegati ai terminali 12, 22, 23 dell'IC. Tramite i componenti esterni detti, la frequenza di lavoro è fissata a circa 32 kHz, in



relazione alle tolleranze (che dovrebbero essere modeste). La figura 3 mostra i vari segnali erogati dall'oscillatore e il clock. Il "DAC" (convertitore digitale-analogico), è costituito dal circuito integrato HEF 4040 B, e da un moderno filtro costituito da resistenze a film spesso che sono connesse dal terminale "Q<sub>0</sub>" al terminale "Q<sub>11</sub>". Durante la memorizzazione o la lettura, un segnale ad onda quadra giunge dall'ingresso di clock CP (terminale 21).

Per comprendere meglio la circuiteria, servono senz'altro due parole sul contatore HEF 4040 B. Si tratta di un "asynchronous counter" a 12 bit con le uscite in parallelo. L'uscita Q<sub>0</sub> (terminale 9) corrisponde all'ultimo bit significativo (valore più basso), mentre l'uscita Q<sub>11</sub> ha il valore del bit più significativo (valore più elevato).

Ora, se un impulso logico da valore "1" è fornito all'ingresso di reset "MR" (terminale 11), tutte le uscite passano al livello logico "0" (zero). Così, ai capi del filtro si forma una tensione. Il numero degli impulsi fornito dal contatore a 12 bit varia tra 0 e 4096. Tramite il filtro formato dalle resistenze, questi impulsi sono convertiti in una tensione cc (continua). La tensione detta varia da un minimo (indicato come "DC min") ad un massimo ("DC max").

Ciascuno degli impulsi già richiamati, rappresenta un gradino di tensione (tecnicamente detto "step", in quel "lingo" angloamericano che si usa sempre più di frequente per chiarezza, brevità, ed anche in omaggio ad una moda che vuole si chiamino "gates" le porte logiche...).

Comunque, ogni gradino sarà eguale a:

$$\frac{DC/\max - DC/\min}{4096} = "X" \text{ Volt.}$$

Per aumentare la linearità della regolazione, il numero totale degli impulsi è raddoppiato (come dire, 4094 + 4094 = 8192). La duplicazione del numero degli impulsi è ottenuta tramite R1 ed R2.

Ciò, in quanto la frequenza sul CP è doppia rispetto all'uscita "Q<sub>0</sub>".

Fig. 2 -

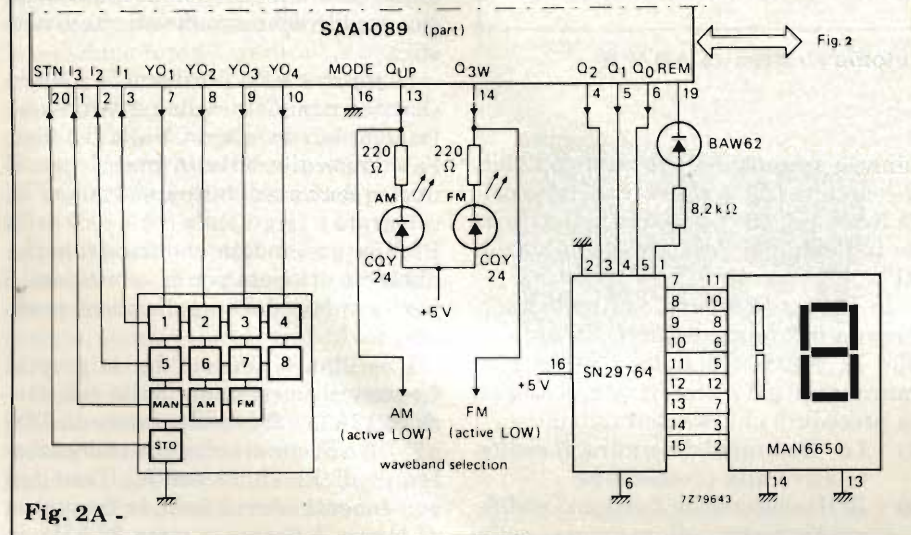


Fig. 2A -

Fig. 2 - Circuito elettrico del nucleo principale della sintonia; nello schema non appaiono la tastiera ed il display

Fig. 2A - Circuito elettrico dei settori tastiera e display.



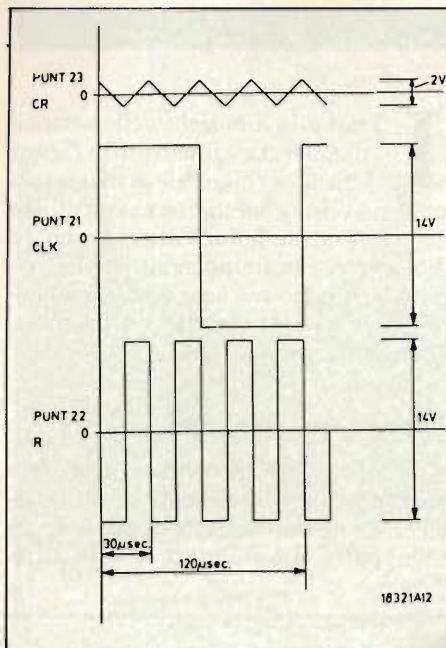


Fig. 3 - Grafico dei segnali relativi all'oscillatore di clock.

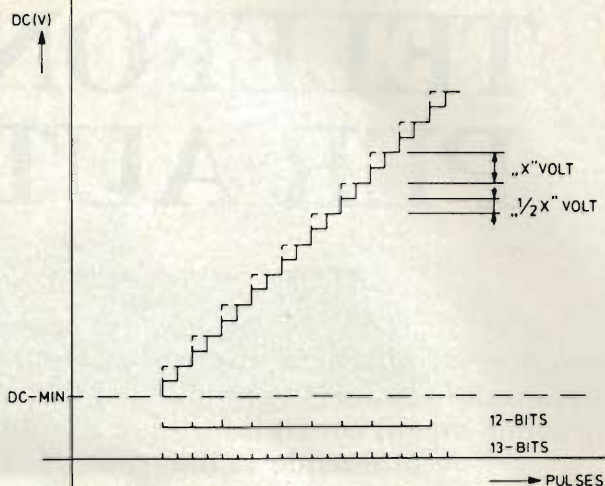


Fig. 4 - Grafico che indica come avvenga la duplicazione degli impulsi nel "DAC".

Il gradino di tensione cc per ciascuno impulso, è ora eguale a 1/2 di "X" Volt: si veda la figura 4. La figura 2A riporta il circuito elettrico relativo alla tastiera ed al visualizzatore dei canali (display). Se uno dei tasti indicati da 1 ad 8 è premuto, il decoder delle funzioni da il codice all'indirizzo della memoria per la RAM e per il buffer delle uscite.

Il bit più significativo,  $Q_{3W}$ , è utilizzato per pilotare il LED "FM".

Ciò significa, che quando si preme uno dei tasti che vanno da quello numero 1, all'altro numero 8, si ha la corrispettiva indicazione.

$Q_{UP}$  pilota il LED AM, che indica che è stato premuto uno dei tasti per la preselezione AM. Le uscite  $Q_0$ ,  $Q_1$ ,  $Q_2$ ,  $Q_3$  e  $Q_{3W}$  pilotano il "decoder-driver" o decodificatore di pilotaggio.

Tale decoder può indicare un massimo di 2<sup>4</sup> stazioni, come dire 16, indicate tramite il display a sette segmenti. Rivedendo la figura 2, si nota che la tensione applicata all'ingresso (manual tuning voltage) dello LM324, tramite il resistore da 10 k $\Omega$ , sarà memorizzata in forma di dato di preselezione. La tensione *tuning manuale* è determinata, ovviamente, dal potenziometro di sintonia.

Un'alternativa del genere, all'automatismo, non poteva mancare!

La tensione ultima detta, tramite l'IC LM324 è applicata al terminale 3 dell'altro IC LM211, impiegato come comparatore. L'uscita di questo stadio ha il livello logico "0" oppure "1" in relazione alle tensioni d'ingresso (uguali o differenziali).

Se l'uscita è "0", il "decoder delle funzioni" fornirà all'oscillatore il coman-

do di stop. In tal modo, all'uscita del clock "CLK" dell'IC SAA 1089 vi sarà una tensione ad onda quadra. L'oscillatore funziona quando è premuto simultaneamente un tasto di preset e quello di STORE.

Più a lungo è presente la tensione ad onda quadra, più a lungo il "DAC" fornirà una tensione cc attraverso il filtro resistivo. Tramite l'IC LM324, la tensione detta è applicata al terminale 3 del comparatore. Se le due tensioni sono eguali, l'uscita dell'IC LM211, terminale 9, assume lo stato logico "0" cosicché l'oscillatore si blocca. Nel momento stesso, la tensione è memorizzata nella RAM sotto forma di codice binario, generato per mezzo del "contatore a 12 bit" del circuito LSI. Premendo un tasto di preselezione, l'onda quadra appare all'uscita del clock. Di seguito, la tensione è presente sino a che il comparatore compreso nello LSI SAA 1089 fornisce il comando di STOP, come nelle precedenti fasi del lavoro. Durante il periodo indicato il "DAC" fornisce una tensione cc che ha un valore eguale a quello precedentemente memorizzato.

La tensione, tramite l'LM324, è applicata all'HEF 4016B, e dopo il relativo controllo, tramite l'IC LM 324 può pilotare i diodi varicap che regolano la sintonia del Tuner (o del "front end" nel caso di un autoradio, come dire degli stadi d'ingresso).

Il triplo commutatore elettronico HEF 4016 B, è controllato, per il funzionamento, dall'uscita "REM" dell'IC SAA 1089. Durante la preselezione, questa uscita è al valore logico basso, o "zero".

Nella regolazione manuale, l'uscita

ha il valore logico alto.

Concluderemo con la verifica di quest'ultima funzione: durante il "preset", il commutatore collega i punti 3 e 4 tramite il livello logico alto "1" presentato all'ingresso 5. Il commutatore presente tra i terminali 1 e 2 rimane però aperto, poiché l'ingresso 13 è allo stato logico basso. In tal modo, la tensione di sintonia manuale è bloccata.

Passando al funzionamento manuale, si ha tutto l'inverso e la visualizzazione sarà bloccata (display spento).

Non appena l'uscita "REM" dell'IC LSI SAA 1089, diviene "1", come dire che assume il livello logico elevato, il corrispettivo terminale del decoder driver sarà anch'esso portato al livello "1". Come risultato, tutte le uscite del decoder-driver andranno al livello logico "0". Con ciò, termina la spiegazione della logica del complesso.

Nel prossimo numero, tratteremo alcuni appunti di montaggio.

leggete  
**MILLECANALI**  
l'unica rivista  
italiana di  
**Broadcasting**

# TELEFONO PER AUTO

di Filippo Pipitone - parte II

Riprendiamo il discorso interrotto nel numero di maggio presentando la sezione mobile del telefono per auto e fornendo alcuni consigli utili per montare le antenne ottenendo la massima resa.

Il circuito a blocchi della sezione considerata è illustrato in figura 1. Si noti come tale schema presenti una certa somiglianza con quello della base fissa pubblicata nel numero di maggio. Passiamo subito ad esaminare il circuito nei suoi dettagli tenendo sott'occhio il circuito elettrico disegnato in figura 2.

## Sezione alimentatrice

L'energia elettrica necessaria al funzionamento dell'unità mobile viene assicurata da una batteria di pile interna all'apparecchio erogante 12V. In alter-

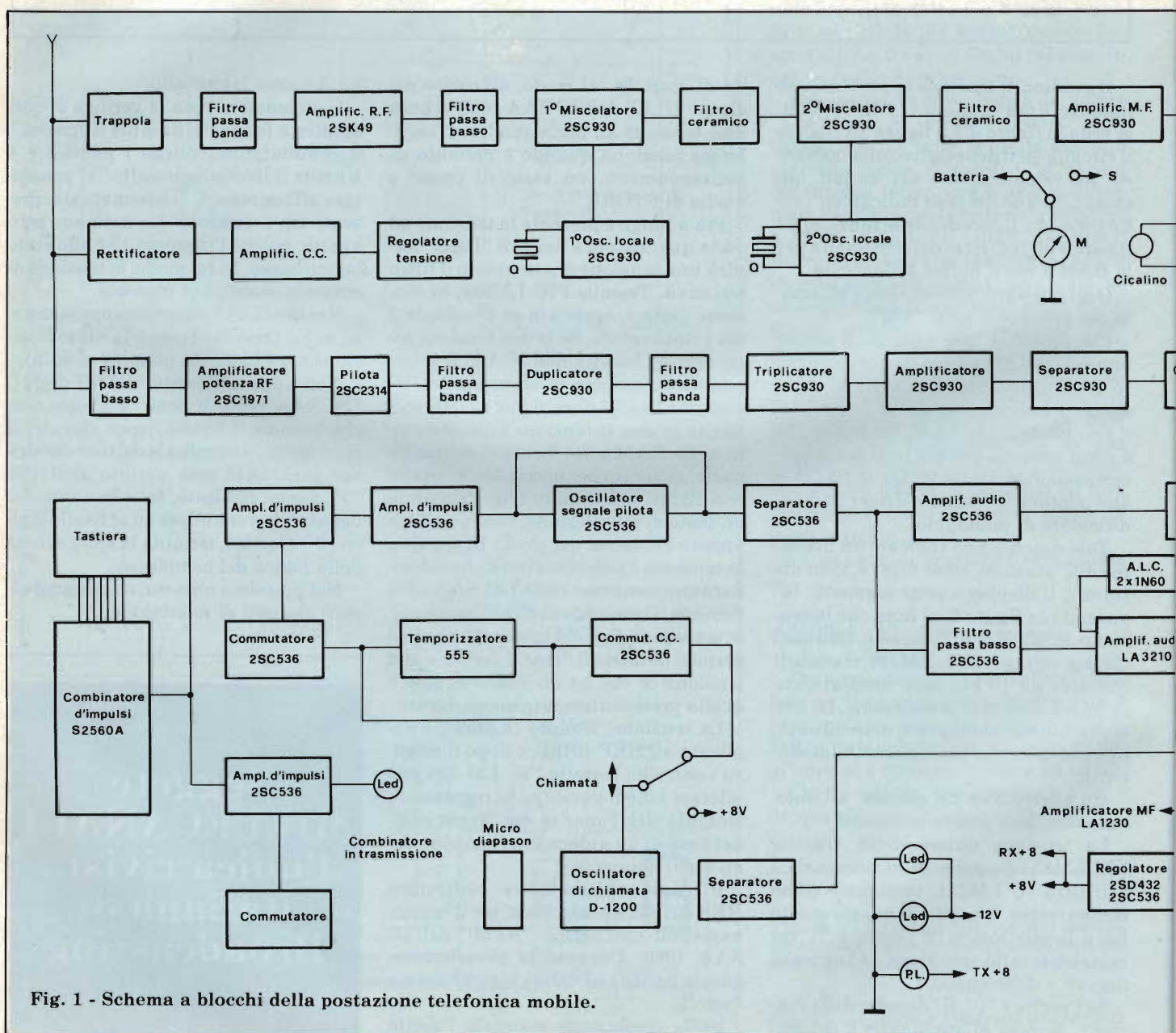
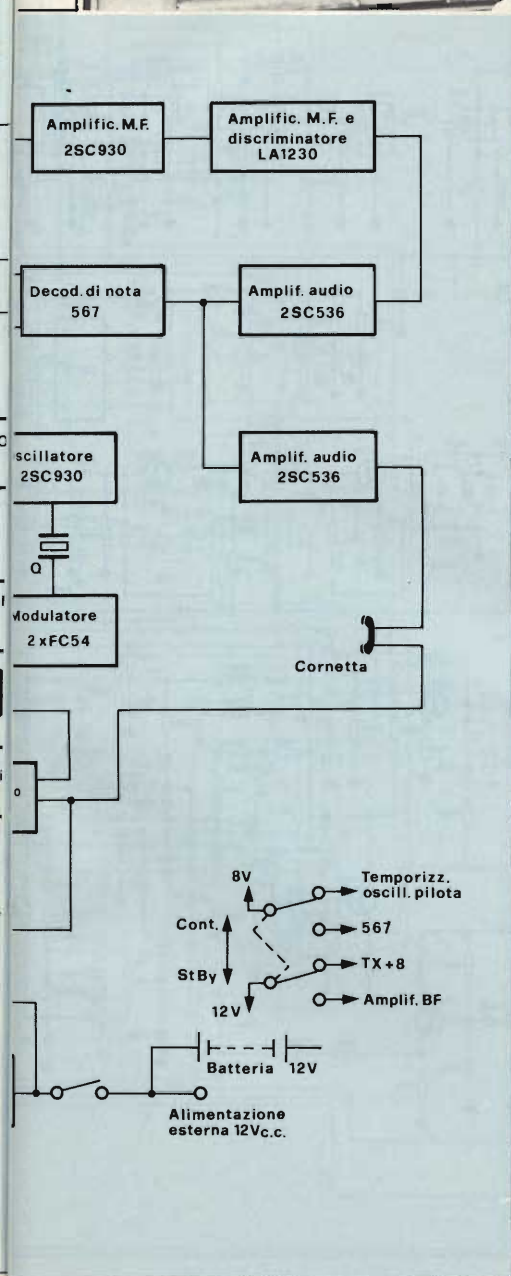


Fig. 1 - Schema a blocchi della postazione telefonica mobile.



nativa, essa può essere sostituita da una fonte esterna collegabile attraverso la presa jack J302.

TR328, 329 e D318 formano un circuito di regolazione a 8V, il quale asserva tutti i circuiti, tranne quello di trasmissione. Il modulatore funziona a 6V prelevati attraverso D309, mentre il formatore del numero, viene alimentato con 3V tramite D501, 502.



### Sezione ricevente

Il segnale irradiato dalla base fissa e captato dall'antenna telescopica attraverso le trappole L301, 302, prima di inoltrarsi nel circuito ricevente. Tale filtro attenua l'influenza dell'alta frequenza, elaborata e amplificata dalla parte trasmittente dell'unità mobile, che si serve della medesima antenna.

Superata anche l'azione di L303, 304, il segnale ricevuto viene amplificato dal TR301.

Il primo oscillatore locale, controllato a quarzo, fa capo a TR302. Il segnale da esso generato viene portato al primo miscelatore TR303 in modo da ottenere la prima media frequenza a 10,7 MHz.

Dopo avere attraversato i filtri ceramici a 10,7 MHz CF301 e CF302, il segnale di media giunge al secondo miscelatore formato dal TR305, il quale riceve anche quello di 10.245 MHz, prodotto dal secondo oscillatore locale TR304 e controllato dal quarzo X302.

Si ottiene così, all'uscita di Q305, la seconda frequenza intermedia a 455 kHz.

CF303 è un filtro a 455 kHz, mentre TR306 e TR307 sono relativi amplificatori.

IC301 svolge i ruoli di amplificatore di media frequenza, limitatore e demodulatore. L'audiofrequenza prelevata dal terminale 6, viene in seguito amplificata da TR308, 309.

### Segnalatore di chiamata

Il segnale di chiamata (1300-1500 Hz) proveniente dalla base fissa, dopo essere stato demodolato da IC301, vie-

ne amplificato attraverso TR308 e portato al decodificatore di tono IC302 il quale attiva il segnalatore BZ.

Il trimmer VR 301 regola la frequenza del segnale emesso.

### Modulatore

La fascia proveniente dal microfono viene amplificata tramite IC305.

D310, 311 sono diodi rettificati in grado di fornire la sigla necessaria (controllo automatico di livello): VR305 ne consente la regolazione.

Il segnale prosegue attraversando un filtro passabasso subendo un'altra amplificazione TR325 prima di essere applicato ai varicap D304, 305 per permettere la modulazione della frequenza di trasmissione.

### Segnali tono

Ponendo il commutatore ST-BY/TALK (302 A-B) in posizione TALK, viene alimentato il circuito di tono.

IC303 temporizza un intervallo 2,5 sec; durante il quale il transistorore

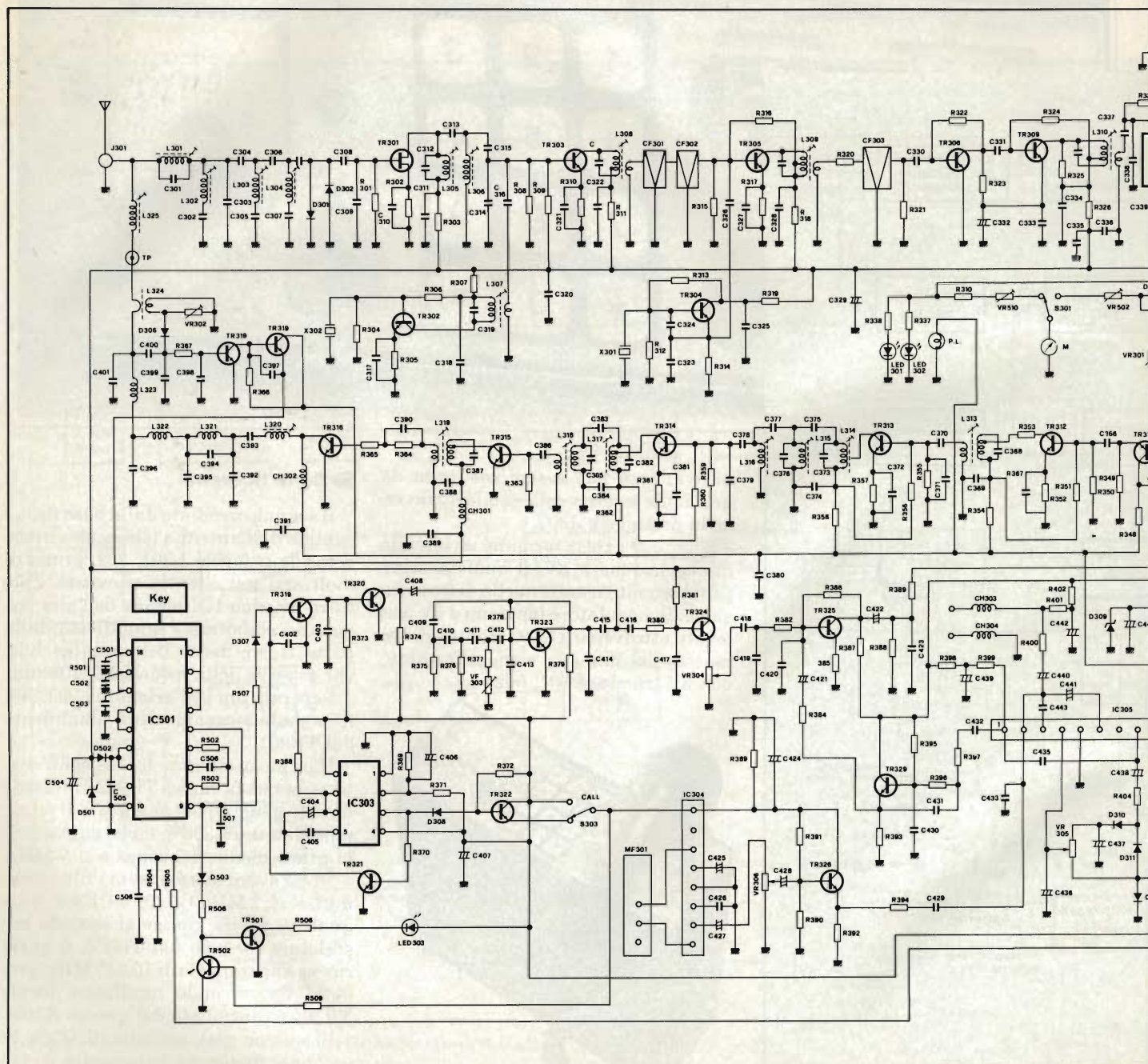


Fig. 2 - Schema elettrico dell'unità mobile.

TR322 si trova in conduzione permettendo il funzionamento di IC304. Tale integrato genera il primo segnale tono, che raggiunge una certa frequenza con l'intervento di MF301 (micro fork).

L'oscillazione, il cui livello è stabilito da VR306, passa attraverso TR326 e si immette nel circuito di modulazione per la durata appunto di circa 2,5 sec.

Quando il temporizzatore IC303 si spegne, TR321 è posto in OFF. Il segnale tono (pin 3 IC303) mette in conduzione TR321 che manda in out TR319, Q320.

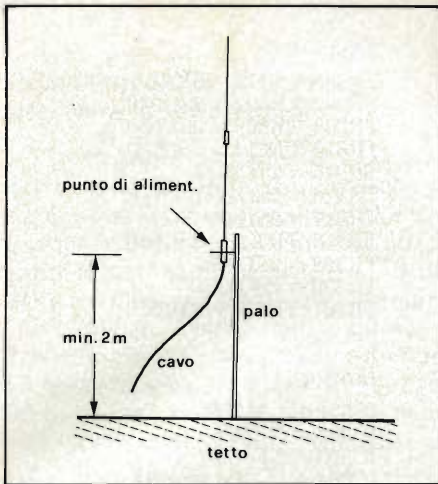
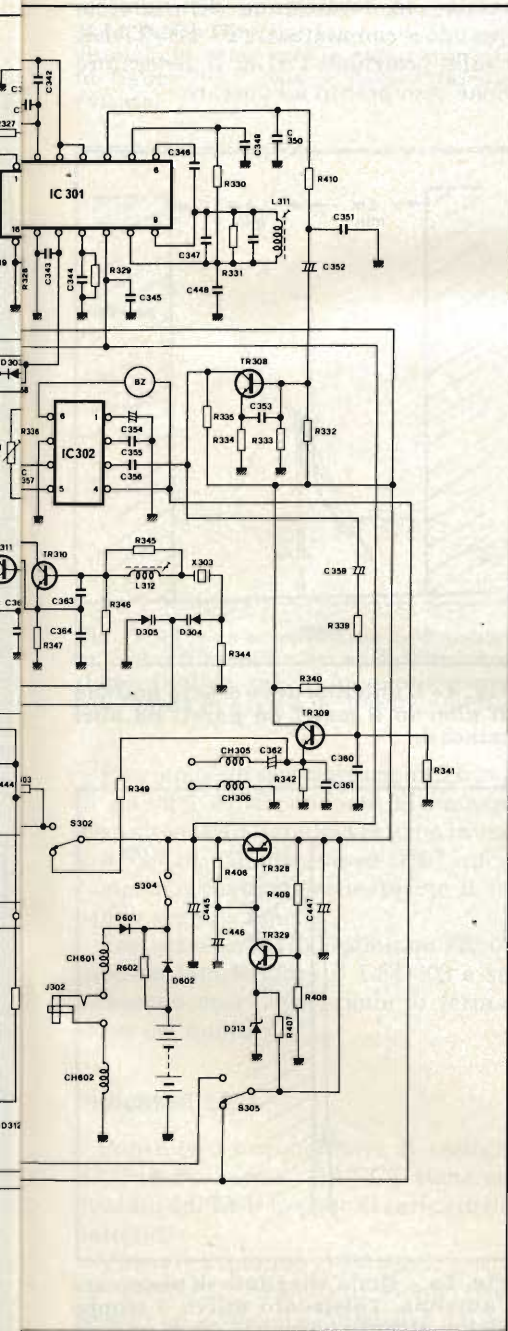


Fig. 3 - Il punto di alimentazione dell'elemento attivo dell'antenna deve essere rialzato di almeno due metri, dal tetto se si vuole avere la resa migliore.

Il secondo segnale tono è generato dal transistor TR323 ed inviato al circuito di modulazione attraverso TR324. La sua frequenza può essere regolata tra 4700 e 5300 Hz tramite VR303.

### Circuito di chiamata

Ponendo il commutatore S302 in posizione TALK ed azionando l'interruttore di chiamata S303, si alimenta il circuito generatore del primo segnale tono. Accade perciò che sia il primo che il secondo segnale tono vanno in modulazione contemporaneamente, effettuando in questo modo la chiamata della base fissa.

### Trasmittitore

La sezione trasmittente viene alimentata quando il commutatore S302 si trova in posizione TALK.

TR310 e X303 formano un oscillatore controllato a quarzo la cui frequenza (4÷5 MHz) viene modulata dai diodi a capacità variabile D304, 305.

Lo stadio relativo al TR311 contribuisce a stabilizzare il circuito di oscillazione.

L'onda fondamentale amplificata da TR312, viene triplicata da TR313, L314, 315, 316, in modo da ottenere un valore di frequenza compreso tra 13 e 15 MHz.

TR314, L317, 318 introducono su tale valore una ulteriore duplicazione che consente di raggiungere la gamma 26÷31 MHz.

A questo punto, il segnale passa al circuito amplificatore di potenza che grazie al preamplificatore TR315 ed al

## ELENCO COMPONENTI DEL TELEFONO - STAZIONE MOBILE

### Resistori

R301 = 100 k Ω	R378 = 220 k Ω
R302 = 330 Ω	R379 = 2,2 k Ω
R303 = 220 Ω	R380 = 2,2 k Ω
R304 = 10 k Ω	R381 = 330 k Ω
R305 = 330 Ω	R382 = 1 k Ω
R306 = 56 k Ω	R383 = 15 k Ω
R307 = 220 Ω	R384 = 1 k Ω
R308 = 10 k Ω	R385 = 150 Ω
R309 = 56 k Ω	R386 = 330 k Ω
R310 = 1 k Ω	R387 = 3,3 k Ω
R311 = 220 Ω	R388 = 10 k Ω
R312 = 10 k Ω	R389 = 10 k Ω
R313 = 22 k Ω	R390 = 10 k Ω
R314 = 2,7 k Ω	R391 = 56 k Ω
R315 = 10 k Ω	R392 = 1 k Ω
R316 = 56 k Ω	R393 = 1 k Ω
R317 = 1 k Ω	R394 = 10 k Ω
R318 = 220 Ω	R395 = 39 k Ω
R319 = 1 k Ω	R396 = 4,7 k Ω
R320 = 1 k Ω	R397 = 4,7 k Ω
R321 = 2,2 k Ω	R398 = 12 k Ω
R322 = 100 k Ω	R399 = 56 k Ω
R323 = 2,2 k Ω	R400 = 1 k Ω
R324 = 100 k Ω	R401 = 22 k Ω
R325 = 10 k Ω	R403 = 330 Ω
R326 = 2,2 k Ω	R404 = 1 k Ω
R327 = 330 Ω	R405 = 47 k Ω
R328 = 100 k Ω	R406 = 1 k Ω
R329 = 47 k Ω	R407 = 1,5 k Ω
R330 = 10 k Ω	R408 = 6,8 k Ω
R331 = 22 k Ω	R409 = 1,5 k Ω
R332 = 56 k Ω	R410 = 1 k Ω
R333 = 10 k Ω	R501 = 330 Ω
R334 = 680 Ω	R502 = 750 k Ω
R335 = 3,3 k Ω	R503 = 750 k Ω
R336 = 2,7 k Ω	R504 = 10 k Ω
R337 = 1 k Ω	R505 = 15 k Ω
R338 = 1 k Ω	R506 = 6,8 k Ω
R339 = 2,2 k Ω	R507 = 6,8 k Ω
R340 = 22 k Ω	R508 = 820 Ω
R341 = 10 k Ω	R509 = 10 k Ω
R342 = 560 Ω	R510 = 22 k Ω
R343 = 1,8 k Ω	
R344 = 10 k Ω	
R345 = 15 k Ω	
R346 = 33 k Ω	
R347 = 2,7 k Ω	
R348 = 1 k Ω	
R349 = 1 k Ω	
R350 = 10 k Ω	
R351 = 56 k Ω	
R352 = 100 Ω	
R353 = 560 Ω	
R354 = 220 Ω	
R355 = 10 k Ω	
R356 = 56 k Ω	
R357 = 100 Ω	
R358 = 220 Ω	
R359 = 4,7 k Ω	
R360 = 56 k Ω	
R361 = 100 Ω	
R362 = 220 Ω	
R363 = 560 Ω	
R364 = 100 Ω	
R365 = 10 Ω	
R366 = 2,2 k Ω	
R367 = 1 k Ω	
R368 = 47 k Ω	
R369 = 5,6 k Ω	
R370 = 8,2 k Ω	
R371 = 4,7 k Ω	
R372 = 10 k Ω	
R373 = 10 k Ω	
R374 = 100 k Ω	
R375 = 8,2 k Ω	
R376 = 8,2 k Ω	
R377 = 5,6 k Ω	

### Condensatori

C301 = 39 pF
C302 = 22 pF
C303 = 82 pF
C304 = 47 pF
C305 = 120 pF
C306 = 2 pF
C307 = 120 pF
C308 = 100 pF
C309 = 27 pF
C310 = 10 nF
C311 = 10 nF
C312 = 27 pF
C313 = 2 pF
C314 = 68 pF
C315 = 39 pF
C316 = 12 pF
C317 = 47 pF
C318 = 22 nF
C319 = 18 pF
C320 = 22 nF
C321 = 10 nF
C322 = 10 nF
C323 = 220 pF
C324 = 100 pF
C325 = 10 nF
C326 = 12 pF
C327 = 10 nF
C328 = 10 nF
C329 = 47 μF
C330 = 22 nF
C331 = 22 nF

C332 = 47 $\mu$ F-12-VL	C407 = 10 $\mu$ F-12-VL
C333 = 22 nF	C408 = 10 $\mu$ F-12-VL
C334 = 22 nF	C409 = 3,3 nF
C335 = 22 nF	C410 = 3,3 nF
C336 = 22 nF	C411 = 3,3 nF
C337 = 22 nF	C412 = 3,3 nF
C338 = 1 nF	C413 = 100 pF
C339 = 22 nF	C414 = 100 pF
C340 = 22 nF	C415 = 3,3 nF
C341 = 22 nF	C416 = 3,3 nF
C342 = 22 nF	C417 = 100 pF
C343 = 22 nF	C318 = 10 nF
C344 = 22 nF	C419 = 1 nF
C345 = 22 nF	C420 = 1 nF
C346 = 10 pF	C421 = 1 $\mu$ F-25-VL
C347 = 68 pF	C422 = 1 $\mu$ F-25-VL
C348 = 22 nF	C423 = 10 nF
C349 = 22 nF	C424 = 10 $\mu$ F-12-VL
C350 = 22 nF	C425 = 10 $\mu$ F-12-VL
C351 = 1 nF	C426 = 10 nF
C352 = 1 $\mu$ F-25-VL	C427 = 1 $\mu$ F-25-VL
C353 = 10 nF	C428 = 1 $\mu$ F-25-VL
C354 = 2,2 $\mu$ F-12-VL	C429 = 47 nF
C355 = 33 nF	C430 = 4,7 nF
C356 = 10 nF	C431 = 4,7 nF
C357 = 100 nF	C432 = 10 nF
C358 = 10 nF	C433 = 1 nF
C359 = 1 $\mu$ F-25-VL	C435 = 100 pF
C360 = 10 nF	C436 = 0,47 $\mu$ F-12-VL
C361 = 10 nF	C437 = 0,47 $\mu$ F-12-VL
C362 = 1 $\mu$ F-25-VL	C438 = 1 $\mu$ F-25-VL
C363 = 220 pF	C439 = 33 $\mu$ F-12-VL
C364 = 100 pF	C440 = 1 $\mu$ F-25-VL
C365 = 22 nF	C441 = 33 $\mu$ F-12-VL
C366 = 47 pF	C442 = 33 $\mu$ F-12-VL
C367 = 22 nF	C444 = 33 $\mu$ F-12-VL
C368 = 120 pF	C445 = 220 $\mu$ F-16-VL
C369 = 22 nF	C446 = 100 $\mu$ F-12-VL
C370 = 10 nF	C447 = 220 $\mu$ F-12-VL
C371 = 470 pF	C501 = 100 pF
C372 = 22 nF	C502 = 100 pF
C373 = 68 pF	C503 = 100 pF
C374 = 22 nF	C504 = 47 $\mu$ F-12-VL
C375 = 2 pF	C505 = 22 nF
C376 = 68 pF	C506 = 330 pF
C377 = 2 pF	C507 = 22 nF
C378 = 100 pF	C508 = 22 nF
C379 = 150 pF	
C380 = 22 nF	
C381 = 22 nF	
C382 = 33 pF	
C383 = 2 pF	
C384 = 10 nF	
C385 = 33 pF	
C386 = 100 pF	
C387 = 47 pF	
C388 = 22 nF	
C389 = 22 nF	
C390 = 220 pF	
C391 = 22 nF	
C392 = 220 pF	
C393 = 120 pF	
C394 = 33 pF	
C395 = 100 pF	
C396 = 100 pF	
C397 = 10 nF	
C398 = 10 nF	
C399 = 68 pF	
C400 = 6 pF	
C401 = 100 pF	
C402 = 10 nF	
C403 = 10 nF	
C404 = 47 $\mu$ F-12-VL	
C405 = 10 nF	
C406 = 47 $\mu$ F-12-VL	

### Transistori

TR301 = FET - 2SK41  
 TR302/TR307 = 2SC930  
 TR308/TR309 = 2SC536  
 TR310/TR314 = 2SC930  
 TR315 = 2SC2314  
 TR316 = 2SC1971  
 TR317 = 2SD439  
 TR318/TR327 = 2SC536  
 TR328 = 2SD439  
 TR329 = 2SC536  
 TR501/TR502 = 2SC536

### Integrati

IC301 = LA1230  
 IC302 = NE567  
 IC303 = NE555  
 IC304 = D-1200 Murata  
 IC305 = LA3210  
 IC501 = S-2560A

### Quarzi

X301 = 39,160 MHz  
 X302 = 10,245 MHz  
 X303 = 4,3433 MHz

### Deviatori

S301 = Deviatore a pulsante  
 S302 = Microdeviatore 1 via  
 S303 = Deviatore a pulsante  
 S304 = Interruttore a pulsante  
 S305 = Microdeviatore 1 via

Key = Tastiera a matrice 4x3  
 MF-301 = Microdiapason  
 M = Strumento da 100  $\mu$ A F.S.  
 BZ = Buzzer da 6 V.  
 PL = Lampadina 9 V.

### Bobine e MF

L301 = 7 Spire da 0,6 mm -  
 supp. 8 mm  
 L302 = Bobina tipo REC-026  
 L303 = Bobina tipo REC-027  
 L304/L306 = Bobina tipo  
 REC-027  
 L307 = Bobina tipo REC-034  
 L308 = Bobina tipo REC-004  
 L309 = M. F. 455 kHz gialla  
 L301/L311 = M.F. 455 kHz-  
 gialle  
 L312 = Bobina tipo REC-038  
 L313 = Bobina tipo REC-036  
 L314 = Bobina tipo REC-033  
 L315/316 = Bobine tipo REC-  
 029  
 L317 = Bobina tipo REC-030  
 L318 = Bobina tipo REC-029  
 L319 = Bobina tipo REC-032  
 L320 = spire da 0,6 mm supp. 8  
 mm  
 L321/L323 = 8 spire da 1 mm in  
 aria - supp. 5 mm  
 L324 = 10 spire da 0,7 mm supp.  
 toroidale da 10 mm (Toroido  
 AMIDON)  
 L325 = 10 spire da 0,6 mm supp.  
 da 8 mm

### Induttanze

CH301/CH302 = Indutt. da 4  $\mu$ H  
 CH303/CH306 = Indutt. da 10  $\mu$ H  
 CH601/CH602 = Indutt. da 4  $\mu$ H

### Trimmer

VR301 = 10 k  $\Omega$   
 VR302 = 100  $\Omega$   
 VR303 = 10 k  $\Omega$   
 VR304 = 2,2 k  $\Omega$   
 VR305 = 10 k  $\Omega$   
 VR306 = 47 k  $\Omega$   
 VR501/VR502 = 33 k  $\Omega$

### Filtri ceramici

CF301 = SFE 10,7 MHz  
 CF302 = SFE 10,7 MHz  
 CF303 = 455 kHz

### Diodi

D301/D303 = IS 1588  
 D304/D305 = IS 553  
 D306/D308 = IS 1588  
 D309 = Zener da 6 V.  
 D310/D311 = 1N60  
 D312 = IS 1588  
 D313 = Zener da 6V.  
 D501 = Zener da 3,5 V  
 D502 = IS 1588  
 D503 = IS 1588  
 D601/D602 = SR 1k  
 LED301/LED303 = Led  
 Rossi da 5 mm

finale TR313, è in grado di erogare una potenza HF di 4-5 W.

Se l'impedenza dell'antenna non si dovesse adattare a quella di uscita dell'amplificatore di potenza, l'onda riflessa si rivela attraverso L324; l'alimentazione di TR315 in questo caso si riduce per l'intervento del circuito di controllo TR317, 318 ed il transistor finale TR316 non corre pericoli di fuori uso. Il trimmer VR302 regola l'SWR

### Formazione del numero

IC501 è il generatore di impulsi che assolve la formazione del numero. Quando il commutatore ST-BY/TALK è sulla posizione TALK, il generatore viene reso pronto ad operare.

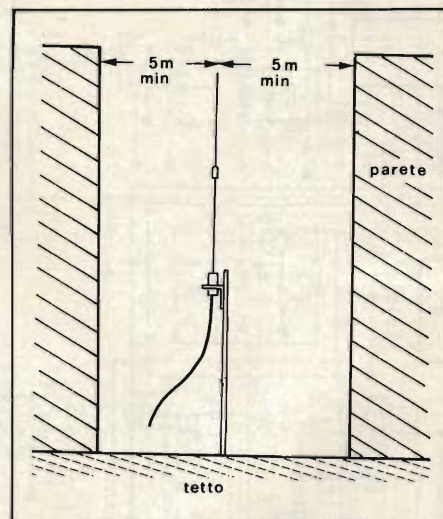


Fig. 4 - L'antenna deve essere lontana di almeno 5 metri da pareti od altri ostacoli.

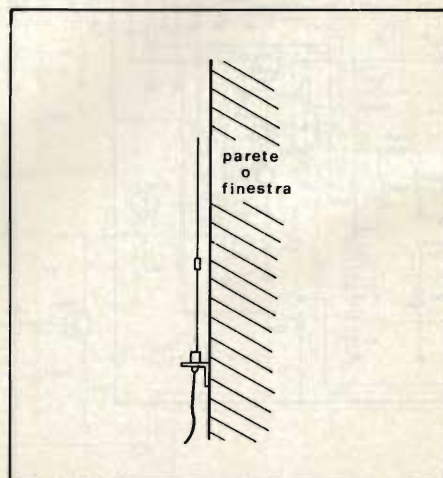


Fig. 5a - Modo sbagliato di sistemare l'antenna: l'elemento attivo è troppo vicino al muro e l'emissione di onde in questa direzione non avviene.

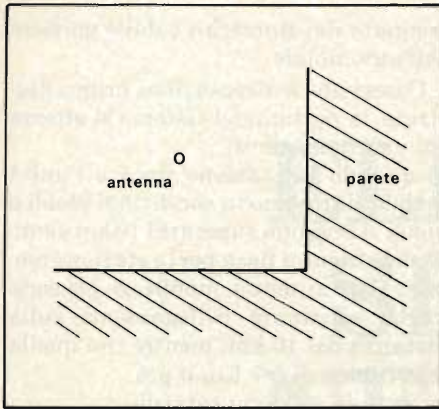


Fig. 5b - Se l'antenna è circondata da muri od altro, la sua efficienza diviene assai bassa. Inutile rimarcare che una situazione come quella rappresentata in figura deve essere assolutamente evitata.

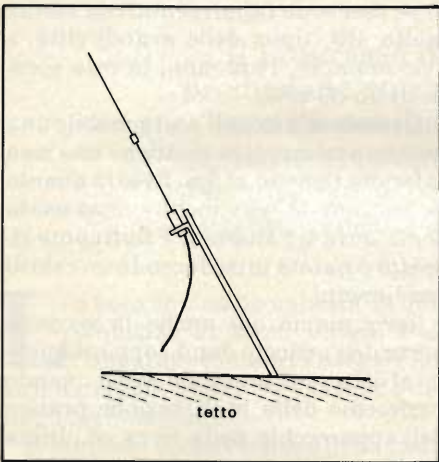


Fig. 5c - L'altezza effettiva dell'antenna è insufficiente a causa dell'inclinazione. Inoltre, non si ha adattamento con l'onda in arrivo dell'unità mobile.

Premendo un tasto, si forma un treno di impulsi corrispondente al numero segnatovi. Tali impulsi vengono inviati a TR319, 320 attraverso D307 interrompendo contemporaneamente il secondo segnale tono.

Essi attraverso D503 pilotano TR501 facendo lampeggiare il LED303 e segnalando così l'operazione di formazione del numero.

### Indicatori LED

Ponendo il commutatore di verifica S303 in posizione "BATT", viene segnalato dal LED lo stato di carica della batteria.

Viceversa quando S303 viene posto su "SIGNAL", il LED funziona come Smeter ed evidenzia l'intensità del segnale in ricezione.

### Come impiantare le antenne per avere la resa migliore

Per sfruttare pienamente le risorse del sistema bisogna ricordarsi che le antenne svolgono un ruolo importantissimo in ogni apparecchiatura utilizzando le onde radio per il collegamento delle parti: non è esagerato affermare che l'efficienza piena del complesso è determinata da quella delle antenne. Le note che seguono hanno appunto lo scopo di consigliare l'utente sul modo migliore di installazione nelle varie situazioni e su ciò che bisogna evitare per non incorrere in profonde cadute di rendimento.

L'efficienza dell'antenna cresce con l'aumentare dell'altezza a cui viene posta. Ricordando questo fatto, quando la collochiamo sul tetto di un edificio alto o di una normale casa, faremo in modo che il punto di alimentazione (quello, cioè, a cui il cavo di AF è collegato) si trovi rialzato di almeno due metri rispetto al piano del tetto come rappresentato in figura 3.

Il luogo in cui l'antenna è collocata non deve essere circondato da lastre o reti metalliche, nè da pareti di calcestruzzo. Se questa situazione non può essere evitata, si faccia in modo che l'antenna sia distanziata di almeno cinque metri da questi ostacoli: vedere figura 4.

L'antenna inoltre deve essere disposta verticalmente. Le figure 5a-b-c-d-e mostrano esempi di installazione sbagliata.

Ricordiamo ancora che nè fili metallici, nè rami di alberi devono toccare l'elemento attivo dell'antenna. Essa deve essere collocata abbastanza lontana da altre antenne e dai loro sostegni. Anche un'errata disposizione dell'antenna rispetto al proprio sostegno è causa di un forte calo di rendimento: le figure 6a,b mostrano questa possibilità di errore, mentre la figura 6c illustra un modo corretto di impianto.

La portata maggiore, si ottiene quando l'antenna viene posta su un tetto dal quale si goda di una visibilità di diversi chilometri e non venga ostacolata da edifici molto alti o da linee di alta tensione. Se sono presenti ostacoli, la portata si riduce avvertibilmente nella loro direzione con un peso dipendente dalle specifiche condizioni operative.

Quando l'antenna è posta ad una distanza anche di poco inferiore ai 5 metri rispetto a consistenti ostacoli circostanti, la portata nella direzione di questi si riduce della metà rispetto a quella

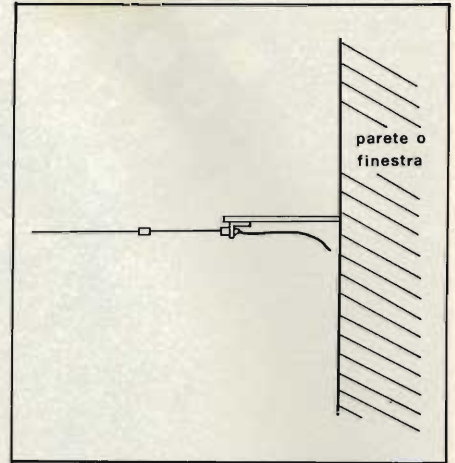


Fig. 5d - Con questa disposizione si perde efficienza per mancanza di adattamento con l'onda in arrivo.

del caso ideale.

Se si pensasse di porre l'antenna in modo da essere soffocata da grossi edifici come quelli delle grandi città, ci si ricordi che la portata diventa molto bassa ed in casi estremi il collegamento può avvenire solo se la base fissa e quella mobile si vedono.

Poichè le onde si propagano in linea

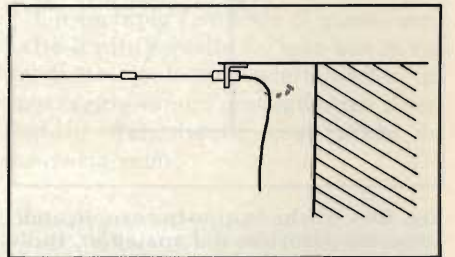


Fig. 5e - È difficile ricevere onde dalla parte del muro: altra disposizione da evitare.

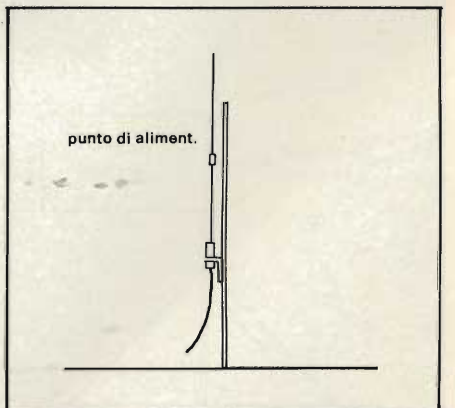
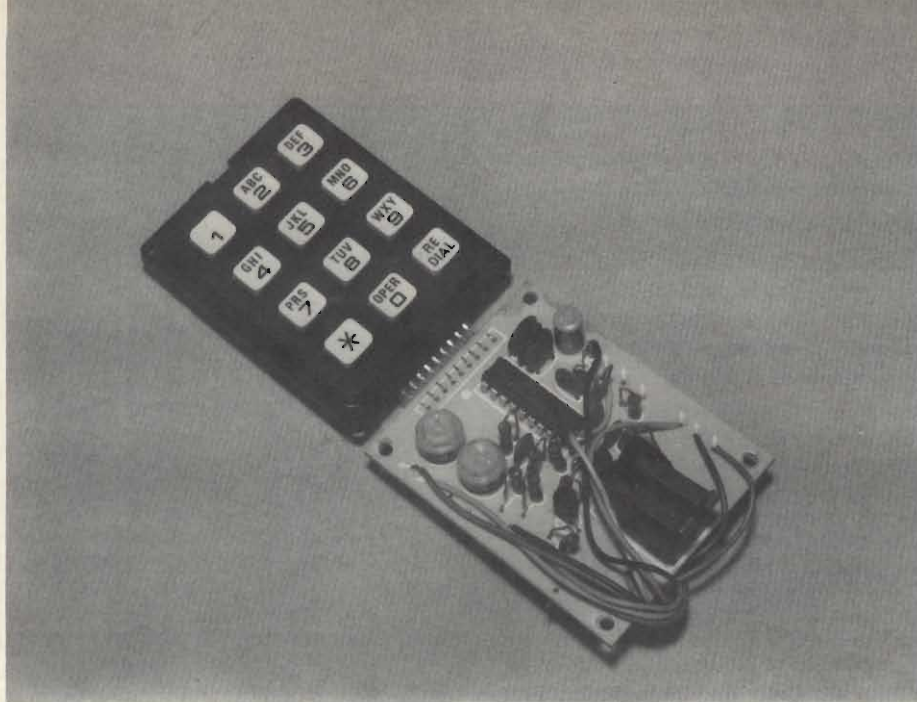


Fig. 6a - Si illustra un'altra possibilità di errore: con questa disposizione le onde vengono assorbite dal palo e non dall'elemento attivo.



Vista della tastiera telefonica a realizzazione ultimata.

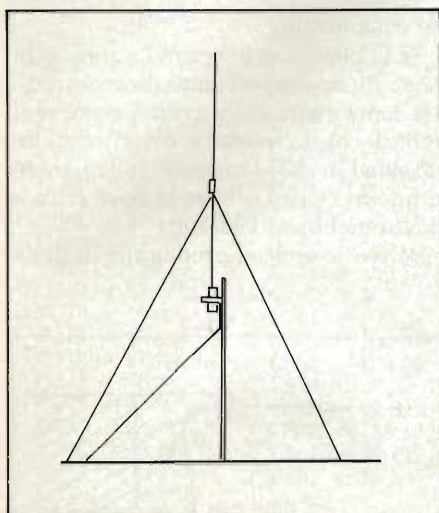


Fig. 6b - Anche in questo caso, le onde vengono assorbite dal sostegno. Inoltre, si perde anche in capacità meccanica.

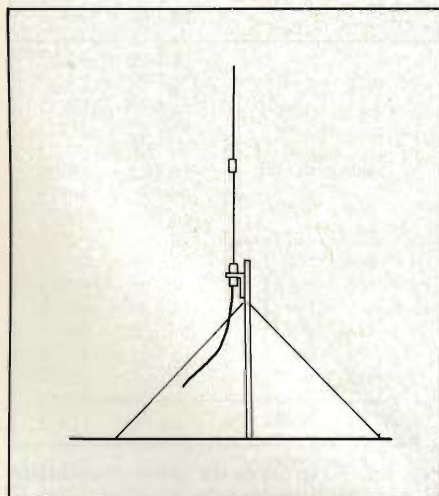


Fig. 6c - Modo corretto di impiantare l'antenna.

retta (generalmente parlando), è desiderabile che le antenne della base fissa e di quella mobile si vedano comunque reciprocamente. Questa situazione ideale, difficilmente si verifica e perciò è bene ricordare le note seguenti quando si sceglie il posto da cui operare con la stazione mobile.

Cercare un luogo libero, se possibile da ostacoli come grandi edifici, monti o linee di alta tensione; se impossibile, allontanarsi da essi. Se si opera in montagna, in una valle o in un pendio, si scelga sempre il posto più alto.

Fissare saldamente l'antenna, perfettamente distesa, e stringere a fondo il connettore. Fare anche attenzione che il cavo coassiale non venga dan-

neggiato dai finestrini o dalle portiere dell'automobile.

Osservate le precauzioni prima illustrate, la portata del sistema si attesta sui valori seguenti:

a) quando la stazione fissa e l'unità mobile si trovano in condizioni ideali o quasi si possono superare i 10 km usando un'antenna fissa per la stazione mobile. Con antenna mobile si possono anche effettuare collegamenti sulla distanza dei 10 km, mentre con quella telescopica di 5-7 Km o più

b) quando esistono ostacoli:

- 1) la portata diminuisce del 30-50% nella direzione di quelli consistenti, mentre rimane inalterata nelle altre;
- 2) se gli ostacoli consistenti sono anche vicini, la portata cala del 60-40% nella loro direzione e del 30-50% nelle altre;
- 3) se essi sono rappresentati da edifici molto alti, tipici delle grandi città, e "circondanti" l'antenna, la resa scende di un 50-80%.

Quando si usa nell'unità mobile una antenna telescopica si ottiene una resa inferiore rispetto al tipo fisso in quanto la stazione in movimento viene usata come terra e l'antenna è fluttuante rispetto a questa introducendo un calo di rendimento.

Terminiamo qui anche la seconda parte dell'articolo dando appuntamento al lettore il prossimo mese quando parleremo della realizzazione pratica dell'apparecchio nella terza ed ultima parte.

*continua*

## 950 mila VTR prodotti dalla Sanyo nel 1981

**P**er il quarto anno consecutivo la Sanyo Electric chiude i conti con risultati in miglioramento. Nell'esercizio al 30 novembre scorso questo gruppo ha realizzato utili netti consolidati di 23,95 miliardi di yen (circa 130 miliardi di lire) e vendite consolidate di 752,4 miliardi di yen (circa 4000 miliardi di lire) con incrementi rispettivamente del 13,2% e del 10,6%. Gli utili sono risultati leggermente inferiori alle aspettative. Anche le vendite si sono espanso al ritmo di alcuni punti percentuali al di sotto del budget in seguito ai ritardi accusati nell'approntare le capacità produttive per i videoregistratori. Nell'esercizio fiscale in questione la Sanyo ha costruito infatti 950 mila VTR in luogo dei previsti 1,1 milioni. I prodotti consumer, compresi i videoregistratori, hanno contribuito per il 54% alla formazione del fatturato consolidato, col miglioramento del 14,5%. L'export è migliorato del 20,1%, ed ha interessato il 55,6% di tutto il volume di affari. Notevoli investimenti sono stati fatti per sviluppare una strategia della ricerca e sviluppo e per penetrare nel mercato dell'office automation. Nel corrente esercizio la Sanyo calcola di continuare a sviluppare sia le vendite (+ 15,6% è il tasso di crescita previsto) che gli utili netti (+ 16%).



# LA VOCE ELETTRONICA SI AFFERMA NEL MERCATO CONSUMER

di G. Martinetti

Il progresso delle tecniche di sintesi mediante calcolatore e la produzione su scala industriale dei relativi circuiti integrati hanno reso disponibile la voce elettronica per diverse applicazioni del mercato consumer oltre che di quello industriale. Dopo una rapida rassegna dei principali sistemi di sintesi della voce vengono descritti alcuni traduttori della Texas e un orologio parlante della Sharp.

La voce umana è composta da una sequenza di suoni emessi dall'apparato fonatorio e legati fra loro da regole lessicali e fonetiche del linguaggio impiegato.

Il processo di conversione di un testo scritto in un messaggio parlato si può sintetizzare come in figura 1-A, in cui il sintetizzatore, comandato dal testo scelto, elabora opportunamente i suoni secondo le regole immagazzinate per restituire in uscita il messaggio desiderato.

Se i suoni immagazzinati sono fonemi, cioè le unità più elementari del linguaggio (e perciò in numero limitato) occorrono delle regole molto complesse e numerose per ottenere tutte le combinazioni o frasi parlate che si desiderano. Con questo metodo, detto "sintesi da regole" o di "analisi-sintesi", il segnale vocale è prodotto completamente in modo artificiale. A tal proposito viene impiegato un circuito sintetizzatore, operante nel dominio della frequenza, nel quale un segnale impulsivo e un suono bianco vengono combinati e sagomati da un filtro digitale secondo i formanti dedotti dalla analisi della voce. Viceversa se i suoni in memoria sono combinazioni di fonemi, cioè difoni e consonanti o addirittura parole, occorre immagazzinare un numero eleva-

to di suoni e poche regole di concatenazione. Questo è il metodo di "sintesi per segmenti", che richiede una minore complessità di calcolo e di conoscenze della voce umana.

Al limite se nella memoria-suoni inseriamo frasi già fatte, serve immagazzinare pochissime o nessuna regola di

concatenazione ma occorre potenziare molto quella memoria.

Un esempio familiare di questo concetto limite è quello del juke-box in cui mediante pulsanti selezioniamo un messaggio sonoro pre-registrato; il serbatoio dei dischi costituisce la memoria-suoni.

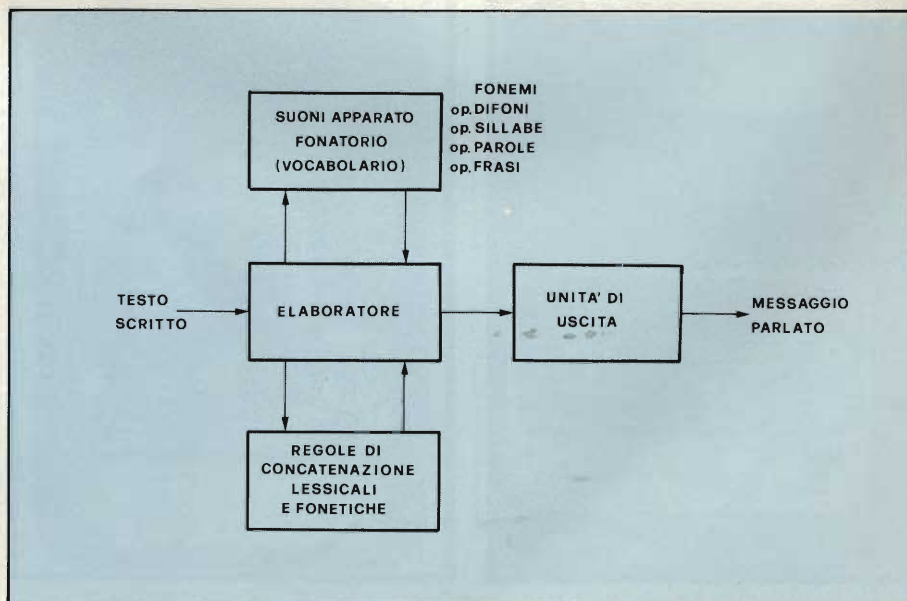


Fig. 1-A - Schema a blocchi del sistema di sintesi per passare da un testo scritto al corrispondente messaggio parlato.

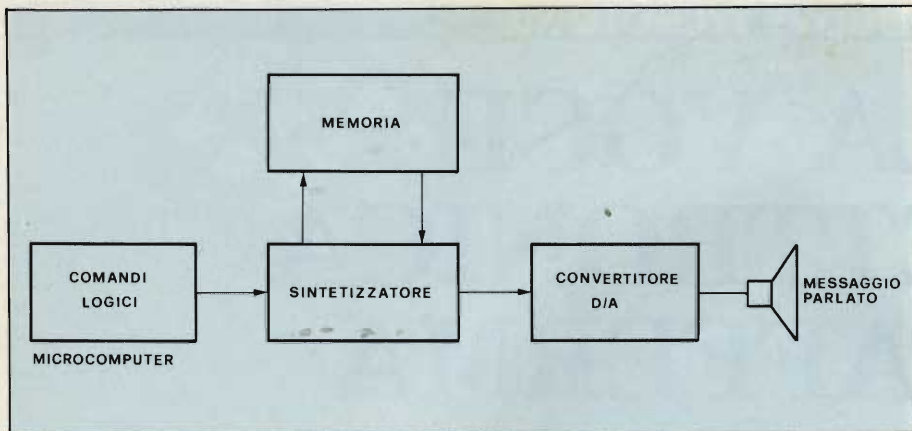


Fig. 1-B - Realizzazione dello schema di sintesi mediante calcolatore.

La realizzazione del processo di sintesi ora descritto mediante un calcolatore digitale (figura 1-B) presuppone naturalmente che i suoni siano immagazzinati nella memoria in forma digitale, mentre l'unità di elaborazione coman-

data da un microcomputer è costituita da un micro-processore programmato secondo il sistema di sintesi impiegato; infine un convertitore D/A restituisce in uscita il messaggio parlato selezionato.

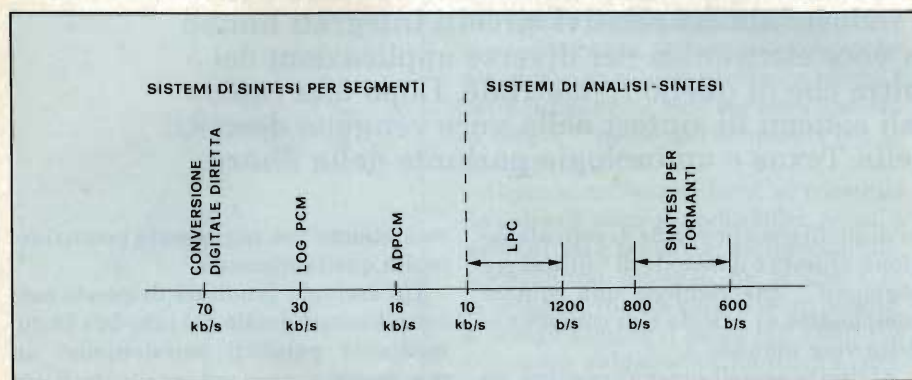


Fig. 2 - Velocità dati necessarie per i diversi sistemi di sintesi del tipo "per regole" e "per segmenti".

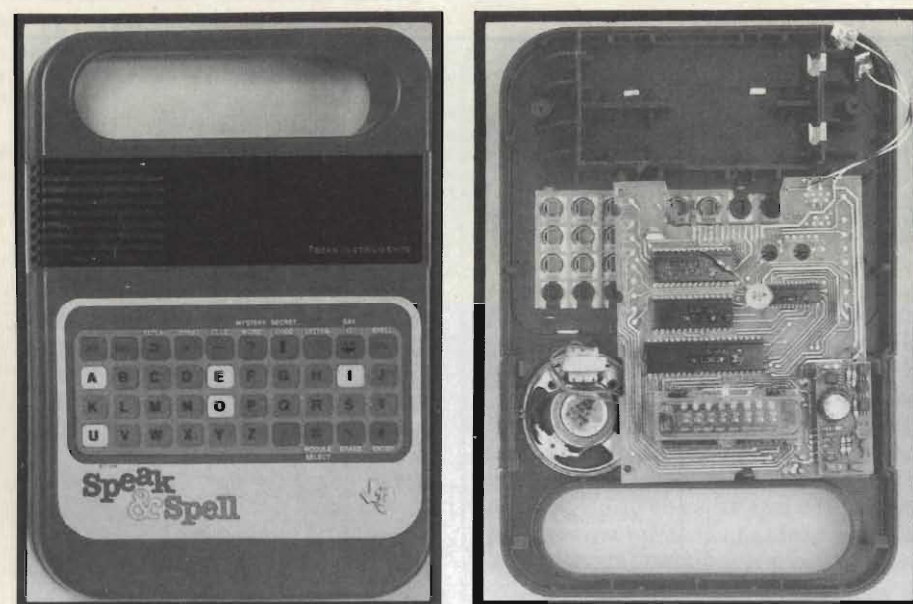


Fig. 3 - Lo Speak and Spell della Texas, grazie all'impiego di un Voice Syntesis Processor integrato in un solo chip, è realizzato complessivamente con pochi componenti.

## Prestazioni dei principali sistemi di sintesi

Le prestazioni dei sistemi di sintesi si misurano secondo la velocità dei dati (bit/s) che occorre immagazzinare in memoria e secondo la qualità della voce ottenuta.

Più grande è la velocità dati richiesta dal sistema, più grande è la memoria necessaria ma si ottiene generalmente anche una qualità migliore della voce. Al contrario con basse velocità dati si risparmia in memoria ma si ottiene una bassa qualità e una comprensibilità scadenti.

In pratica si cercano di realizzare sistemi di sintesi che presentino il miglior compromesso fra velocità necessaria e qualità corrispondente della voce.

Il metodo più semplice di sintesi digitale è quello di registrazione diretta in forma digitale. Questo è il caso estremo di *sintesi per segmenti*, corrispondente al juke-box, ma che richiede la velocità dati più elevata. Ad es. per una voce che occupa una banda passante di 4 kHz occorre campionare a 8 kHz e codificare con sequenze di 8 o 7 bit corrispondenti a una velocità di 64 o 56 kbit/s rispettivamente, che con l'aggiunta di qualche bit di sincronismo necessitano un totale massimo di circa 70 kbit/s.

Per ridurre la velocità dati necessaria si ricorre ad algoritmi di compressione con i sistemi Log PCM (30 kb/s), ADPCM (Adaptive Delta Pulse Code

## Glossario della voce elettronica

**Fonemi:** sono i suoni fondamentali che compongono ogni lingua parlata. Sono in totale un centinaio per tutte le lingue il cui suono però dipende molto dalla transizione fra un fonema e il successivo.

**Allofoni:** sono le diverse possibilità di articolazione di uno stesso fonema.

**Formanti:** frequenze di risonanza che caratterizzano lo spettro del segnale vocale e perciò il timbro di quel suono. Si hanno tipicamente quattro risonanze per frequenza fino a 5 kHz di cui le più importanti sono quelle a frequenze più basse, dove l'orecchio è più sensibile.

**Difoni o diodi:** combinazioni di più fonemi.

Modulation) che richiede circa 20 kb/s, LPC (Linear Predictive Code) e PARCOR (Partial Autocorrelation) che richiedono da 10 a 1,2 kb/s.

I sistemi di sintesi da regole sono quelli di analisi per formanti o di sintesi per fonemi che richiedono da 40 a 100 bit/s ma con una qualità di voce del tipo robot.

In figura 2 sono riassunte le velocità dati necessarie per i diversi sistemi di sintesi mentre in Tabella 1 sono date le capacità di memoria necessarie e il costo relativo per immagazzinare 100 parole.

### Lo Speak and Spell della Texas

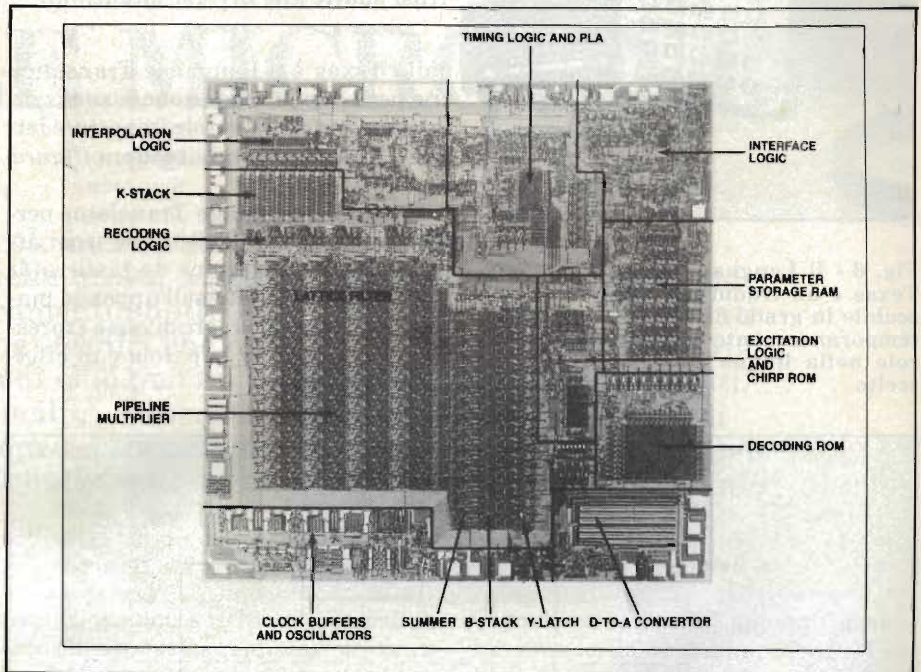
Il sistema Speak and Spell presentato dalla Texas (figura 3) nel giugno 1978 al Consumer Electronic Show di Chicago è stato uno dei primi esempi di macchina parlante portatile introdotta sul mercato consumer, come aiuto per bambini all'apprendimento della pronuncia della lingua inglese.

Tutte le funzioni di sintesi, elaborazione e di conversione D/A in uscita sono integrate nel chip TMS 5100 (figura 4). Lo schema a blocchi completo comprende inoltre il microcomputer a 4 bit TMS 1000 per il controllo, due ROM da 128 kbit tipo TMS 6100 per la memorizzazione di circa 300 parole. Infine un oscillatore RC, una tastiera, due diodi e un altoparlante completano il sistema (figura 5). La velocità dati è di 1200 bit/s.

Una versione più completa di macchina parlante tascabile sviluppata

**Tabella 1 - Capacità e costi necessari per diversi sistemi di sintesi.**

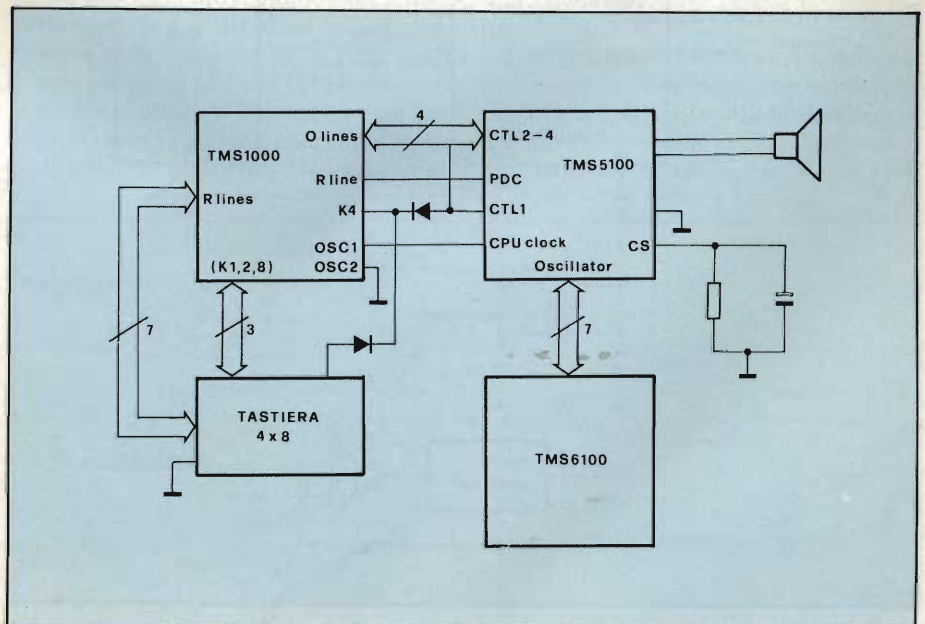
Tecnica di sintesi	Velocità dati	Capacità richiesta per 100 parole	Costo approssimato
Conversione diretta A/D	70 kbit/sec	7 Mbit	\$ 700
ADPCM	16 kbit/sec	1,6 Mbit	\$ 160
LPC	1500 bit/sec	150 kbit	\$ 15
Formanti	800 bit	80 kbit	\$ 8



**Fig. 4 - Il chip del Voice Syntesis Processor tipo TMS5100 usato nello Speak and Spell.**

**Suoni sonori o vocalizzati:** quelli in corrispondenza ai quali le corde sonore vibrano producendo una forma d'onda periodica e perciò con uno spettro a righe. Corrispondono alle vocali e alle consonanti l, m, n.

**Suoni sordi o non vocalizzati:** in corrispondenza ai quali le corde vocali non vibrano, ma vengono prodotti da turbolenza del flusso d'aria fra denti e lingua (suoni fricativi come la f) o da una brusca interruzione di pressione del tratto vocale in corrispondenza alle labbra (p), dei denti (t) del palato (k).



**Fig. 5 - Schema a blocchi completo dello Speak and Spell. Ogni blocco corrisponde a un circuito integrato.**



Fig. 6 - Il Language Translator della Texas è un traduttore elettronico tascabile in grado di visualizzare e contemporaneamente pronunciare le parole nella lingua relativa al modulo scelto.



Fig. 8 - L'orologio parlante sviluppato dalla Sharp oltre a dire l'ora in inglese, vi avverte dei vostri appuntamenti, sollecitandovi in caso di ritardo, con frasi adatte alle diverse situazioni.

dalla Texas è il Language Translator che permette la traduzione visualizzata e parlata delle parole impostate lettera per lettera con la tastiera (figura 6).

Inoltre il Language Translator permette la traduzione di intere frasi attraverso l'impostazione da tastiera di un numero riportato sull'apposito manuale, o infine di creare diverse espressioni combinando le parole e di effettuare lo spelling.

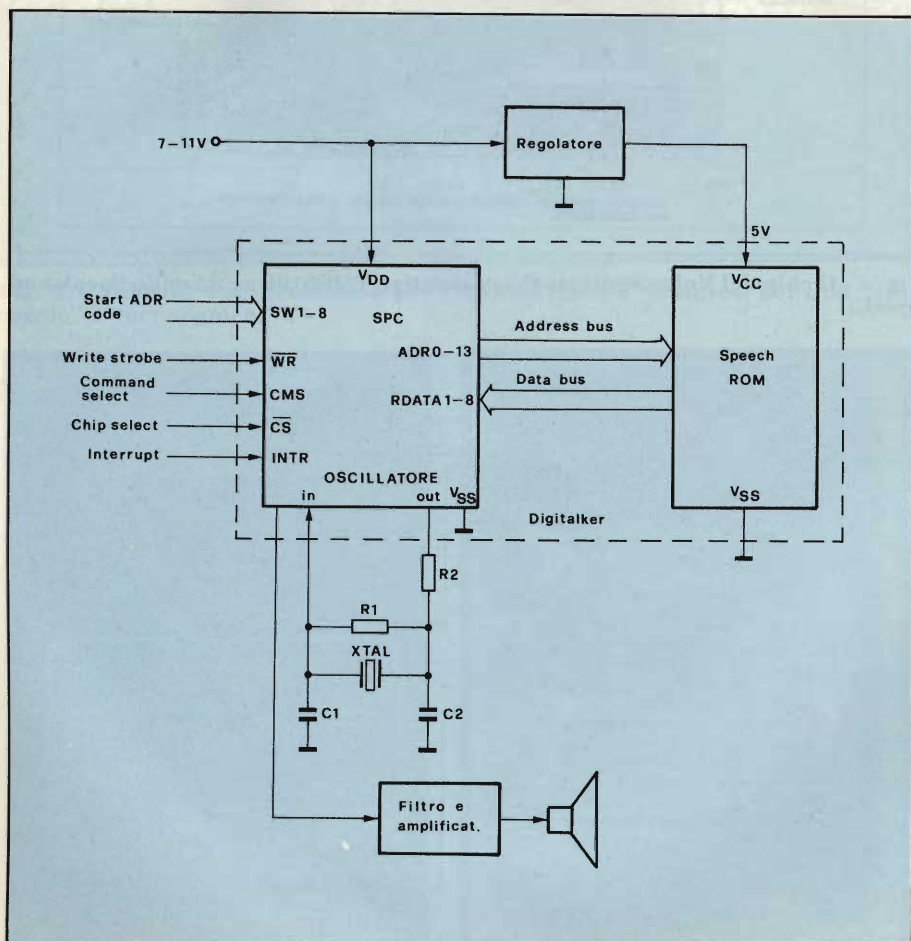


Fig. 7 - Il sintetizzatore Digitalker sviluppato dalla National Semiconductor impiega una sintesi del tipo ADPCM che consente una qualità migliore della LPC pur con la stessa velocità dati.

Ogni modulo linguistico intercambiabile contiene 400 vocaboli, è capace di tradurre su display in 4 differenti lingue, secondo tutte le possibili combinazioni e di pronunciare la lingua relativa al modulo prescelto.

### la voce elettronica dei giapponesi

La National Semiconductors ha sviluppato il sistema Digitalker DT 1050 (figura 7) formato da un Speech processor Chip e da una ROM. Il sistema di sintesi impiegato è del tipo ADPCM che consente una migliore qualità della voce generata pur con velocità dati simile a quella della Texas.

Il circuito SPC può indirizzare direttamente una ROM di 128 kbit espandibile con una minima aggiunta circuitale.

La tecnologia giapponese si è espressa sul mercato consumer in particolare con l'orologio parlante CT-660 della Sharp (figura 7). Le dimensioni e il peso sono tascabili 114x22x60 mm, 165 gr. e l'autonomia della batteria è di circa un anno.

Le diverse possibilità d'impiego sono:

- annuncio dell'ora in ogni istante premendo un pulsante;
- annuncio dell'ora ad ogni mezz'ora;
- annuncio della sveglia e, se non si blocca l'allarme, dopo 5 minuti sollecita "Attention please. It's now six o' five PM. Please hurry";
- timer: con riferimento ad istante di partenza annuncia il tempo trascorso ogni minuto o 5 minuti;
- stopwatch: annuncia che è trascorso un tempo prefissato rispetto ad un istante di partenza.

### Conclusioni

Sono state presentate alcune significative realizzazioni della voce elettronica apparse recentemente sul mercato consumer. Il progresso in corso nello sviluppare nuovi sistemi di sintesi porterà presto la voce elettronica ad una applicazione di massa nel mercato consumer oltre che nei traduttori linguistici e negli orologi qui presentati anche negli elettrodomestici, nelle automobili e nei vari set elettronici immancabilmente presenti nelle nostre case.

### Bibliografia

- Spectrum IEEE - Febbraio 1982
- Electronic Design - Marzo 1981
- Data Communications - Febbraio 1981
- Elettronica Oggi - Gennaio 1982

# GENERATORI DI SPETTRO PER CALIBRAZIONE NELLE MICROONDE

di Gianni Brazioli

Il maggior ostacolo incontrato dai dilettanti e dagli studiosi, nell'elaborazione e nella messa a punto degli apparati per microonde, è la mancanza di strumenti adatti, che avendo dei costi assai elevati, sono accessibili solo ai tecnici che operano nell'ambito dell'industria. Talvolta, per i collaudi ci si può aiutare con dei sistemi semplificati, approntabili con facilità. Descriviamo appunto due generatori di spettro realizzabili senza difficoltà che sfruttano la caratteristica non lineare di un diodo Schotty, e di un diodo di vecchio tipo al Germanio ex Radar.

Il "generatore di spettro" è in pratica un sistema che produce una infinità di armoniche, sino alle microonde, e in genere è costituito da una sorgente di segnali RF che eccita un diodo. La caratteristica tipica non lineare di quest'ultimo, consente appunto il ricavo di un ampio numero di armoniche pari e dispari.

Un generatore del tipo detto può servire anche per misurazioni nella banda dei 10.000 MHz, e per il collaudo dei ricevitori che operano alle frequenze limitrofe. Si verifica infatti una fortunata coincidenza; moltiplicando varie decine di volte il segnale di un trasmettitore per i 144 MHz, si hanno dei segnali ancora utilizzabili nella banda "X". Il principio è sfruttato nel semplice dispositivo che si scorge nella figura 1, che ha appunto l'ingresso a 144 MHz e l'uscita a 10.000 MHz. Per il pilotaggio serve una potenza molto bassa: da 10 a 100 mW.

Il diodo, con la guida d'onda, forma un moltiplicatore armonico accordato sul valore che serve. Il trimmer R1, serve solo come attenuatore se all'ingresso si presentano dei segnali più ampi del previsto, per esempio, 0,5 W. Se l'at-

tenuazione non è richiesta, R1 può essere eliminato. La realizzazione pratica del generatore di spettro è molto semplice: il moltiplicatore d'armoniche che si vede nella figura 1 in alto, può essere costruito impiegando una scatola metallica dalle dimensioni non strettamente critiche. Per l'ingresso (connessione al TX per 144 MHz) si userà un bocchettone BNC, mentre per l'uscita è necessario impiegare qualcosa di meglio, un elemento "N" adatto ai

segnali elevatissimi, appunto genere microonde, da 50  $\Omega$  d'impedenza. Tale "N" sarà maschio, perchè nel tratto di guida d'onda per 10.000 MHz che si vede subito al di sotto, sarà montata una complementare presa "N" femmina.

Il montaggio dei componenti del moltiplicatore di armoniche che non ha alcuna criticità; se si utilizza il trimmer R1, sarà necessario saldare un terminale del medesimo al capo "caldo" del

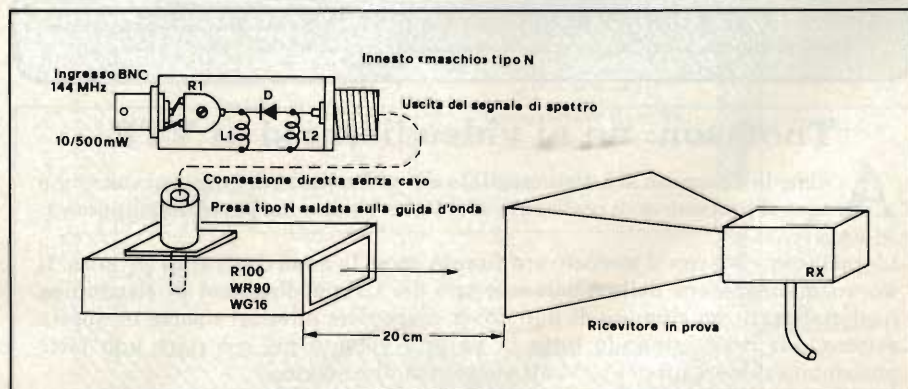


Fig. 1 - Generatore di spettro che impiega un diodo di Schotty. Il connettore "N" del moltiplicatore di armoniche, deve essere direttamente inserito nella presa "N" montata sulla guida d'onda; quest'ultima non ha una lunghezza critica.

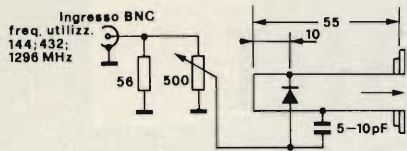


Fig. 2 - Generatore di spettro che impiega un vecchio diodo di recupero, abbastanza fragile. Per quest'altro serve una cavità per la banda "X" chiusa, come si vede nel circuito. Se non è possibile rintracciare una cavità del genere, può servire una guida d'onda chiusa ad una estremità, lunga all'incirca 55 mm. La posizione per il diodo è indicata. Il pilotaggio del generatore può essere di circa 50 mW con un massimo di 100 mW, ma si deve fare attenzione a regolare il trimmer in modo che il diodo non sia attraversato da una corrente di picco eccessiva, perché si rompe con facilità.

BNC e l'altro sulla massa. Il cursore andrà direttamente all'impedenza L1, ed al diodo.

Le parti da impiegare sono le seguenti:

L1: 10 spire di filo in rame smaltato da 0,3 mm accostate ed incollate in modo che si autosupportino, con un diametro interno di 5 mm.

L2: 4 spire di filo in rame smaltato da 0,2 mm, accostate ed incollate in modo che si autosupportino, con un diametro interno di 4 mm. Naturalmente le relative connessioni devono essere molto brevi. I capi freddi devono essere saldati direttamente a massa, sulla scatoletta che funge da contenitore.

Il diodo può essere uno Schottky qualunque, moderno. Oggi, tali diodi non hanno più un prezzo elevato. Nel prototipo, si è impiegato un "veterano" P081 B, ma un comune HP 2800 va altrettanto bene. Così per diodi ancora più moderni nella gamma "da mille lire". La guida d'onda che serve da filtro d'uscita e da formatrice nella gamma dei 10.000 MHz può essere un qualunque spezzone adattatore, di prolunga, di congiunzione per la banda X. I modelli indicati sono i vari R100, WR90, WG16

ecc. La presa, "N" se possibile, dovrebbe essere *saldata* sulla guida, anche utilizzando una fiaccolina per connessioni all'argento.

L'impiego del sistema è estremamente semplice. Il trasmettitore per 144 MHz, sarà connesso all'entrata del generatore di spettro tramite un cavetto a 50 Ω, genere "RG-58/U" o simili. Il connettore "N" maschio d'uscita sarà avvitato sulla presa "N" della guida d'onda che è acritica, lo ripetiamo, per la lunghezza. L'antenna del ricevitore sottoposto a collaudo sarà posta in asse con la guida, alla distanza di circa 20 centimetri. Con 100 mW all'ingresso, lo strumento del ricevitore, dovrebbe indicare "S9" (tale misura è completamente arbitraria, serve solo come riferimento generale, a dire che il segnale captato dovrebbe essere *molto forte*).

Il generatore di spettro, proprio per sua natura, ha il vantaggio di poter essere impiegato sia a banda larga che stretta, quindi, a parte ogni utilizzo di studio, serve bene anche per provare dei radar antifurto Doppler previsti per la banda "X" e simili.

Nella figura 2, si osserva il circuito di un generatore di spettro ancora più

semplice, sempre per la banda dei 3 cm. In quest'altro, s'impiega un diodo surplus, ex radar, del tipo 1N23, che è racchiuso in una guida d'onda chiusa (in pratica in una piccola cavità che può essere a sua volta surplus, quella originale che impiegava il diodo, recuperata presso i vari demolitori che operano nel ramo. Il prezzo indicativo dell'usato è sulle tre mila lire. Un ricambio nuovo può costare dalle 19.000 alle 28.000 lire).

Il sistema mostrato nella figura 2, può essere eccitato da segnali che ricadono nella gamma dei 2 metri, dei 70 centimetri, ed anche dei 23 centimetri. La resistenza da 56 Ω, con il trimmer da 500 Ω, forma un partitore, ed al tempo stesso carica la sorgente di segnali. Proprio per tale ragione, la resistenza deve essere assolutamente del tipo antinduttivo.

Il condensatore "C" non è molto critico; può essere da 5 pF, 10 pF o valori analoghi.

Relativamente al pilotaggio, per generare il maggior numero di armoniche, è bene che il diodo sia *leggermente* sovrapilotato, ma si deve stare attenti a non romperlo, perché gli elementi "a baffo di gatto" della serie 1N21, 1N23 ecc, tutti utilizzabili, hanno una notevole tendenza ad andare fuori uso in modo repentino, forse proprio a causa della loro costruzione antiquata.

In cambio lavorano molto bene sino a circa 12.000 MHz, quindi sono "ancora" degni di rispetto, malgrado l'età vetusta.

Altro non serve dire. Ambedue i generatori di spettro mostrati, che possono ben rappresentare "il-vecchio-e-il-nuovo" in materia, sono semplici ma buoni dispositivi facilmente utilizzabili, pratici, poco costosi: tutto l'inverso di ciò che normalmente si pensa per i sistemi che lavorano a microonde.

Per il circuito di figura 2, non serve alcuna flangia d'uscita né trombetta, nulla di nulla, come per lo schema di figura 1. Anche la distanza operativa è più o meno identica: circa venti centimetri dall'antenna ricevente, a tromba o a parabola ecc. ■

## BIBLIOGRAFIA

- (1) VHF COMMUNICATIONS 1/1979.
- (2) VHF HANDBOOK R.G.S.B.
- (3) The Radio Amateur's Handbook, anni 1967 e seguenti.
- (4) VHF BERICHT, Volume 10, 4/1978.
- (5) SELEZIONE RADIO TV ELETTRONICA HI-FI. Febbraio-marzo 1982 (articoli relativi alle microonde).

## Thomson: no ai videodischi sì ai VTR

**A**nche la Thomson si è disimpegnata dai videodischi di largo consumo che essa si proponeva di realizzare in collaborazione con partners giapponesi ed americani.

L'appuntamento con il mercato era fissato verso la metà degli anni Ottanta. Il nuovo management della Thomson, uno dei Gruppi Francesi di elettronica nazionalizzati, ha ritenuto di non dover disperdere ulteriori risorse in questo settore, pur riconfermando tutta la propria volontà nel costruire una forte posizione sul mercato dei prodotti elettronici di consumo.

La Thomson ha invece deciso di buttarsi sul mercato dei videoregistratori a cassetta per i quali ha concluso un accordo con i giapponesi della JVC (gruppo Matsuhita).

# DIODI PER FREQUENZE SUPERIORI A 1000 MHz

A cura di Gianni Brazioli

È comunissimo sentir affermare che “il futuro delle telecomunicazioni è nelle microonde”, e tale assunto non è affatto privo di verità. Conviene quindi, sin d'ora, conoscere quei dispositivi tipici che si usano a 1000 MHz ed oltre. Descriviamo qui di seguito i diodi Gunn, IMPATT e TRAPATT che sono elementi tipici per l'impiego SHF, con il minimo ricorso possibile alla fisica, e con un preciso riferimento alle applicazioni.

**I**l diodo di Gunn oscilla a resistenza negativa nel cosiddetto “tempo di transito”, utilizzando una semplice resistenza di carico. La sua efficienza, in tal modo, non è certo molto elevata: va dall'uno al cinque per cento, sicché serve molta energia CC per ricavare una bassa energia RF. Tuttavia, la semplicità d'impiego, fa largamente tollerare la lacuna detta. Il diodo di Gunn, in un certo senso appartiene a quella speciale categoria di “diodi oscillatori” che trova il suo capostipite nel diodo di Esaki, noto anche come “tunnel”.

Se si monta il diodo di Gunn in una cavità risonante, e lo si polarizza adeguatamente, si ottiene una efficienza molto migliore di quella “naturale” ed una certa possibilità di variare la frequenza di lavoro.

Le figure 1 e 2 mostrano due metodi per montare un Gunn in una cavità risonante. La prima, del tipo coassiale, è lunga mezza onda, mentre il terminale del diodo è posto ad un ottavo della lunghezza d'onda, come si vede nella figura 1. Un supporto conduttivo a forma di “chiodo” collega il diodo al positivo dell'alimentazione. Tale supporto è posto proprio al centro della cavità.

Per variare l'accordo, s'impiega una vite di sintonia. La detta, penetrando nel vano ne muta le dimensioni effettive ed offre una regolazione ben progressiva, anche se in una banda di frequenze abbastanza limitata.

L'oscillazione che ha luogo nella cavità, è portata all'esterno tramite una semispira rettangolare, parallela al supporto centrale. L'impedenza di cari-

co del Gunn, dipende dalla posizione della semispira, che deve essere regolata per il miglior compromesso tra la stabilità in frequenza e la potenza d'uscita.

Sebbene basilaramente semplice, la cavità coassiale comporta pur sempre dei problemi; si tratta di un sistema dal basso “Q”, sensibile a diversi fattori, come la temperatura e la variazione del

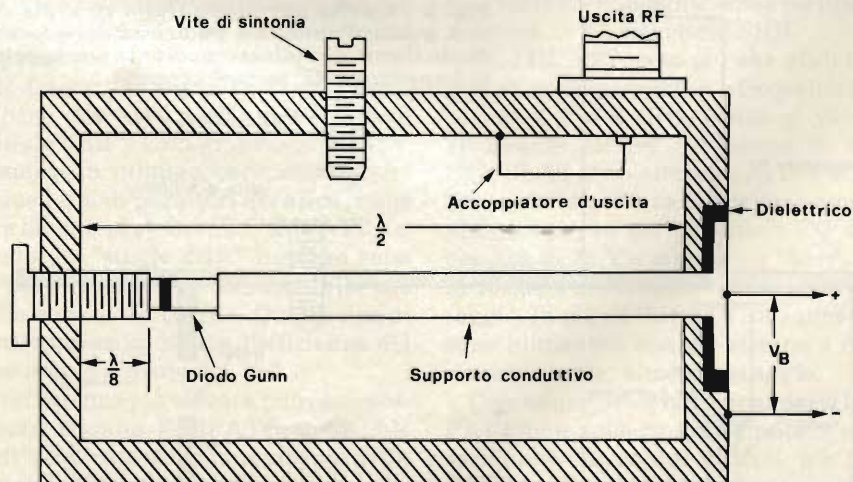


Fig. 1 - Sezione verticale di una cavità impiegante un diodo di Gunn. La cavità è a mezza onda, ed il diodo è posto ad un punto che equivale ad un ottavo della lunghezza d'onda.

carico. Il Gunn, inoltre, tende ad oscillare sulle armoniche della cavità.

Spesso, come cavità per i diodi Gunn s'impiegano delle guide d'onda rettangolari, con una estremità chiusa, (figura 2) e con il diodo collocato al punto *ad ottavo d'onda* come si vede nella figura 1. La polarizzazione per il Gunn giunge attraverso una speciale impedenza, che è calcolata per bloccare il segnale a microonda.

Le dimensioni della cavità, sono determinate con un partitore forato. Tale foro, vien detto dagli americani "iris" (iride) e dai tecnici italiani diaframma. Il diametro del diaframma, che serve come accoppiamento tra la cavità e la seguente guida d'onda, è un compromesso tra la massima potenza d'uscita e l'impedenza interna che si presenta al diodo Gunn.

### Il diodo IMPATT.

Il diodo IMPATT (IMPact Avalanche Transit Time), fu scoperto (ipotizzato) nel 1953 da W.T. Read nei laboratori della Bell. Il Read, ne spiegò il funzionamento dicendo che il ritardo in fase in una giunzione PN rispetto ad una tensione RF applicata, in presenza di una corrente di valanga, poteva essere impiegato per il funzionamento a resistenza negativa nelle microonde. Nel modello teorico di Read, i portatori di carica che si spostano attraverso una regione d'impoverimento, provocano la resistenza negativa. Dal modello teorico alla realizzazione pratica, comunque, passò molto tempo perchè

s'incontrarono molte difficoltà costruttive che furono risolte solo a metà degli anni '60 (!). Appunto, nel 1965, R.J. Johnson verificò il modello teorico di Read ricavando circa 80 mW di energia RF su 12 GHz con una giunzione PN del tipo detto. Il diodo di Read, per il funzionamento, dipende dall'impatto della valanga e dal tempo di transito, ed appunto proprio in base a questi fenomeni fu creato l'acronimo "IMPATT". In tempi più recenti, si scoprì che la struttura di Read era solo una delle tante che potevano sfruttare il funzionamento IMPATT.

La figura 3 mostra la curva corrente-tensione di un diodo PN. Ai fini pratici, si può prendere in esame solo il funzionamento nel tratto della polarizzazione inversa, come dire la regione nella quale "V" è inferiore a zero.  $V_i$  è una critica tensione di breakdown "VZ" nel tratto a polarizzazione inversa. Ai potenzimetri inferiori a questo valore, la corrente tramite la giunzione PN è solo una piccola intensità di perdita. La corrente però aumenta improvvisamente quando la tensione supera la "VZ"; a questo punto, la giunzione opera in valanga. L'aumento nell'intensità, è dovuto all'emissione secondaria o alla moltiplicazione a valanga, nella quale gli elettroni della corrente di perdita hanno un'elevata probabilità di entrare in collisione con gli altri elettroni. Il risultato è un aumento molto rapido nella corrente inversa. In un diodo normale per segnali, o rettificatore, il fenomeno della valanga è potenzialmente distruttivo. Certi tipi di diodi, tuttavia,

sono in grado di controllare la valanga con l'impiego di zone adeguatamente drogate. Per esempio, fanno parte della categoria i diodi Zener e tutti quelli a "valanga" controllata".

Si può ora considerare la struttura del diodo IMPATT che si vede nella figura 4. La giunzione PN che interes-

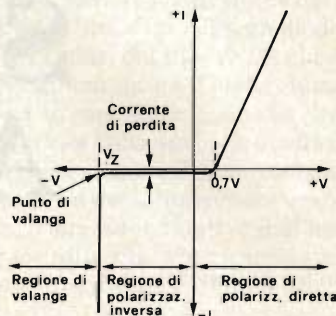


Fig. 3 - Curva della corrente in relazione alla tensione di un diodo PN formato per giunzione. È da notare l'elevatissima corrente inversa che interviene quando la tensione ha superato il punto di valanga  $V_Z$ .

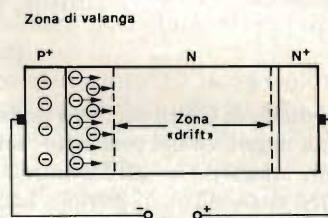


Fig. 4 - Struttura del diodo IMPATT. Gli elettroni generati nella zona di valanga, fluiscono attraverso la zona "Drift", nella zona "N".

sa, è posta sulla sinistra della struttura. È da notare che sul lato destro vi è una giunzione n-n+. La regione n+ forma un contatto a bassa resistenza per l'elettrodo, e previene la migrazione di ioni metallici (come nella struttura di Gunn) verso la regione attiva.

La regione centrale, è formata da materiale del tipo n, e rappresenta la zona attiva. Questa regione attiva deve essere drogata nella misura in cui serve per ottenere il completo svuotamento al valore di breakdown.

Gli elettroni generati nella zona di valanga del diodo IMPATT mostrato nella figura 4, scorrono della zona "drift" della regione n. In tal modo basta una leggera crescita nella tensione per avere un forte aumento nell'intensità.

Consideriamo una situazione nella

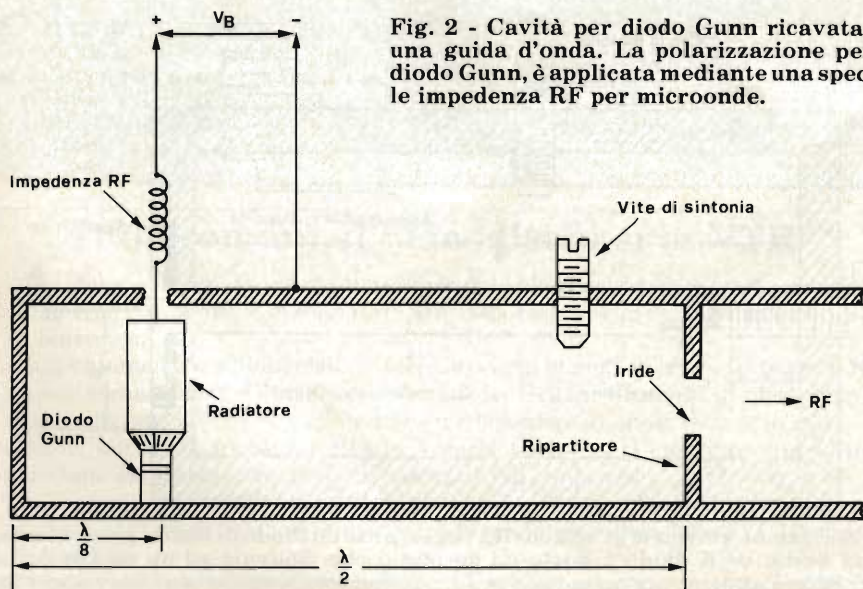


Fig. 2 - Cavità per diodo Gunn ricavata da una guida d'onda. La polarizzazione per il diodo Gunn, è applicata mediante una speciale impedenza RF per microonde.



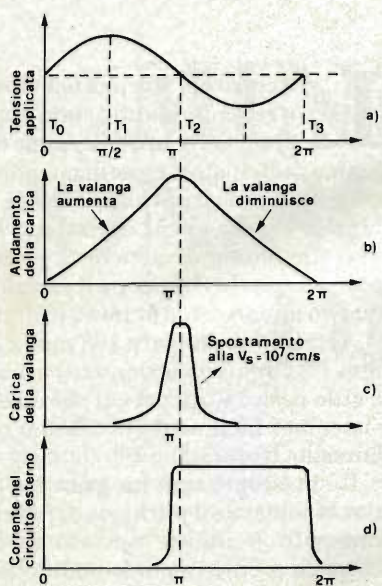


Fig. 5 - L'impulso di corrente in valanga (b) continua ad aumentare sino a dopo che la tensione RF ha raggiunto il valore di picco (a).

quale un dispositivo IMPATT è polarizzato ad un potenziale appena al di sotto della "VZ", come dire in un tratto della conduzione inversa ma non ancora al punto di valanga. È necessario scegliere quel livello di polarizzazione nel quale un piccolo aumento nel potenziale porta in valanga il dispositivo. Così assumiamo che l'IMPATT sia posto in parallelo con una cavità risonante ad alto Q (come dire che l'IMPATT è inserito in tale cavità). La giunzione PN polarizzata all'inverso, creerà un segnale-rumore che eccita ad impulsi il sistema accordato per l'oscillazione. La tensione RF prodotta dalla cavità, si assommerà alla polarizzazione, ed in tal modo il diodo andrà in valanga nei picchi positivi del segnale. Il numero di elettroni generato dalla moltiplicazione a valanga è funzione della tensione applicata (figura 5) e del numero di portatori di carica presenti. A causa della doppia dipendenza, gli impulsi della corrente di valanga (figura 5) continuano a crescere anche dopo che il ciclo della tensione RF ha oltrepassato il valore di picco. Durante tale procedimento, la densità delle cariche al punto di valanga crescono in modo esponenziale mentre l'intensità di valanga (figura 5/c) scorre verso l'altro estremo della zona "DRIFT".

Una domanda interessante: l'IMPATT produce una resistenza negati-

va? È da notare che la corrente raggiunge il picco (figura 5/c) quando la tensione sinusoidale RF attraversa lo zero (figura 5/a); si ha quindi un ritardo in fase di  $90^\circ$  nei confronti del picco di tensione.

Il criterio di base per il riscontro di una resistenza negativa, è una differenza in fase di  $90$  gradi o più, tra la tensione applicata e la corrente-serie; sicché si può concludere che anche l'IMPATT sia un sistema a resistenza negativa.

La corrente impulsiva nel circuito esterno della cavità (figura 5/d), rappresenta un ritardo nella corrente sulla tensione applicata, di più di  $90$  gradi.

La relazione tra i due fattori è mostrata nella figura 6. I due fattori si combinano in modo tale da provocare una corrente esterna positiva, durante l'escursione negativa della forma d'onda RF: il fenomeno è dato dal tempo di ritardo della valanga, e dal tempo di circolazione della carica della valanga. In tal modo, invece di assorbire ener-

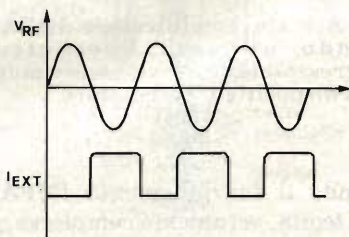


Fig. 6 - La corrente impulsiva nel circuito esterno alla cavità, è una sorta di onda quadra, ed il ritardo relativo, rispetto all'onda sinusoidale, è di oltre  $90^\circ$ .

gia, come una resistenza positiva, o ohmica, l'IMPATT offre una resistenza negativa.

Il dispositivo IMPATT che abbiamo appena descritto, è noto come sistema "single drift". Una giunzione PN funzionante in valanga, però, stimola ambedue i tipi di portatori di carica, come dire lacune ed elettroni. L'IMPATT, essendo un "single drift" impiega solamente gli elettroni, e respinge le lacune nella zona-p del catodo. Questo tipo di funzionamento, limita l'efficienza del dispositivo a meno del 15%.

Un'efficienza più elevata può essere ottenuta tramite l'IMPATT a "double drift", indicato schematicamente nella figura 7. Si tratta di una struttura  $p^+ - p - n - n^+$ , nella quale la valanga avviene nella giunzione PN.

La zona  $p^+$  serve come contatto ohmi-

co per le lacune portatrici di carica, mentre la regione  $n^+$  serve allo stesso scopo per gli elettroni. L'efficienza d'uscita è aumentata rispetto ai dispositivi "single drift" perchè le lacune attraversano la zona p quasi in fase con gli elettroni che attraversano la zona n.

## Applicazioni dei diodi IMPATT

Da ciò che abbiamo detto sin'ora, si è compreso (o almeno lo speriamo!) che un IMPATT ha come funzione naturale quella di oscillatore a microonde. Se si pone un IMPATT in un cavità risonante ad alto Q, e se lo si polarizza in cc ad un livello appena inferiore a quello di valanga, il rumore impulsivo nella cavità inizia a produrre un segnale RF a forma di sinusoide, che porta la giunzione IMPATT all'oscillazione nel modo detto. Il funzionamento IMPATT interviene perchè la tensione CC ed il segnale PF si sommano algebricamente, facendo andare il valanga il dispositivo durante i picchi dei cicli RF. Se il dispositivo è correttamente polarizzato, quindi, la giunzione lavora in valanga per la maggioranza del semiperiodo positivo RF.

Sebbene ora sia ancora più chiaro che l'IMPATT è un oscillatore, in grado di produrre dei consistenti impulsi alle frequenze comprese nel campo delle microonde è da dire che tale dispositivo, non è estremamente diffuso, perchè si tratta pur sempre di un dispositivo che produce un forte rumore (la valanga genera un importantissimo rumore bianco). Proprio per tale ragione, ad esempio, è molto difficile osservare un IMPATT impiegato come oscillatore locale in un ricevitore SHF.

Gli IMPATT sono più che altro impiegati come generatori a frequenze superiori a 3 o 4 GHz, e sino ai valori veramente elevati del genere di 100 GHz (!). Vi sono anche degli IMPATT dall'elevata potenza che devono essere alimentati con dei potenziali CC dell'ordine di 75 V e più, sino a 150 V; un fatto che a molti appare come un svantaggio. In più gli IMPATT, usualmente sono alimentati con dei sistemi a corrente costante, altro svantaggio.

Comunque, le applicazioni degli IMPATT non sono proprio limitate agli oscillatori. In alcuni articoli, gli IMPATT sono proposti come moltiplicatori di frequenza per microonde.

Vi sono poi degli altri IMPATT che sono impiegati come amplificatori, il

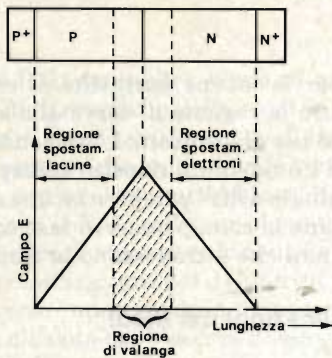


Fig. 7 - Dispositivo IMPATT del tipo "double drift". In questo speciale diodo, la regione di valanga è quella inclusa tra i tratteggi che comprendono parte della regione P e parte di quella N.

che ci sembra degno di nota. Taluni studiosi affermano che le più brillanti prestazioni, dagli IMPATT, si ricavano proprio negli amplificatori, piuttosto che negli oscillatori. Gli amplificatori IMPATT hanno un solo "port" (ingresso-uscita), cosicché occorre accoppiarli ad un "circolatore" per dividere l'ingresso e l'uscita dell'amplificatore, come si vede nella figura 8. Questo tipo di amplificatore, vien detto "amplificatore a riflessione".

### Il diodo "TRAPATT"

I diodi IMPATT da quando sono apparsi sulla grande "scena" dell'elettronica, in pratica, si sono sempre usati a frequenze superiori ai 3 o 4 GHz. In molti casi si vorrebbe il funzionamento a frequenze inferiori, ma ciò potrebbe essere ottenuto solo allungando la durata del tempo di transito. Sino al 1967, risultava molto difficile utilizzare dei dispositivi del genere per generare dei segnali dalla sufficiente potenza nella gamma attorno ai 1000 MHz (1 GHz). Tuttavia, appunto nel 1967, alcuni ingegneri che lavoravano in un centro di ricerche della RCA, riuscirono ad eccitare un dispositivo similare ad un IMPATT in modo diverso, producendo un tipo di lavoro "anomalo". Dopo una certa serie di prove, il gruppo riuscì ad ottenere dagli impulsi dalla potenza di 425 W con un'efficienza del 25%.

Con un successivo ciclo di lavoro sul nuovo sistema, si raggiunse un'efficienza del 60%, e sino al 75%. I sistemi in cavità sviluppati nel periodo detto dalla RCA, consentivano una sintonia continua tra 0,9 e 1,5 GHz.

Sembrava che il problema del tempo

di transito fosse risolto, ma in verità nessuno capiva come e perché!

Il nuovo sistema fu comunque sperimentato a lungo nella più assoluta segretezza, in attesa che qualcuno potesse elaborare una teoria di funzionamento attendibile. I ricercatori della RCA, definirono il tipo di lavoro del "quasi-IMPATT" curiosamente, cioè "anomalous mode" e chiunque comprende che tale indicazione si riferisce ad un comportamento... anomalo!

In seguito furono elaborati varie teorie; da parte della Bell Telephone si disse che l'elevata efficienza e la frequenza insolitamente bassa, potevano essere spiegate con il fatto che nel dispositivo si creava una sorta di "trappola per il plasma", che scorreva nei due sensi

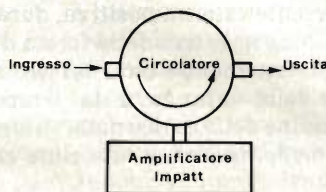


Fig. 8 - Un amplificatore IMPATT, avendo un solo bocchettone d'ingresso-uscita, deve essere munito di un dispositivo "circolatore".

secondo il funzionamento IMPATT. Tale teoria, veramente complessa, può essere sintetizzata, secondo il pensiero degli scienziati della Bell, con una sorta di trappola per il plasma che in parte scherma i portatori di carica dal campo esterno generato dalla tensione VCC, provocandone l'uscita dal plasma con un flusso a limitata velocità.

Proprio da tale analisi teoria discende il termine TRAPATT, significa (TRApped Plasma Avalanche Transit Time).

Attualmente, i TRAPATT sono in pieno uso, anche se si discute ancora di come funzionino veramente, e sono in grado di erogare decine e centinaia di W un poco più in basso o più in alto di 1000 MHz.

Se gli appassionati delle microonde gradiscono questa tematica, descriveremo le applicazioni con tutti i dati pratici che servono in un prossimo articolo, magari anche aggiungendo le note relative al modernissimo diodo di BARRIT.

La corsa per il primo televisore a schermo piatto è stata vinta dalla Sony la quale, come abbiamo anticipato il mese di maggio, è riuscita a realizzare un televisore in bianco e nero il cui cinescopio ha una diagonale di appena 2 pollici (circa 5 cm). In Giappone il prezzo di questo apparecchio è circa 240 dollari. Il televisore misura 198 mm x 87 mm x 33 mm; con le quattro batterie a stilo pesa 540 gr. per cui può essere sistemato facilmente in tasca o nel borsello. (figura 1).

Il cinescopio non ha gran che di rivoluzionario; il principio di funzionamento è infatti ancora quello classico a parte alcune modifiche a cui accenneremo più avanti. I principi e le tecnologie fino ad oggi impiegate per la realizzazione di cinescopi a schermo piatto sono molto differenti tra loro: vanno infatti dai cristalli liquidi al fenomeno dell'elettroluminescenza, dalla fluorescenza nel vuoto ai diodi emettitori di luce (LED). Queste tecnologie sono state impiegate di volta in volta dalla Toshiba, dalla Sanyo, dalla Sharp, dalla Matsushita e dalla Hitachi per citare le principali. In Europa, la Sinclair Research sta sviluppando un tubo a raggi catodici basato sullo stesso principio di quello della Sony; questo tubo verrà introdotto sul mercato alla fine di quest'anno.



Fig. 1 - La Sony, nonostante sia partita con la tecnologia dello schermo gigante, ha ora realizzato un cinescopio a schermo piatto di dimensioni estremamente ridotte. Il televisore nel quale questo cinescopio viene impiegato, misura infatti 198 x 87 x 33 mm.

NOTA: L'articolo è rielaborato dal testo "Solid State Devices for 1 GHz..." Radio Electronics, agosto 1981, pag. 61.

# MINITELEVISORE CON SCHERMO PIATTO DELLA SONY

a cura della Redazione

La Sony ha realizzato il suo minicinescopio a schermo piatto non introducendo un nuovo sistema di funzionamento, ma piuttosto disponendo in maniera diversa gli elementi attualmente impiegati nei convenzionali cinescopi. Nel cinescopio della Sony, (figura 2) il collo con dentro il cannone è disposto parallelamente allo schermo a fosfori; a differenza dei cinescopi convenzionali nei quali il cannone, e pertanto anche il collo, sono disposti lungo una linea perpendicolare allo schermo. Il cannone elettronico emette pertanto un fascio di elettroni lungo una linea parallela allo schermo. Questo fascetto, focalizzato e deflesso, andrà poi a colpire lo schermo, come spiegheremo più avanti.

In un cinescopio convenzionale lo schermo con fosfori si trova nella parte anteriore del tubo; in questo cinescopio si trova invece nella parte posteriore.

La parte anteriore del tubo della Sony è costituita da una semplice "finestra" attraverso la quale l'utilizzatore può vedere l'immagine formata sullo schermo a fosfori locato posteriormente.

Per risparmiare energia, la deflessione verticale è realizzata per via elettrostatica. Le placchette per la deflessione verticale sono in ferrite, e di conseguenza contribuiscono a potenziare il circuito magnetico della deflessione orizzontale con il risultato finale di ridurre la potenza di deflessione di riga al valore di appena di 150 mW.

Il problema principale da risolvere in questo cinescopio con schermo piatto è quello di riuscire a curvare il fascetto di elettroni in modo che vada a colpire lo schermo che, come

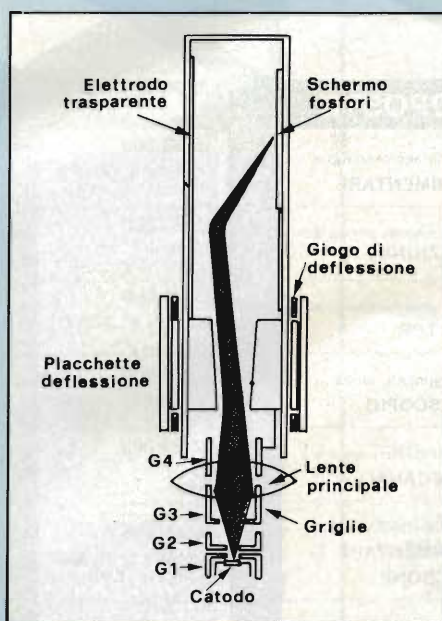


Fig. 2 - Struttura interna del cinescopio a schermo piatto realizzato dalla Sony. Il fascetto di elettroni viene deflesso lateralmente andando a colpire lo schermo a fosfori, a causa delle differenze di potenziale tra l'elettrodo trasparente anteriore (finestra) e lo schermo a fosfori posteriore.

abbiamo detto, si trova parallelo alla sua direzione. Nel nuovo cinescopio, la tensione di accelerazione applicata allo schermo ha il valore di 5,5 kV. Sulla "finestra" anteriore (o elettrodo trasparente) situata davanti allo schermo a fosfori viene applicata una tensione di 4,5 kV; la differenza di potenziale di 1 kV tra queste due superfici (elettrodi) fa sì che il fascetto di elettroni, pur partendo da un cannone parallelo allo schermo, possa poi dirigersi verso lo schermo a fosfori.

In pratica, per realizzare la curvatura del fascetto si collega una placchetta di deflessione verticale direttamente al rivestimento conduttore trasparente (finestra) mentre l'altra placchetta viene collegata a G<sub>4</sub>, e cioè all'ultima griglia del cannone. Siccome la tensione di questa seconda placchetta varia nella misura di  $\pm 150$  V rispetto alla tensione-base di 4,5 kV, ad opera del dente di sega della scansione verticale, anche la tensione presente sulla griglia G<sub>4</sub> varierà proporzionalmente.

Il tubo è stato progettato in maniera che la focalizzazione dinamica prodotta dalla variazione della tensione presente, su G<sub>4</sub> provveda a compensare proporzionalmente anche la variazione di lunghezza che il fascetto di elettroni subisce durante la deflessione.

Un inconveniente caratteristico degli schermi piatti è la distorsione a trapezio la quale fa sì che la parte superiore dell'immagine sia più larga di quella in basso. Per correggere la distorsione a trapezio, la Sony ha sviluppato un nuovo circuito integrato.

Nel ricevitore sono stati impiegati altri cinque circuiti integrati. Per guadagnare spazio si è fatto ovviamente largo impiego di componenti chip. In condizioni di funzionamento normale, questo minuscolo televisore richiede 1,8 W ad una tensione di 6 V. Con quattro pile a stilo è possibile utilizzare il televisore per 2 ore e mezzo continuative. Volendo ascoltare soltanto l'audio di una data trasmissione, è possibile eliminare il video: il ché consente di utilizzare ancora per 12 ore e mezzo l'apparecchio.

L.C.

# ABBONARSI. UNA BUONA ABITUDINE. 31 PROPOSTE TUTTE VAN

Ogni rivista JCE è "leader" in-  
discusso nel settore specifico,  
grazie alla ultra venticinquennale  
tradizione di serietà editoriale.

**Sperimentare** è la più fanta-  
siosa rivista italiana per appas-  
sionati di autocostruzioni elettro-  
niche. Una vera e propria miniera  
di "idee per chi ama far da sé". I  
migliori progetti sono disponibili  
anche in kit.

**Selezione di Tecnica** è da de-  
cenni la più apprezzata e diffusa  
rivista italiana di elettronica per  
tecnici, studenti e operatori. È  
considerata un testo sempre ag-  
giornato. Dal 1982 si caratteriz-  
zerà di più come raccolta del me-  
glio pubblicato sulla stampa tec-  
nica internazionale.

**Elektor**, la rivista edita in tutta  
Europa che interessa tanto lo  
sperimentatore quanto il profes-  
sionista di elettronica. Elektor sti-  
mola i lettori a seguire da vicino  
ogni progresso in elettronica e  
fornisce i circuiti stampati dei  
montaggi descritti.

**Millecanali** la prima rivista ita-  
liana di broadcast, creò fin dal  
primo numero scalpore ed inter-  
resse. Oggi, grazie alla sua indis-  
cussa professionalità, è la rivis-  
ta che "fa opinione" nell'affasci-  
nante mondo delle radio e televi-  
sioni.

**Il Cinescopio**, l'ultima nata  
delle riviste JCE è in edicola dal  
1981. La rivista tratta mensilmen-  
te i problemi dell'assistenza radio  
TV e dell'antennistica. Un vero  
strumento di lavoro per i radiote-  
leriparatori, dai quali è largamen-  
te apprezzata.

PROPOSTE	TARIFFE	PROPOSTE	TARIFFE
1) Abbonamento annuo a <b>SPERIMENTARE</b>	L. 23.500 anziché L. 30.000 (estero L. 33.500)	14) Abbonamento annuo a <b>ELEKTOR + MILLECANALI</b>	L. 51.000 anziché L. 66.000 (estero L. 74.000)
2) Abbonamento annuo a <b>SELEZIONE</b>	L. 23.000 anziché L. 30.000 (estero L. 33.000)	15) Abbonamento annuo a <b>CINESCOPIO + MILLECANALI</b>	L. 52.500 anziché L. 66.000 (estero L. 74.500)
3) Abbonamento annuo a <b>ELEKTOR</b>	L. 24.000 anziché L. 34.000 (estero L. 34.000)	16) Abbonamento annuo a <b>SPERIMENTARE + SELEZIONE + ELEKTOR</b>	L. 66.500 anziché L. 90.000 (estero L. 97.000)
4) Abbonamento annuo a <b>CINESCOPIO</b>	L. 24.500 anziché L. 34.500 (estero L. 34.500)	17) Abbonamento annuo a <b>SPERIMENTARE + SELEZIONE + CINESCOPIO</b>	L. 67.500 anziché L. 90.000 (estero L. 97.500)
5) Abbonamento annuo a <b>MILLECANALI</b>	L. 29.000 anziché L. 42.000 (estero L. 42.000)	18) Abbonamento annuo a <b>SPERIMENTARE + SELEZIONE + MILLECANALI</b>	L. 71.500 anziché L. 96.000 (estero L. 104.500)
6) Abbonamento annuo a <b>SPERIMENTARE + SELEZIONE</b>	L. 44.500 anziché L. 60.000 (estero L. 64.500)	19) Abbonamento annuo a <b>SPERIMENTARE + ELEKTOR + CINESCOPIO</b>	L. 68.500 anziché L. 90.000 (estero L. 98.500)
7) Abbonamento annuo a <b>SPERIMENTARE + ELEKTOR</b>	L. 46.000 anziché L. 60.000 (estero L. 66.000)	20) Abbonamento annuo a <b>SPERIMENTARE + SELEZIONE + MILLECANALI</b>	L. 72.500 anziché L. 96.000 (estero L. 106.000)
8) Abbonamento annuo a <b>SPERIMENTARE + CINESCOPIO</b>	L. 46.500 anziché L. 60.000 (estero L. 66.500)	21) Abbonamento annuo a <b>SPERIMENTARE + CINESCOPIO + MILLECANALI</b>	L. 74.000 anziché L. 96.000 (estero L. 107.500)
9) Abbonamento annuo a <b>SPERIMENTARE + MILLECANALI</b>	L. 51.500 anziché L. 66.000 (estero L. 73.500)	22) Abbonamento annuo a <b>SELEZIONE + ELEKTOR + CINESCOPIO</b>	L. 68.000 anziché L. 90.000 (estero L. 98.000)
10) Abbonamento annuo a <b>SELEZIONE + ELEKTOR</b>	L. 45.000 anziché L. 60.000 (estero L. 65.000)	23) Abbonamento annuo a <b>SELEZIONE + ELEKTOR + MILLECANALI</b>	L. 72.000 anziché L. 96.000 (estero L. 105.000)
11) Abbonamento annuo a <b>SELEZIONE + CINESCOPIO</b>	L. 45.500 anziché L. 60.000 (estero L. 65.500)		
12) Abbonamento annuo a <b>SELEZIONE + MILLECANALI</b>	L. 50.000 anziché L. 66.000 (estero L. 73.000)		
13) Abbonamento annuo a <b>ELEKTOR + CINESCOPIO</b>	L. 47.000 anziché L. 60.000 (estero L. 67.000)		

**Attenzione:** per effettuare l'abbonamento alle riviste J.C.E. utilizzare il modulo inserito in fondo alla rivista.



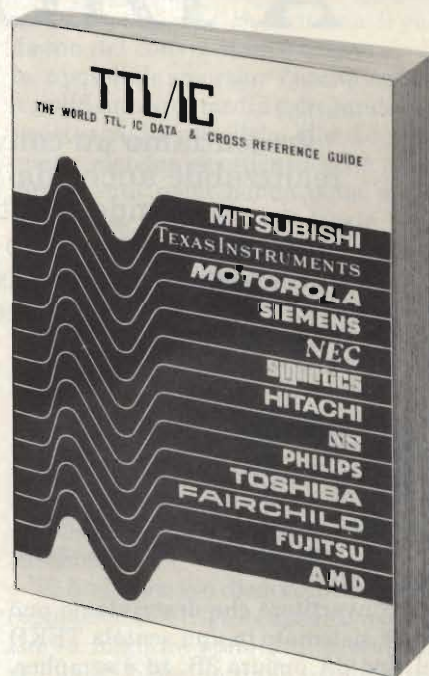
# TAGGIOSE.

## PROPOSTE

## TARIFFE

24) Abbonamento annuo a <b>SELEZIONE + MILLECANALI + CINESCOPIO</b>	<b>L. 73.000</b> anziché L. 96.000 (estero L. 105.500)
25) Abbonamento annuo a <b>ELEKTOR + CINESCOPIO + MILLECANALI</b>	<b>L. 73.500</b> anziché L. 96.000 (estero L. 106.500)
26) Abbonamento annuo a <b>SPERIMENTARE + SELEZIONE + ELEKTOR + CINESCOPIO</b>	<b>L. 89.000</b> anziché L. 120.000 (estero L. 129.000)
27) Abbonamento annuo a <b>SPERIMENTARE + SELEZIONE + CINESCOPIO + MILLECANALI</b>	<b>L. 94.000</b> anziché L. 126.000 (estero L. 137.000)
28) Abbonamento annuo a <b>SPERIMENTARE + ELEKTOR + CINESCOPIO + MILLECANALI</b>	<b>L. 95.000</b> anziché L. 126.000 (estero L. 138.000)
29) Abbonamento annuo a <b>SPERIMENTARE + SELEZIONE + ELEKTOR + MILLECANALI</b>	<b>L. 93.500</b> anziché L. 126.000 (estero L. 136.500)
30) Abbonamento annuo a <b>SELEZIONE + ELEKTOR + CINESCOPIO + MILLECANALI</b>	<b>L. 94.500</b> anziché L. 126.000 (estero L. 137.500)
31) Abbonamento annuo a <b>SPERIMENTARE + SELEZIONE + ELEKTOR + CINESCOPIO + MILLECANALI</b>	<b>L. 112.000</b> anziché L. 156.000 (estero L. 165.000)

## Guida mondiale dei circuiti integrati TTL



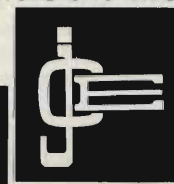
Cod. 6010  
L. 20.000 (Abb. L. 18.000)

Il prontuario fornisce le equivalenze, le caratteristiche elettriche e meccaniche di pressoché tutti gli integrati TTL sinora prodotti dalle principali case europee, americane e giapponesi.

I dispositivi Texas, Fairchild, Motorola, National, Philips, Signetics, Siemens, Fujitsu, Hitachi, Mitsubishi, Nec, Toshiba, Advanced Micro Deviced, sono confrontati tra loro all'interno di ogni famiglia proposta.

Per facilitare la ricerca o la sostituzione del dispositivo in esame, è possibile anche consultare il manuale a seconda delle funzioni svolte nei circuiti applicativi.

Rappresenta, quindi, un indispensabile strumento di lavoro per tutti coloro che lavorano con i TTL.



Per ordinare questo volume utilizzare l'apposito tagliando inserito in fondo alla rivista.

# CONVERTITORE MISCELATORE A DIODI SCHOTTY

di B. Lubbe, DJ 5 XA

Presentiamo un convertitore per la banda dei "70 centimetri" semplice e realizzabile anche da appassionati non molto profondi in fatto di montaggi per onde "centimetriche". Siccome i circuiti UHF degli stadi preamplificatori sono tutti in "microstripline" (stampati), non è necessario preformare cavità, sistemi risonanti, ed insomma intraprendere quel gran lavoro meccanico che è d'obbligo per altri apparecchi.

**M**olti radioamatori, in Italia, hanno "riscoperto" la banda dei 70 centimetri (che sembra sia in predicato anche per gli impieghi CB), quindi l'interesse relativo è assai aumentato.

Il convertitore che descriviamo può essere sistemato in una scatola TEKO del tipo 3A oppure 3B, ed è semplice, affidabile. Con l'ingresso per la banda delle telecomunicazioni che corre tra 423 e 434 MHz, ha un'uscita per 27 - 30 MHz; il complesso è però impiegabile anche per la banda ATV (televisione d'amatore) compresa tra 434,25 e 439,75 MHz, con un valore di media frequenza di 48,5 MHz (Canale 2, TV CCIR).

## Descrizione del circuito

Lo schema elettrico del convertitore è ben visibile alla *figura 1*. Il complesso utilizza due stadi preamplificatori che

impiegano i vecchi-ma-sempre-buoni transistori al germanio AF239. A molti lettori, questi transistori sembreranno davvero superati, specie per l'utilizzo in un complesso munito di diodi Schotty; tuttavia, l'autore ha compiuto molte prove con dei recentissimi elementi al silicio NPN UHF, da cui non sono risultati quei vantaggi che sembrava fosse quasi necessario attendersi. L'unico grande incremento è stato constatato nelle spese, visti i prezzi di tali transistori alternativi.

Il transistore AF239 è reperibile pressochè ovunque a *basso* prezzo. Comunque i fatti parlano da soli; il convertitore manifesta una figura di rumore molto buona, che all'incirca è inferiore di 0,2 dB a quella del miglior apparecchio di realizzazione industriale presente sul mercato al momento della stesura dell'articolo.

Si sono provati anche i transistori AF 279, nel preamplificatore UHF, ed

hanno dato risultati complessivamente buoni, ma lo stadio d'ingresso, equipaggiato con l'AF 279, mostra una tendenza molto maggiore all'autooscillazione.

Basilarmente dicendo, gli stadi preamplificatori UHF che s'impiegano in questo convertitore, sono simili a quelli descritti nella bibliografia (1). Non servono quindi molti altri commenti. (Si veda la nota che precede i riferimenti bibliografici).

Lo stadio miscelatore impiega due diodi Schotty del tipo HP 2800, che lavorano in controfase. Sono pilotati a bassa impedenza sia dal lato dell'ingresso del segnale d'antenna che da quello dell'oscillatore locale. La tensione dell'oscillatore è portata al mixer tramite un accoppiatore a 50  $\Omega$  in stripline, e due condensatori da 27 pF.

L'iniezione del segnale dell'oscillatore locale su di una bassa impedenza, offre il vantaggio che è possibile impiegare anche oscillatori diversi, per questo medesimo convertitore (ad esempio, è possibile ricavare il segnale da un sistema a conversione per trasmettitori).

Se si vuole utilizzare praticamente questa opzione, si collegherà direttamente un cavo coassiale dall'impedenza di 50  $\Omega$  alla stripline, le parti dell'oscillatore locale saranno semplicemente omesse, o in alternativa si interromperanno le piste dell'oscillatore (alimentazione, uscita) sullo stampato. Il preamplificatore UHF ed il mixer, for-

## CARATTERISTICHE

Alimentazione (c.c.):	12V (11 - 14V).
Corrente assorbita:	~ 20 mA
Guadagno complessivo:	~ 36 dB
Banda passante a -3 dB dei circuiti UHF:	~ 30 MHz
Banda passante dell'amplificatore di media frequenza:	a 30 MHz, 3 MHz, a 50 MHz; 7 MHz.
NF, cifra di rumore:	4 dB
Reiezione all'immagine impiegando una media frequenza a 30 MHz:	> 50 dB.

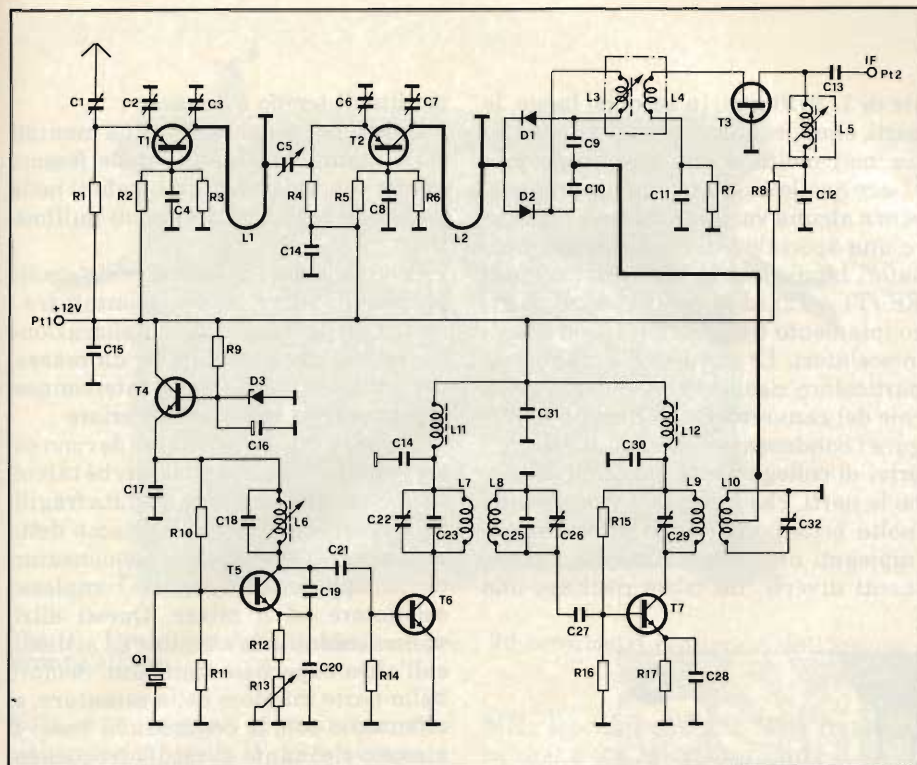


Fig. 1 - Schema elettrico completo del convertitore "micro-strip" per i settanta centimetri, munito di miscelatore a diodi Schottky.

## ELENCO COMPONENTI

T1-T2	= AF239, AF239S.
T3	= BF245 C, oppure E 300 o altro FET similare.
T4	= BC107, BC172, BC182, BC413, BCY 58 o altro transistor NPN similare.
T5-T7	= BF224 (Texas) oppure BF173 o BF199 (Siemens).
D1-D2	= HP 2800, HP 2811, HP 2817 o altri diodi Schottky similari.
D3	= BZY 83/C9V1 o altro diodo zener da 9,1V.
Q1	= quarzo da 67,333 MHz (UC-6U) per la media frequenza a 28 - 30 MHz, oppure a 64,333 MHz per la media frequenza a 48,25 MHz.
L1-L2	= striplines, si veda la figura 2.
L3-L5	= Bobine avvolte su supporti speciali. Il numero delle spire dato di seguito è valido per la conversione a 27-30 MHz, mentre il valore tra parentesi, si riferisce al valore di 48,25 MHz.
L3	= 14 spire (10 spire) di filo da 0,3 mm in rame smaltato.
L4	= 7 spire (5 spire) di filo da 0,3 mm in rame smaltato.
L5	= 22 spire (18 spire) di filo in rame smaltato da 0,3 mm.
L6	= 4,75 spire di filo in rame argentato da 0,8 mm, avvolto su supporto da 5 mm di diametro esterno, munito di nucleo per VHF (marrone).
L7-L8	= 2 spire di filo in rame argentato da 0,8 mm avvolte in aria con un diametro interno di 5 mm, avvolgimenti sollevati di circa 5 mm dal circuito stampato.
L9-L10	= 2 spire in filo di rame argentato da 0,8 mm, avvolte in aria con un diametro interno di 4 mm; avvolgimenti sollevati di circa 3 mm dal circuito stampato. Presa sulla L10: ad una spira dal capo freddo.
L11-L12	= 3,5 spire di filo da 0,4 mm in rame smaltato, avvolte su di una perla di ferrite (VK 200).
C1-C5-C6	
C22-C26	= trimmer ceramici o isolati in plastica da 3,5/13 pF. Diametro 7 mm.
C2-C3-C7	
C29-C32	= trimmer come sopra ma da 2,5/6 pF.
C4-C8	= condensatori ceramici in chip (privi dei collegamenti) da 1000 pF.
C9-C10	= condensatori come C4, C8, ma da 22-30 pF (valore non critico).
C13	= 15 pF per il valore di media frequenza di 27-30 MHz (10 pF per media frequenza a 48,25 MHz).
C16	= condensatore elettrolitico al tantalio (goccia) da 1 µF.
Tutti gli altri condensatori sono ceramici a disco con una spaziatura tra i terminali di 5 mm.	
Tutte le resistenze sono da 1/4 di W al 5%, ed è possibile prespaziarle (piegando i terminali) a 12,5 mm.	
R13	= Potenziometro trimmer da 2500 Ω per montaggio verticale.

mano tutto un blocco che può essere impiegato anche in altri sistemi, rice-trasmittitori e transverter, secondo la bibliografia (2).

Il miscelatore è seguito da un preamplificatore di media frequenza che utilizza un FET connesso con il gate a massa. Tale stadio prima di tutto compensa le perdite di conversione, ed inoltre eroga un pilotaggio sufficiente per i ricevitori meno sensibili che saranno collegati all'uscita. Se, tuttavia, il guadagno del convertitore è troppo elevato, è possibile smorzare l'uscita del preamplificatore di media collegando una resistenza in parallelo alla L5. Con questo sistema si ottiene anche un allargamento nella banda della media frequenza. L'oscillatore locale comprende tre stadi che utilizzano l'economico transistor BF 224.

Tale circuito è molto simile a quello in precedenza progettato dal radioamatore DJ 4 LB 003, con l'eccezione che l'ultimo stadio è stato tolto. Il tutto si può definire classico. Lo stadio oscillatore vero e proprio (T5) è un Pierce, ed il punto d'innesco e di lavoro è stabilito tramite R13. T6 e T7 sono moltiplicatori di frequenza accoppiati tramite filtri passabanda.

T6 ha l'ingresso disaccordato, e l'accoppiatore con il T5 è capacitivo (C21). Per la migliore stabilità, la tensione dello stadio oscillatore è regolata tramite lo stadio T4, del tutto consueto. La corrente dello zener D3 può essere compresa tra 2 e 5 mA, cosicché il rumore prodotto è basso, e non contribuisce ad inquinare quello complessivo dell'apparecchio.

L'accoppiatore tra il T7, ed il convertitore, è del tipo a partitore capacitivo.

## Realizzazione

È prevista la basetta stampata DJ A XA 003, reperibile già pronta (si veda le note in calce). Tale supporto, doppio ramato, lo si vede nella figura 2. La migliore "scaletta" per l'assemblaggio è la seguente: prima conviene montare tutte le resistenze, poi i condensatori, poi ancora i compensatori. Di seguito, diodi e transistori, ed infine le induttanze, i filtri passabanda (realizzati come si vedrà tra poco), le varie impedenze RF ed infine il cristallo. La R8, (da 22 Ω), deve essere "sollevata" di circa 5 mm dallo stampato, perchè non vi siano interferenze di campo con le stripline (piste risonanti, come abbiamo già detto). La superficie dello stampato che

comprende le striplines, è quella superiore (in nero pieno).

L'altra, che ha un piano di massa molto più ampio, raccoglie i terminali delle parti che non sono direttamente interessate ai segnali UHF. Come è stato detto in precedenza, sebbene questo sia un montaggio teoricamente già raffinato, e sempre in via dottrinale, per poche persone già molto abili, in pratica si osserva il contrario; chiunque lo può realizzare se impiega i mezzi adatti.

I mezzi, sono prima di tutto lo stampato a doppio rame di *figura 2*, in vetronite UHF verde chiara, dallo spessore di 1,5 mm, eseguito con la fotoincisione per avere uno scarto massimo nelle pi-

ste di 1/10 di mm; in secondo luogo, le parti, che saranno elencate in dettaglio tra non molto, e che devono proprio essere quelle originariamente previste, senza alcuna variante. Si deve applicare una speciale attenzione ai compensatori bipass per le basi dei due stadi RF (T1 e T2) ed ai condensatori di accoppiamento tra le striplines ed i diodi miscelatori. Le parti dette, hanno un particolare risalto nella riuscita generale del convertitore. Si devono impiegare i condensatori cosiddetti "chips", privi di collegamenti, saldabili da ambo le parti, che i tecnici TV conoscono molto bene perchè sono diffusamente impiegati nei tuners. L'impiego di elementi diversi, ha come risultato una

perdita di tempo e denaro.

Questi condensatori, vanno montati sullo stampato segnando delle fessure adatte con un archetto da traforo nella posizione esatta al decimo di millimetro.

I condensatori di bipass per lo stadio preamplificatore, vanno montati tra i reofori della base e la metallizzazione superiore, che serve anche da massa, nei punti segnalati, con le interconnessioni verso la ramatura inferiore.

I condensatori in "chips" devono essere montati con cautela, perchè talvolta dimostrano una pronunciata fragilità meccanica. Ciò che abbiamo detto vale egualmente per i due condensatori di accoppiamento tra il complesso oscillatore ed il mixer. Questi altri, vanno saldati alla stripline ed ai diodi, sull'altra superficie stampata. Sempre nella parte inferiore della ramatura, si effettuano solo le connessioni verso il circuito risonante di media frequenza.

Le induttanze che fanno parte del filtro di media, impiegano uno speciale kit di supporti che è disponibile presso la Ditta "Radio Communications" indicata in calce.

Tali supporti impiegano sei terminali, e si devono tagliar via i due centrali; nella *figura 3*, che illustra il piazzamento delle parti, si osserva il giusto orientamento per i terminali.

### Il funzionamento come convertitore ATV

È possibile scegliere una media frequenza di 48,25 MHz, per questo convertitore, si da poterlo collegare a qualunque televisore domestico che preveda un tuner in grado di captare i canali 3 o 4 CCIR TV, Banda I. Eventualmente, è sempre possibile modificare un vecchio televisore in bianco e nero, che nell'usato, è reperibile a cifre irrisorie, ed in tal modo si otterrà una efficiente stazione monitor ATV (per televisione d'amatore).

I cristalli che risuonano su 60 MHz o simili, in tal caso non possono essere impiegati perchè possono produrre delle interferenze nel televisore. Comunque, i dettagli di regolazione per il funzionamento ATV sono riportati nel capoverso 4. L'oscillatore funziona ad una frequenza più bassa di quella d'entrata per assicurare che si abbia la corretta posizione anche sulla banda laterale. Se la portante ATV è direttamente convertita al valore standard di media frequenza TV corrispondente a 38,9

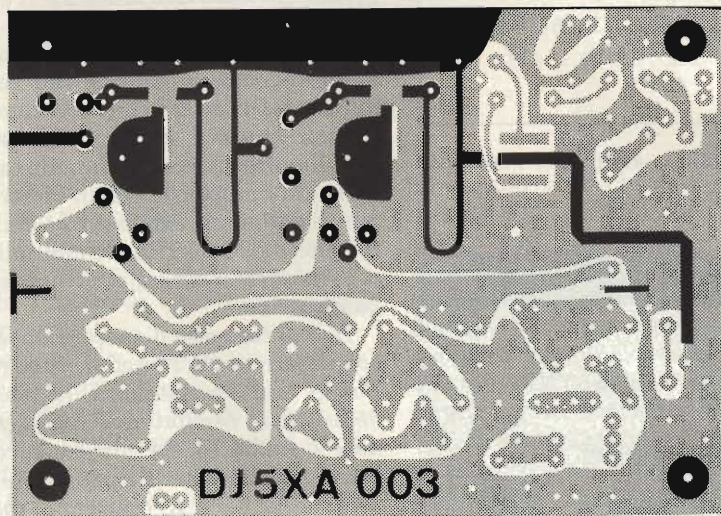


Fig. 2 - Base doppia ramata per il convertitore, codice DJ 5 XA 003.

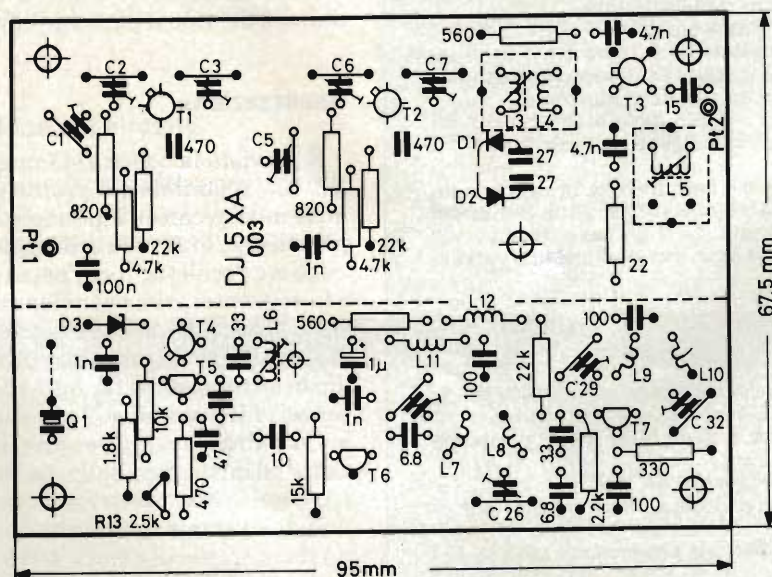


Fig. 3 - Piazzamento delle parti sulla base stampata DJ 5 XA 003.



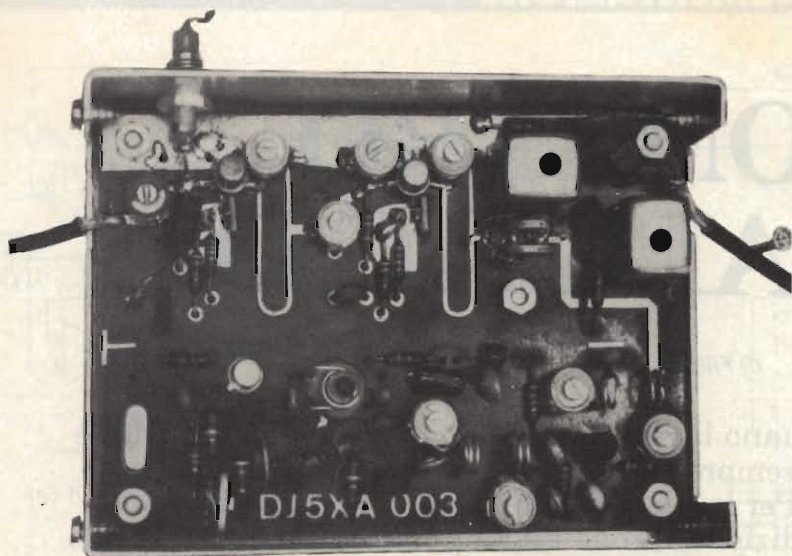


Fig. 4 - Prototipo del convertitore per i 70 centimetri realizzato dall'autore e pronto all'uso.

MHz, e se i segnali sono unicamente elaborati dal canale IF del televisore, è assolutamente necessario che l'oscillatore (per "oscillatore" s'intende sempre l'intero blocco oscillatore) lavori al di sopra della frequenza d'ingresso.

Altri dettagli per questo tipo di funzionamento sono riportati nella bibliografia (2).

#### Funzionamento in un transverter o in un ricetrasmittitore

Se il convertitore deve essere impiegato in un transverter o ricetrasmittitore, che mette a disposizione di continuo il segnale dell'oscillatore locale, è possibile segare la basetta lungo l'asse tratteggiata che si vede nella figura 3, assemblando poi i soli stadi preamplificatori UHF, convertitore, preamplificatore di media.

Il collegamento con l'oscillatore locale, sarà fatto impiegando un cavo da 50  $\Omega$  che colleghi la stripline di conversione alla sorgente. Il conduttore interno "caldo" sarà connesso alla pista, e la calza schermante alla massa generale sulla superficie inferiore della basetta. La potenza che si richiede all'oscillatore locale va da 1 a 5 mV.

#### Taratura

Una volta completato il montaggio del convertitore gli si applicherà la tensione d'alimentazione, 12V, tra il P1 e la massa. L'oscillatore e gli stadi moltiplicatori vanno regolati alla frequenza esatta di lavoro con l'impiego di un dipmeter. Nella versione standard del convertitore, queste frequenze sono 67,333

MHz (oscillatore), 202 MHz (moltiplicatore) e 404 MHz (duplicatore).

Se l'apparecchio deve essere impiegato come convertitore per ATV i valori saranno invece di 64,333 MHz (oscillatore), 193 MHz (triplicatore) e 386 MHz (duplicatore). Il trimmer d'innescio R13 sarà posto a metà corsa. Una volta che ci si sia accertati che l'oscillatore funzioni stabilmente, il segnale di media frequenza può essere controllato su di un ricevitore professionale per onde corte, su di un radiotelefono impiegato in ricezione o su di un televisore. All'ingresso si collegherà un'antenna per i 70 cm. o un generatore di segnali.

In tali condizioni si regoleranno ap-

rossimativamente gli accordi del preamplificatore di media frequenza per udire il massimo segnale o il massimo brusio nel ricevitore. Si regoleranno poi i circuiti stripline impiegando i compensatori previsti.

La taratura fine, sarà eseguita con un segnale relativamente basso, al centro della banda.

Con diverse e successive manovre alternate, si ricaverà il massimo guadagno sull'intera banda prevista. Nel caso d'impiego come convertitore ATV, l'allineamento deve essere eseguito per ricavare la miglior immagine, come dire per il minimo "overshoot" per il miglior dettaglio e contrasto, nonché per la più elevata risoluzione. Se il costruttore non dispone di strumenti di misura per i settanta centimetri, e non si captano segnali ATV, è possibile effettuare l'allineamento impiegando la terza armonica di un oscillatore o di un trasmettitore per i due metri.

Se nei pressi vi è un trasmettitore TV, o ripetitore, che funzioni nelle UHF, non lontano dai 70 centimetri, è possibile che intervengano dei fenomeni di intermodulazione; in tal caso, si inserirà un filtro passabanda nella discesa d'antenna.

L'allineamento va completato regolando ancora meglio il trimmer R13 (innescio). Questo ultimo lavoro si farà in presenza di un segnale ricevuto dall'ampiezza importante (50  $\mu$ V), che ricade al centro-banda. L'R13 è ben agguistato quando il segnale all'uscita non aumenta più. ■

#### NOTA:

(1) L'articolo è un condensato del testo apparso su "VHF COMMUNICATIONS" Volume 7, pag. 83 e seguenti, per gentile concessione del sig. Franco Armenghi, detentore del copyright per l'Italia.

(2) Il kit completo del convertitore, e le sole parti principali, come circuito stampato, semiconduttori, supporti degli avvolgimenti ecc, possono essere richiesti alla Ditta: Radio Communications, Via Sigonio 2, - 40137 Bologna, Tel. (051) 34 56 97.

#### BIBLIOGRAFIA

NOTA: I riferimenti bibliografici che seguono, sono piuttosto importanti per la miglior comprensione della teoria del convertitore. I lettori che vogliono documentarsi a fondo, possono richiedere i fascicoli relativi presso la DITTA RADIO COMMUNICATIONS, Via Sigonio 2, 40137 BOLOGNA.

(1) W. Schumacher: Dimension of Micro Strip Circuits, *VHF COMMUNICATIONS* 4, Edition 3/1972, Pagg. 130-143.

(2) G. Satteler: A modular ATV Trasmitter:

*VHF COMMUNICATIONS* 5, Edition 1/1973, Pagg. 2-15.

*VHF COMMUNICATIONS* 5, Edition 2/1973, Pagg. 66-80

# IGROMETRO DIGITALE L.C.D.

di Filippo Pipitone

Negli ambienti dove si effettuano lavorazioni, ed in magazzini e depositi, è quasi sempre necessario, e sempre consigliabile, tenere sotto controllo il grado di umidità dell'aria. Per la misura s'impiega uno strumento detto "igrometro". Gli igrometri tradizionali, sono alquanto primitivi, e forniscono indicazioni assai approssimative.

Presentiamo un igrometro elettronico per impieghi professionali, che surclassa di gran lunga anche i misuratori di Regnault, a condensazione, ritenuti sino ad ora tra i più precisi.

L'umidità dell'aria, purché alla giusta gradazione, è un fattore molto importante nelle lavorazioni, dal trattamento del tabacco all'assemblaggio delle apparecchiature elettroniche per uso militar-spaziale. Ma per la misura relativa i sistemi dei tempi passati, nemmeno troppo lontani, erano rudimentali.

Il tipo più comune d'igrometro impiegato da tintori, conciatori, cantinieri e sorveglianti di magazzini di stagionatura, era quello detto "a capello", nel quale l'elemento sensibile era proprio costituito da alcuni capelli umani raccolti a mazzetto, che allungandosi o accorciandosi a seconda del grado dell'umidità dell'aria, agivano su di un primitivo leveraggio che spostava l'indice di una scala.

Inutile dire delle continue e serie staturature di simile "strumento", che, appunto, di "strumento" aveva solo la denominazione!

Per le lavorazioni industriali, era invece usato il cosiddetto igrometro di Regnault, o a "condensazione" già progredito, meno "cartaginese" (la storia rammenta che i cartaginesi, assediati e resi allo stremo dai romani, non avendo più corde per i propri archi, le sostituivano con i crini delle proprie fanciulle opportunamente ritorti...).

Il Regnault, era costituito da una scatola metallica, senza coperchio e piena di etere, nel quale era immerso un termometro; per l'uso si insufflava aria nell'etere, che evaporando e raf-

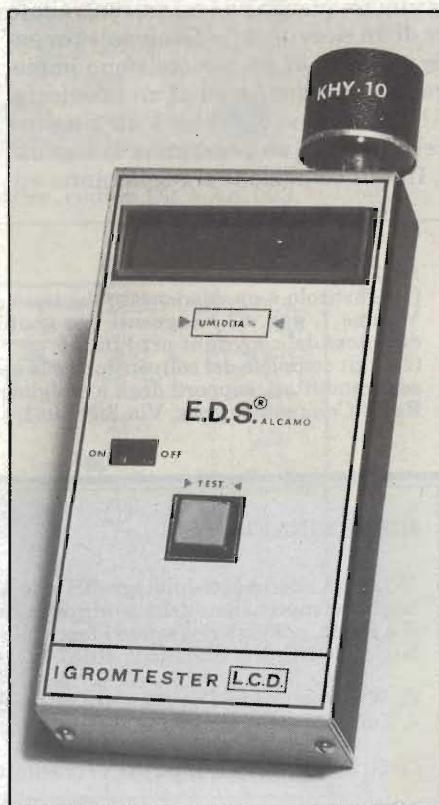
freddando le pareti esterne della scatola, ad un certo punto provocava la "condensa" dell'umidità sull'involucro. Misurando la temperatura registrata dal termometro al momento della condensazione, tramite opportune

tabelle si risaliva, in qualche modo, all'umidità relativa dell'aria.

Ciò basti: non è nostra intenzione tracciare una specie di "igrometer-graffiti"; ci premeva solo dire quali mezzi erano in uso per non mandare in malora salami, farine o pelli conciate, prima che intervenisse l'elettronica. Da qualche anno in qua, le cose sono cambiate grazie ai sensori al "Silica gel" ed ai transistor, e si avrà ora un cambiamento radicale e rivoluzionario con la capsula Siemens KHY-10. Questa, in base al valore acqueo contenuto in un metro cubo d'aria, muta la propria capacità presente ai terminali, permettendo una valutazione del  $g/m^3$  (misura standard igrometrica) estremamente accurata.

La KHY-10, non è uno di quei componenti un pò fantascientifici, simili all'araba fenice ("Che vi sia, ciascun lo dice; dove sia nessun lo sa", tanto per dirla con il Poeta), ma è distribuita presso i normali rivenditori di componenti professionali. Per esempio, volendola ottenere per posta, la si può ordinare presso la Ditta Gray Elettronica, via N. Bixio 32, Como, telefono 031-557424.

In possesso di uno di questi sensori, abbiamo creduto opportuno, o utile, dare un piccolissimo contributo al perfezionamento della strumentazione industriale, studiando un nuovo igrometro, modernissimo, che prima di tutto ha una precisione mai raggiunta prima, quella tipica delle apparecchiature



Vista dell'igrometro a realizzazione ultimata

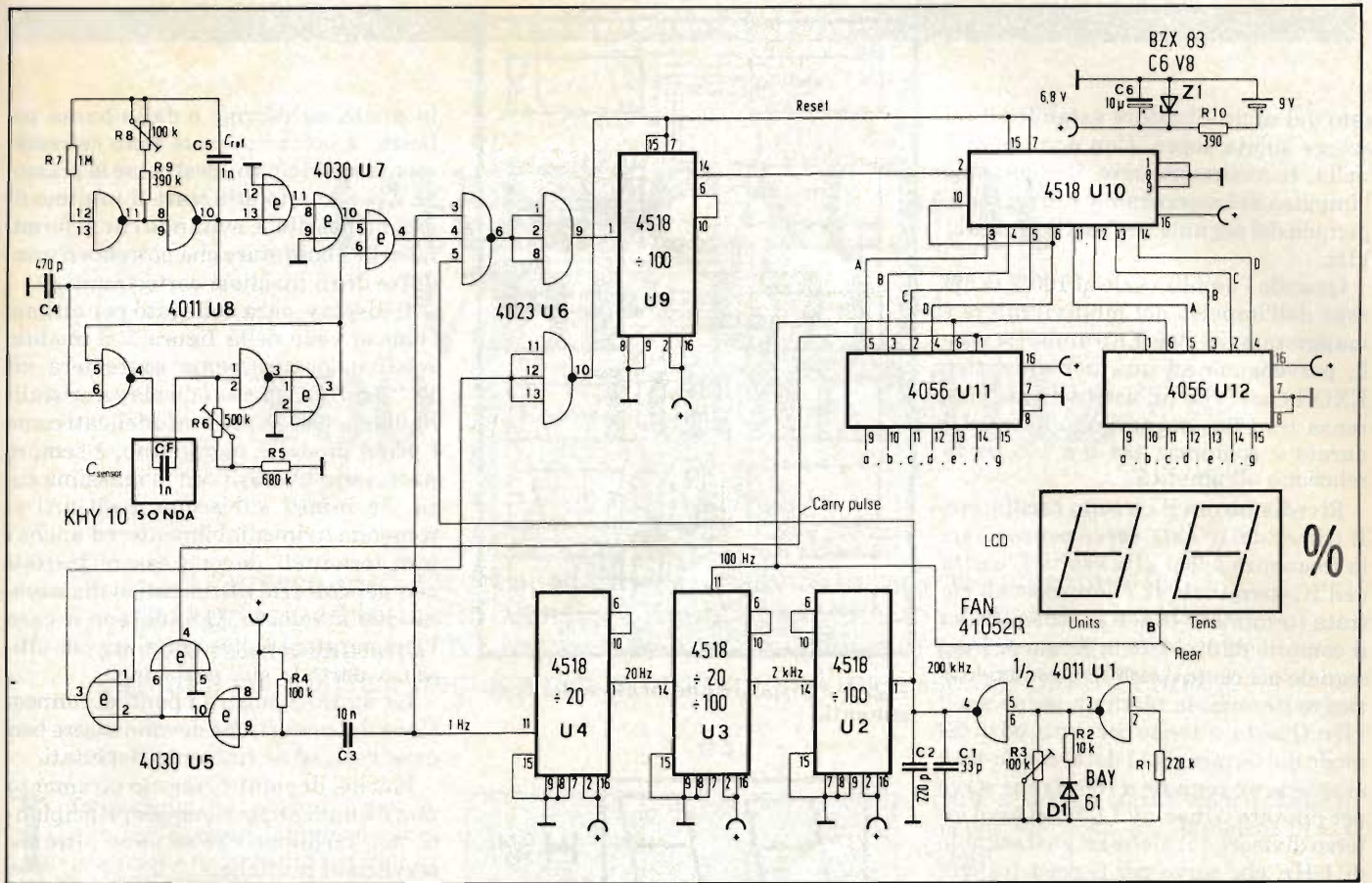


Fig. 1 - Schema elettrico dell'igrometro L.C.D.

munite di display digitale, ed è anche assai "comodo" da impiegare, avendo le esatte dimensioni di un pacchetto di sigarette ed essendo alimentato tramite una pila da 9 V. Si tratta, in sostanza di un tipico apparecchio tascabile, portabile ovunque serva.

Nello strumento, la lettura avviene tramite affissione a cristalli liquidi più precisamente su di un display originariamente a quattro cifre, delle quali se

ne utilizzano due sole, più che sufficienti.

Il circuito dell'apparecchio, appare nella figura 1.

Vi è una base dei tempi realizzata con un multivibratore astabile (in basso a destra) che impiega due delle gates comprese in un IC 4011. Questo settore è classico, ormai ben noto a chiunque s'interessi di elettronica digitale (e non). L'uscita del multivibratore è la

linea "Carry pulse" (portatrice d'impulsi), che giunge prima di tutto al divisore formato con i tre IC 4518, che all'uscita generale eroga 1 Hz, e poi al resto del circuito.

In alto a sinistra, nello schema, si nota che la sonda misuratrice KHY-10, è connessa ad un multivibratore monostabile, formato da altre gates del 4011, e condiziona la relativa durata dell'impulso. Il monostabile, è a sua volta pilo-

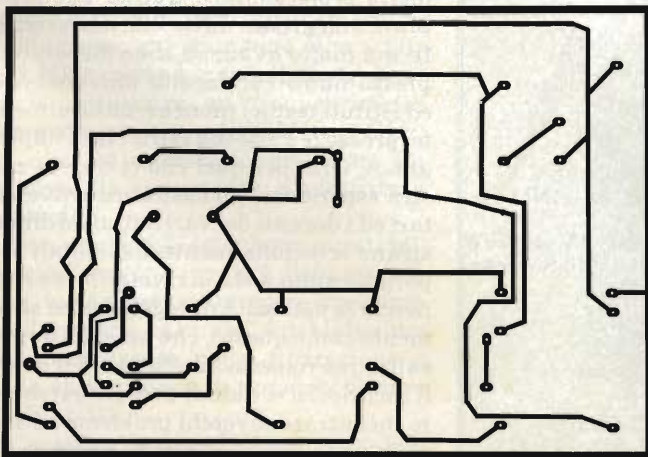


Fig. 2 - Lato superiore del circuito stampato in scala 1:1.

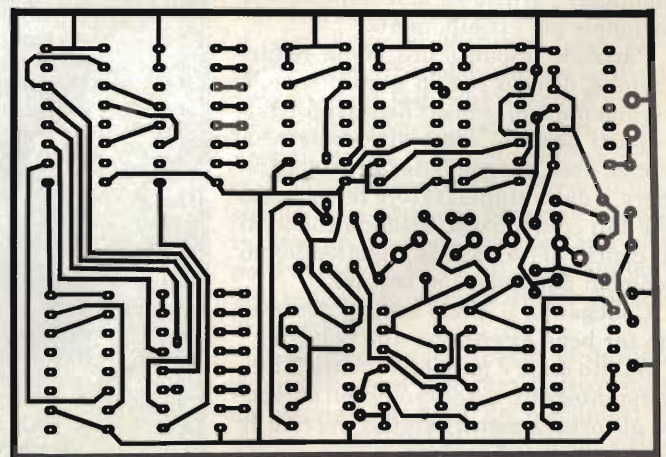


Fig. 3 - Lato inferiore dello stampato in scala 1:1.

tato dal multivibratore astabile che si scorge subito sopra. Con una umidità nulla, teoricamente zero, il valore dell'impulso del monostabile è di un semiperiodo del segnale dell'oscillatore ad 1 kHz.

Quando l'umidità sale al 100%, la durata dell'impulso del multivibratore è maggiorata del 20%. Entrambe i segnali, pervengono ad una porta del tipo EXOR-Gate, che all'uscita dà la differenza tra i due segnali d'ingresso. La durata è compresa tra 0 a 100  $\mu$ s in relazione all'umidità.

Rivediamo ora il circuito oscillatore. Il trimer da 100 k $\Omega$ , serve per regolare la frequenza a 200 kHz esatti. L'uscita dell'IC (terminale 4), è connessa all'entrata (terminale 1) dell'IC 4518 che ha il compito di dividere la frequenza del segnale per cento ( $\div 100$ ) consentendo il ricavo (terminale 14) di un segnale a 2 kHz. Questo, è diviso per venti, ed in tal modo dal terminale 11 del secondo 4518 si ottiene un segnale a 100 Hz che serve per pilotare il display LCD. Vi è poi un terzo divisore 4518, che eroga il segnale di 1 Hz, che serve per il reset tramite l'IC 4023. A quest'ultimo, ovviamente, giunge anche il segnale che dipende dall'umidità, che è elaborato da un ulteriore 4518, e dal sistema visualizzatore che comprende un ultimo 4518 e due decodifiche 4056. Le figure 2 e 3, mostrano gli stampati, visti dalla ramatura delle due parti rispettivamente, superiore e inferiore, mentre la figura 4 illustra la disposizione pratica dei componenti. La figura 5 riporta il disegno dell'L.C.D.

Le dimensioni, pila compresa, sono esattamente quelle di un pacchetto di sigarette, ma si nota che tale elevata compattezza non rende proibitivo il montaggio, grazie ad una disposizione razionale per i componenti.

Parlando appunto ora, della realizzazione, diremo che in questo caso, è veramente indispensabile iniziare dalle parti passive, come dire dalle resistenze fisse, dai condensatori, dai trimmers, e dallo stabilizzatore zener, visto che tali componenti, essendo collocati al centro della basetta, risulterebbero scomodi da cablare in seguito.

Collegando il diodo zener è necessario far bene attenzione alle polarità.

Subito dopo è possibile montare i diversi integrati, osservando con scrupolo gli orientamenti relativi, ovvero le tacche d'identificazione.

Naturalmente, per le connessioni, è necessario utilizzare un saldatore dal-

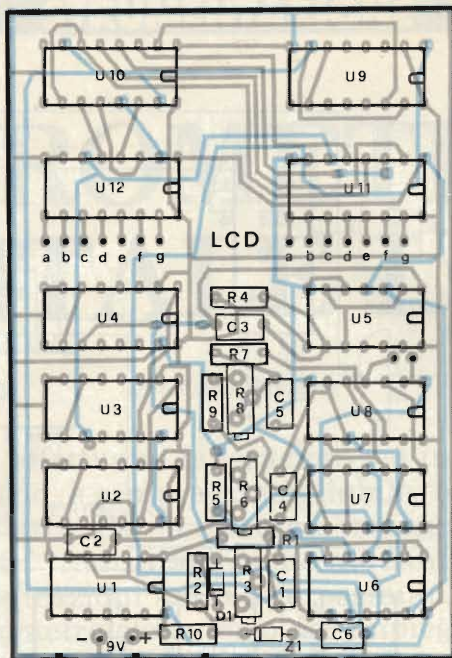


Fig. 4 - Disposizione pratica dei componenti.

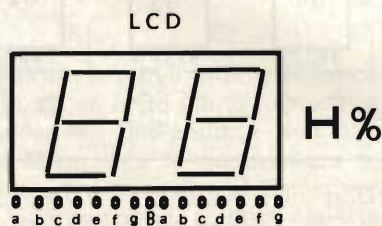


Fig. 5 - Zoccolatura dell'LCD; da notare che ha 4 cifre e ne vengono utilizzate altre 2.

#### ELENCO DEI COMPONENTI

R1	= resist. da 220 k $\Omega$
R2	= resist. da 10 k $\Omega$
R3	= trimmer 10 giri da 100 k $\Omega$
R4	= resist. da 100 k $\Omega$
R5	= resist. da 680 k $\Omega$
R6	= trimmer 10 giri da 500 k $\Omega$
R7	= resist. da 1 M $\Omega$
R8	= trimmer 10 giri da 500 k $\Omega$
R9	= resist. da 390 k $\Omega$
R10	= resist. da 390 $\Omega$
tutti i resistori sono da 1/4 W - 5%	
C1	= cond. cer. da 33 pF
C2	= cond. cer. da 220 pF
C3	= cond. cer. da 10 nF
C4	= cond. cer. da 470 pF
C5	= cond. NPO da 1 nF
C6	= cond. elettr.
D1	= diodo BAY 61 (1N4148 1N914)
Z1	= diodo Zener da 6,8 V - 400 mW
CF	= sonda tipo KHY 10 Siemens
U1-U8	= CD 4011B
U2-U3-U4	= CD 4518B
U9-U10	= CD 4030B
U5-U7	= CD 4023B
U6	= CD 4056B
U11-U12	= CD 4056B
LCD	= FAN 41052R Siemens (oppure mod. 302 - G.B.C.)

- L'apparecchio è reperibile in kit presso la E.D.S. Alcamo al prezzo di L. 195.000.

la punta aghiforme e dalla bassa potenza, e poiché le piste sono estremamente ravvicinate, così come le piazzole, è necessario utilizzare il minimo di stagno possibile, evitando che si formino delle sbordature che potrebbero produrre degli insidiosi cortocircuiti.

Il display, sarà collegato per ultimo, come si vede nella figura 3; il modulo relativo, praticamente sovrasterà gli IC "4056". Anche se i display a cristalli liquidi non sono più tanto delicati come i primi prodotti, oggigiorno, è sempre necessario trattarli con la massima cura. Se infatti subiscono degli urti si rompono irrimediabilmente, ed anche i loro terminali devono essere trattati con delicatezza, altrimenti si staccano dall'involucro. Quindi, non a caso l'enumeratore è stato lasciato per ultimo, a parte la sua posizione.

La figura 3 mostra i punti di connessione dei reofori, che devono essere ben osservati, ed ovviamente rispettati.

Poiché, dopotutto, questo strumento non è una realizzazione per principianti, non crediamo che servano altre osservazioni pratiche.

Logicamente, prima d'introdurre il complesso nell'involucro protettivo, che può essere plastico o metallico, e recherà la "finestra" per il display e la foratura per l'interruttore generale, è necessario provvedere alla regolazione. Disponendo di un frequenzimetro, questa sarà facilitata, perché i trimmers potenziometrici saranno ruotati di quel tanto che serve per ottenere i segnali dalla frequenza che è indicata nel testo.

In tal modo, si può dire che il lavoro sia già a buon punto.

Per una ulteriore raffinazione della taratura, serve il confronto con un igrometro professionale. Questa può sembrare una grossa difficoltà, ma igrometri già molto avanzati sono disponibili presso numerose facoltà universitarie ed istituti tecnici (nonché, naturalmente, presso le varie industrie che li impiegano). Ora, per quel che ci dice la nostra esperienza, gli assistenti universitari ed i docenti dei vari istituti si dimostrano eccezionalmente disponibili per porgere aiuto a chi si rivolge loro esponendo la necessità di regolare uno strumento come questo, che essendo avanzatissimo rispetto allo "stato dell'arte" li incuriosisce, quindi non si dovrebbero incontrare soverchi problemi, ed anzi, in linea teorica, sarebbe addirittura possibile stabilire un contatto molto utile per il futuro. ■

# PRESCALER VHF-UHF 100 ÷ 1000 MHz

di Filippo Pipitone

I "prescalers" per frequenzimetri, essendo accessori sicuramente vantaggiosi, ed in molte occasioni indispensabili, sono soggetti a continui studi e miglioramenti. Ne presentiamo uno veramente molto progredito, che giunge ad 1 GHz e impiega per la protezione d'ingresso dei diodi Schotty.

I frequenzimetri digitali, grazie alla loro facilità d'impiego e alla precisione e univocità del valore indicato, oggi trovano un impiego talmente esteso, che in pratica, dopo i multimetri, sono divenuti gli strumenti di laboratorio più comuni. Li impiega il tecnico audio e quello che s'interessa di radiotelefonii VHF, sono utilizzati per ricalibrare e riparare altri strumenti; i "servicemen" TV hanno imparato ad apprezzarne i pregi; chiunque effettui della ricerca, in elettronica quale che sia il campo specifico di lavoro, non ne può fare a meno.

Anche i costi di questi apparati ne favoriscono la diffusione, essendo oggi molto ridotti. Le quotazioni migliori si riferiscono comunque ai modelli più diffusi, prodotti in grandi serie, che hanno la possibilità di misurare segnali d'ingresso che giungono sino a 60 - 100 MHz, perchè, naturalmente, se si vuole acquistare un frequenzimetro che può pervenire a 1000 MHz (1 GHz) ed oltre, è necessario prevedere un esborso già consistente, o addirittura notevole.

Ora, come abbiamo detto, questi misuratori servono per i più disparati utilizzi, ma è giusto riconoscere che la loro "collocazione naturale" è nel laboratorio specializzato nella riparazione o nella elaborazione di apparecchiature VHF - UHF.

Ciò posto, le massime frequenze leggibili di 60 - 100 MHz non servono a gran che; tutt'al più, consentono di ef-

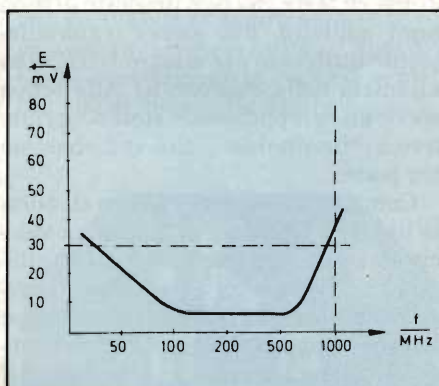


Fig. 1 - Sensibilità d'ingresso in funzione della frequenza.



fettuare delle misurazioni nei canali di media frequenza, e nelle logiche PLL, o simili.

È quindi sempre necessario investire forti cifre nell'acquisto degli strumenti muniti di un... "fondo scala" esteso?

Beh, no, perchè da molti anni, in pratica da quando esistono i frequenzimetri digitali, è noto un sistema per aumentare il massimo valore leggibile; si tratta di applicare all'ingresso un divisore dei segnali. Per esempio, utilizzando un divisore a decade (per dieci), uno strumento che ha il massimo valore misurabile di 60 MHz, giunge a 600 MHz, e può essere appunto impiegato per lavori nel campo VHF ed UHF.

In tal modo, economia e funzionalità si abbinano.

Non si deve però pensare che i divisori, oggi universalmente noti come "prescaler" siano dispositivi molto facili da progettare: il fatto che i segnali applicati all'ingresso abbiano valori di frequenza elevati, dice già che questi circuiti sono piuttosto critici. Per esempio, se i divisori non sono concepiti ponderatamente, possono manifestarsi ben poco sensibili, ed in tal caso, qualunque misura su segnali deboli diviene impossibile.

Purtroppo, molto spesso si devono proprio leggere con cura le frequenze dei segnali prodotti da oscillatori a quarzo, oscillatori di conversione e stadi moltiplicatori diversi, che hanno sempre o quasi dei livelli bassi, quindi

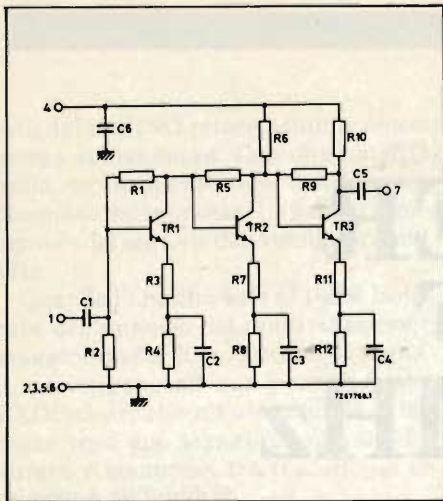


Fig. 2 - Schema interno del modulo AM-PEREX tipo ATF 417.

la sensibilità assume l'importanza di un parametro fondamentale; se è scarsa il prescaler diviene un altro "warmbench", come dicono pittorescamente gli americani; locuzione che può essere tradotta in "scaldabanco" e che sta per un aggeggio puramente decorativo, ma dall'impiego ristretto o inefficace. Effettivamente, in passato, si sono visti molto prescaler che inclinavano verso il "warmbench", nella maggioranza dei casi, perchè il divisore logico incorporato non era provvisto di alcun sistema d'amplificazione, cosicchè, con il salire della frequenza, si aveva un forte scadimento nella sensibilità, e molti dispositivi iniziavano a "macinare" solo con dei segnali di qualcosa come 80 - 100 mV ad alcune centinaia di MHz, o addirittura con 120 mV e simili!

Se quindi i prescaler non possono essere definiti in alcun modo delle "novità", sono "nuovi" i facenti parte della categoria che funzionano veramente bene.

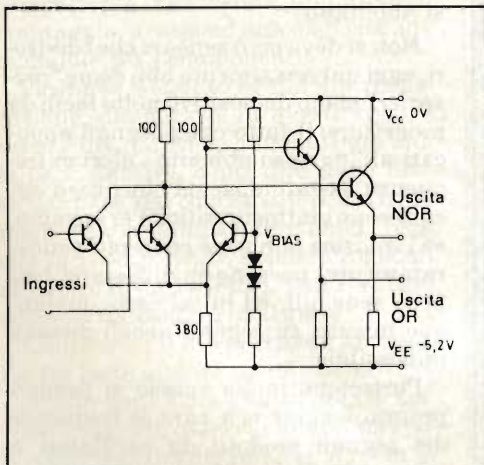


Fig. 3 - Circuito elettrico di principio di un Gatter ad amplificatore differenziale.

Vogliamo appunto presentare un divisore per frequenzimetri che è concepito con le più moderne risorse tecnologiche e che offre prestazioni molto brillanti. Non solo, il nostro apparecchio è all'altezza di quelli prodotti dalle industrie specializzate, ma, una volta tanto, solo certi prescaler americano ed europei sono all'altezza del nostro elaborato: quelli che costano cifre notevoli. Gli altri, sono decisamente inferiori. Per apprezzare a colpo d'occhio la validità del progetto, basta una breve analisi della curva di figura 1. Si nota che nel tratto più utile per le varie misure, compreso tra 60 e 700 MHz circa, la sensibilità è dell'ordine dei 15 mV, mentre al limite della gamma di lavoro, la sensibilità resta molto buona: all'incirca 30 mV per 1000 MHz.

Una caratteristica insolita del dispositivo, è la *previsione* per dividere *per cento*, invece che per dieci com'è abituale. In tal modo, anche un vecchio frequenzimetro dalla portata massima di 15 - 20 MHz, del tipo prodotto diversi anni addietro, può essere tranquillamente utilizzato per misure UHF, sino all'inizio delle microonde! Allo scopo serve un semplicissimo stadio aggiuntivo... "fuoribordo", che indicheremo tra poco.

Com'è ovvio, anche il nostro elaborato impiega i divisori di frequenza velocissimi che appartengono alla famiglia "ECL", ma tra i vari modelli presenti sul mercato, abbiamo scelto dopo lunghe e ponderate comparazioni, condotte anche in pratica, i moderni IC della serie "SP8000" Plessey. Sebbene i detti presentino delle caratteristiche molto favorevoli, in mancanza di un adatto amplificatore, non avrebbero potuto dar luogo alla sensibilità neces-

saria, ed allora, cerniti gli elementi migliori per la divisione logica, il nostro pensiero si è orientato verso la selezione del dispositivo "booster" più adatto.

L'amplificatore, dovendo funzionare senza regolazioni di sorta su tutto lo spettro di frequenze previsto, logicamente sarebbe dovuto essere un tipo dalla banda passate amplissima: 30 MHz - 1 GHz.

Sistemi del genere, dal punto di vista del progetto, presentano non pochi problemi; infatti, non è possibile rifarsi all'impiego di circuiti accordati, quindi non si può che "ripiegare" sull'accoppiamento tra gli stadi basato su elementi RC.

In linea di massima, gli stadi amplificatori potrebbero lavorare sia con la base che con l'emettitore comune. Analiticamente, però, l'impiego della base a massa manifesta due inconvenienti, cioè:

- 1) Per raggiungere un'amplificazione di potenza notevole, con un circuito munito di più transistori con la base comune, sarebbe necessario inserire tra i singoli stadi dei trasformatori di adattamento delle impedenze (notoriamente, con la base a massa per i segnali, l'ingresso sull'emettitore da luogo ad un valore d'impedenza bassissimo). Nel caso che ci interessa, proprio a causa della larghezza di banda necessaria, i trasformatori non sarebbero realizzabili.
- 2) È nota la tendenza all'autooscillazione degli amplificatori muniti del circuito con base a massa, sulle frequenze elevate; ciò è tanto vero, che la maggioranza degli oscillatori per VHF e UHF, lavora appunto con la base comune.

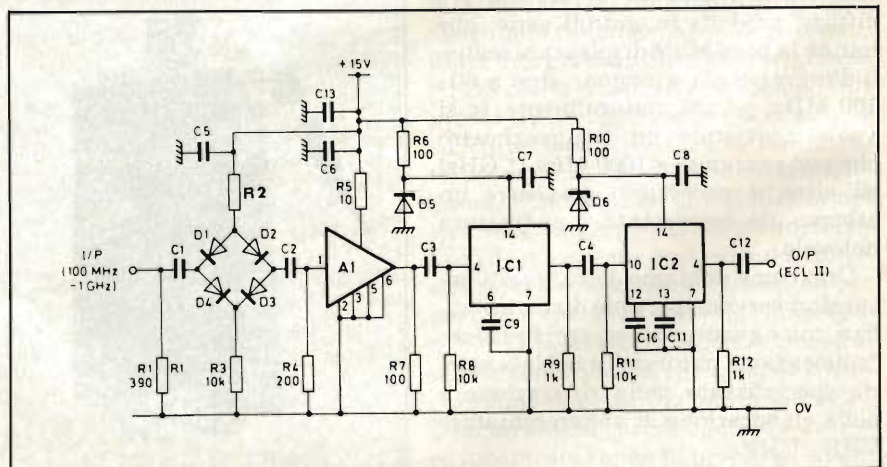


Fig. 4 - Schema elettrico del prescaler descritto in questo articolo.

Al contrario, nel circuito che impiega l'emettitore comune, la totalità dell'amplificazione in corrente dei transistori è utilizzata per amplificare i segnali, ed in più non serve un critico adattamento d'impedenza tra gli stadi, perchè non vi sono i dislivelli riscontrabili negli stadi con la base a massa.

Tuttavia, i transistori che lavorano con l'emettitore in comune negli amplificatori a larga banda devono essere dotati di eccellenti caratteristiche: una frequenza di transito elevata, ed una capacità di retroazione più bassa possibile. Peraltro, riducendo la resistenza d'uscita, la stabilità di questo stadio aumenta, ed anche questa caratteristica depone a favore dei "common emitter".

Il problema della stabilità, comunque, non è poi così facile da risolvere anche negli amplificatori con tutti gli stadi che lavorano ad emettitore comune, quando è in gioco un guadagno ampio ed una banda molto larga. Serve quindi una disposizione circuitale molto "studiata", con i circuiti d'ingresso ed uscita accuratamente schermati; gli emettitori devono giungere a massa attraverso dei valori d'induttanza estremamente bassi, e devono essere disaccoppiati in modo eccellente, sino alle frequenze di lavoro più elevate, nelle quali è abbastanza facile che intervengano delle autooscillazioni, a causa delle caratteristiche dei transistori. È infatti comune l'impiego di condensatori bipass del tipo detto "a pasticca nuda" che sono direttamente saldati con una superficie sul circuito stampato, e con l'altra al reoforo del transistor.

Vi sono poi altri accorgimenti costruttivi, che ora sarebbero lungo dettagliare. In sostanza, la realizzazione pratica di un amplificatore come quello che serve, è tutt'altro che facile. Chi vi si accinge, anche se in possesso di un circuito elettrico valido sotto ogni profilo, deve avere un'ottima esperienza in fatto di montaggi UHF, che non è comune, e deve poter disporre di una componentistica particolare, semiprofessionale o professionale, rintracciabile solo nei grandi centri.

Considerando queste obiettive complicazioni e difficoltà, per il nostro prescaler abbiamo evitato l'adozione di un amplificatore a componenti "discreti", scegliendo un ibrido reperibile già pronto, non troppo costoso, sicuramente affidabile, cioè l'Amperex tipo ATF 417, che equivale perfettamente al Phi-

lips OM335. Questo modulo, comprende tre stadi connessi in cascata, che lavorano ad emettitore comune: figura 2.

La banda passante è compresa tra 30 MHz e 1000 MHz (1 GHz), ed il guadagno ricavabile si aggira sui 26 dB; proprio grazie a questo ottimo dispositivo è possibile ottenere la curva di sensibilità che si vede nella figura 1.

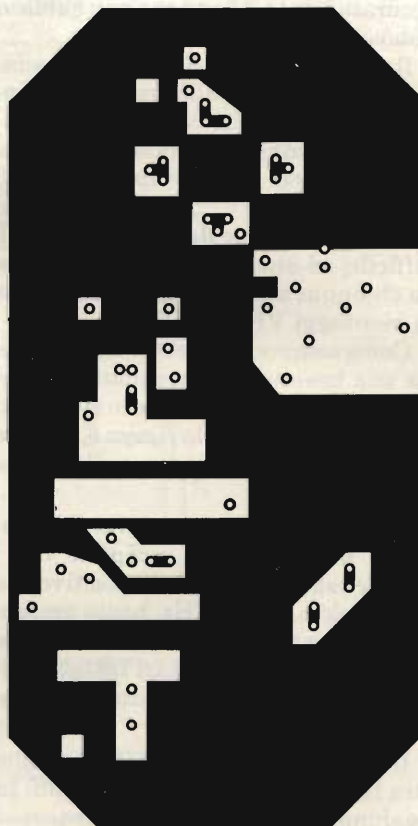


Fig. 6 - Circuito stampato della basetta visto dal lato componenti in scala 1:1.

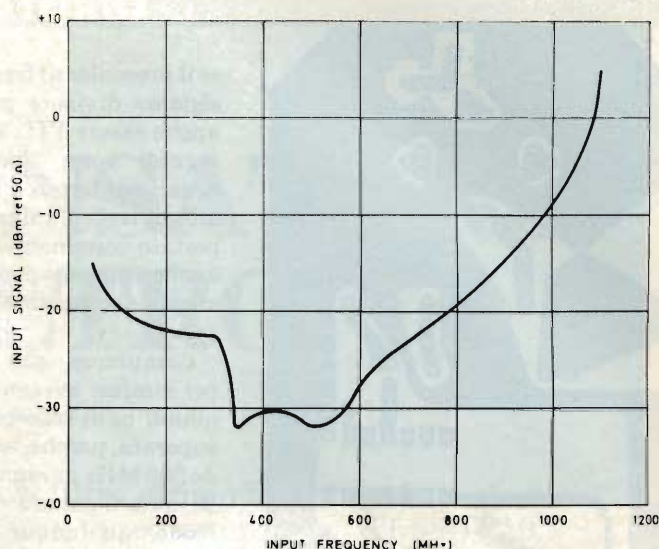


Fig. 5 - Il diagramma di figura mostra il guadagno in dB relativo alla frequenza del segnale presentato all'ingresso.

Lo schema elettrico del prescaler è riportato nella figura 4. Il segnale che deve essere misurato, tramite C1 perviene al ponte di diodi formato da D1... D4. Questi sono del tipo Schottky, quindi molto indicati per il funzionamento UHF, e limitano l'ampiezza della RF a 100 mV da picco a picco. Il segnale opportunamente "tosato", se occorre, attraversa il C2 e giunge all'ingresso dell'amplificatore ibrido già visto, che, con una tensione di alimentazione di 15V, da un guadagno di circa 15 dB. L'uscita dello A1, è connessa tramite il C3 all'ingresso del primo divisore ECL (terminale 4). Si tratta di un monolitico estremamente veloce, realizzato, come indica la sigla, con la tensione di accoppiamento di emettitore (Emitter Coupled Logic).

Poichè tale conformazione non è tanto nota, come per esempio la TTL, nella figura 3 riportiamo il circuito elettrico di principio di un "Gatter" del genere. Si tratta in pratica di un amplificatore differenziale, con gli emettitori riuniti. Il "Gatter" visto, pilota una catena di multivibratori realizzati con speciali accorgimenti che permettono di ottenere la frequenza di lavoro (in apparenza strabiliante) di 1000 MHz. È da notare che lo SP8616 B, IC1, divide la frequenza del segnale presentato per quattro ( $\div 4$ ). L'uscita dell'IC1 è connessa, tramite il C4, al secondo divisore di frequenza, uno SP8621 B, che a sua volta divide per cinque ( $\div 5$ ). In tal modo, all'uscita, tra il C12 e massa, avremo appunto una divisione totale di 20. Sebbene in tal modo un segnale da 1000 MHz sia convertito a 50 MHz, ed un segnale da 500 MHz sia convertito a 25 MHz e via di seguito, quando si misurano dei segnali dalla frequenza che non



Fig. 7 - Circuito stampato della basetta visto dal lato rame in scala 1:1.

è espressa in cifra netta, per esempio 645,86 MHz o qualcosa del genere, per la lettura sul display del frequenzimetro, s'incontrano delle difficoltà perché si deve effettuare un piccolo calcolo per risalire al valore d'ingresso. Nulla di troppo grave, perché ogni tecnico ha sul banco una macchinetta calcolatrice, con la quale può moltiplicare per venti qualunque cifra letta, risalendo a quella relativa alla frequenza originale. Tale sistema è però un pochino macchinoso, ed allora conviene interfaccia-

#### ELENCO COMPONENTI

##### Resistenze

R1 = 390 Ω	R7 = 100 Ω
R2 = 10 kΩ	R8 = 10 kΩ
R3 = 10 kΩ	R9 = 1 kΩ
R4 = 200 Ω	R10 = 100 Ω 5 W
R5 = 10 Ω	R11 = 10 kΩ
R6 = 100 Ω 5 W	R12 = 1 kΩ

##### Condensatori

C1÷C12 = 1 nF
C13 = 0,33 μF
D1÷D4 = diodi Schottky - Tipo HP5082-2811
D5 = Diodo zener 7,5 V. 1 W.
D6 = Diodo zener 5,1 V. 1 W.
A1 = Amplificatore ibrido Tipo ATF417 - Amperex
IC1 = SP8616 B - PLESSEY
IC2 = SP8621 B - PLESSEY

re il prescaler al frequenzimetro con un sistema divisore per cinque, che può anche essere TTL, visto che all'uscita i segnali sono "bassi", e comunque eguali o inferiori a 50 MHz. Quest'ultimo divisore è talmente semplice, e riportato innumerevoli volte in passato anche su queste pagine, che non crediamo sia necessario ripeterlo ancora una volta.

Comunque, con l'ultima divisione per cinque, avremo un totale di cento, quindi ogni incertezza di lettura sarà superata, perché, ad esempio, misurando 560 MHz avremo  $\div 4 = 140$ , poi  $\div 5 = 28$ , quindi ancora  $\div 5 = 5,6$  MHz. In tal modo, qualunque cifra letta sul display, corrisponderà all'ingresso con la semplice aggiunta di due zeri (due spostamenti della virgola verso destra).

L'alimentazione del complesso è abbastanza semplice; per l'A1 non occorre alcuna stabilizzazione; IC1 ha la propria tensione regolata tramite il D5, e l'IC2 tramite il D6. I diodi Schottky sono prepolarizzati attraverso la R2. C5, C13, C6, C7 e C8, nonché C9, C10 e C11 sono tutti dei bypass.

Anche se non è obbligatorio che la tensione generale di +15 V sia regolata accuratamente, è bene che non subisca notevoli variazioni.

Il grafico di figura 5 mostra il guadagno in dB relativo alla frequenza d'ingresso, che, come si vede, tende a compensare la minor sensibilità dei divisori man mano che si superano i 600 MHz.

La realizzazione del prescaler non è difficile, ed anzi può essere affrontata da chiunque abbia una minima pratica di montaggi VHF/UHF.

Come sempre, in questi casi, s'impiega una basetta doppia ramata, in forma di sostegno generale, e lo stampato superiore si vede nella figura 6, mentre quello inferiore è presente nella figura 7.

Com'è ovvio, le piste, nella riproduzione, devono essere ricopiate con grande esattezza. In un dispositivo che lavora oltre ai 500 MHz, basta prolungare minimamente una piazzola o una pista per incorrere in vari fastidi di risonanza, attenuazione, autooscillazione etc.

Il disegno serigrafico di figura 8, illustra la disposizione dei componenti. In qualunque montaggio per frequenze molto elevate, le saldature hanno una importanza predominante, quindi devono essere perfette. Vari terminali, de-

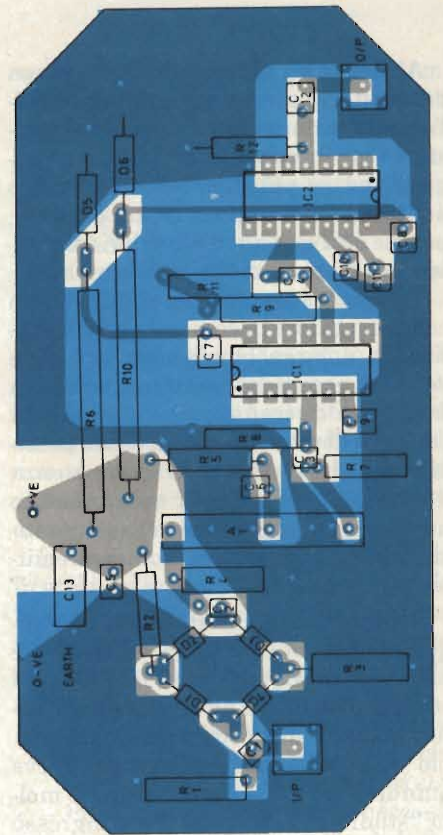


Fig. 8 - Disposizione dei componenti sulla basetta di figura 6.

vono essere saldati a piazzole e piste superiori ed inferiori, in più, le due superfici ramate, ove si scorgono i puntolini bianchi, devono essere interconnesse tramite spezzoncini di filo in rame nudo, che possono essere quelli che risultano dal raccorciamento dei reofori delle parti passive (resistenze, condensatori). Raccomandiamo quindi un ottimo lavoro di cablaggio, l'impiego di un opportuno saldatore a stilo dalla debole potenza, di una lega di stagno eccellente. Per facilitare le connessioni, le piste possono essere lustrate, in precedenza, impiegando una gomma da cancellare dura, per inchiostro (tale consiglio, giunge nientemeno che dalla N.A.S.A. dall'Ente aerospaziale americano, e si rivela ottimo, in pratica).

Il prescaler non ha alcun regolatore semifisso, quindi può essere impiegato subito, senza alcuna taratura. Normalmente, sarà ospitato all'interno del frequenzimetro servito, con l'ulteriore divisore TTL per cinque, del quale abbiamo detto in precedenza. Le connessioni possono essere eseguite con dei cavetti coassiali a 50 Ω, per l'ingresso e l'uscita, ma il cavetto d'ingresso deve essere munito di isolante spugnoso per UHF ("Foam Die").



# IL CONDENSATORE DI FILTRO

di M. Michelini

“Ovvero come valutare il condensatore di filtro ottimo in un raddrizzatore a semionda o a onda intera, utilizzando una “programmabile” TI 58-TI 59.”

**Q**uale condensatore ci vorrà in questo alimentatore? Mah, a occhio e croce... facendo più o meno i conti... visto che in quel circuito che è simile al mio ne usano due in parallelo... ma io con uno di valore doppio... e considerando le tolleranze di fabbricazione... dalle tabelle è chiaro che...

Insomma, dimensionare correttamente il condensatore di filtro in un alimentatore, in genere, è sempre un

problema, non tanto per la complessità dell'argomento che, sotto sotto ha una matematica abbordabile dalla maggioranza, ma perchè in genere l'argomento è dato per scontato un pò su tutte le riviste, da tutti gli autori; quando si trovano delle tabelle che potrebbero essere utili allo scopo, spesso occorre perdere parecchio tempo a capire come funzionano, e questo, in pratica, ogni volta che si deve filtrare una tensione rettificata perchè, di solito, tra una co-

struzione e la successiva intercorre abbastanza tempo da dimenticarsi tutto.

Ecco perchè è nato questo programma, per la calcolatrice programmabile TI 59 ma adattabile anche alla TI 58 e con qualche limitazione anche alle altre calcolatrici della serie, SR 52, 56 ecc. Ciò non toglie che l'articolo possa essere utile anche a chi possiede altre calcolatrici poichè nel prossimo paragrafo daremo una esauriente spiegazione del procedimento di calcolo adottato, con le relative formule; chiunque sia interessato può quindi costruirsi su misura il programma o adottare e migliorare secondo le proprie esigenze e gusto personale quello fornito. Ma entriamo nel vivo dell'argomento.

## Cosa vuole e cosa ci da

Il programma chiede di introdurre la tensione di uscita del trasformatore di alimentazione, cioè la tensione RMS del secondario, nell'ipotesi che esso sia usato entro le sue caratteristiche cioè entro i valori di corrente di carico specificati dal costruttore; la tensione di caduta sui diodi raddrizzatori  $V_D$ ; la percentuale di ondulazione tollerata in uscita; la massima corrente di carico. In uscita avremo il valore del condensatore da inserire, la resistenza equivalente di carico, la tensione media, la tensione di picco, la tensione minima e la corrente massima che scorre nei diodi raddrizzatori. Tutti questi dati e risultati vengono stampati con leggende mnemoniche se la stampa è disponibile, oppure i risultati vengono presentati ordinatamente al termine della breve elaborazione. Vediamo ora come vengono ottenuti questi risultati.

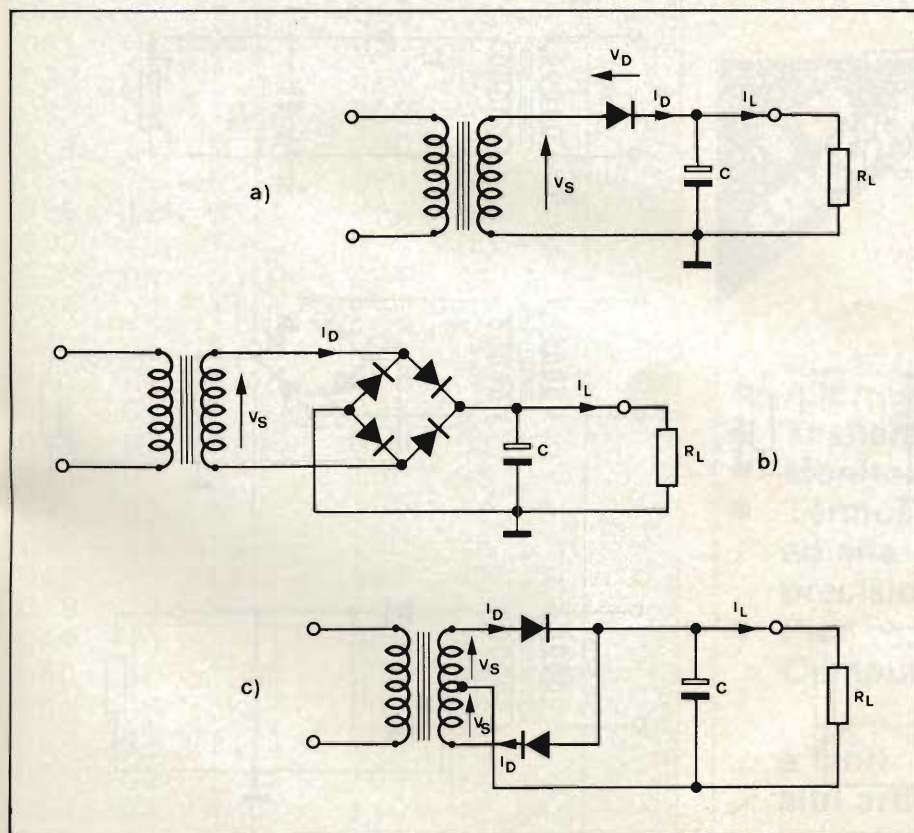


Fig. 1-a - Raddrizzatori a semionda 1b) e 1c) - Raddrizzatori a onda intera.

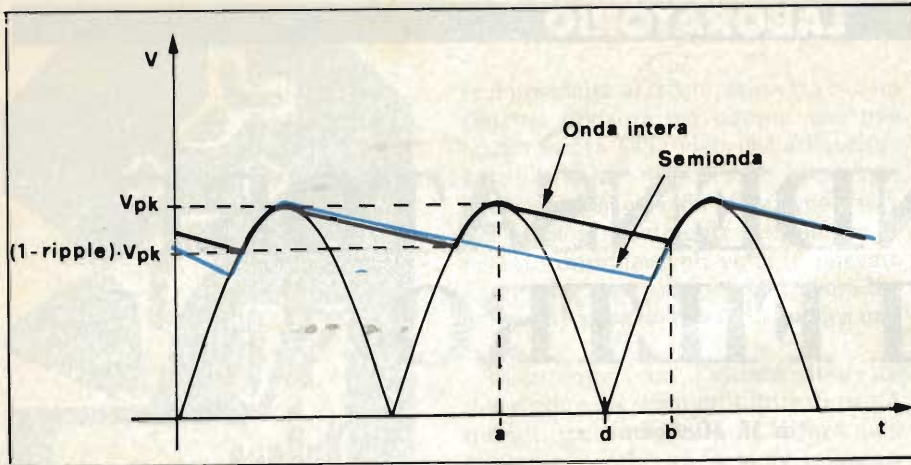


Fig. 2 - Andamento della tensione ai capi del condensatore

### La teoria

In figura 1 sono rappresentati i più tipici circuiti di alimentazione con raddrizzatori a semionda figura 1a o a onda intera, figura 1b e 1c. L'andamento della tensione ai capi del condensatore di filtro è riportata qualitativamente in figura 2 ove con  $V_{pk}$  si è indicato il valore di picco della tensione raddrizzata dai diodi che è pari quindi alla tensione di picco sul secondario, che possiamo rappresentare così:

$$V_s = E_o \sin(\omega t) \text{ ove } \omega = 2\pi \cdot 50 \text{ Hz}$$

meno la caduta di tensione sui diodi. Ricordiamo che il valore di picco di una tensione sinusoidale è dato dal suo valore efficace (RMS) moltiplicato per  $\sqrt{2}$ , cioè:

$$E_o = E_s \cdot \sqrt{2}$$

ove  $V_s$  è il valore efficace (RMS) della tensione sul secondario.

Una prima relazione è la seguente, che ci fornisce la tensione di picco sul condensatore, note che siano  $E_s$  e  $V_D$ , cioè la caduta di tensione sui diodi raddrizzatori che, nel caso di funziona-

mento a semionda o con trasformatore a presa centrale è uno solo, mentre per quello a ponte sono due, come si vede dalla figura 3a, ove è riportato il percorso della corrente durante uno dei semicicli, mentre in figura 3b è rappresentato il percorso per la semionda opposta; in queste figure è evidente una seconda differenza: il raddrizzatore a semionda, come dice il nome stesso, lascia passare la corrente a semionde alterne, quindi il periodo tra due picchi di tensione risulta il doppio di quello per gli altri due raddrizzatori.

Allora:

$$1) V_{pk} = \sqrt{2} \cdot E_s - V_D$$

La resistenza  $R_L$  equivalente del carico è data dalla legge di  $\Omega$ , assumendo la tensione di uscita pari al valore di picco, cioè:

$$2) R_L = \frac{V_{pk}}{I_L}$$

Ora facendo riferimento alla figura 2, ricaviamo facilmente il periodo di tempo tra due picchi di tensione raddrizzata:

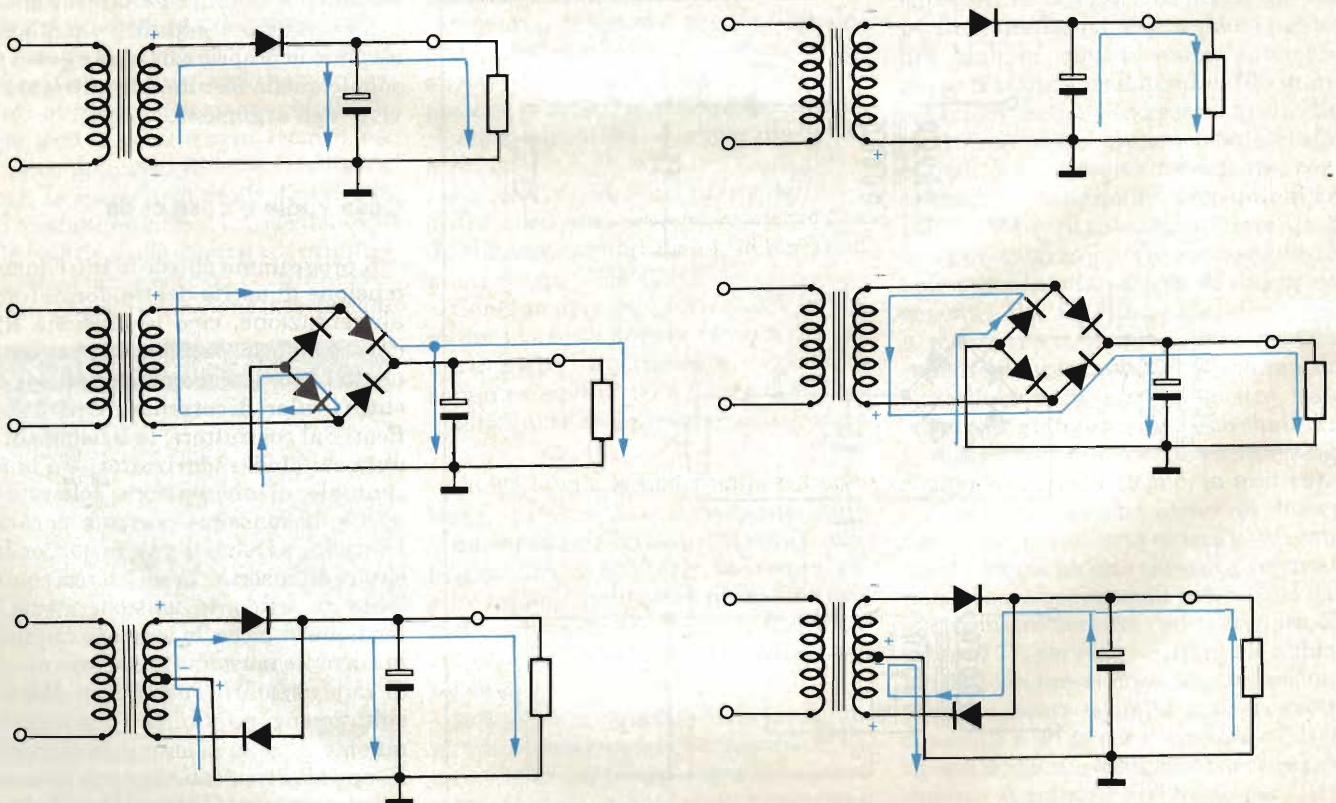


Fig. 3-a) - Percorso delle correnti per una semionda. b) - Percorso delle correnti per la semionda successiva. Si noti che nel raddrizzatore a semionda non passa corrente durante questo semiperiodo.

000	76	LBL	056	07	7	INIZIO ELABORAZIONE SEMIONDA
001	99	PRT	057	61	GTO	
002	22	INV	058	99	PRT	
003	57	ENG	059	76	LBL	
004	22	INV	060	17	B*	
005	58	FIX	061	22	INV	
006	69	DP	062	86	STF	
007	04	04	063	00	00	
008	57	ENG	064	61	GTO	
009	32	XIT	065	98	ADV	
010	69	DP	066	76	LBL	ELABORAZIONE ONDA INTERA
011	06	06	067	16	A*	
012	92	RTN	068	86	STF	
013	76	LBL	069	00	00	
014	11	A	070	76	LBL	
015	42	STD	071	98	ADV	
016	02	02	072	70	RAD	
017	32	XIT	073	02	2	
018	04	4	074	34	FX	
019	02	2	075	65	X	
020	03	3	076	43	RCL	V <sub>pk</sub>
021	06	6	077	02	02	
022	61	GTO	078	75	-	
023	99	PRT	079	43	RCL	
024	76	LBL	080	03	03	
025	12	B	081	95	=	
026	42	STD	082	42	STD	
027	03	03	083	06	06	
028	82	XIT	084	42	STD	
029	04	4	085	14	14	
030	02	2	086	55	÷	R <sub>i</sub>
031	01	1	087	43	RCL	
032	06	6	088	05	05	
033	61	GTO	089	95	=	
034	99	PRT	090	42	STD	
035	76	LBL	091	07	07	
036	13	C	092	05	5	
037	42	STD	093	00	0	
038	04	04	094	22	INV	
039	32	XIT	095	87	IFF	
040	06	6	096	00	00	tab
041	01	1	097	38	SIN	
042	01	1	098	65	X	
043	07	7	099	02	2	
044	03	3	100	95	=	
045	05	5	101	76	LBL	
046	61	GTO	102	38	SIN	
047	99	PRT	103	42	STD	
048	76	LBL	104	08	08	
049	14	D	105	43	RCL	
050	42	STD	106	04	04	
051	05	05	107	52	EE	
052	32	XIT	108	02	2	
053	02	2	109	94	+/-	
054	04	4	110	42	STD	
055	02	2	111	09	09	

Fig. 4



# MULTIMETRO DIGITALE mod.HC 601



Display a 3,1/2 digit LCD  
PORTATE  
Tensioni c.c.: 200 mV ÷ 1.000 V  
Tensioni c.a.: 200 mV ÷ 750 V  
Correnti c.c.: 200 µA ÷ 2 A  
Correnti c.a.: 200 µA ÷ 2 A  
Resistenze: 0,1Ω ÷ 20 MΩ  
Alimentazione: 9 Vc.c.  
TS/2119-00

DISTRIBUITO IN ITALIA DALLA GBC

**È IN  
EDICOLA**

## SPERIMENTARE di Luglio/Agosto

troverete:

- Allarme ad ultrasuoni
- Tastiera sonora per lo ZX81
- Monitor livello batteria
- Termostato ad alta precisione
- Pico-Computer -

... e tanti altri articoli

Sperimentare

LA PIU' DIFFUSA RIVISTA MENSILE  
DI ELETTRONICA PRATICA  
MICROPROCESSORI E KIT

112	94	+/-	168	65	x	224	01	1
113	49	PRD	169	89	π	225	61	GTO
114	14	14	170	65	x	226	75	-
115	85	+	171	53	(	227	76	LBL
116	01	1	172	24	CE	228	85	+
117	95	=	173	65	x	229	02	2
118	22	INV	174	43	RCL	230	01	1
119	38	SIN	175	12	12	231	04	4
120	55	÷	176	54	)	232	01	1
121	89	π	177	39	CDS	233	02	2
122	55	÷	178	95	=	234	07	7
123	01	1	179	42	STD	235	02	2
124	00	0	180	15	15	236	07	7
125	00	0	181	43	RCL	237	76	LBL
126	95	=	182	06	06	238	75	-
127	42	STD	183	44	SUM	239	69	DP
128	12	12	184	14	14	240	02	02
129	85	+	185	75	-	241	98	ADV
130	05	5	186	24	CE	242	69	DP
131	00	0	187	65	x	243	05	05
132	35	1/X	188	43	RCL	244	76	LBL
133	55	÷	189	09	09	245	61	GTO
134	04	4	190	55	÷	246	43	RCL
135	87	IFF	191	02	2	247	10	10
136	00	00	192	95	=	248	32	X:IT
137	28	LOG	193	42	STD	249	01	1
138	65	x	194	11	11	250	05	5
139	03	3	195	69	DP	251	00	0
140	76	LBL	196	00	00	252	00	0
141	28	LOG	197	22	INV	253	71	SBR
142	95	=	198	57	ENG	254	99	PRT
143	42	STD	199	22	INV	255	43	RCL
144	13	13	200	58	FIX	256	07	07
145	55	÷	201	87	IFF	257	32	X:IT
146	43	RCL	202	01	01	258	03	3
147	07	07	203	61	GTO	259	05	5
148	55	+	204	04	4	260	02	2
149	53	(	205	03	3	261	07	7
150	01	1	206	01	1	262	71	SBR
151	75	-	207	03	3	263	99	PRT
152	43	RCL	208	04	4	264	43	RCL
153	09	09	209	02	2	265	11	11
154	54	)	210	01	1	266	32	X:IT
155	35	1/X	211	07	7	267	04	4
156	23	LNx	212	69	DP	268	02	2
157	95	=	213	03	03	269	01	1
158	42	STD	214	87	IFF	270	03	3
159	10	10	215	00	00	271	04	4
160	65	x	216	85	+	272	02	2
161	43	RCL	217	02	2	273	02	2
162	06	06	218	03	3	274	02	2
163	65	x	219	01	1	275	71	SBR
164	53	(	220	03	3	276	99	PRT
165	01	1	221	02	2	277	43	RCL
166	00	0	222	07	7	278	06	06
167	00	0	223	02	2	279	32	X:IT

$$3(a) T = \frac{1}{2f} = \frac{1}{250 \text{ Hz}} = 10 \text{ msec per onda intera}$$

$$3(b) T = \frac{1}{f} = \frac{1}{50 \text{ Hz}} = 20 \text{ msec semionda}$$

Per ricavare il tempo tra d e b occorre valutare la funzione inversa di sin, cioè arsin (o con altra notazione  $\sin^{-1}$ ); infatti da:

$$V = V_{pk} \sin \omega t$$

si ha:  $\sin \omega t = V/V_{pk}$

e, invertendo la funzione

$$\omega t = \sin^{-1} V/V_{pk}$$

e ricordando che  $\omega = 2\pi f$

si ha:

$$t = \frac{1}{2\pi f} \sin^{-1} \left( \frac{V}{V_{pk}} \right)$$

ora ricaveremo V nel nostro caso.

Poichè sappiamo l'ondulazione massima percentuale tollerata, possiamo risalire da essa al valore di V nel modo seguente:

$$V = V_{pk} - V_{pk} \cdot \text{ripple} = V_{pk} (1 - \text{ripple})$$

e sostituendo

$$4) t_{db} = \frac{1}{2\pi f} \sin^{-1} (1 - \text{ripple})$$

che è indipendente dai valori assoluti delle tensioni in gioco.

Ricaviamo ora il tempo di scarica del condensatore: esso è facilmente calcolabile come somma tra semiperiodo della semisinusoide raddrizzata  $T/2$  e  $t_{db}$  cioè, dalla 3) e 4).

$$5) t_{ab} = \frac{T}{2} + t_{db} = \frac{1}{4f} =$$

$$= \left[ 1 + \frac{2}{\pi} \sin^{-1} (1 - \text{ripple}) \right] \text{ per onda intera,}$$

mentre per il raddrizzatore a semionda è data dal valore precedente cui si somma ancora il periodo di una semisinusoide, cioè:

$$5b) t_{ab} = \frac{T}{2} + T + t_{db} = \frac{3}{4f} =$$

$$1 + \left[ \frac{2}{\pi} \sin^{-1} (1 - \text{ripple}) \right]$$

STAMPA RISULTATI

Fig. 5

280	04	4
281	02	2
282	03	3
283	03	3
284	02	2
285	06	6
286	00	0
287	00	0
288	71	SBR
289	99	PRT
290	43	RCL
291	14	14
292	32	X:T
293	04	4
294	02	2
295	03	3
296	00	0
297	02	2
298	04	4
299	03	3
300	01	1
301	71	SBR
302	99	PRT
303	43	RCL
304	15	15
305	32	X:T
306	02	2
307	04	4
308	01	1
309	06	6
310	03	3
311	03	3
312	02	2
313	06	6
314	71	SBR
315	99	PRT
316	98	ADV
317	25	CLR
318	60	DEG
319	86	STF
320	01	01
321	91	R/S
322	76	LBL
323	18	C'
324	01	1
325	66	PAU
326	43	RCL
327	10	10
328	91	R/S
329	02	2
330	66	PAU
331	43	RCL
332	07	07
333	91	R/S
334	03	3
335	66	PAU

VISUALIZZAZIONE RISULTATI

Fig. 6

Ora siamo giunti quasi al termine.

Nel periodo  $t_{ab}$  il condensatore si scarica sul carico  $R_L$ , dal valore di tensione di picco  $V_{pk}$  a quello assunto al punto b, pari a  $V_{pk}$  (1-ripple) e, come noto, la legge di variazione è esponenziale negativa, cioè imponendo le condizioni dette:

$$V_{pk} \text{ (1-ripple)} = V_{pk} \cdot e^{-\frac{t_{ab}}{C \cdot R_L}}$$

e invertendo la funzione si ha finalmente:

$$6) C = \frac{t_{ab}}{R_L \cdot \log \left( \frac{1}{1\text{-ripple}} \right)}$$

nella quale tutti i termini a destra dell'uguale sono noti.

Per avere la corrente di picco nei diodi ricaviamo dalla relazione che lega carica e tensione di un condensatore

$$Q = C \cdot V, \text{ derivando}$$

$$\frac{dQ}{dt} = C \cdot \frac{dV}{dt} \text{ ma } \frac{dQ}{dt} = I \text{ e allora}$$

$$I = C \cdot \frac{dV}{dt}$$

ora osserviamo che nel tempo  $t_{ab}$  l'andamento della tensione ai capi del condensatore è sinusoidale (nel caso che il trasformatore non saturi, cioè lavori entro le sue caratteristiche, altrimenti i risultati riportati costituiscono un valore approssimato per eccesso) per cui:

$$I = C \cdot V_{pk} \cdot \omega \cdot \cos(\omega t)$$

Il massimo di  $I$  si ha all'inizio della conduzione dei diodi, cioè, dopo un tempo  $t = t_{ab}$ , avendo considerato l'origine della sinusoide in  $d$ .

Quindi:

$$7) I_{Dpk} = C \cdot V_{pk} \cdot 2\pi \cdot 50 \text{ Hz} \cdot \cos(2\pi \cdot 50 \cdot t_{ab})$$

Ricaviamo facilmente i risultati che mancano:

$$V_{media} = V_{pk} \cdot V_{pk} \cdot \text{ripple} + \frac{V_{pk} \cdot \text{ripple}}{2}$$

da cui

$$V_{media} = \frac{(2 - \text{ripple})}{2} V_{pk}$$

poi

$$9) V_{min} = V_{pk} \text{ (1-ripple)}$$

$$10) V_{max} = V_{pk} = V_s \cdot \sqrt{2} - V_D$$

con ciò abbiamo esaurito tutte le derivazioni matematiche.

Rimane solo da ricordare che nel caso di raddrizzatori al silicio la caduta di tensione  $V_D$  vale circa 0,7 V per raddrizzatori a semionda e 1,4 V per quelli in cui entrano in conto due diodi, ad esempio per i raddrizzatori a ponte visti prima.

Il figura 4 e seguenti, è riportato il listing del programma che svolge i calcoli descritti.

Per fare girare il programma, occorre eseguire i passi seguenti, in qualsiasi ordine:

- (1) introdurre  $V_s$ , tensione del secondario del trasformatore e premere A

336	43	RCL
337	11	11
338	91	R/S
339	04	4
340	66	PAU
341	43	RCL
342	06	06
343	91	R/S
344	05	5
345	66	PAU
346	43	RCL
347	14	14
348	91	R/S
349	06	6
350	66	PAU
351	43	RCL
352	15	15
353	91	R/S
354	61	GTO
355	18	C'
001	99	PRT
014	11	A
025	12	B
036	13	C
049	14	D
060	17	B'
067	16	A'
071	98	ADV
102	38	SIN
141	28	LOG
228	85	+
238	75	-
245	61	GTO
323	18	C'

"ELENCO LABELS"

Fig. 4), 5), 6) - Listing del programma

- (2) introdurre  $V_D$ , tensione di caduta sui diodi e premere B.
- (3) introdurre la percentuale di ripple tollerata (il 20% dà in genere il miglior compromesso tra ripple e valore di C) poi premere C.
- (4) introdurre  $I_L$ , max corrente di carico in Ampere, poi premere D.

Forse è meglio spiegare cosa si intende per "qualsiasi ordine": il significato è che non è necessario inserire i dati nell'ordine numerico di presentazione, ma si può cominciare con  $V_D$ , poi  $I_L$  e quindi  $V_s$  e ripple o altro. Quando se dopo l'elaborazione si vuole cambiare un dato è sufficiente introdurre solo il dato cambiato, rimanendo gli altri memorizzati. Se è collegata la stampante PC 100, ogni volta che si introduce un dato, esso viene stampato affiancato ad un nome abbreviato, per ricordare a cosa si riferisca.

Dopo aver introdotto in calcolatrice le informazioni necessarie, si passa alla elaborazione vera e propria. Nel caso si sia utilizzato uno schema di raddrizzamento a onda intera si premerà 2ND A, nel caso della semionda 2ND B. Al termine dell'elaborazione si hanno due forme di presentazione dei risultati. Nel caso sia collegata la stampante, vengono stampati con codice mnemonico affianco i valori di 1) condensatore C (in Farad), 2) resistenza di carico  $R_L$  (in  $\Omega$ ), 3) tensione media di uscita  $V_{av}$  col carico specificato, 4) tensione di picco  $V_{pk}$ , 5) tensione minima  $V_{min}$ , 6) la corrente di picco nei diodi  $I_{Dpk}$ .

Nel caso invece la stampante non sia collegata, quando l'elaborazione si arresta sul display appare il valore "0.00". Per vedere i risultati occorre premere 2ND C. Apparirà dapprima la cifra 1, seguita dal valore del condensatore; per avere gli altri dati occorre premere R/S, dopodichè apparirà il numero 2, seguito dopo pochi istanti dal valore della  $R_L$ .

Alla successiva pressione si avrà 3, poi  $V_{av}$ , poi ancora 4 seguito da  $V_{pk}$ , quindi 5 cui segue  $V_{min}$  e 6 con  $I_{Dpk}$ .

Se si preme nuovamente R/S si torna a visualizzare 1 e il valore di C.

Una nota merita la visualizzazione dei dati in uscita.

Il programma usa la notazione tecnica, quella, per intenderci, ottenuta premendo 2ND ENG. Quindi "10 06" significa che il condensatore deve avere un valore da  $10 \cdot 10^{-6}$  Farad, cioè 10  $\mu F$ . Un accenno merita il fatto che i condensatori elettrolitici hanno tolleranze di fabbricazione elevate, del tipo +20%,

12. 00	VS	9. 00	VS
1.4 00	VD	700. -03	VD
20. 00	%ER	20. 00	%ER
250. -03	IL	250. -03	IL
FULL WAVE		HALF WAVE	
572. 14991-06	C	1. 6721298-03	C
62. 282251 00	RL	48. 111688 00	RL
14. 013506 00	VAVG	10. 82513 00	VAVG
15. 570563 00	VPK	12. 027922 00	VPK
12. 45645 00	VMIN	9. 6223376 00	VMIN
1. 6792497 00	IDPK	3. 7910691 00	IDPK
10. 00	%ER	10. 00	%ER
1. 3051234-03	C	3. 6622751-03	C
62. 282251 00	RL	48. 111688 00	RL
14. 792035 00	VAVG	11. 426526 00	VAVG
15. 570563 00	VPK	12. 027922 00	VPK
14. 013506 00	VMIN	10. 82513 00	VMIN
2. 7828035 00	IDPK	6. 0320959 00	IDPK
30. 00	%ER	30. 00	%ER
336. 18406-06	C	1. 0179446-03	C
62. 282251 00	RL	48. 111688 00	RL
13. 234978 00	VAVG	10. 223734 00	VAVG
15. 570563 00	VPK	12. 027922 00	VPK
10. 899394 00	VMIN	8. 4195454 00	VMIN
1. 1744009 00	IDPK	2. 7469433 00	IDPK

Fig. 7 - Esempi di elaborazioni, come descritti nel testo.

-50%; il che significa che un condensatore marcato 10  $\mu F$  può valere 120  $\mu F$  o solo 50  $\mu F$ .

Ottenuti quindi i risultati dei calcoli si tenga presente di aumentare il valore di C del fattore corrispondente. Nel caso accennato si sarebbe optato saggiamente per un valore doppio della capacità calcolata. La tensione di picco  $V_{pk}$  è data per poter scegliere la tensione di lavoro dei condensatori maggiore di tale valore.

Per quanto riguarda la corrente di picco nei diodi  $I_{Dpk}$  essa ci fornisce un utile indicazione circa quali diodi scegliere. Non si assuma però tale corrente come quella continua di lavoro, perchè in tal caso si surdimensionerebbero troppo i raddrizzatori.

In figura 7 sono riportati i risultati per le due disposizioni, a onda intera e a semionda.

Come si vede, per entrambi i casi, i dati introdotti vengono stampati man mano, con il codice cui si riferiscono. Poi, a seconda della elaborazione viene stampato il titolo, "Full Wave" per onda intera e "Half Wave" per la semion-

da, seguito dai risultati.

Dopo di ciò si è provato a cambiare la percentuale di ondulazione (ripple, indicato con "% ER") tollerata, il nuovo dato viene stampato e facendo partire nuovamente l'elaborazione, non viene più stampato il titolo ma solo i risultati.

Nel caso si voglia provare a elaborare sia "Full Wave" che "Half Wave" consecutivamente, occorre premere "INV 2ND St flg 1", ogni volta che si cambia tipo di elaborazione, perchè venga stampato il titolo. Del resto, si è preferito optare per la soppressione del titolo in tutte le elaborazioni successive la prima, sia per risparmiare carta, sia perchè è assai improbabile usare entrambe le circuiterie nella stessa seduta, visto che, in genere, il tipo di raddrizzatore viene scelto in precedenza in sede di valutazione globale del circuito.

Nel caso interessassero calcoli per frequenze di linea diverse da 50 Hz, è sufficiente introdurre al posto di 50, ai passi 92 e 93 la nuova frequenza, e al posto di 100 il doppio della nuova frequenza ai passi 123, 124, 125 e 165, 166, 167. Il resto rimane tale e quale.

# Generatore di impulsi di corrente a 150 A per controllare le caratteristiche di dispositivi di potenza

Molto spesso in laboratorio occorre disporre di un circuito capace di fornire impulsi di corrente e di tensione elevate e di breve durata. Nella maggior parte dei casi questi impulsi vengono usati a loro volta per studiare il comportamen-

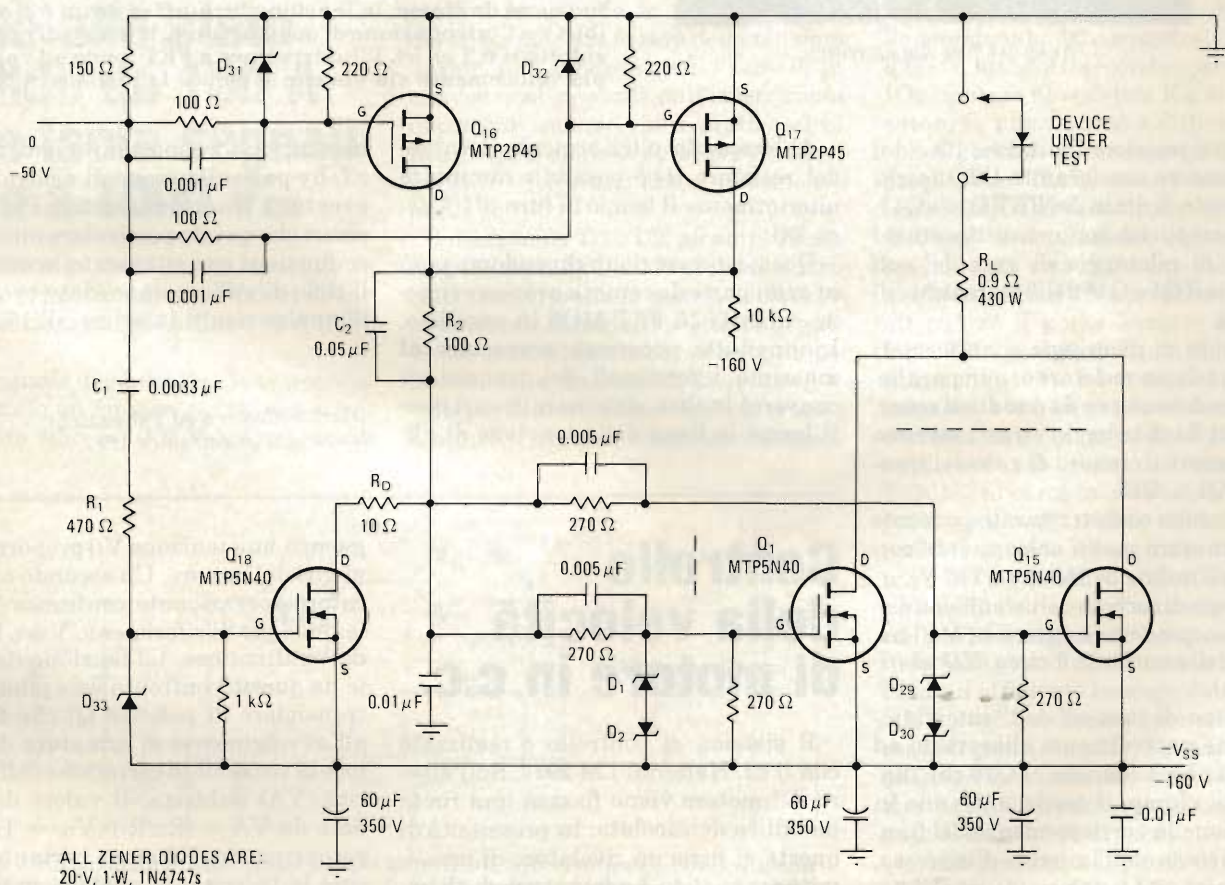
to di un dato dispositivo di commutazione di potenza in vista di un suo impiego in una particolare applicazione.

In pratica si tratta di realizzare un circuito on/off il cui interruttore statico sia in grado di lavorare con una velocità di commutazione *più elevata* di quella con cui dovrà lavorare il dispositivo che si vuole controllare. Un transistor MOS di potenza sarebbe l'interruttore ideale in questo caso; ha solo l'inconveniente di non poter fornire l'intensità di corrente richiesta. Questa limitazione può però essere superata collegando in parallelo molti transistori MOS di potenza. Ciò permetterà di avere ancora impulsi molto brevi ma con la potenza desiderata.

Con riferimento alla *figura 1* vediamo che per ottenere impulsi di corrente di 150 A occorre collegare in parallelo 15 FET MOS di potenza (Q1 ... Q15). Inizialmente, condurrà maggior cor-

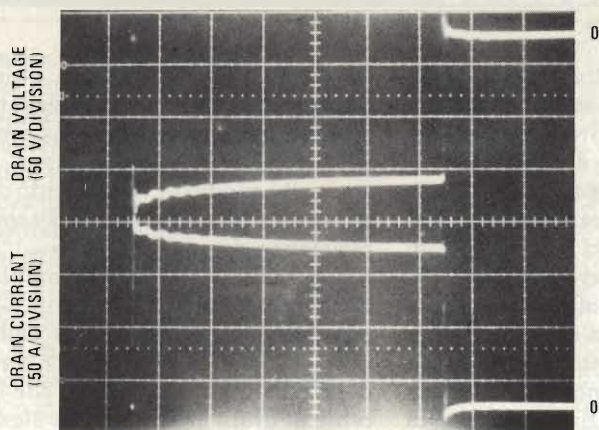
rente quel FET avente un valore di transconduttanza ( $g_{fs}$ ) più elevato, e di conseguenza, questo transistoro sarà sede di una forte dissipazione, che a sua volta produrrà un aumento di temperatura la quale però abbasserà la resistenza drain/source ( $r_{ds(on)}$ ), con il risultato finale di avere un'autolimitazione della corrente di drain. Questo processo di autoregolazione della corrente di drain si ripeterà per ciascuno dei FET in parallelo fino a che la corrente di drain assumerà uno stesso valore in tutti i rami.

La corrente di pilotaggio di questo "particolare interruttore a FET MOS" è fornita da due altri FET (Q16 e Q17) a canale p, collegati in parallelo. Questi FET vengono portati a loro volta in conduzione da un impulso negativo (-50 V) applicato al loro gate. Questo impulso di pilotaggio viene applicato all'interruttore di potenza (Q1 ... Q15) a

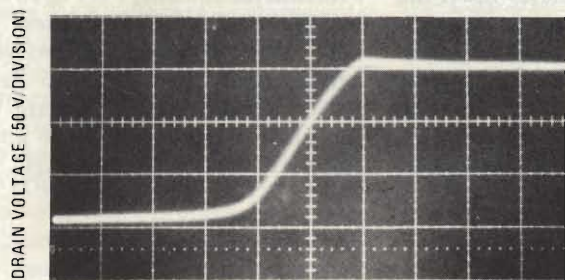


ALL ZENER DIODES ARE:  
20-V, 1-W, 1N4747s

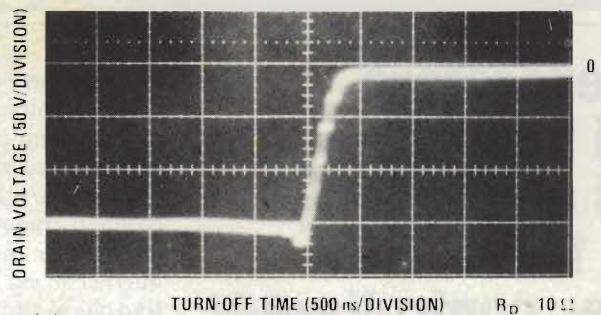
**Fig. 1 - Particolare dell'interruttore che, per fornire impulsi di corrente di 150 A di picco, impiega 15 FET MOS di potenza, canale n, collegati in parallelo. In questo interruttore veloce di potenza non occorre impiegare FET selezionati in quanto viene sfruttata la caratteristica di autolimitazione della corrente di drain propria di un dispositivo FET. L'impulso di pilotaggio di questo interruttore ha un tempo di salita di 10 ns, un'ampiezza di 50 V e un ciclo di utilizzazione molto breve (1%).**



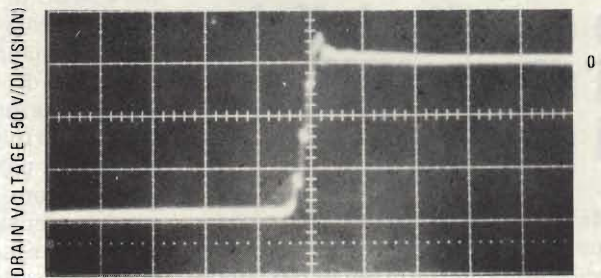
(a)



(b)



(c)



(d)

Fig. 2 - Forme d'onda caratteristiche dell'interruttore. Il tempo di turn-on della tensione di drain del circuito è 10 ns; la corrente di drain raggiunge il massimo in circa 250 ns a causa del carico reattivo (a). Senza il transistor Q18, che funziona da clamp, la tensione turn-off di drain è circa 1 μs (b). Con l'introduzione di questo clamp, il tempo di turn-off è ridotto a 0,2 μs (c). L'interruttore a FET tende ad "aprirsi" più velocemente via via che si riduce la resistenza R<sub>d</sub> (d).

mezzo del resistore limitatore R2 e dal condensatore acceleratore C2, inseriti nel circuito di drain dei FET Q16 e Q17.

Per semplicità sono stati riportati i circuiti di pilotaggio di gate dei soli transistor Q1 e Q15 dell'interruttore di potenza.

I circuiti di pilotaggio sono formati ciascuno da un resistore con in parallelo un condensatore e da due diodi zener, collegati back-to-back, i quali servono a proteggere il circuito di gate dei transistori Q1 ... Q15.

Un circuito così strutturato consente di commutare molto velocemente correnti dell'ordine di 150 A (a 140 V).

Il tempo di turn-on della tensione dell'impulso prodotto è inferiore a 10 ns, quello della corrente è circa 250 ns (figura 2a).

Il tempo di turn-off dell'"interruttore" viene notevolmente abbreviato ad opera del FET (canale n) Q18 che funziona da clamp, il quale, entrando in conduzione in corrispondenza del fianco di discesa dell'impulso d'ingresso, può fornire una tensione inversa di gate all'interruttore di potenza.

Il tempo di turn-off della tensione di drain che ammonta a circa 1 ms (figura 2b), viene ridotto a 0,2 μs proprio a causa di questo circuito clamp (figura 2c).

Abbassando ulteriormente il valore del resistore R<sub>d</sub> è possibile diminuire ulteriormente il tempo di turn-off (figura 2d).

Queste prestazioni dipendono però in gran parte da come in pratica vengono cablati i 15 FET MOS in parallelo. Innanzitutto occorrerà accorciare al massimo i terminali dei transistori; converrà inoltre, sistemare in vari punti lungo la linea della tensione di ali-

mentazione, opportuni condensatori r.f. by-pass allo scopo di neutralizzare eventuali fenomeni reattivi. Per essere sicuri che questo particolare interruttore funzioni correttamente, occorre che il ciclo di utilizzazione (duty cycle) dell'impulso risulti inferiore all'1%.

(Herb Saladin e Al Pshaenich)  
Motorola - Electronics 1982.

## Controllo della velocità di motore in c.c.

Il sistema di controllo è realizzato con il c.i. National LM 2917. Sull'albero del motore viene fissata una ruota metallica denticolata. In prossimità di questa si pone un rivelatore di prossimità magnetico. La frequenza degli impulsi prodotti da quest'ultimo, sarà pertanto proporzionale ai giri del motore. Questi vengono applicati all'integrato dove, nella "pompa di carica", producono una corrente I<sub>1</sub> (e di conse-

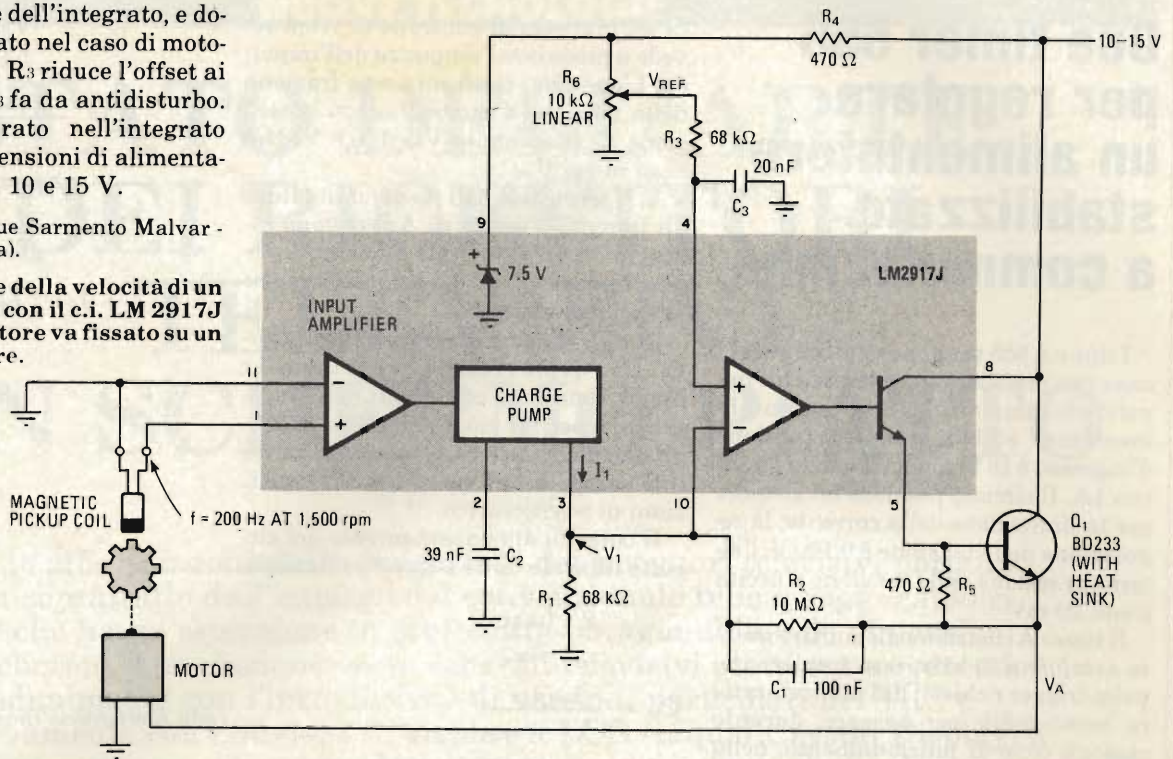
guenza una tensione V<sub>1</sub>) proporzionale ai giri del motore. Un secondo amplificatore operazionale confronta V<sub>1</sub> con la tensione di riferimento V<sub>REF</sub>, fissata dall'utilizzatore. La tensione risultante da questo confronto va a pilotare un transistor di potenza Q<sub>1</sub> che fornirà all'avvolgimento di armatura del motore la tensione di correzione della velocità (VA) richiesta. Il valore di VA è dato da  $VA = (R_2/R_1)(V_{ref} - I_1 R_1)$ . Il potenziometro R<sub>6</sub> serve pertanto a fissare la velocità del motore, in quanto quando  $V_1 > V_{ref}$ , la tensione VA tende a diminuire e viceversa. La funzione degli altri componenti è la seguente: C<sub>1</sub> serve da livellatore degli impulsi di corrente e da stabilizzatore. C<sub>2</sub> fissa il fat-



tore di conversione dell'integrato, e dovrà essere aumentato nel caso di motori a bassa velocità.  $R_3$  riduce l'offset ai terminali 4 e 10.  $C_3$  fa da antidisturbo. Lo zener incorporato nell'integrato consente di usare tensioni di alimentazione comprese tra 10 e 15 V.

(Electronics - Henrique Sarmento Malvar - Università di Brasilia).

Fig. 3 - Regolazione della velocità di un motore in continua con il c.i. LM 2917J National. Il transistorore va fissato su un dissipatore di calore.



## Relé allo stato solido da 100 A che isola segnali fino a 1000 V<sub>cc</sub>

Il relé allo stato solido riportato in figura 4, può commutare valori di corrente alternata dell'ordine 100 A a 115 V.

Il segnale di controllo viene applicato tramite un fotoaccoppiatore con isolamento fino a 1000 V<sub>cc</sub>. Questo relé

statico, lavorando in corrispondenza del passaggio per lo zero della tensione di rete, non produce quella serie di inconvenienti prodotti dall'interruzione di correnti intense, che in pratica significano forti disturbi R. F. per i radiorecettori e televisori che si trovano nei paraggi.

I diodi zener D1 e D2, gli amplificatori operazionali IC<sub>a</sub> e IC<sub>b</sub> e i circuiti associati trasformano il segnale della rete in una serie di impulsi positivi e negativi che coincidono con il passaggio per lo zero della tensione della rete.

In particolare, i diodi zener servono a limitare il segnale alternato di ingres-

so al valore di 30 V da picco a picco; l'operazionale IC<sub>a</sub> squadrata la forma d'onda, mentre il secondo operazionale IC<sub>b</sub>, insieme al resistore R e al condensatore C, provvedono a differenziarla.

Per portare in conduzione il fotoaccoppiatore TIL121 occorre una corrente di 15 mA. Il fotoaccoppiatore quando si trova in conduzione, consente alla tensione di rete differenziata di raggiungere le basi dei transistori Q1 e Q2 attraverso il ponte formato dai diodi D3 ... D6. I transistori, una volta portati in conduzione ad opera del suddetto impulso, sono in grado di fornire una corrente di pilotaggio di 150 mA, che applicata sul gate del triac RCA T2301B, lo porta in conduzione. Gli impulsi applicati in gate del triac sono positivi quando il terminale di rete del triac MT2 è positivo rispetto al terminale MT1, e negativi quando il terminale MT2 è negativo rispetto al terminale MT1, condizione questa che assicura un efficiente innescamento del triac.

Nel caso occorresse commutare correnti di pochi Ampère, è possibile semplificare il circuito eliminando i transistori Q1 e Q2 e pilotare direttamente il gate di un triac di minore potenza con il segnale presente sul punto di congiunzione dei diodi D3 e D4. La corrente disponibile su questo punto è infatti circa 10 mA.

(Stan Rubin, Ragen Data System - Electronic Design/1982).

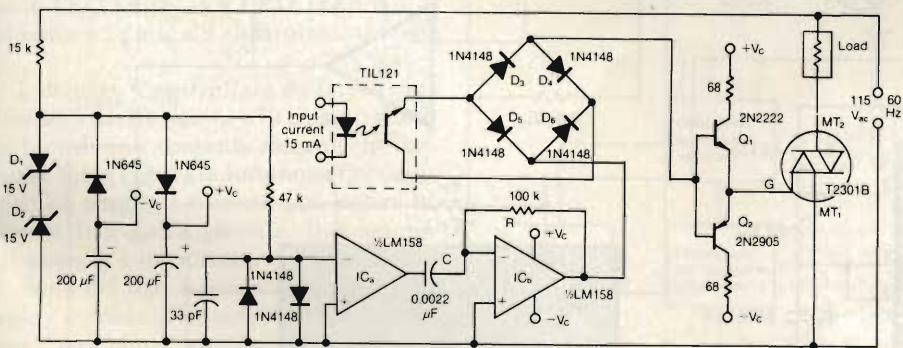


Fig. 4 - Interruttore allo stato solido capace di interrompere correnti con intensità di 100 A a 115 V di rete. Un fotoaccoppiatore provvede ad isolare (1000 V<sub>cc</sub>) il relé dal segnale di controllo. Il circuito può quindi essere comandato a distanza. L'apertura/chiusura del triac (interruttore statico), solo in corrispondenza del passaggio per lo zero della tensione di rete, evita gli inconvenienti derivanti dall'interruzione di valori di correnti elevate e di conseguenza, non produce disturbi a radiofrequenza nei televisori e nei ricevitori che si trovino nelle vicinanze.

# Due timer 555 per regolare un alimentatore stabilizzato a commutazione

I due c.i. 555 vengono usati in questo caso per modulare in ampiezza gli impulsi di commutazione di questo alimentatore stabilizzato. La tensione d'ingresso è 18 V, quella d'uscita è 12 V con 1A. Il circuito possiede un sistema per la limitazione della corrente; la regolazione della tensione è 0,1%/V; l'alternata residua sulla tensione d'uscita è soli 20 mV.

Il timer A<sub>1</sub> funziona da multivibratore *astabile* a 20 kHz; esso fornisce impulsi *trigger* richiesti dal multivibratore *monostabile* per passare, durante ciascun ciclo di funzionamento, nello stato logico "1". L'uscita dell'amplificatore operazionale 741, ("1") applica-

ta all'ingresso di controllo di A<sub>2</sub> provvede a modulare l'ampiezza dell'impulso. L'op. amp. confronta una frazione della tensione d'uscita V<sub>out</sub> con la tensione di riferimento V<sub>ref</sub> di 6,8 V. Nel caso in cui V<sub>ref</sub> > V<sub>out</sub>, il terminale 5 di A<sub>2</sub> diventa alto, e gli impulsi d'uscita di A<sub>2</sub> vengono allungati rimanendo tali fino a che V<sub>ref</sub> = V<sub>out</sub>. Nel caso V<sub>ref</sub> < V<sub>out</sub>, questi impulsi verrebbero accorciati.

Q<sub>1</sub> e Q<sub>2</sub> sono i transistori "interruttori". Q<sub>3</sub> e Q<sub>4</sub> provvedono ad effettuare la limitazione della corrente I<sub>L</sub> nell'induttanza, e per far ciò abbreviano la lunghezza degli impulsi. Q<sub>3</sub> serve anche ad interrompere l'alimentatore in condizioni di sovraccarico.

Il corretto dimensionamento del circuito dipende dalle seguenti relazioni:

$$t_{on (min)} = \frac{2 \tau I_{in sc}}{I_L (max)}$$

$$C_0 = \frac{I_{out} t_{off}}{4 V_{modulazione}}$$

$$t_{on}/t_{off} = \frac{V_{out} + 0,7}{V_{in} - (V_{out} + V_{ce sat Q_2})}$$

$$R_{sc} = \frac{V_{BEQ3}}{1.1 I_p}$$

$$L = \frac{(V_{out} + 0,7) t_{off}}{I_p}$$

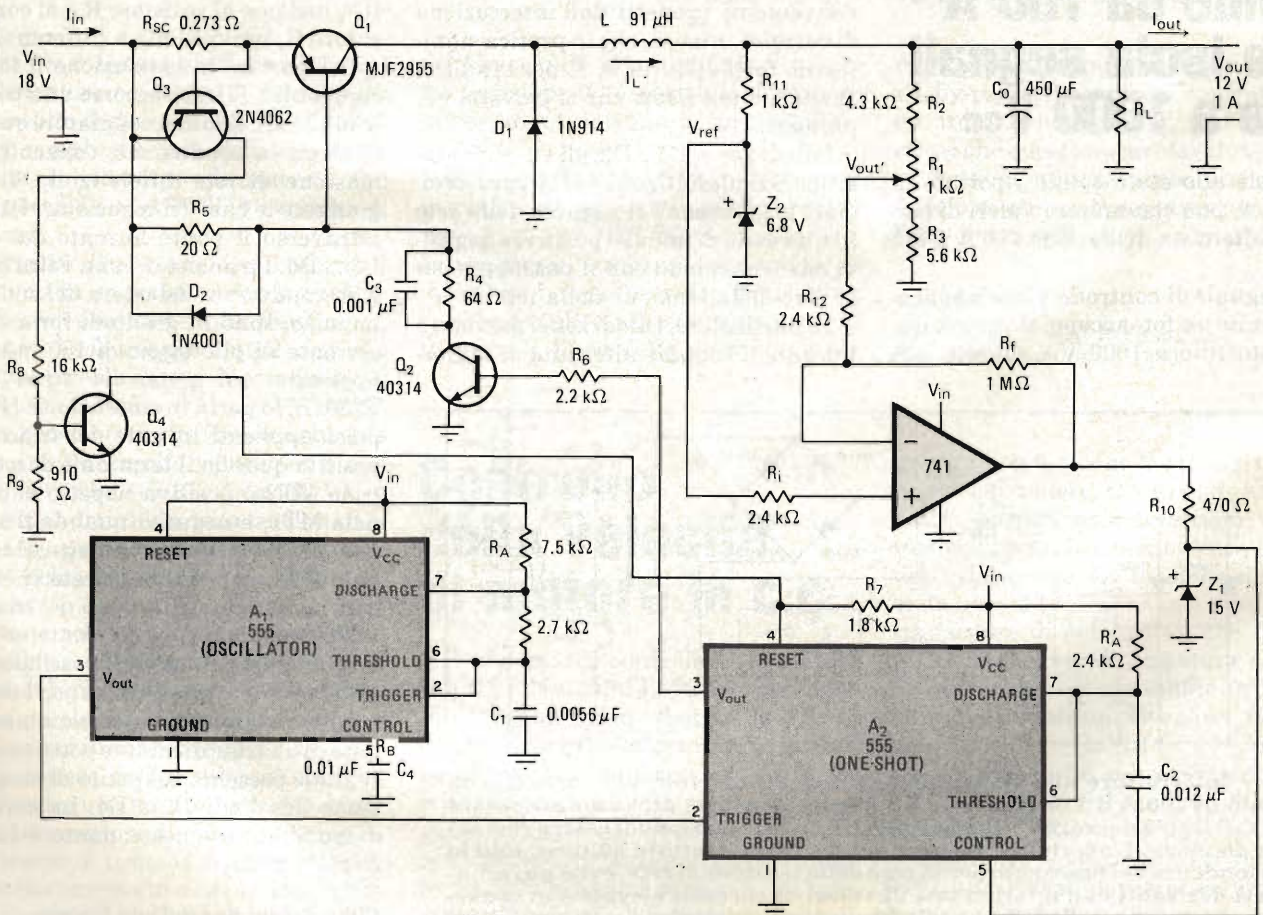
$\tau$  = periodo oscillazione

I<sub>in sc</sub> = corrente d'ingresso di cortocircuito

$$I_p = 2 I_{out}$$

(da Electronics/Dicembre 1981)

Fig. 5 - Regolatore cc/cc realizzato con due c.c. timer 555.



# STATO DELL'ARTE DEI RICEVITORI TELEVISIVI CON SCHERMO PIATTO

di G. Martinetti

Il limite alla riduzione delle dimensioni dei ricevitori televisivi portatili deriva soprattutto dall'impiego del convenzionale tubo a raggi catodici (TRC) che ha un'estensione in profondità paragonabile alle dimensioni dello schermo. L'evoluzione verso schermi televisivi piatti sta avvenendo gradualmente con l'introduzione di versioni particolari del TRC e successivamente con l'impiego di display a LCD (Liquid Crystal Display) a bassissimo consumo. Dopo una breve rassegna dei principali display piatti, con particolare riferimento al tipo LCD, vengono descritti nel presente articolo alcuni ricevitori televisivi miniaturizzati che vedremo apparire nel corso degli anni '80.

I display vengono anzitutto classificati secondo il metodo utilizzato per ottenere la luminosità dell'immagine e secondo il sistema impiegato per la scansione.

I display "emettitori di luce" debbono fornire direttamente l'energia luminosa necessaria per ottenere l'adeguato contrasto rispetto all'ambiente. Tali display sono perciò caratterizzati da un considerevole consumo di energia.

Sono di questo tipo, oltre al tradizionale TRC, i display a LED, i pannelli a plasma e i pannelli elettroluminescenti.

I display "controllori di luce" controllano in riflessione o in trasmissione la luce di una sorgente esterna che fornisce tutta l'energia luminosa necessaria. La sorgente esterna può essere la stessa luce dell'ambiente. Il consumo di energia è in tal caso molto piccolo.

Sono del tipo a controllo di luce i display a cristalli liquidi (LCD) e il sistema "eidophor" per la proiezione su grande schermo con l'impiego di una potente sorgente luminosa.

La scansione dell'immagine sullo schermo può essere "a fascio singolo" oppure "a matrice".

Nel primo caso ogni elemento dell'immagine viene esplorato sequenzial-

mente punto per punto. In tal modo ogni elemento dello schermo deve essere in grado di rispondere senza saturare ad un'intensità di segnale N volte più grande di quella che sarebbe necessaria se tutti gli elementi dello schermo

venissero intensificati contemporaneamente.

È questo naturalmente il caso del tradizionale tubo a raggi catodici in bianco e nero dove è possibile intensificare un elemento dello schermo per volta, in

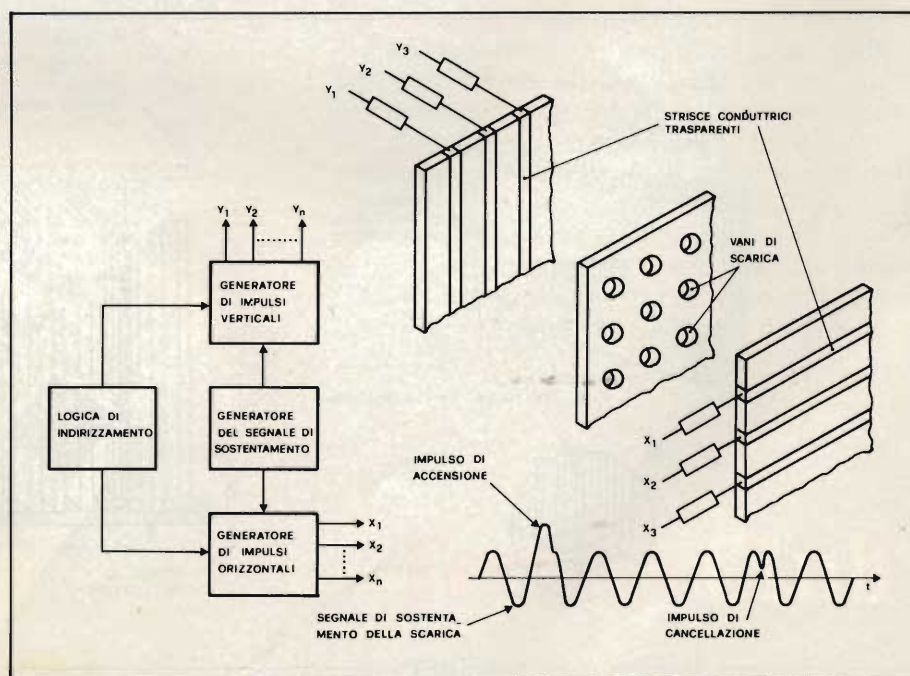


Fig. 1 - Costituzione e funzionamento di un display a plasma del tipo A. C.

un tempo complessivo inferiore al limite di persistenza della retina.

Nel caso del TRC a colori, il fascio diventa triplo essendo generato da tre cannoni elettronici, mentre la scansione sostanzialmente non cambia.

Con la scansione "a matrice" esiste una sorgente distribuita su tutto lo schermo o meglio tante sorgenti elementari, ognuna azionabile in modo indipendente.

Ogni sorgente è indirizzabile secondo le proprie coordinate XY. Anche se è possibile la scansione sequenziale per punti, ora si preferisce la scansione per linee o addirittura per l'intero quadro mediante un'opportuna memoria di linea o di quadro. In tal modo viene ridotto il picco di luminosità richiesto al singolo elemento.

Una maggiore complicazione rispetto al fascio singolo deriva dalla necessità che tutti gli elementi accesi contemporaneamente debbono possedere un circuito di controllo distinto.

Un esempio di scansione a matrice si ha nel *display a plasma* che è costituito da una serie di celle elementari ripiene di gas e delimitate fra due pannelli di vetro recanti strisce conduttrici trasparenti verticali e orizzontali. Come rappresentato in *figura 1*, la scarica che produce l'illuminazione di colore rosso della cella di coordinate XY avviene applicando un'opportuna tensione alle corrispondenti strisce che individuano quella cella. Viene applicata a tutte le celle una tensione alternata a 30-50 kHz (da cui il nome di AC Plasma Panel) di ampiezza non sufficiente a pro-

durere la scarica. Applicando a una cella un impulso che aumenti per un istante quella tensione, avviene la ionizzazione del gas e la scarica permane anche dopo la fine dell'impulso.

Esistono inoltre display a plasma del tipo DC (Direct Current) in cui per l'eccitazione del gas occorre applicare permanentemente una tensione continua di valore opportuno.

Sono in corso esperimenti per realizzare schermi a plasma a colori in cui le radiazioni del gas eccitano fosfori di colori diversi.

Nei *display a LED* è limitato il numero di punti luminosi disponibili rispetto ai display precedenti e perciò vengono impiegati solo per rappresentazioni alpha-numeriche.

I *display a LCD*, esaminati in detta-

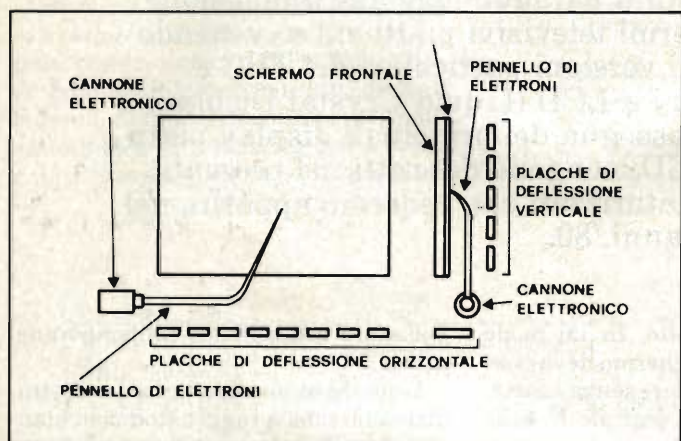


Fig. 2 - TRC piatto realizzato da AIKEN nel 1957.

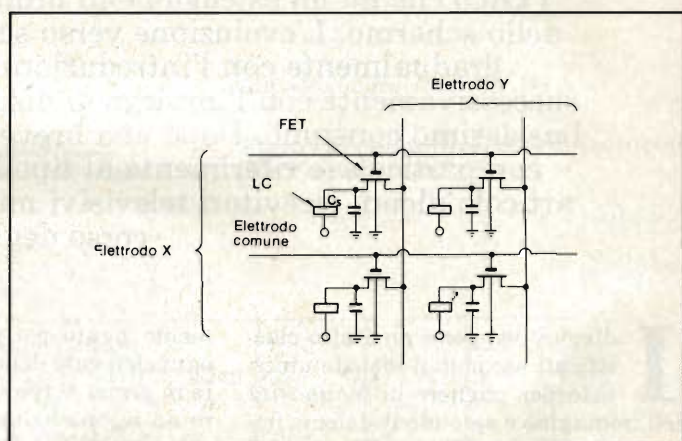


Fig. 4) - Display a LCD del tipo Fet-Array, contenente in ogni punto XY un fet che funziona come elemento di storage.

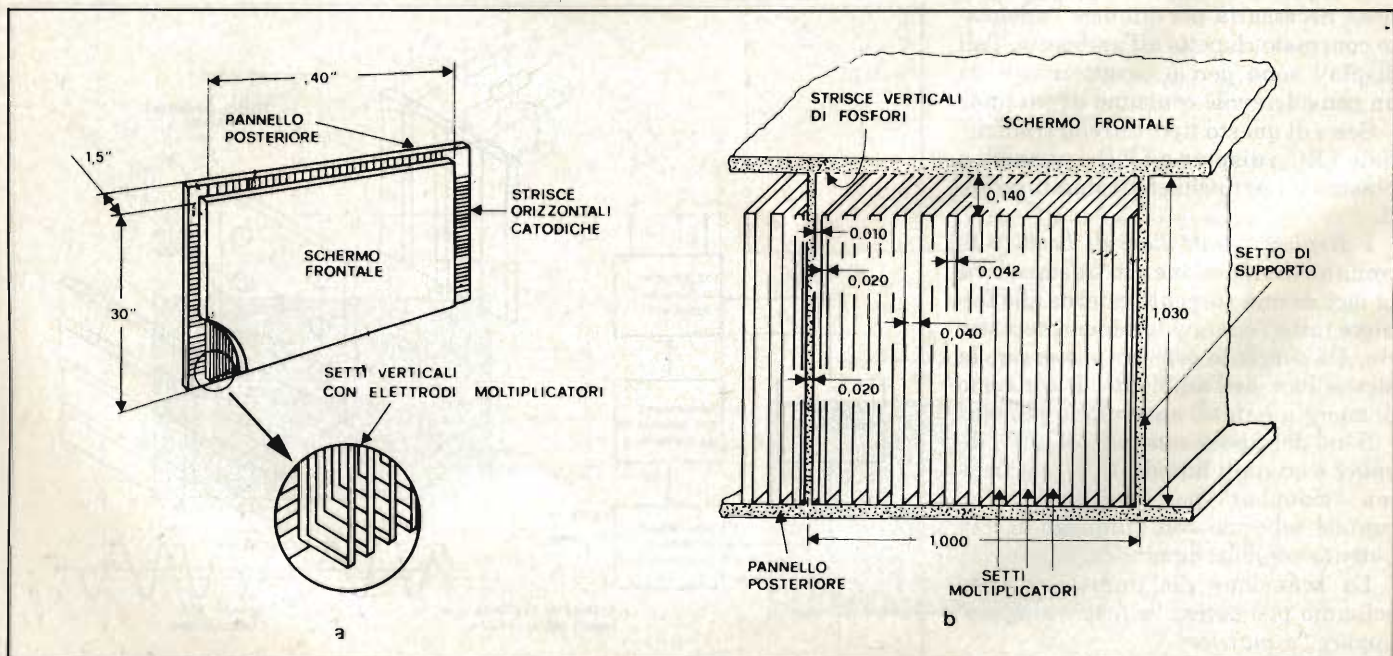


Fig. 3 - Il TRC piatto con catodo freddo realizzato dalla RCA a) vista frontale; b) sezione orizzontale di un modulo.

# La guida sicura nel labirinto tecnologico.

**TechnoClub** è l'organizzazione di vendita per corrispondenza del libro tecnico (principalmente elettronica e informatica) nonché del software applicativo.

**TechnoClub** è anche il tuo consulente, la guida sicura per orientarsi nel labirinto dell'editoria tecnica, lo strumento ed il servizio essenziale per il numero crescente di persone che hanno compreso l'importanza della tecnologia nel mondo odierno.

Libri di base e didattici per imparare a capire; applicativi per realizzare e coltivare il proprio hobby; pratici per risolvere i problemi dell'attività quotidiana; di elevata specializzazione per migliorare il proprio background professionale o culturale. E altri ancora per soddisfare ogni esigenza.

**TechnoClub** offre solo il meglio della produzione tecnica editoriale. Per questo ha scelto di collaborare con qualificati editori italiani e soprattutto si avvale di un'équipe di professionisti che esamina, seleziona e propone le opere più significative e complete.



**TechnoClub** ha instaurato rapporti di collaborazione con i più prestigiosi editori e software-house stranieri, per offrire tempestivamente, già da quest'anno, le opere più innovative in lingua originale e il software più interessante, appena disponibili. Tutti possono aderire al TechnoClub, assicurandosi un servizio garantito, professionale, veloce, unico nel suo genere. Esamina le modalità per diventare Socio e considera i numerosi vantaggi che ne derivano.



## TechnoClub

i migliori libri tecnici  
e il software a casa vostra.



Cod. IFD01



Cod. IBH01



Cod. IFH11



Cod. IFH12



Cod. IFH09



Cod. IFH10



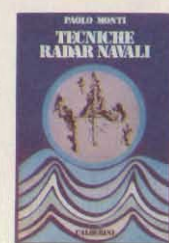
Cod. IFH04



Cod. IBF01



Cod. IBF02



Cod. IBF03



Cod. IBF04



Cod. IHF06



Cod. IHF07



Cod. IHF08



Cod. IFI01



Cod. IFI02



Cod. IFI03



Cod. IFI04



Cod. IFI08



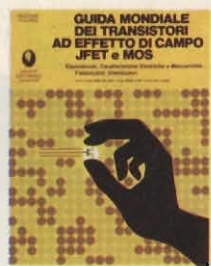
Cod. IFI05



Cod. IFI06



Cod. III01



Cod. IFE01



Cod. IFE02



Cod. IFE03



Cod. ICE02



Cod. ICE05



Cod. ICE06

# Associati subito. Hai almeno 8 buone ragioni per farlo.

## 1. Nessun impegno di acquisto.

I Soci non sono vincolati all'acquisto di un numero minimo di libri durante il periodo di adesione al **TechnoClub**. Di conseguenza, scelta libera e nessuna imposizione, acquistando quello che si vuole, quando si vuole.

## 2. Garanzia.

I libri proposti dal **TechnoClub** costituiscono sempre la versione originale e più aggiornata delle edizioni in commercio. Il **TechnoClub** garantisce quindi il contenuto e la veste tipografica originali.

## 3. Convenienza certa.

Il prezzo delle opere offerte ai Soci del **TechnoClub** è inferiore del 10% circa rispetto al prezzo di copertina dell'edizione in commercio. Il risparmio è perciò assicurato.

## 4. Consulenza professionale per una scelta sicura.

La selezione delle opere proposte dal **TechnoClub** è effettuata da un gruppo di esperti dei singoli settori. Viene in tal modo offerto ai Soci un orientamento sicuro e garantita la massima affidabilità nella scelta.

## 5. Informazione costante.

A tutti i soci del **TechnoClub** viene inviata gratuitamente, ogni tre mesi, la rivista "**TechnoClub Review**", che presenta l'assortimento, suddiviso per argomento e settore specifico di interesse, dei libri selezionati. Ogni libro viene illustrato con note esplicative che ne chiariscono il contenuto.

Il Socio viene in tal modo facilitato nella scelta, secondo le sue specifiche esigenze.

## 6. Aggiornamento continuo.

"**TechnoClub Review**" garantisce inol-

tre l'aggiornamento costante sulle novità editoriali.

Considerando l'evoluzione continua dei settori trattati, i Soci dispongono così di uno strumento efficace per tenersi tempestivamente aggiornati.

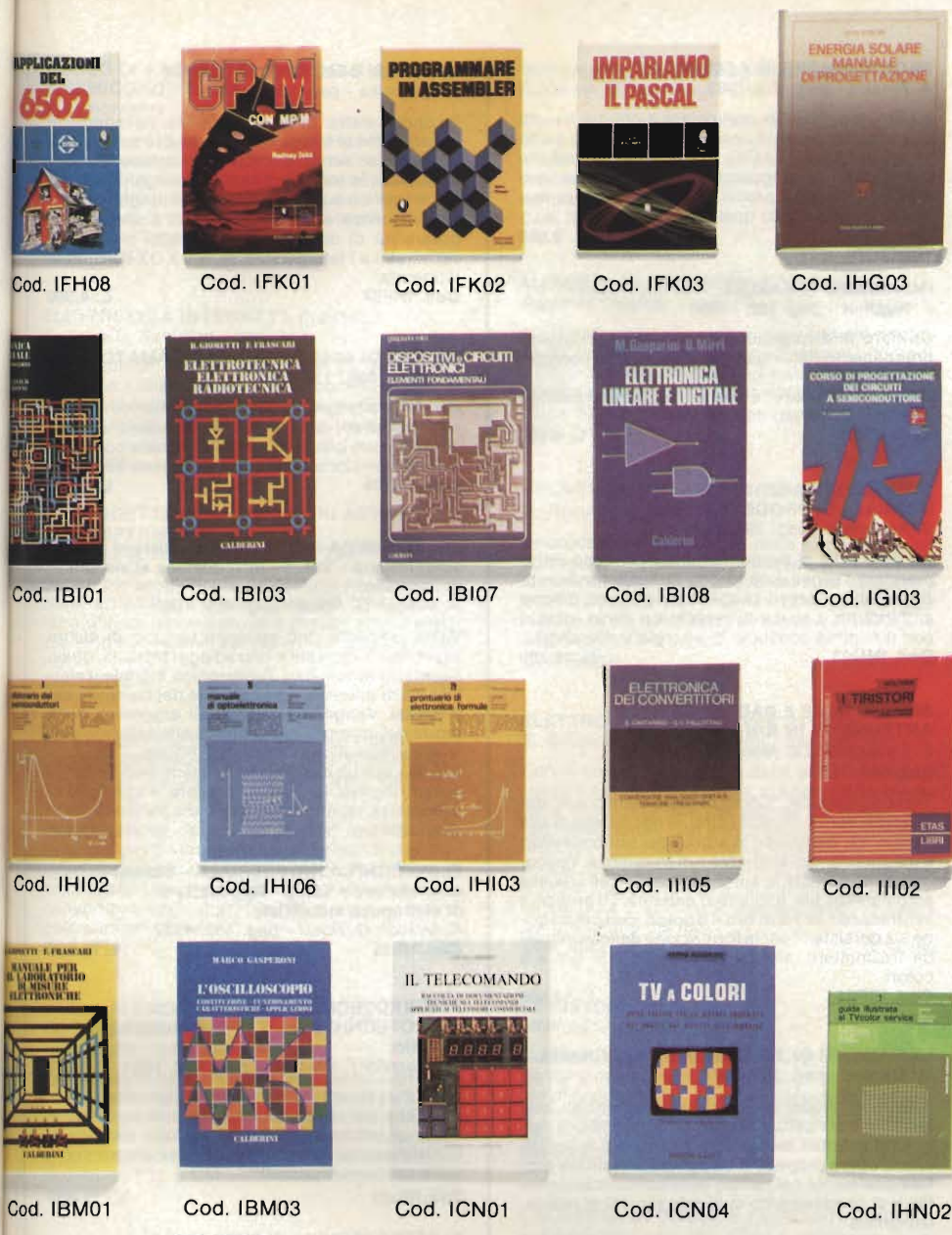
## 7. Un ulteriore e interessante vantaggio.

I Soci ricevono anche la tessera **TechnoClub**, un documento strettamente personale che dà diritto a sconti speciali sugli acquisti effettuati presso i negozi convenzionati, indicati sulla rivista "**TechnoClub Review**".

## 8. Praticità e comodità d'acquisto.

Aderire al **TechnoClub** significa poter scegliere con tranquillità a casa propria consultando semplicemente la rivista "**TechnoClub Review**".

Garanzia di libri sempre disponibili, nessuna perdita di tempo in lunghe ricerche... e i libri arrivano puntualmente a domicilio.



Cod. IFH08      Cod. IFK01      Cod. IFK02      Cod. IFK03      Cod. IHG03

Cod. IBI01      Cod. IBI03      Cod. IBI07      Cod. IBI08      Cod. IGI03

Cod. IHI02      Cod. IHI06      Cod. IHI03      Cod. III05      Cod. III02

Cod. IBM01      Cod. IBM03      Cod. ICN01      Cod. ICN04      Cod. IHN02

**...e puoi già scegliere tra questi titoli.**

**GLI AMPLIFICATORI DI NORTON QUADRUPLI LM3900 & LM359 - CON ESPERIMENTI**  
G. Marano - pag. 441, 1981

Con oltre 100 circuiti fondamentali e applicativi (amplificatori, oscillatori, filtri, VCA, VCO, ecc.) e più di 160 circuiti pratici (dagli strumenti di misura ai gadgets), il libro è dedicato agli amplificatori di Norton, in particolare all'LM3900 che ne contiene 4, con dati e circuiti sull'LM359, un doppio Norton programmabile.  
**Cod. IFD01      L. 19.800**

**CIRCUITI DIGITALI INTEGRATI E MICROPROCESSORI**

V. Falzone - pag. 295, 1982  
Il testo è diviso in quattro parti, dedicate alla teoria di base: algebra di Boole, sistemi di numerazione, codici binari; ai circuiti combinatori ad una o più uscite, e alle relative realizzazioni con integrati SSI ed MSI; ai circuiti sequenziali asincroni, sincroni ed impulsivi ed alle loro realizzazioni integrate; ai circuiti LSI e ai sistemi a microprocessori.  
**Cod. IBH01      L. 11.700**

**INTRODUZIONE AI MICROCOMPUTER VOL. 0 - IL LIBRO DEL PRINCIPIANTE**

A. Osborne - pag. 240, 1980  
Una visione complessiva su calcolatori ed elaboratori, con concetti generali e terminologia di base per capire la tecnologia usata. Vengono illustrate le singole parti del sistema, con le possibilità di espansione e componenti accessori.  
**Cod. IFH11      L. 12.500**

**Come diventare socio...**

Per diventare Socio è sufficiente scegliere tra queste due semplici possibilità:

- A) Versare l'importo di L. 8.000 quale quota di adesione.
  - B) Effettuare un primo acquisto di libri, per un importo minimo di L. 30.000.
- In questo caso non si versa la quota di adesione. Per acquisti inferiori a L. 30.000 va aggiunta la quota di adesione di L. 8.000.

In ambedue i casi, il Socio ha diritto a ricevere gratuitamente la rivista "TechnoClub Review" per ben due anni e la tessera personale con validità per lo stesso periodo. Il Socio che nel corso dei due anni di adesione effettuerà acquisti di libri per un importo di almeno L. 60.000 avrà diritto al rinnovo automatico e gratuito dell'iscrizione al TechnoClub per un altro anno, conservando quindi tutti i vantaggi esclusivi.

**Associati subito.** Spedisci oggi stesso la cedola di adesione

**CEDOLA DI ADESIONE** da compilare e spedire in busta chiusa a **TechnoClub - Via Rosellini, 12 - 20124 Milano**

Si, aderisco al TechnoClub scegliendo la seguente formula:

- A) Sola adesione con versamento di L. 8.000
- B) Adesione con acquisto dei seguenti libri per un importo totale di L. .... + L. 1.500 per contributo fisso per spese di spedizione

Cod. .... Cod. .... Cod. ....  
Cod. .... Cod. .... Cod. ....

- Contanti o francobolli allegati
- Assegno allegato n° .....  
Banca .....
- Ho spedito l'importo a mezzo vaglia postale
- Ho versato l'importo sul ccp n° 19445204 intestato a TechnoClub - Milano
- Pagherò in contrassegno al postino al ricevimento dei volumi (valido solo per la formula B)

Nome .....  
Cognome .....  
Via .....  
Città ..... Cap. ....  
Cod. Fiscale (per le aziende) .....  
Data ..... Firma .....

**Sono interessato principalmente a Libri di ...**

- Elettrotecnica
- Elettronica e dispositivi elettronici
- Elettronica pratica ed hobbistica
- Misure elettroniche
- Radioriparazioni - TV Service
- Equivalenze dei semiconduttori
- Personal computer e calcolatrici
- Linguaggi e metodi di programmazione
- Informatica
- Informatica e organizzazione aziendale
- Comunicazioni: elementi e sistemi
- Microprocessori
- Saggistica elettronica e informatica
- Energie alternative
- Sistemi di regolazione e controllo
- Altri (specificare) .....

**Sono interessato anche a libri in lingua originale ...**

- Inglese  Francese  Tedesco
- ... Sono interessato a Software per ...
- Apple
- Atari
- Commodore
- Sinclair
- Tandy Radio Shack
- Altri (specificare) .....

# ...e puoi già scegliere tra questi titoli.

## INTRODUZIONE AI MICROCOMPUTER VOL. 1 - IL LIBRO DEI CONCETTI FONDAMENTALI

A. Osborne - pag. 321, 1980

Il libro presenta la struttura logica fondamentale su cui sono basati i sistemi a microcomputer. Usando i concetti comuni a ogni sistema a microprocessore, viene illustrata l'architettura, la programmazione, le possibilità e l'operatività di un microcomputer, con un set finale ipotetico di istruzioni per la simulazione delle possibili situazioni reali in cui si verrà a trovare con i vari microprocessori.

Cod. IFH12

L. 14.400

## MICROPROCESSORI: DAI CHIPS AI SISTEMI

R. Zaks - pag. 383, 1980

Dai concetti e definizioni base, il libro descrive l'architettura di un sistema microprocessore, le funzioni richieste per allestirlo, i componenti e loro interconnessioni, sino ad assicurare un sistema standard ed esaminare poi la reale interconnessione di un certo numero di sistemi reali. Presenta le caratteristiche che qualificano ciascun prodotto, distingue le aree di applicazioni principali in corrispondenza a specifiche architetture.

Cod. IFH09

L. 19.800

## TECNICHE DI INTERFACCIAMENTO DEI MICROPROCESSORI

A. Lesea/R. Zaks - pag. 400, 1980

Indica le tecniche e i componenti necessari per assemblare un sistema completo, dalla fondamentale unità centrale di elaborazione ad un sistema equipaggiato con tutte le periferiche comunemente usate.

Cod. IFH10

L. 19.800

## PROGRAMMAZIONE DEL 6502

R. Zaks - pag. 375, 1981

Libro ideato come testo autonomo e progettato sotto forma di corso per imparare la programmazione in linguaggio Assembler del microprocessore Z80: dai concetti di base alle tecniche di programmazione più avanzate, con risoluzione obbligatoria di vari esercizi.

Cod. IFH04

L. 19.800

## APPLICAZIONI DEL 6502

R. Zaks - pag. 214, 1981

Tecniche e programmi per applicazioni tipiche del 6502.

I programmi sono, con poche varianti, applicabili direttamente su qualunque microcomputer su scheda basato sul 6502, quali il KYM, il SYM e l'AIM65 e altri, e consentono al lettore alcune realizzazioni pratiche.

Cod. IFH08

L. 12.000

## CP/M CON MP/M

R. Zaks - pag. 309, 1982

Il libro si prefigge di rendere agevole l'uso del CP/M (nelle versioni CP/M 1.4 - CP/M 2.2 - sistema operativo multiutente MP/M); il sistema operativo progettato per semplificare l'utilizzo di un microcomputer, disponibile su quasi tutti gli elaboratori basati su microprocessore 8080 e Z80 e su certi sistemi utilizzanti il 6502.

Cod. IFK01

L. 19.800

## PROGRAMMARE IN ASSEMBLER

A. Pinaud - pag. 153, 1982

Il libro, destinato in particolare a chi già ha una buona conoscenza di un linguaggio evoluto molto semplice come il BASIC, fornisce i rudimenti che consentono di programmare in Assembler, con numerosi esempi pratici. Come Assembler esistente è stato scelto quello dello Z80.

Cod. IFK02

L. 9.000

## IMPARIAMO IL PASCAL

F. Waldner - pag. 162, 1981

Un libro di divulgazione, incentrato sull'autoapprendimento del linguaggio Pascal, con consigli, problemi.

Un testo da "usare" e non da "leggere", secondo l'intento dichiarato dall'autore.

Cod. IFK03

L. 9.000

## ENERGIA SOLARE MANUALE DI PROGETTAZIONE

B. Anderson - pag. 398, 1980

Un libro utile ai progettisti che intendono intraprendere l'esperienza di una radicale trasformazione del processo progettuale per una diversa architettura, capace di regolare il clima interno con il minimo consumo di energia tradizionale.

Cod. IHG03

L. 16.200

## SISTEMI IN AF E RADIORICEVITORI ANTENNE-TV IN B/N E A COLORI

E. Cavazzuti/C.A. Nobili/P. Tinarelli pag. 640, 1980

Terzo volume del "Corso di radio elettronica" degli stessi autori. Illustra i circuiti ed i sistemi di alta frequenza, compreso lo studio dei radoricevitori a modulazione di ampiezza e di frequenza. Vengono poi presentate le antenne riceventi ed i relativi amplificatori per impianti d'antenna TV singoli e centralizzati; la TV in b/n e a colori, con descrizione sia dei sistemi per la formazione delle immagini da trasmettere, sia dei ricevitori TV in b/n e a colori.

Cod. IBF01

L. 13.500

## LINEAMENTI DI TELEFONIA E TELEGRAFIA

M. Mariani - pag. 382, 1979

Il testo si propone di fornire le essenziali basi teoriche e concettuali per una comprensione delle fondamentali tecniche telefoniche e telegrafiche. È opera propedeutica per chi si indirizza professionalmente nel campo delle comunicazioni su filo e di complemento culturale ai corsi di radioelettronica.

Cod. IBF02

L. 12.600

## TECNICHE RADAR NAVALI

P. Monti - pag. 275, 1981

Il volume tratta in generale le tecniche radar impiegate in mare, la cui conoscenza è complemento essenziale dell'istruzione nautica. L'addestramento pratico degli operatori radar da parte degli Istituti Osservatori Radar, presuppone un minimo di formazione tecnica di base che il libro si prefigge di fornire.

Cod. IBF03

L. 10.800

## SISTEMI RADAR

P. Monti - pag. 573, 1978

Un corso fondamentale di sistemi radar strutturato in modo da essere utilizzato dai tecnici del settore, anche non sistemisti e da chi desidera dedicarsi a questo settore della tecnica.

Cod. IBF04

L. 19.800

## IL VADEMECUM DX

S.W. Best - pag. 195, 1981

Il testo affronta i problemi relativi alla ricezione ad onde corte, dalla scelta dell'apparecchio alla stesura del rapporto di ascolto. Con molti esempi di circuiti vengono illustrati i vari concetti della propagazione delle onde radio, della tecnica di ricezione e delle antenne.

Cod. IHF06

L. 4.850

## MANUALE DELL'OPERATORE DX

G. Gerzelka - pag. 139, 1979

Il volume tratta: onde e frequenze, collegamenti sicuri, come si svolge il DX, modi di trasmissione vantaggiosi, servizi di radiotrasmissione e le loro frequenze; la ionosfera come propagatrice di segnali, traffico sulle onde corte per lunghe distanze, frequenze ed orari favorevoli e sfavorevoli, possibilità di collegamenti con tutti e cinque i continenti e i famigerati disturbi; il DX sulle onde ultracorte.

Cod. IHF07

L. 4.300

## METODI DI MISURA PER RADIOAMATORI

W. Link - pag. 130, 1978

Si rivolge allo sperimentatore che intende eseguire misurazioni anche difficili, dimostrando che molte misure possono essere effettuate con sufficiente precisione anche con strumenti semplici.

Cod. IHF08

L. 4.300

## ELETRONICA INDUSTRIALE - Sistemi e automazione - Vol. 1 - Introduzione ai sistemi di controllo

R. Mialich G. Rossi - pag. 468, 1982

Viene proposto uno sviluppo unitario di alcuni aspetti dell'elettronica fino ad oggi separati, quali: i controlli automatici, l'elettronica digitale, l'elettronica di potenza, il calcolatore nel controllo dei processi. Vengono affrontati gli argomenti della teoria dei controlli, procedendo allo sviluppo delle applicazioni di potenza più diffuse.

Alcuni capitoli descrivono i sistemi non lineari, i sistemi digitali, il microprocessore, il controllo di processi.

Cod. IB101

L. 13.500

## ELETRONICA INDUSTRIALE - Sistemi e automazione - Vol. 2 - Applicazioni di elettronica industriale

R. Mialich G. Rossi - pag. 432, 1982

Cod. IB102

L. 13.500

## ELETTROTECNICA ELETTRONICA RADIOTECNICA Vol. 1 - Fondamenti teorici e pratici

R. Giometti F. Frascari - pag. 432, 1981

Gli autori hanno inteso realizzare un corso completo che, senza richiedere una preparazione specifica al lettore, lo porti dai principi elementari dell'elettronica alle applicazioni dell'elettronica e delle telecomunicazioni.

Cod. IB103

L. 12.600

## ELETTROTECNICA ELETTRONICA RADIOTECNICA Vol. 2 - Radiotecnica ed elettronica industriale

R. Giometti, F. Frascari - pag. 694, 1980

Cod. IB104

L. 14.400

## DISPOSITIVI E CIRCUITI ELETTRONICI Elementi Fondamentali

Gasparini/Mirri - pag. 440

Si tratta di un'"edizione ridotta" di un corso in due volumi che pur trattando gli argomenti più significativi ed essenziali alle applicazioni, evita sia i problemi più complessi, sia le trattazioni matematiche più elaborate.

Cod. IB107

L. 10.800

## ELETRONICA LINEARE E DIGITALE Vol. 1

Gasparini/Mirri - pag. 514

Oltre alla trattazione sintetica dell'elettronica lineare e digitale, l'opera intende far conoscere i dispositivi a semiconduttore e gli integrati attualmente disponibili, facendo riferimento ai dati forniti dai costruttori.

Vengono inoltre illustrate le caratteristiche sia dei diodi a semiconduttore che dei transistori (bipolari e ad effetto di campo).

Cod. IB108

L. 12.600

## ELETRONICA LINEARE E DIGITALE Vol. 2

Mirri - pag. 546

Cod. IB109

L. 14.400



### CORSO DI PROGETTAZIONE DEI CIRCUITI A SEMICONDUZIONE

P. Lambrechts - pag. 100, 1981

Esamina i problemi di fondo che sorgono nel progetto dei circuiti. Considera le tecniche circuitali tipiche dei circuiti integrati, l'indipendenza delle funzioni circuitali dalla variazione delle caratteristiche, l'uso di componenti attivi in sostituzione di induttanza, capacità e resistenze.

**Cod. IGI03 L. 7.500**

### ELETRONICA INTEGRATA DIGITALE

E. Taub/D. Schilling - pag. 713, 1981

400 problemi, dai più semplici ai più sofisticati. Vengono trattati i dispositivi di commutazione e gli amplificatori operazionali; la logica RTL e quella CMOS vengono analizzate in tutti i loro aspetti.

**Cod. IFI01 L. 31.000**

### LA PROGETTAZIONE DEI FILTRI ATTIVI CON ESPERIMENTI

Titus, Rony, Larsen, Titus - pag. 280, 1979

Scritto per semplificare l'approccio alla progettazione ed alla sperimentazione dei filtri attivi, il libro utilizza diverse tavole e grafici, affiancando alla teoria una gamma di esperimenti da laboratorio.

**Cod. IFI02 L. 13.500**

### LA PROGETTAZIONE DEI CIRCUITI AMPLIFICATORI OPERAZIONALI - CON ESPERIMENTI

Titus, Titus Rony & Larsen - pag. 263, 1979

Testo didattico che riguarda la progettazione e il funzionamento degli amplificatori operazionali. Descrive inoltre una serie di esperimenti che illustrano la progettazione ed il modo di operare di amplificatori lineari, differenziali ed integratori, convertitori, oscillatori, filtri attivi e circuiti a singola alimentazione.

**Cod. IFI03 L. 13.500**

### GUIDA AI CMOS - FONDAMENTI, CIRCUITI ED ESPERIMENTI

H.M. Berlin - pag. 219, 1980

I fondamenti dei CMOS, il loro interfacciamento con altre famiglie logiche, LED e display a 7 segmenti, le porte di trasmissione e multiplexer, demultiplexer analogici, i multivibratori monostabili e astabili, i contatori, una tabella per convertire i circuiti da TTL a CMOS. Con 22 esperimenti.

**Cod. IFI04 L. 13.500**

### COMPRENDERE L'ELETRONICA A STATO SOLIDO

Learning Center Texas - pag. 222, 1979

Articolato come corso autodidattico, in 12 lezioni, con quesiti e glossari, spiega la teoria e l'uso di diodi, transistori, tiristori, dispositivi elettronici e circuiti integrati bipolari, MOS e lineari, utilizzando semplici nozioni di aritmetica.

**Cod. IFI08 L. 12.600**

### CORSO DI ELETRONICA FONDAMENTALE CON ESPERIMENTI

Larsen, Titus, Titus & Rony - pag. 439, 1980

Configurato come corso per l'autodidatta, tratta l'elettronica dalla teoria atomica ai transistori. Ogni argomento viene svolto secondo i suoi principi base e ne vengono descritte le applicazioni pratiche e i circuiti reali.

**Cod. IFI05 L. 13.500**

### LA PROGETTAZIONE DEI CIRCUITI PLL CON ESPERIMENTI

H.M. Berlin - pag. 256, 1979

Principi dei circuiti PLL (ad anello ad aggancio di fase), con 15 esperimenti di laboratorio. Usando i circuiti integrati TTL e CMOS, questo libro teorico/pratico espone il funzionamento del rivelatore di fase dell'oscillatore controllato in tensione, del filtro ad anello dei sintetizzatori di frequenza e dei sistemi monolitici, con le relative applicazioni.

**Cod. IFI06 L. 12.600**

### DIZIONARIO DEI SEMICONDUZIONE

Buescher/Wiegelmann - pag. 162, 1978

Con 300 voci sui semiconduttori, è un dizionario che presenta in un quadro organico i termini che si riferiscono alla teoria ed alla tecnica dei dispositivi a semiconduttore. Serie di richiami tra le voci e circa 70 illustrazioni.

**Cod. IHI02 L. 4.500**

### MANUALE DI OPTOELETRONICA

Ratheiser/Pichler - pag. 174, 1979

Un'introduzione alla moderna tecnica dei componenti elettronici ottici: fototransistori, fotodi, LED, cristalli liquidi, laser. La trattazione teorica e pratica è preceduta da un'ampia introduzione alla fisica dei semiconduttori.

**Cod. IHI06 L. 4.850**

### PRONTUARIO DI ELETRONICA: FORMULE

G. Rose - pag. 174, 1980

Un'esposizione riassuntiva delle formule più importanti di matematica, meccanica, elettronica, misure, acustica, fotoelettronica. Per ottenere il risultato desiderato non è necessario trasformare le formule ma basta sostituire in esse i valori noti e fare dei semplici calcoli.

**Cod. IHI03 L. 4.850**

### ELETRONICA DEI CONVERTITORI

S. Cantarano/G.V. Pallottino - pag. 269, 1977

Con il crescente impiego delle tecniche digitali rispetto a quelle analogiche, si è posto il problema della trasformazione dei segnali tra queste due rappresentazioni dell'informazione. In questo libro sono considerate le tematiche di questo settore: spazio maggiore è stato dedicato ai convertitori A-D e D-A, senza trascurare gli altri tipi, in particolare gli A-F, coprendo anche il problema della compressione dei dati.

**Cod. IHI05 L. 8.100**

### I TIRISTORI

Moeltgen - pag. 373, 1974

Nel testo, dopo un'essenziale rassegna sulla teoria del funzionamento dei tiristori e sulle tecnologie di realizzazione, vengono esposte le tecniche di impiego nel campo dei convertitori di potenza secondo un'estesa casistica.

**Cod. IHI02 L. 10.800**

### L'ALGEBRA DI BOOLE E I CIRCUITI LOGICI

F. Cianflone - pag. 267, 5ª ediz. 1978

Nella prima parte, ad una introduzione sul sistema binario e sull'algebra delle classi, seguono i rudimenti della logica booleana; nella seconda si trattano i più elementari metodi di minimizzazione; nella terza si danno alcuni cenni sui circuiti sequenziali e sulle principali applicazioni ai circuiti logici elettronici, a relé e con elementi fluidici.

**Cod. IHI01 L. 10.800**

### GUIDA MONDIALE DEI TRANSISTORI AD EFFETTO DI CAMPO JFET E MOS

pag. 79, 1978

**Cod. IFE01 L. 9.000**

### GUIDA MONDIALE DEI TRANSISTORI

pag. 287, 1981

**Cod. IFE02 L. 18.000**

### GUIDA MONDIALE DEGLI AMPLIFICATORI OPERAZIONALI INTEGRATI

pag. 195, 1981

**Cod. IFE03 L. 12.900**

Queste tre guide presentano l'esatto equivalente, le caratteristiche elettriche e meccaniche, i terminali, i campi di applicazione, i produttori e distributori di oltre 20.000 transistori, 5000 circuiti integrati lineari e 2.700 FET europei, americani, giapponesi.

### MANUALE DEI SEMICONDUZIONE

Vol. 2

A.E.C. Van Utteren - pag. 138, 1978

Il manuale costituisce una sorgente di informazioni tecniche sulla maggior parte dei diodi zener, thyristor varicap e diodi tunnel europei, americani e giapponesi, elencati alfabeticamente e numericamente.

**Cod. ICE02 L. 12.900**

### CIRCUITI INTEGRATI LINEARI

Mueller - pag. 496, 1979

Il manuale tratta più di 1000 diversi tipi di IC, di cui più della metà sono amplificatori operazionali. Altri dispositivi inclusi sono gli stabilizzatori di tensione, di tutti i tipi, i comparatori, gli amplificatori video, i decodificatori stereo, i preamplificatori e gli stadi finali ad AF, i circuiti amplificatori a FM-IF e gli amplificatori a RF.

**Cod. ICE05 L. 23.000**

### CIRCUITI INTEGRATI DIGITALI

Mueller - pag. 496, 1978

Nelle tabelle del libro sono contenuti più di 2.200 diversi tipi di dispositivi digitali di varie famiglie logiche. Come dispositivi speciali e particolari, l'utilizzatore troverà oltre 200 tipi differenti di visualizzatori di tutte le tecnologie.

**Cod. ICE06 L. 23.000**

### MANUALE PER IL LABORATORIO DI MISURE ELETRONICHE

G. Giometti F. Frascari - pag. 477, 1982

Il volume intende sviluppare l'analisi degli strumenti in base all'esigenza, per il tecnico che effettua una misura, di conoscere la struttura ed i principi di funzionamento degli strumenti. Vengono descritti la struttura ed i circuiti interni degli strumenti, onde consentire allo studente di esaminare diversi esempi applicativi della teoria elettronica.

**Cod. IBM01 L. 13.500**

### L'OSCILLOSCOPIO

M. Gasperoni - pag. 300, 1981

Il testo si prefigge di far conoscere non solo le caratteristiche tecniche di questo strumento, estremamente utile per garantire un "service" efficiente a strumenti ed apparati elettronici, ma anche il suo funzionamento, la interpretazione delle sue caratteristiche, oltre che la sua corretta utilizzazione.

**Cod. IBM03 L. 13.500**

### IL TELECOMANDO

A. Piperno - pag. 186, 1981

Una breve trattazione sulla tecnica digitale introduttiva e alcuni elementi base di introduzione alla elaborazione dei dati (presupposti indispensabili per comprendere i manuali di servizio che accompagnano i televisori a colori più prestigiosi), precedono la descrizione di alcuni tipi significativi di telecomando. Il lettore avrà modo di approfondire descrizioni ed istruzioni sul servizio assistenza.

**Cod. ICN01 L. 20.250**

### TV A COLORI

B. Rodekurt - pag. 186

Compendio dei difetti nell'immagine di un TV a colori, per trovare l'origine dei guasti il più rapidamente possibile. La guida mira a costituire un fondamento di istruzione per gli apprendisti.

**Cod. ICN04 L. 20.250**

### GUIDA ILLUSTRATA AL TV COLOR SERVICE

Bochum, Doegl - pag. 97, 1979

Le numerose foto e le relative informazioni facilitano l'individuazione delle cause di diversi guasti. Vengono descritti inoltre i monoscopi più diffusi, con le indicazioni per la messa a punto dei TV color.

**Cod. IHN02 L. 6.100**

glio nel paragrafo precedente, possono essere invece sviluppati con matrici di numerosi punti anche grazie al loro limitato consumo.

I *display elettroluminescenti* sono costituiti da un sottile film di materiale policristallino, in cui l'emissione di luce deriva dalla ricombinazione di elettroni e lacune come nei LED.

Infine fra i "Light-Valve-Display" il più noto è l'"eidophor" che è basato sulla diffrazione della luce da parte di un sottile film oleoso.

Ancora oggi il sistema convenzionale di LCD è il migliore dal punto di vista del colore, luminosità ed efficienza di alimentazione.

Per realizzare un TRC piatto occorre anzitutto deflettere un fascio di elettroni seguendo un percorso complesso ed evitando in particolare l'interazione del fascio con i setti interni che sopportano la pressione esterna.

In tal senso è stato sviluppato il tubo di Aiken nel 1957, (figura 2) dove il cannone elettronico è posto fuori dall'area dello schermo ed è parallelo alla superficie dello stesso.

Per l'azione delle placche orizzontali, il fascio di elettroni piega dapprima in alto e successivamente, per effetto delle placche verticali, viene deflesso verso i fosfori frontali.

Curiosa caratteristica di questo tubo è che, essendo le placche verticali trasparenti, si può vedere l'immagine da entrambe le facce del tubo.

La RCA ha sviluppato da alcuni anni un TRC piatto con catodo freddo (figura 3) che impiega tante areole catodiche poste in prossimità dello schermo ricoperto di fosfori. Ogni areola elementare è costituita da un catodo freddo in cui l'emissione di elettroni è ottenuta per via secondaria e con un processo rigenerativo a cui partecipano gli ioni del gas di tipo a pressione opportuna che riempie il TRC.

La scansione è ottenuta con una logica a indirizzamento matriciale che permette l'accesso sequenziale alle diverse sorgenti elementari.

### Display a cristalli liquidi

I display a LCD sono come detto a basso consumo essendo del tipo a riflessione anziché del tipo emissivo. Inoltre funzionando con basse tensioni (1,5 - 5 V) sono pilotabili direttamente con circuiti CMOS.

Tali caratteristiche li rendono particolarmente adatti per apparati portati-

li a basso consumo e di dimensioni ridotte.

Attualmente si sono affermati sul mercato come display alpha-numeric ma sono in fase di avanzato sviluppo, soprattutto in Giappone, display contenenti un numero sufficiente di punti da potere permettere la riproduzione di un'immagine televisiva con soddisfacente qualità.

La struttura a matrice di un display LCD è costituita da due substrati, ciascuno ricoperto da strisce e sovrapposti, che fanno capo ai terminali di comando verticali e orizzontali.

Tuttavia questo sistema non consente di ottenere contrasto, tempo di risposta e un numero di linee di scansione adeguati per una buona immagine TV.

Si inserisce allora in ogni punto un FET che funziona contemporaneamente da elemento di storage e di amplificazione delle tensioni di comando (figura 4).

I cristalli normalmente usati per il bianco e nero del tipo TN (twisted - nematic) non sono adatti per la riproduzione a colori per la gamma limitata di colori che possono fornire e per il ristretto angolo di osservazione.

### Alcuni esempi di ricevitori TV ultracompati

Il più piccolo ricevitore TV attualmente in commercio è il modello TR-1010P della società giapponese Panasonic (figura 5) che impiega un piccolissimo TRC in bianco e nero da 1,5". Le dimensioni complessive sono: altezza 3,8 cm., larghezza 8,9 cm. e profondità 15,5 cm.; il peso è di 450 gr.

Lo schermo può essere fornito di una ghiera para-luce, comprendente una lente che ingrandisce l'immagine di 1,3 volte.

Il prezzo di mercato è di 199\$.

Il modello più sofisticato TR-1000P, in vendita a 299\$, comprende un radio



Fig. 5 - Questo ricevitore TV, modello TR-1010P della Panasonic è il più piccolo attualmente in commercio.

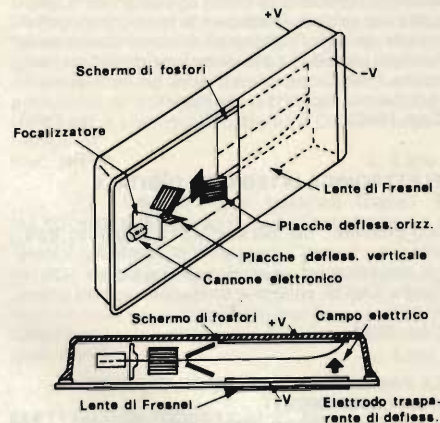


Fig. 6 - Il TRC piatto della Sinclair che misura 10,2 x 5,1 x 1,5 cm. verrà commercializzato entro l'anno.

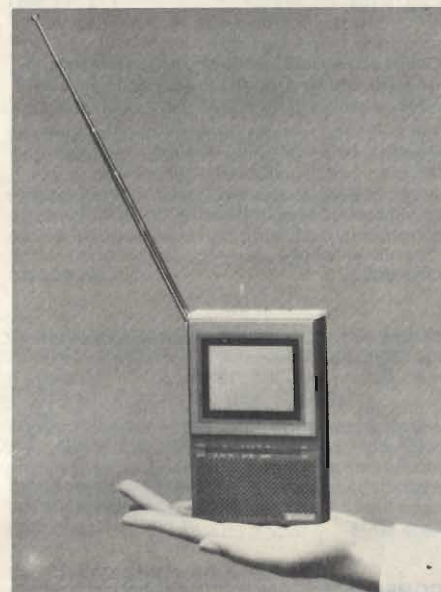


Fig. 7 - Il ricevitore TV della Toshiba che impiega un display piatto a LCD da 2" sarà disponibile sul mercato nel 1985.

ricevitore AM-FM ed è inoltre in grado di ricevere tutti i principali standard televisivi.

I circuiti di questi piccoli televisori impiegano 8 circuiti integrati montati su una piastra flessibile.

È opinione diffusa che impiegando TRC convenzionali non sarà possibile miniaturizzare ulteriormente il ricevitore TV, poichè ne risulterebbe uno schermo con dimensioni eccessivamente piccole. La tendenza è perciò quella di sviluppare schermi piatti con dimensioni superficiali abbastanza grandi e di ridurre le dimensioni delle parti circuitali.

La società Sinclair Research di Cambridge ha sviluppato un ricevitore leg-

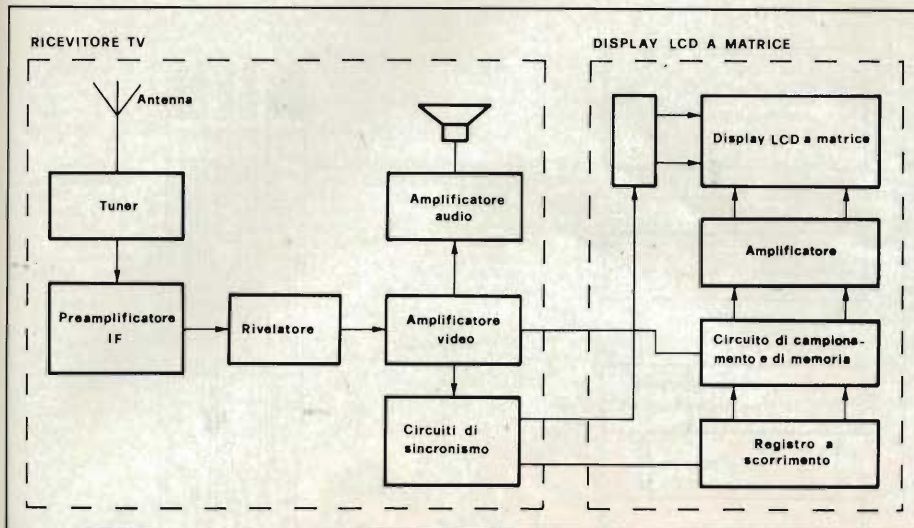


Fig. 8 - Schema a blocchi del ricevitore TV della Toshiba.

germente più piccolo del Panasonic ma con uno schermo di dimensioni doppie. Le dimensioni complessive del ricevitore TV e radio FM sono 15,2 x 10,2 x 2,4 cm. e lo schermo ha una diagonale di 3".

Il display impiegato (figura 6), simile a quello di Aiken di figura 2, è formato da due lastre di vetro, una piatta frontale attraverso cui è visibile l'immagine per mezzo di una lente di Fresnel, e una posteriore ricurva su cui sono depositati i fosfori.

All'interno il cannone elettronico è sistemato da un lato dello schermo con l'asse parallelo allo stesso. Oltre alle placche di deflessione orizzontale e ver-

ticale vi è un terzo sistema di deflessione costituito da una metallizzazione trasparente depositata sullo schermo che permette di curvare il fascio di elettroni verso i fosfori frontali.

In tal modo si ottiene una luminosità almeno tre volte maggiore con un consumo cinque volte più piccolo rispetto al TRC tradizionale, poichè l'immagine viene vista dalla stessa parte in cui gli elettroni colpiscono i fosfori. Il TRC piatto della Sinclair misura 10,2 x 5,1 x 1,9 cm. Il ricevitore relativo è previsto in commercio entro la fine dell'anno in corso.

La Toshiba Corp. sta invece svilup-

pando un ricevitore TV (figura 7) con un display a LCD da 2" del tipo a FET-array ed è realizzato su di un chip LSI di 51,36 x 41,36 mm. Il numero di elementi luminosi è di 220 x 240. Il contrasto fra nero e bianco è di 20 : 1.

Nello schema a blocchi del ricevitore di figura 8 è messo in evidenza il sistema di pilotaggio del display, che impiega un generatore sincronizzato per comandare le 220 linee orizzontali, e un circuito con shift-register e di campionamento del segnale video per pilotare le 240 linee verticali.

Le dimensioni complessive sono 17 x 8 x 1,6 cm. ed il peso è di 300 gr.

L'autonomia è di 3-4 ore impiegando celle al litio.

La commercializzazione del ricevitore è prevista per la metà degli anni '80, dovendo essere risolti problemi di resa di produzione del display a LCD in modo da ottenerne un costo accettabile.

Un display a LCD ancora più sofisticato è quello che sta sviluppando la Hitachi giapponese. Esso impiega 120 x 160 punti luminosi organizzati secondo una matrice quadrupla. Tale display prevede 640 contatti lungo la periferia, quattro volte le 120 linee orizzontali più i 160 contatti per le linee verticali (figura 9). Si ottiene in tal modo un contrasto superiore a quello della matrice tradizionale impiegata dalla Toshiba.

I circuiti di memoria di linea, di modulazione della larghezza dell'impulso

**SIM  
HI-FI I VES**

**16° SALONE INTERNAZIONALE DELLA MUSICA E HIGH FIDELITY  
INTERNATIONAL VIDEO AND CONSUMER ELECTRONICS SHOW**

**2 • 6 Settembre 1982 - Fiera di Milano**

**Ingressi**  
Via Spinola (P.ta Meccanica)  
Viale Eginardo (P.ta Edilizia)

**Orario: 9-18**

Il presente biglietto è valido solo nei giorni 2-3-4-5 settembre  
lunedì 6: riservato ai soli operatori (senza ammissione del pubblico)

SCONTO DI L. 500 AI LETTORI DI: **SELEZIONE**  
RADIOTVHIFI ELETTRONICA

Questo biglietto non è valido per l'ingresso al settore broadcasting (pad. 18) riservato agli operatori economici

**Alitalia**  
YOUR PARTNER IN BUSINESS



Ne è vietata la vendita  
(art. 34 D.P.R. 640 del 26/10/1972)

**SELEZIONE**  
RADIOTVHIFI ELETTRONICA  
DI TECNICA

OFFERTO DALLA RIVISTA:

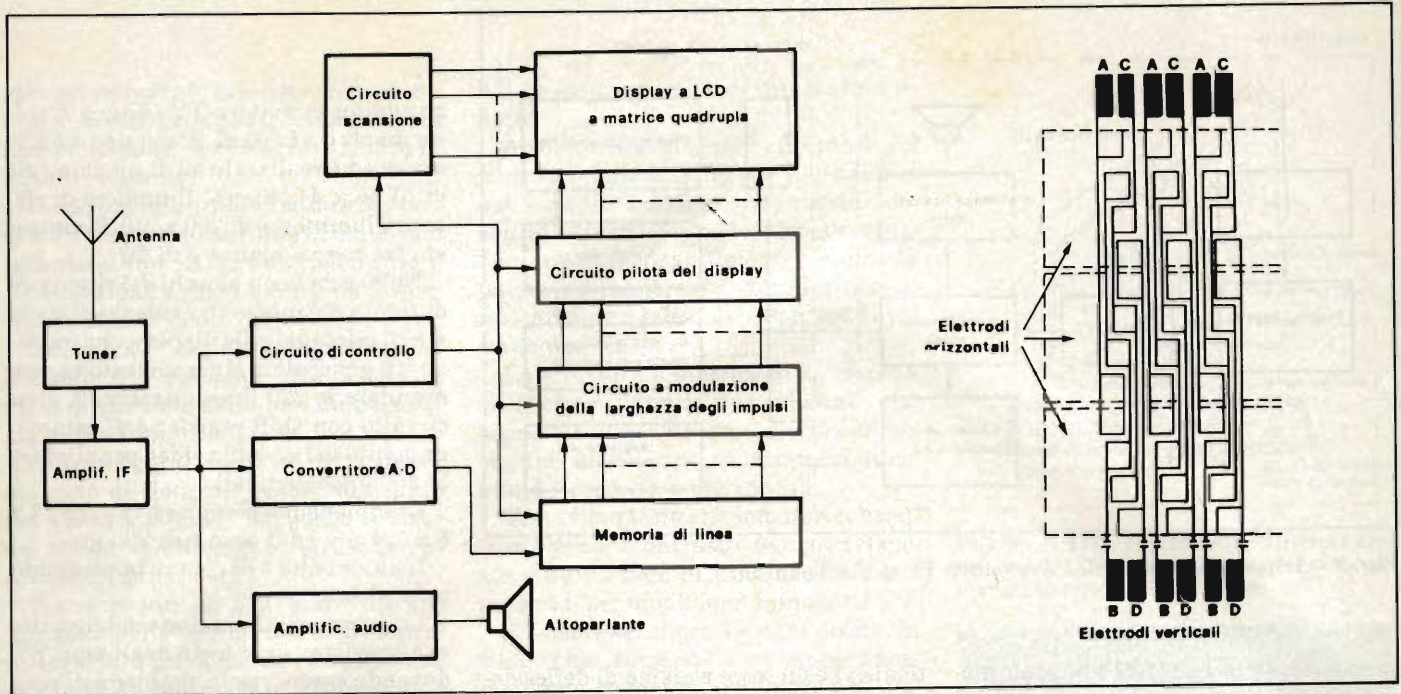


Fig. 9 - Il ricevitore TV della Hitachi impiega un display a LCD del tipo a matrice quadrupla con 120 x 160 punti luminosi.

video sono realizzati con la tecnica CMOS-LSI. Quattro batterie da 1,5 V consentono un'autonomia di diversi giorni.

La complessità della struttura quadrupla, oltre che dei nuovi circuiti di pilotaggio fanno prevedere realizzabile commercialmente tale ricevitore solo alla fine degli anni '80.

Anche il TRC tradizionale che, insieme alle stampanti e agli altoparlanti costituisce uno degli ultimi caposaldi della tecnica elettromeccanica, sta per

essere conquistato dall'elettronica integrata.

Le tecniche che porteranno nel corso degli anni '80 all'introduzione di display piatti sempre più sofisticati troveranno impiego non solo nei ricevitori

portatili TV, come illustrato nel presente articolo, ma anche in alcune delle altre applicazioni in cui è richiesto un'interfaccia video fra il circuito e l'operatore.

#### Bibliografia

- **Electronica Oggi**, Luglio-Agosto 1980, "Il TRC con catodo a moltiplicazione di elettroni".
- **Electronica Oggi**, Aprile 1982, "Display a cristalli liquidi".
- **IEE Spectrum**, Dicembre 1981, "Shrinking products pose problems".
- **Electronic Design**, Gennaio 1982, "1982 Technology Forecast".

#### QUALIFICA TITLE (A)

- 1 Fabbricante  
Manufacturer
- 2 Rappresentante o  
Filiale  
Distributor or Branch
- 3 Importatore  
Importer
- 4 Grossista o Negoziante  
Wholesaler or Dealer
- 5 Riparatore  
Maintenance
- 6 Utilizzatore  
User
- 8 Rivista di settore  
Specialized press
- 9 Associazione di  
categoria  
Trade association

#### ATTIVITÀ OCCUPATION (B)

- 1 Amatoriale  
Amateur
- 3 Designer
- 6 Editore  
Editor
- 9 Insegnante  
Teacher
- 10 Impresario  
Producer
- 11 Musicista  
Musician
- 13 Studente  
Student
- 14 Tecnico  
Technician
- 15 Titolare  
Owner
- 17 Disc-jockey

#### SETTORI DI INTERESSE SECTORS OF INTEREST (C)

- 1 Strumenti musicali  
Musical instruments
- 2 Alta Fedeltà  
High Fidelity
- 3 Musica incisa  
Recorded music
- 4 P.A. System
- 5 OM - CB
- 6 Video Sistemi  
Video Systems
- 7 Personal Computer
- 8 Attrezzature per  
discoteche  
Equipment for  
discotheques
- 10 Radio-TV
- 11 Elettronica di consumo  
Consumer electronics
- 12 Autoradio  
Car Stereo
- 13 Videotel  
View Data
- 14 Telecomunicazioni  
Telecommunications
- 15 Broadcasting
- 16 Video Giochi  
Video Games
- 17 Televideo  
Teletext
- 18 Edizioni tecniche e  
musicali  
Trade publications  
and printed music



**INVITO DA PRESENTARE ALLA BIGLIETTERIA**  
 Presentando questo tagliando interamente compilato alla  
 BIGLIETTERIA si ha diritto all'acquisto di un biglietto di  
 ingresso al prezzo ridotto di L. 2.500.

cognome / surname  
nome / christian name

ditta / company

indirizzo / address  
 della ditta / of company  
 privato / private person

cap / postal code  
città / town

nazione / country

LA PRIMA RIVISTA EUROPEA DI SOFTWARE PER PERSONAL COMPUTER

# PERSONAL SOFTWARE

ANNO 1 N. 1 LUGLIO/AGOSTO L. 3.500

UNA PUBBLICAZIONE DEL GRUPPO EDITORIALE JACKSON



**il PRIMO NUMERO è in edicola!**



**RICORSIVITA' IN BASIC**

**MASTER MIND E INTELLIGENZA ARTIFICIALE**

**CONVERSIONI GRAFICHE TRA TRS-80, APPLE E PET/CBM**

**VENTIQUATTRO MODI PER SCRIVERE UN CICLO**

**PROGRAMMI PER PET/CBM, APPLE, TRS-80, ATARI, ZX80**

# LA GRANDE PARATA EUROPEA

**Strumenti musicali, P.A. System, Apparecchiature Hi-Fi,  
Attrezzature per discoteche, Musica incisa, Broadcasting,  
Videosistemi, Televisione, Elettronica di consumo**

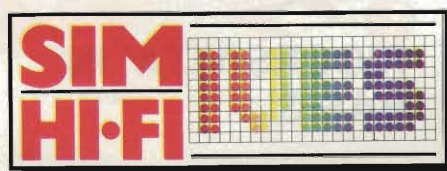


**2-6 settembre 1982 fiera di milano**

padiglioni 16-17-18-19-20-21-26-41 F-42

Segreteria Generale SIM-Hi-Fi - IVES:  
Via Domenichino, 11 20149 Milano  
Tel. 02/49.89.984 Telex 313627 gexpo I

**Alitalia**  
YOUR PARTNER IN BUSINESS



**Ingressi:** Porta Meccanica (Piazza Amendola)  
Porta Edilizia (Viale Eginardo)  
**Orario:** 9,00 - 18,00  
**Giornate per il pubblico:** 2-3-4-5 Settembre  
**Giornata professionale:** 6 Settembre  
(senza ammissione del pubblico)

**16° salone internazionale della musica e high fidelity  
international video and consumer electronics show**

# MILLIOHMMETRO DIGITALE DA 3 CIFRE

di Elio Pedranti

È vero, è uno strumento che serve poco al dilettante, ma può sempre capitare di voler sapere che resistenza offre una bobina di 25 spire di filo da 1,5 mmq.; se il secondario di un trasformatore è in corto circuito o ha solo una resistenza veramente tanto bassa; se una pista sullo stampato presenta resistenza tollerabile con conseguente bassa caduta di tensione; se ... se ... e tante altre cose.

Con un tester o un multimetro in genere non si può scendere sotto 0,1  $\Omega$  di risoluzione mentre con questo milliohmmetro, e 160.000 ÷ 200.000 lire, si risolve discretamente il problema. Intendiamo, si può fare ancora di meglio, ma a questo punto le cose si complicano, non fosse altro che per la reperibilità del materiale. Per una ditta può essere una spesa modica se confrontata con i costi di strumenti esistenti in commercio (con risoluzioni 10 o 100 volte più basse del nostro quando non si utilizzi un multimetro esterno come vedremo oltre) che vanno da 2 a 5 milioni e con prestazioni fin troppo esuberanti rispetto alle necessità che il più delle volte si presentano.

Cominciamo col vedere il principio su cui si basa lo strumento e capire alcune cose fondamentali sul come eseguire la misura e le difficoltà che ne derivano.

Uno strumento di misura deve essere in grado di interferire il meno possibile sul sistema o sull'elemento sotto prova; nel caso di un ohmmetro la resistenza d'ingresso dell'apparecchio e quella dei fili di connessione devono poter essere trascurate ai fini della misura, compatibilmente con la precisione e risoluzione richieste allo strumento. Per uno strumento di misura quale il milliohmmetro la resistenza d'ingresso ha in genere scarsa importanza giacché questa può essere resa di molti ordini di grandezza superiore alla massima portata

dello strumento. Un'attenzione maggiore va quindi posta ai terminali che permettono la connessione allo strumento e i cui valori ohmmici sono compresi tra i 20 m $\Omega$  e i 200 m $\Omega$ , valori addirittura superiori ai due fondo scala minimi di questo apparecchio. La tecnica della misura a quattro fili permette però di eliminare l'errore; il perchè è facile da comprendere se si considera il principio su cui si basa la misura: viene

generata una corrente di intensità nota e opportuna e iniettata nell'elemento sotto prova; mentre per un ohmmetro la resistenza incognita è molto maggiore di quella dei fili che la collegano allo strumento ed è quindi ammissibile misurare la tensione alle boccole d'ingresso confondendo questa con quella presente ai capi della resistenza stessa e risalire così, in modo semplice e diretto, al valore di  $R_x$ , per un milliohmmetro la



Foto del milliohmmetro digitale da 3 cifre a realizzazione ultimata

Scheda tecnica del milliohmmetro.

Alimentazione	220 V +10 % -15 %
Portate	10 mΩ, 100 mΩ, 1000 mΩ, 10 Ω, 100 Ω, 1000 Ω
Overrange	700 %
Precisione della misura	a 20 °C { ± 3 digit per 10 mΩ e 100 mΩ ± 2 digit per le altre portate tra 0 °C { ± 4 digit per 10 mΩ e 100 mΩ e 40 °C { ± 3 digit per le altre portate
Tempo ri assestamento termico dopo l'accensione	250 secondi
Campo di temperatura di funzionamento	0 °C ÷ 40 °C

	Potenza dissipata su Rx	Corrente di misura	Tensione su Rx
10 mΩ	10 mW	1 A	10 mV
100 mΩ	100 mW	1 A	100 mV
1000 mΩ	10 mW	100 A	100 mV
10 Ω	1 mW	10 mA	100 mV
100 Ω	100 μW	1 mA	100 mV
1000 Ω	10 μW	100 μA	100 mV

I dati relativi alla potenza e alla tensione presenti su Rx sono da intendersi per valori di fondo scala di questa.

posizione sopra fatta non è più accettabile e la tensione da rilevare DEVE essere proprio quella esistente ai capi di Rx. Dei quattro fili due servono allora a portare la corrente di misura e due a rilevare la tensione. Il circuito equivalente dei terminali di collegamento è rappresentato in figura 1, dove con Rp si sono indicate le resistenze dei conduttori di POWER, con Rs quelle di SENSE e con Rc quelle di contatto (si vedrà oltre di che si tratta). Nello stesso disegno vi è anche il circuito equivalente d'ingresso del milliohmmetro, con particolare riferimento all'amplificatore differenziale.

Ecco che è già possibile delineare una struttura a blocchi dell'apparec-

chio partendo da una tensione campione la cui stabilità, unitamente alle soluzioni circuitali e ai componenti utilizzati, è garante della stabilità della corrente di misura e in ultima analisi della affidabilità della misura stessa. Seguono un amplificatore e un voltmetro, che ha il compito di visualizzare il risultato.

Nella pratica della misura non ci si deve però mai dimenticare che:

I) una variazione nel posizionamento dei sensori + SENSE e - SENSE anche solo di un millimetro può portare a misure errate. Ciò è valido, dipendentemente dal materiale resistivo, soprattutto sulle portate più basse. Consideriamo infatti un filo di rame della sezio-

ne di un millimetro quadro a 20 °C; esso presenta una resistenza di circa 17 mΩ al metro, pari a ben 17 μΩ al millimetro. Ne deriva che per sezioni maggiori di 4÷5 millimetri quadri l'errore di posizionamento diviene trascurabile, mentre assume notevole importanza per sezioni uguali o minori di un millimetro, corrispondenti a qualche decina di microhm per millimetro di lunghezza. II) variazioni della temperatura dell'elemento sotto misura dovute a riscaldamento, ne alterano il valore in ragione dello 0,4% per grado centigrado nel caso del rame.

III) una terza causa di errore è la resistenza di contatto che si viene a formare tra i terminali dell'elemento resistivo e i cocodrilli o i morsetti dei fili di POWER, con valori compresi tra 100 μΩ e 10 mΩ, a seconda del diametro dei terminali, del grado di ossidazione di questi e della forma e dimensione dei morsetti. Un contributo che evidentemente non può venir trascurato. Ne discende una norma di misura che impone di posizionare i puntali di SENSE solo sui terminali della resistenza incognita e mai sui morsetti o sugli adduttori di POWER.

Sul retro dell'apparecchio può venir installata una presa per permettere l'allacciamento ad un voltmetro esterno da 4 digit e mezzo con fondo scala di 2 V, così da aumentare le prestazioni e spingere, sulla portata più bassa, la risoluzione a 1 μΩ; la lettura va però eseguita come segue. Prima di tutto tenendo conto delle notazioni fatte sopra a proposito delle resistenze di contatto si devono cortocircuitare tra loro gli adduttori di +POWER con -POWER e +SENSE e -SENSE, poi mettere in contatto reciproco i quattro terminali; così facendo si evita di avere, tra i terminali di SENSE, una resistenza di contatto in cui fluisca la corrente di misura.

Il voltmetro esterno darà una indicazione che, pur dovendo essere zero, difficilmente lo sarà. Azzerare quindi, mediante il potenziometro multigiri di offset, il display del voltmetro esterno; nel caso non ci si riuscisse il valore, con segno, va sottratto a quello letto nell'eseguire la normale misura, con l'avvertenza che tale lettura va interpretata nel senso che il fondo scala di 2 V del voltmetro equivale ad un fondo scala di 20 mΩ con risoluzione del microhm. Nello stesso modo occorre trattare le letture su altre portate nel caso di espansione.

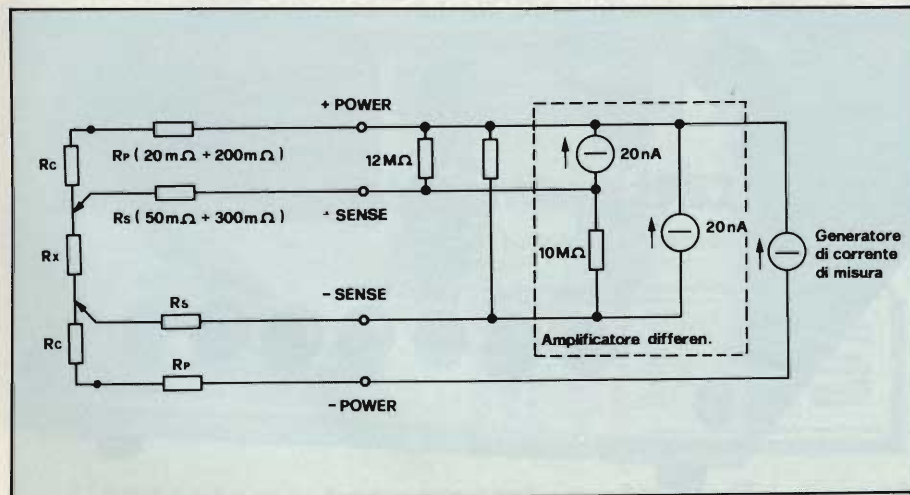


Fig. 1 - Circuito equivalente d'ingresso del milliohmmetro e dei terminali di collegamento.



È importante tener presente che la cifra aggiunta dal voltmetro esterno non è significativa ai fini della precisione, ma permette solo di dire, facendo un confronto tra due resistenze incognite, quale delle due è maggiore, ammesso che il voltmetro interno non riuscisse a risolvere sufficientemente.

Non va scordato altresì di mantenere la corretta polarità degli adduttori di SENSE rispetto a quelli di POWER nel caso di misure a quattro fili e di cortocircuitare le bocche di +SENSE con +POWER e di -SENSE con -POWER nel caso di misura a due fili sulla portata più alta.

La comparsa sul display di EEE indica il fondo scala, ma ciò può essere trascurato qualora si esegua la misura con voltmetro esterno, senza per altro che la misura stessa rimanga affetta da errore. Il segno meno sul display di sinistra sta ad indicare una inversione di polarità dei fili di SENSE rispetto a quelli di POWER, con overflow nel caso si avesse l'indicazione.

La dinamica del segnale presente sulla prese è notevolmente più ampia di quella strettamente necessaria al funzionamento del voltmetro interno: essa raggiunge quasi i 10 V, ma è bene utilizzarla solo fino a 7 V circa. Ciò consente comunque misure di resistenze sino a 7 kΩ con risoluzione dell'ohm mediante voltmetro esterno posto su fondo scala di 20 V.

## Funzionamento

Come già indicato nello schema a blocchi il milliohmmetro può essere pensato suddiviso in quattro sezioni principali a cui vanno aggiunte altre due ausiliarie: l'alimentatore e il termostato.

L'integrato IC4 fornisce una tensione di riferimento di 10 V estremamente stabile che serve sia alla regolazione dell'offset dell'amplificatore differenziale sia alla generazione della corrente di misura. Tramite R12 e R13 si ottiene una tensione perfettamente stabilizzata di circa 6,6 V potenziata in corrente da IC5 e TR1 cosicché in corrispondenza di TP2 si hanno 6,6 V e correnti disponibili di oltre 1 A. Se ora si osserva lo schema di principio di figura 3 si può comprendere come funziona il generatore di corrente: il terminale non invertente dell'operazionale è tenuto ad un potenziale costante di circa 5,6 V al quale, per non mandare in saturazio-

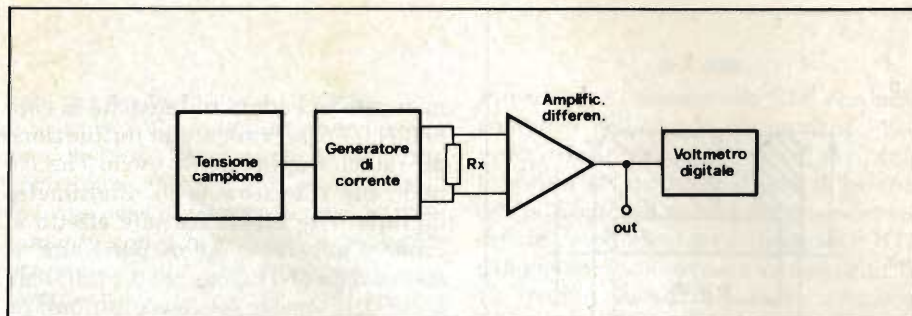


Fig. 2 - Schema a blocchi dello strumento.

ne l'uscita dello stesso amplificatore, deve trovarsi anche il terminale invertente. Mediante reazione esercitata tramite il transistor, il punto A si mantiene, se vi è la resistenza incognita  $R_x$  che chiude l'anello, a potenziale  $V_r$ . In questa condizione attraverso  $R_c$  è forzata a passare una corrente  $(V_c - V_r)/R_c$  che fluisce pure in  $R_x$ . Scegliendo in modo opportuno  $R_c$  e aggiustando  $V_r$  così che la corrente  $I$  assuma, a seconda delle portate, valori di 100  $\mu$ A,

viamente si ottiene meglio con due elementi.

A questo punto entra in gioco l'amplificatore differenziale IC7 sul quale il commutatore S1C agisce stabilendone il guadagno che può essere di 100 o 10 a seconda che la portata selezionata sia rispettivamente di 10 mΩ o una delle altre. In via del tutto teorica sarebbe sufficiente mantenere un guadagno di 10 e generare una corrente di 10 A da iniettare in  $R_x$  per la portata da 10 mΩ, ottenendo nuovamente una tensione di 1V a fondo scala, ma si può facilmente intuire come una simile corrente richiede potenze (al trasformatore e in dissipazione) veramente notevoli.

Le resistenze R27 e R28 da 12 MΩ hanno la sola funzione di non lasciare fluttuanti gli ingressi di IC7 quando gli adduttori ai SENSE sono liberi.

Per la messa a punto dell'offset e del CMRR ci sono i trimmer R32, R33 e R34. Del primo termine penso che molti tra coloro che stanno leggendo conoscano il significato; del secondo darà una breve spiegazione: un amplificatore differenziale ideale ha in uscita una tensione che dipende solo dalla differenza tra il potenziale dell'ingresso invertente e quello non-invertente

$$V_o = A_v (V_+ - V_-)$$

dove  $A_v$  è il guadagno in tensione. Nella realtà  $V_o$  dipende anche dall'ampiezza del potenziale: sebbene 15 meno 13 e 3 meno 1 faccia sempre due, un amplificatore differenziale reale si comporta in modo leggermente diverso nei due casi. Per supplire a ciò vedremo oltre come si renda necessaria una taratura sui trimmer R33 e R34.

E finalmente il segnale amplificato raggiunge il voltmetro che è il medesimo di diverse altre realizzazioni presentate su queste stessa rivista: si basa infatti sui noti CA 3161 e CA 3162 che vanno alimentati a 5V. Tenendo presente che l'uscita di IC7 ha una dinamica compresa tra 1,5 V e 13,5 V, si comprende perché l'alimentazione del voltmetro è ricavata dalle uscite da 3V a 8V dell'alimentatore; quest'ultima uscita,

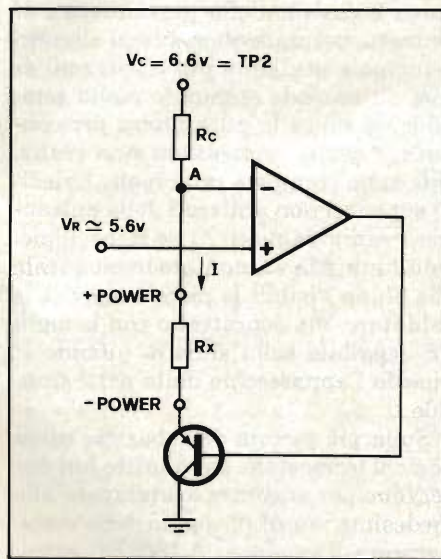


Fig. 3 - Schema di principio del generatore di corrente su cui si basa il milliohmmetro.

1 mA, 10 mA, 100 mA e 1 A, ci si ritrova ai capi di  $R_x$  una tensione proporzionale alla stessa resistenza incognita.

Il commutatore S1B seleziona le resistenze in funzione della portata mentre S1A permette la regolazione di  $V_r$  scegliendo il trimmer multigiri a seconda del f.s. Oltre, nel paragrafo riguardante la taratura, vedremo come andranno regolati.

È bene che le due resistenze R16 e R17 non vengano sostituite con una singola da 1 Ω (alla quale equivalgono) per garantire il massimo della dissipazione e diminuire ai minimi termini la variazione di resistività, cosa che ov-

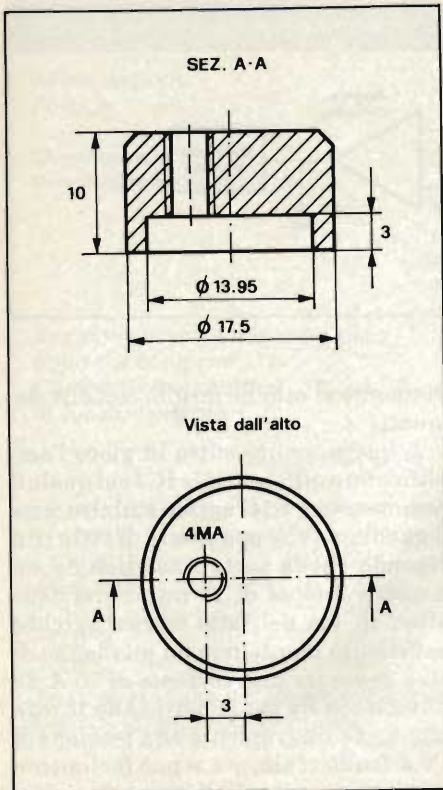


Fig. 4 - Disegno e misure del cappellotto in alluminio che dovrà essere montato forzato sull'integrato IC7.

do avendo fornire anche la corrente di misura  $I$  che raggiunge un massimo di 1A, è in grado di erogare 1,15 A: ciò rende ragione dell'utilizzo del  $\mu A$  7808 KC in contenitore TO 3 come stabilizzatore e dell'aletta di raffreddamento in grado di dissipare almeno 8 W.

Non esistono invece problemi per i +15V che vanno ai vari amplificatori e al riferimento di tensione.

Su IC10, il famoso  $\mu A$  723, è basato il termostato. Al piedino 2 (ingresso non-invertente dell'operazionale in esso contenuto) viene presentata una tensione di riferimento variando la quale si modifica la temperatura; all'ingresso 3 (invertente) c'è una tensione dipendente dalla temperatura in quanto la resistenza del termistore è funzione della temperatura. Il transistor TR6, l'elemento riscaldante, è comandato in modo da mantenere  $V_3$  uguale a  $V_2$ , ma per evitargli eccessi di corrente questa è stata limitata a circa 160 mA prendendo R50 da 3,9  $\Omega$ . TR6 raggiunge una dissipazione massima di poco più di 2W, potenza che viene integralmente richiesta all'atto dell'accensione quando NTC e il cappellotto di alluminio che copre IC7 sono freddi e  $V_3$  è superiore alla tensione di regime.

Potrà forse capitare che la temperatura oscilli leggermente attorno ad un valore medio: per scoprirlo è sufficiente

misurare la caduta di tensione ai capi dell'NTC osservando una fluttuazione di qualche millivolt. È ovvio che ciò può venir rilevato solo con multimetro digitale. Per attenuare tale effetto si renderà necessario allora porre una resistenza da 680 k $\Omega$  5% tra i terminali 2 e 6 di IC10. Questo feedback minimizzerà appunto l'eventuale oscillazione.

Noterete che molte delle resistenze sono all'uno per cento, questo perché in alcuni casi è indispensabile una tale precisione, sia perché queste hanno una maggiore stabilità in temperatura rispetto alle solite permettendo un mantenimento delle prestazioni su tutta la gamma di temperatura indicata nella scheda tecnica.

### Montaggio

L'intero strumento è realizzato su quattro circuiti stampati a faccia singola: il primo porta i tre displays, si trova a cavallo della pulsantiera e si connette permanentemente al circuito principale mediante pin o spezzoni di filo; un secondo stampato molto semplice va sopra la pulsantiera per consentire quelle connessioni non realizzate sullo stampato principale. I piedini superiori non utilizzati della pulsantiera vanno tagliati. Attenzione: il piccolo stampato va montato in modo tale che siano visibili le piste e agevoli le saldature, ma soprattutto con la sigla PE leggibile sulla sinistra quando si guarda l'apparecchio dalla parte frontale.

Sulla più piccola delle basette trova posto il termostato. Dei quattro fori due servono per ancorare lo stampato alle medesime viti di fissaggio dello stabilizzatore di tensione  $\mu A$  7808 KC; attraverso i rimanenti vanno eseguite le saldature tra i terminali dello stesso stabilizzatore e i piccoli occhielli delle pagliette le cui altre estremità vanno saldate alle piazzuole che nel disegno inerente la disposizione componenti sono indicate con 1-2 e 6-7. Dagli stessi punti partono i fili che vanno ai corrispondenti numeri del connettore posto in alto sulla scheda base. Data l'esiguità della sezione dei fili del flat-cable è bene usare coppie di conduttori per quei collegamenti ove circolino alte correnti, come già tenuto conto nella numerazione, presente sia sullo schema elettrico che sulla disposizione componenti, tra scheda principale e quella del termostato e scheda principale e il transistor TR2, il quale va montato esternamente allo stampato su di un'aletta di

raffreddamento o anche sul retro del contenitore metallico dal quale va però tenuto elettricamente isolato con rondelle in plastica e isolatori di mica. Il transistor TR1, data la bassa dissipazione, può venir montato, come previsto, direttamente sullo stampato con una piccola aletta a U.

Ben maggiore deve invece essere l'aletta di IC1 (montato con rondelle in plastica e isolatori di mica) che va forzosamente all'esterno per meglio smaltire il calore.

Le resistenze R16 e R17 del generatore di corrente devono essere necessariamente a filo da 5W per dissipare facilmente potenza senza scaldarsi e alterare il valore, cosa che porterebbe ad un errore nella misura. Per la stessa ragione R18 è anch'essa a filo: nel caso però

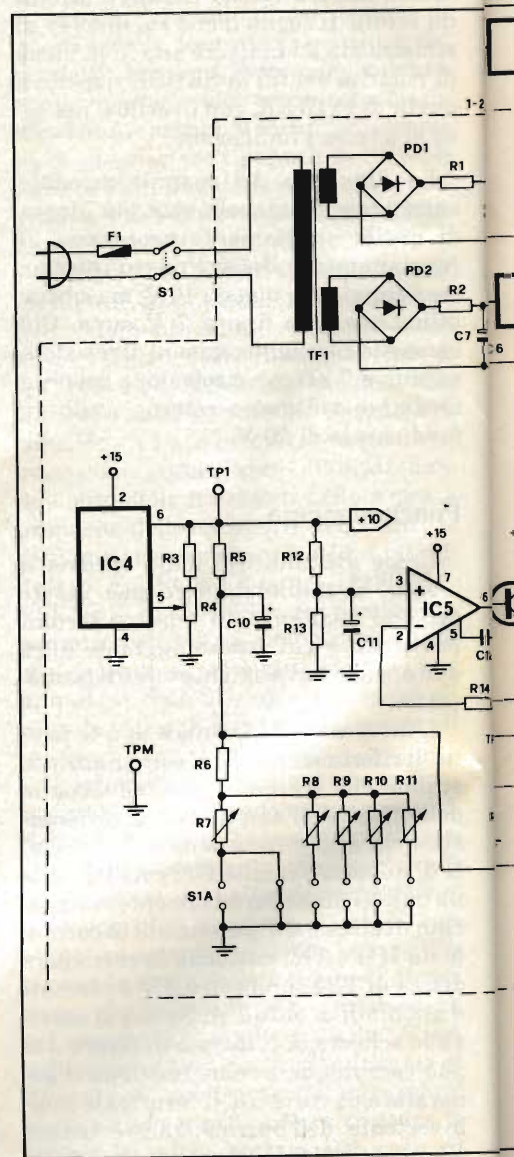


Fig. 5 - Schema elettrico del circuito relativo

non la si trovasse da uno o tre W, la si può prendere da 5 W, pur di rompere il rivestimento ceramico che la ricopre per poterla alloggiare nell'esiguo posto che le spetta.

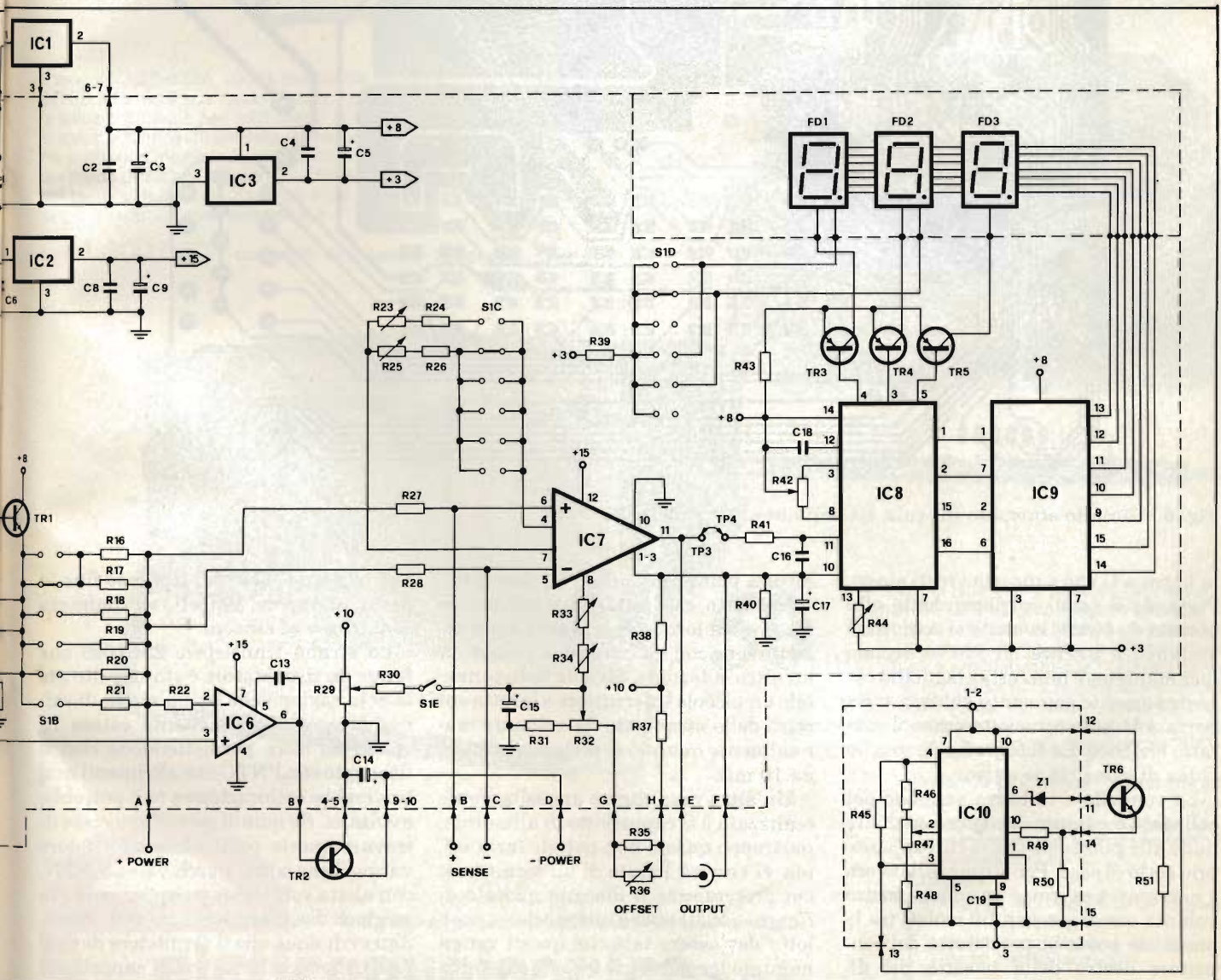
Sul maggiore dei circuiti stampati vanno eseguiti sette ponticelli: due in vicinanza del voltmetro, tre presso l'amplificatore differenziale e due vicino al riferimento di tensione il quale, come tutti gli altri integrati, è bene venga montato su zoccolo. Uno zoccolo adatto sarà per altro difficile da trovare per IC7, ma può essere realizzato con le strisce di pin MOLEX. Sono antresi da collegarsi i due terminali di sinistra dell'interruttore di rete alle piazzuole che si trovano proprio sotto di essi: ai terminali di destra del medesimo interruttore arriva la 220 V dopo essere pas-

sata per un fusibile da 100 mA.

Sempre sulla maggiore delle basette sono dislocati 5 test point che verranno particolarmente utili in fase di taratura e che possono essere realizzati direttamente con pin appositi o mediante spezzoni di filo. Nei punti contrassegnati con le lettere dalla A alla H, per coloro che desiderassero evitare di saldare direttamente allo stampato i fili che vanno alle boccole di SENSE e POWER, al potenziometro di offset e alla prese di output, vanno dei connettori maschi faston da stampato da 3,2 mm o in alternativa due pagliette (le stesse usate per il termostato) affacciate l'una all'altra che si adattano benissimo alle prese faston piccole.

Osservando lo schema elettrico si scopre che nei pressi di IC6 vi è un

interruttore indicato con S1E che non compare nell'elenco componenti: dovrete infatti realizzarlo da voi se riuscite, ma prima spieghiamo il perchè esiste. Come già accennato precedentemente l'amplificatore differenziale IC7 è in genere regolato per un guadagno di 10, tranne che per la portata inferiore dove amplifica 100. Tale variazione di guadagno determina uno scompensamento nell'offset che deve essere ritoccato quando da una qualsiasi delle portate maggiori si passa a quella più bassa. Siccome nei commutatori della pulsantiera non vi erano più sezioni libere lo si è dovuto creare sfruttando una particolarità meccanica della pulsantiera stessa: la molla a spirale di richiamo dei tasti e la rondella su cui questa appoggia sono elettricamente isolate dal-



al milliohmmetro. In alto a sinistra è visibile la sezione alimentatrice del sistema.

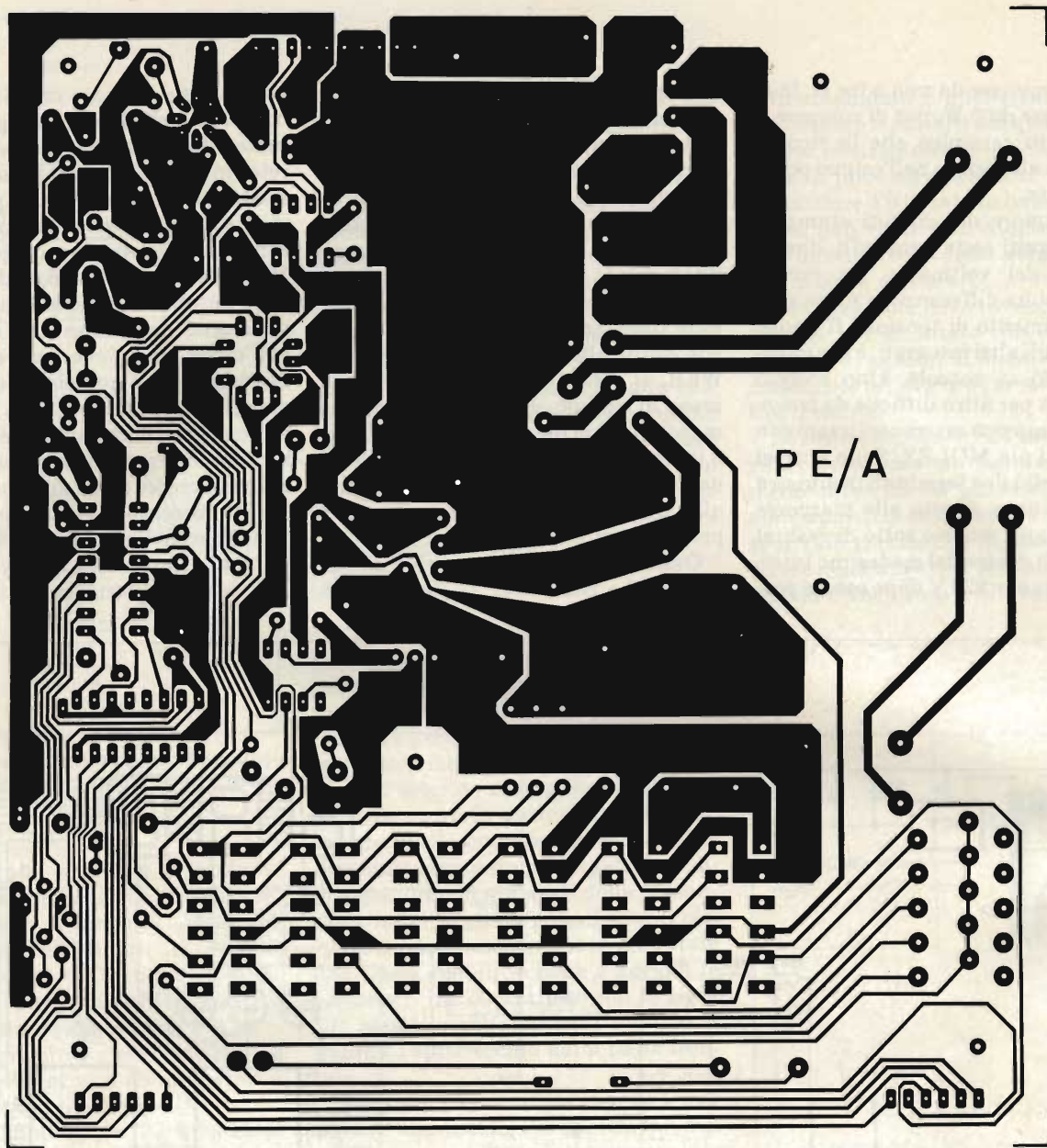


Fig. 6 - Circuito stampato in scala 1:1 della basetta principale.

la barra a U che supporta i tasti stessi. Pigiando il tasto corrispondente alla portata da  $10\text{ m}\Omega$  la molla si comprime andando a toccare un filo in acciaio (per mantenere una certa elasticità) opportunamente sagomato saldato sulla barra a U: ecco come otteniamo il contatto elettrico. La fotografia dà meglio l'idea di come ciò si ottiene.

La rondella e la barra vengono poi collegate mediante due spezzoni di filo nudo alle piazzuole che si trovano proprio sotto di esse. Per ultimare il lavoro è necessario eseguire un collegamento volante con due sottili fili isolati tra le piazzuole poste in prossimità del connettore destro della basetta dei displays (quelle senza foro) e i cursori dei trimmer multigiri R29 e R32. Non vi è

alcuna polarità o ordine da rispettare.

Nel caso che rondella e barra non fossero tra loro isolate (e sarà bene accertarsene con un tester) o si preferisca un'altra soluzione, diviene indispensabile un piccolo interruttore a levetta sul retro dello strumento da azionare manualmente quando si scelga la portata da  $10\text{ m}\Omega$ .

Un'altra cosa che va appositamente realizzata è il cappello in alluminio; purtroppo questo non potrete farlo voi, ma vi servirà l'aiuto di un tornitore a cui presenterete il disegno quotato di figura 4. Il diametro interno del cappello dev'essere tale che questi venga montato leggermente forzato sul contenitore dell'amplificatore differenziale in modo da assicurare una buona con-

ducibilità termica; per lo stesso fine la parte interna del cappello va spalmata con grasso ai siliconi.

Lo strano transistor 2SC1096 che funge da riscaldatore è stato scelto per la sola ragione che ha un'aletta di raffreddamento notevolmente estesa rispetto ad altri, permettendone così il fissaggio con l'NTC che altrimenti non troverebbe collocazione e non potrebbe avvitarsi. Se quindi non vi riuscisse di trovare questo particolare transistor vanno bene altri, purchè siano NPN, con aletta sufficientemente grande e in grado di dissipare almeno  $3,5\text{ W}$ . Ricordatevi dunque che il termistore dev'essere bene a contatto con il cappello in alluminio.

I cinque fili che partono dal riscalda-

# la nuova linea di oscilloscopi da 2 a 8 tracce

## LEADER ELECTRONICS



### 10 MHz

La nuova linea di oscilloscopi **Leader Electronics** comprende numerosi modelli da 2 e 4 canali d'ingresso, visualizzazione fino a 8 tracce, base dei tempi singola o doppia, con o senza linea di ritardo, alimentazione dalla rete o mediante batterie ricaricabili. Tra i più significativi ricordiamo i modelli a 10, 35 e 50 MHz.

Il modello **LBO-514** ha banda passante **DC-10 MHz**, prezzo decisamente molto contenuto e prestazioni interessanti: 2 canali  sensibilità **1mV/cm**  schermo 8x10 cm  base dei tempi variabile da 100 ns/cm a 0,2 sec/cm  è leggero e compatto e particolarmente adatto per il service.

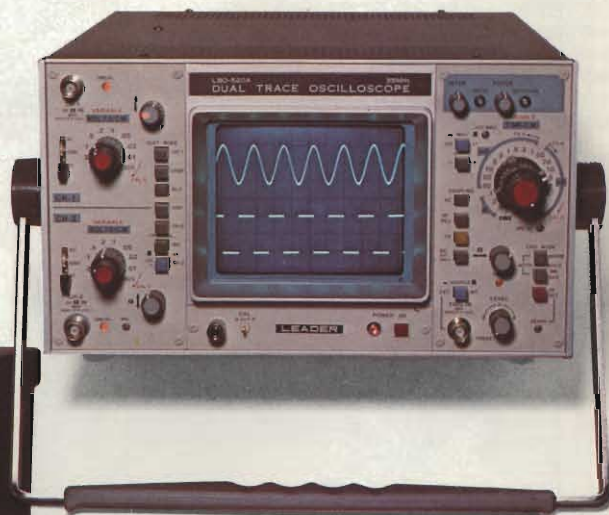
**Lire 650.000\*** completo di 2 sonde - consegna pronta

Il modello **LBO-520A**, con la sua banda passante DC-35 MHz ed il suo basso prezzo, rappresenta la soluzione ideale per tutti coloro che operano in questa gamma intermedia di frequenza.

Ha 2 canali d'ingresso  sensibilità 5mV/div  **linea di ritardo** di 120 ns all'ingresso dei due canali  base dei tempi variabile da 20 ns/cm a 0,5 sec/cm  sincronismo TV automatico  single sweep  funzionamento x-y

**Lire 1.300.000\*** completo di 2 sonde - consegna pronta

### 35 MHz



### 50 MHz

Le caratteristiche più significative del nuovo modello **LBO-517** sono: banda passante **DC-50 MHz**  **4 canali** d'ingresso con possibilità di visualizzare sul display, in alternate sweep, **8 tracce** simultaneamente  elevata sensibilità 5 mV/cm su tutta la gamma e 1 mV/cm fino a 10 MHz  doppia base dei tempi  trace separation  trigger hold-off  trigger-view  nuovo schermo dome-mesh ad alta linearità con 20KV EHT.

completo di 2 sonde - consegna pronta

ADW studio



una gamma completa di strumenti elettronici di misura

## elettro nucleonica s.p.a.

MILANO - Piazza De Angeli, 7 - tel. (02) 49.82.451

ROMA - Via C. Magni, 71 - tel. (06) 51.39.455

\*Gennaio 82 - Pag. alla consegna, IVA esclusa. 1 Yen = Lire 5,10 ± 2%

**elettro nucleonica S.p.A.**

Desidero

maggiori informazioni su gli Oscilloscopi

Leader Electronics modello \_\_\_\_\_

avere una dimostrazione degli Oscilloscopi

Leader Electronics modello \_\_\_\_\_

Nome e Cognome \_\_\_\_\_

Ditta o Ente \_\_\_\_\_

Indirizzo \_\_\_\_\_

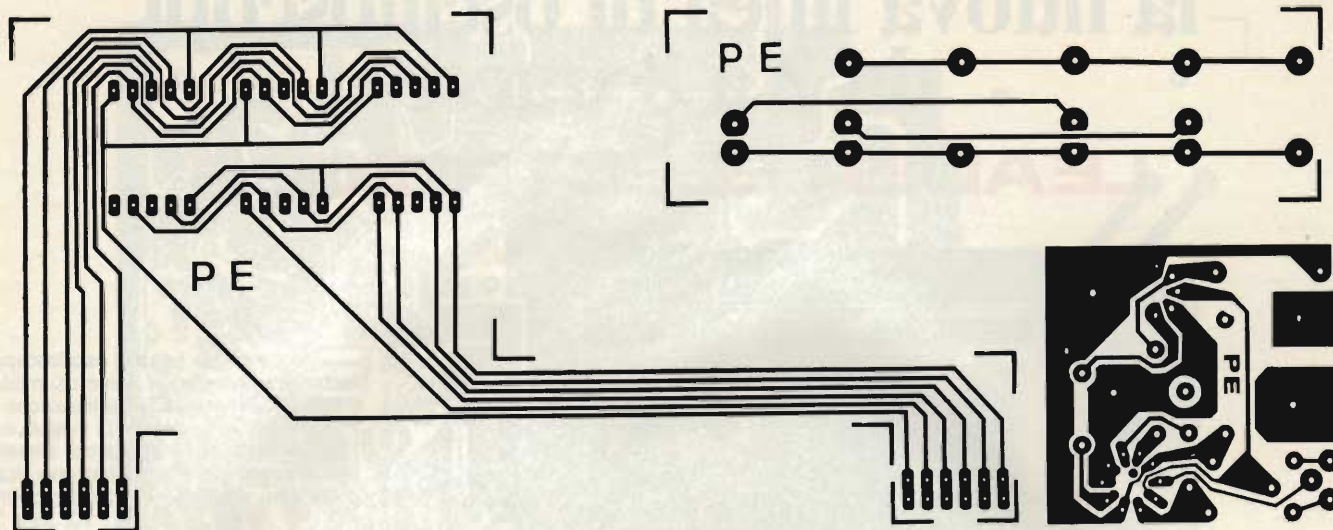


Fig. 7 - In questa figura sono riportate in scala 1:1 la traccia rame dei 3 circuiti stampati accessori. A sinistra quello relativo ai display, sopra quello necessario alla pulsantiera ed in basso a destra quello riguardante il termostato.

### ELENCO COMPONENTI

#### Resistenze

R1	= 0,68 Ω 2 W 5%
R2	= 12 Ω 1/2 W 5%
R3	= 6.040 Ω 1%
R4	= 5 kΩ trim. 10 g.
R5	= 2370 Ω 1%
R6	= 3.010 Ω 1%
R7	= 500 Ω trim. 10 g.
R8	= 200 Ω trim. 10 g.
R9	= 200 Ω trim. 10 g.
R10	= 200 Ω trim. 10 g.
R11	= 200 Ω trim. 10 g.
R12	= 2.000 Ω 1%
R13	= 4.020 Ω 1%
R14	= 1.330 Ω 1%
R15	= 2.200 Ω 5%
R16	= 1,8 Ω 5W a filo
R17	= 2,2 Ω 5W a filo
R18	= 10 Ω 1W a filo
R19	= 100 Ω 1%
R20	= 1.000 Ω 1%
R21	= 10.000 Ω 1%
R22	= 1.330 Ω 1%
R23	= 100 Ω trim. 10 g.
R24	= 475 Ω 1%
R25	= 200 Ω trim. 10 g.
R26	= 5.490 Ω 1%
R27	= 12 MΩ 5%
R28	= 12 MΩ 5%
R29	= 100 kΩ trim. 10 g.
R30	= 499 kΩ 1%
R31	= 2490 Ω 1%
R32	= 500 Ω trim. 10 g.
R33	= 200 Ω trim. 10 g.
R34	= 5 kΩ trim. 10 g.
R35	= 39 Ω 5%
R36	= 100 Ω pot. 10 g.
R37	= 6.040 Ω 1%
R38	= 4.990 Ω 1%
R39	= 48 Ω 5%
R40	= 2.000 Ω 1%
R41	= 1 MΩ 5%
R42	= 50 kΩ trim. 10 g.
R43	= 47 Ω 5%
R44	= 10 kΩ trim. 10 g.
R45	= 3,3 kΩ 5%
R46	= 4,7 kΩ 5%
R47	= 2,2 kΩ trim. 1 g.
R48	= 2,7 kΩ 5%
R49	= 470 Ω 5%
R50	= 3,9 Ω 1/2 W 5%

R51 = 5 kΩ ÷ 10 kΩ NTC a vite

#### Condensatori:

C1	= 4.700 μF 35V assiale
C2	= 100 nF disco
C3	= 22 μF 16V tant.
C4	= 100 nF disco
C5	= 33 μF 16V tant.
C6	= 100 nF disco
C7	= 1.000 μF 50V verticale
C8	= 100 nF disco
C9	= 10 μF 25V tant.
C10	= 22 μF 16V tant.
C11	= 22 μF 16V tant.
C12	= 47 nF disco
C13	= 47 μF disco
C14	= 0,47 μF 25V tant.
C15	= 22 μF 16V tant.
C16	= 100 nF poliestere
C17	= 22 μF 16V tant.
C18	= 100 nF poliestere
C19	= 1 nF disco

#### Semiconduttori - Varie

IC1	= μA 7808 KC
IC2	= μA 7815
IC3	= μA 7905
IC4	= REF 01 HJ (PMI)
IC5	= LM 725
IC6	= LM 725
IC7	= LM 0036 CG
IC8	= CA 3162
IC9	= CA 3161
IC10	= LM 723 CH
TR1	= BD 241
TR2	= BD 242
TR3	= BC 307
TR4	= BC 307
TR5	= BC 307
TR6	= 2SC 1096
FD1	= FND 500
FD2	= FND 500
FD3	= FND 500
PD1	= ponte diodi 3A 50V
PD2	= ponte diodi 1A 50V
S1	= pulsantiera a 6 pulsanti a 4 istruzioni + interrutt.
TF1	= 220 V/19 V 50 mA - 13 V 1,6 A
F1	= 100 mA
Z1	= 5,1 V 1/2 W

tore e dal termistore vanno al circuito stampato del termostato su cui possono essere o saldati o connessi mediante connettore DIN a 5 poli e 180° (i soliti presenti sugli amplificatori, registratori ecc.), pur di saldare sullo stampato cinque pin da 1,2 mm di diametro.

#### Taratura

Per la taratura del milliohmmetro è indispensabile un multimetro digitale da 4 cifre e mezzo. Il primo passo è la taratura di T1, trimmer posto sullo stampato piccolo e regolante la temperatura termostata che necessita per uno stabile e corretto funzionamento dell'amplificatore differenziale IC7.

La temperatura del cappelotto in alluminio che ricopre l'IC7 deve aggirarsi sui 45 °C e può essere aumentata (diminuita) ruotando T1 in senso antiorario (orario). Il tempo di assestamento della temperatura, sia subito dopo l'accensione che in eventuale fase di taratura, è relativamente lungo e va dai 200÷250 secondi del primo caso ai 30÷40 secondi del secondo.

Successivamente si passa alla taratura, controllando sul test point TP1, della tensione campione di 10 V mediante il trimmer contrassegnato, nel disegno indicante la disposizione dei trimmer di regolazione, con T2. La tensione va aggiustata a 10,000V rispetto a massa, il cui test point è indicato nel disegno sopra detto con TPM.

La numerazione progressiva dei trimmer corrisponde a quella necessaria per eseguire la sequenza di taratura, mentre le indicazioni numeriche a fianco specificano il valore che la variabile (corrente, tensione o altre) deve assumere agendo su di esso e la portata

# Oscilloscopi Gould la qualità che diventa tradizione

## 2 ANNI DI GARANZIA



Il nuovo oscilloscopio OS300 è la più recente conferma dell'impegno e della tradizione GOULD: costruire oscilloscopi di alta qualità ed elevata affidabilità a prezzi contenuti.

Derivato dal modello OS255, best seller degli oscilloscopi da 15 MHz, il nuovo OS300 offre prestazioni ancora più spinte:  banda passante DC-20 MHz  elevata sensibilità

**20** MHz  2 mV/cm su entrambi i canali  schermo 8x10 cm con nuovo fosforo ad alta luminosità  sincronismo TV automatico  somma e differenza dei canali  base dei tempi variabile da 50 ns/cm a 0,2 sec/cm  x-y  leggero (5,8 Kg) e compatto (140x305x460 mm).

Lire 850.000\* completo di 2 sonde - consegna pronta

Il modello OS3500 offre una banda passante DC-60 MHz e sensibilità 2 mV/cm su tutta la gamma

**60** MHz

- ha tre canali d'ingresso con trigger-view
- trace separation  doppia base dei tempi
- trigger hold-off  multimetro opzionale DM3010



Il modello OS3600 offre prestazioni eccezionali che lo pongono ai livelli più elevati della sua

categoria: banda passante DC-100 MHz  3 canali d'ingresso con

- trigger-view  trace separation  sensibilità 2 mV/cm  16 KV EHT  doppia base dei tempi  trigger hold-off  multimetro opzionale DM 3010 per misure accurate di ampiezza, intervalli di tempo e frequenza.

**100** MHz

Tutti i modelli hanno consegna pronta e sono garantiti 2 anni

\*Gennaio 82 - Pag. alla consegna. IVA esclusa. 1 Lgs = Lire 2250 ± 2%

elettro-nucleonica S.p.A.

Desidero

- maggiori informazioni su gli Oscilloscopi Gould modello \_\_\_\_\_
- avere una dimostrazione degli Oscilloscopi Gould modello \_\_\_\_\_

Nome e Cognome \_\_\_\_\_

Ditta o Ente \_\_\_\_\_

Indirizzo \_\_\_\_\_

una gamma completa di strumenti elettronici di misura

**elettro-nucleonica s.p.a.**

MILANO - Piazza De Angeli, 7 - tel. (02) 49.82.451  
ROMA - Via C. Magni, 71 - tel. (06) 51.39.455

(se indicata) su cui va predisposto il milliohmmetro.

Si prosegue cortocircuitando tra loro le boccole di +POWER e +SENSE, così pure quelle di -POWER e -SENSE, inserendo successivamente, tra +POWER e -POWER, i puntali del multimetro predisposto sulla portata di 2A, e il milliohmmetro sulla scala di 10 mΩ o 100 mΩ. La corrente va regolata a 1,000 A tramite T3, come da indicazione. Si passa quindi alla scala da 1000 mΩ per la taratura della corrente da 100 mA e via via sino all'ultima da 100 μA.

Per tale serie di taratura le resistenze di contatto tra i vari terminali di SENSE e POWER non hanno alcuna influenza.

Sulle portate più basse (10 mΩ, 100 mΩ e 1000 mΩ) la taratura può durare qualche minuto, così da dar modo ai componenti in cui scorrono correnti relativamente elevate di assestarsi termicamente.

L'intera sequenza di messa a punto delle correnti va ripetuta una seconda volta per accertarne l'accuratezza.

La regolazione dell'offset e della reiezione in modo comune (o CMRR) del-

la tensione d'ingresso dell'amplificatore differenziale non è altrettanto semplice e soprattutto veloce. La preparazione consiste nel cortocircuitare le boccole di +SENSE e -SENSE e porre tra +POWER e -POWER una resistenza di 330÷470 Ω selezionando la portata di 100 Ω. La manopola di offset e il trimmer T9 vanno a metà circa del numero di giri: il multimetro allacciato alla presa di output e posto sul f.s. di 200 mV (2V se il f.s. precedente dovesse essere superato) darà un'indicazione che deve essere la stessa sia che i terminali di SENSE vengano collegati a

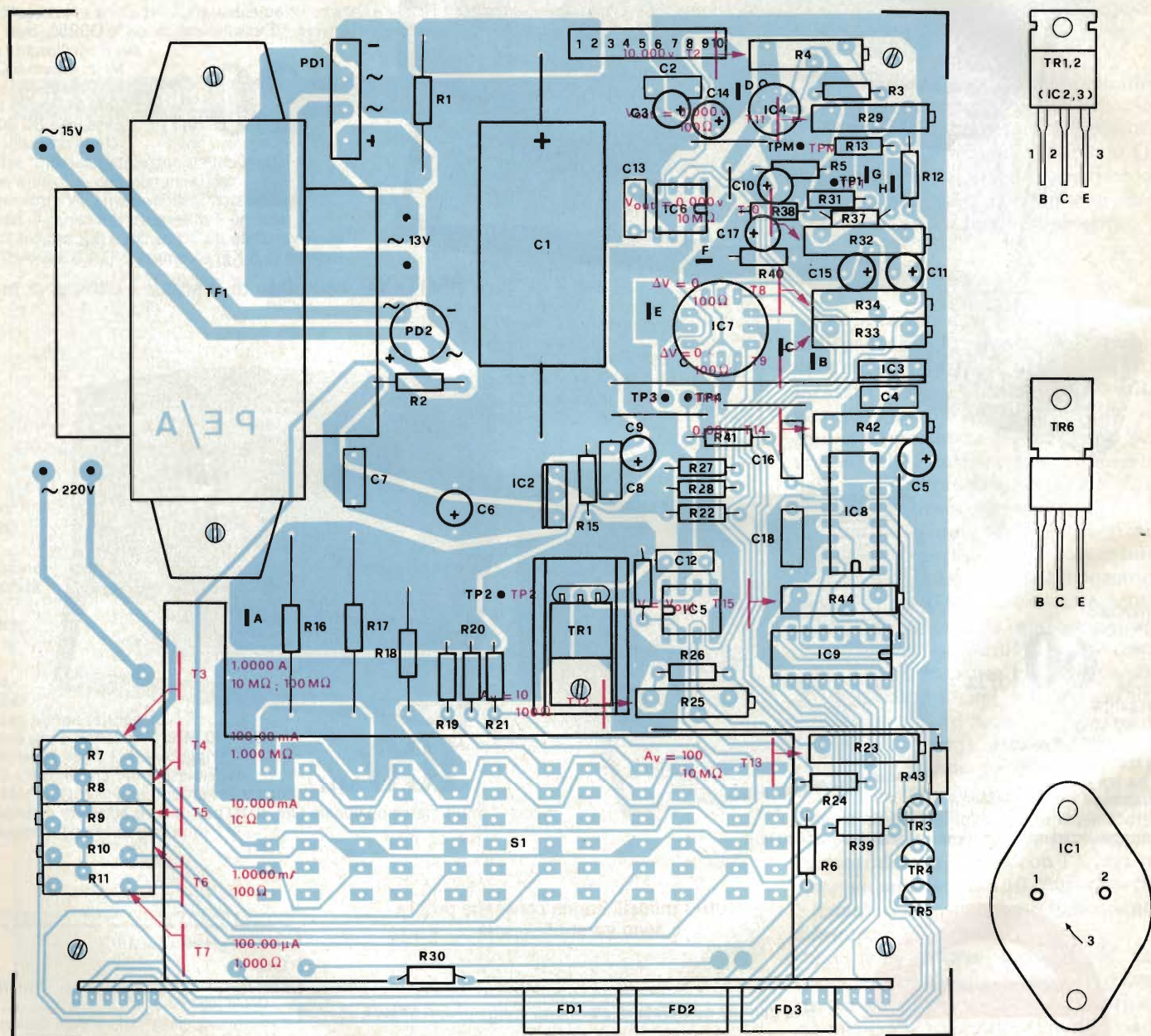


Fig. 8 - Disposizione dei componenti sulla basetta principale comprendente anche l'alimentazione. Sulla destra sono visibili la zoccolatura dei circuiti integrati IC1 - IC2 e del transistor TR6



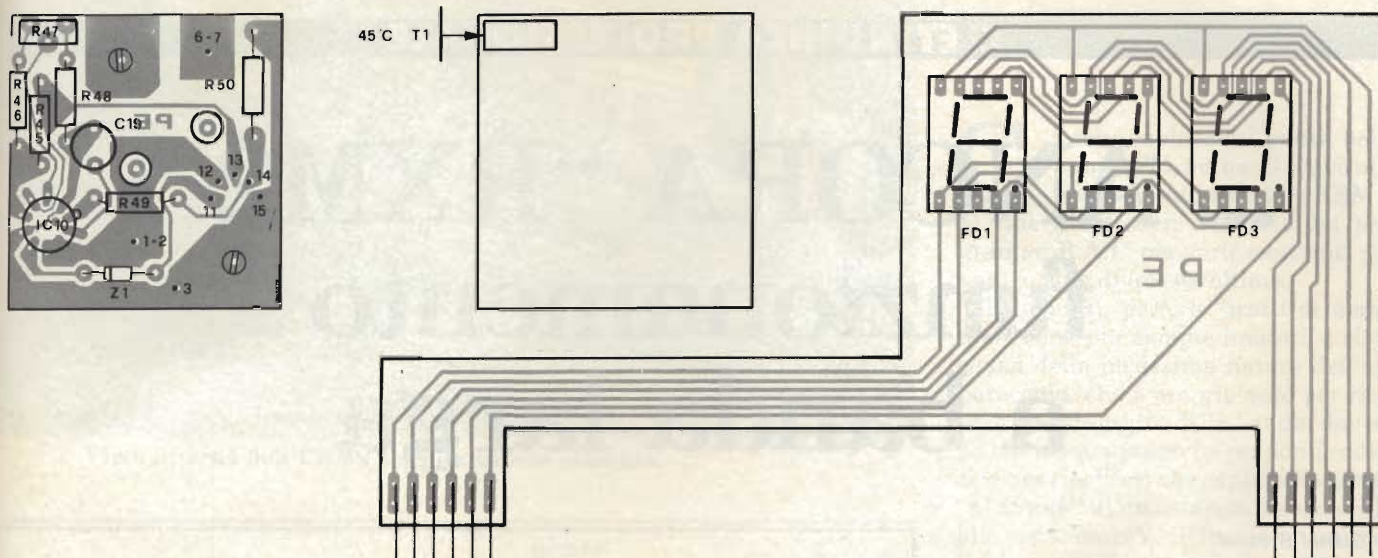


Fig. 9 - Disposizione dei componenti sulla basetta relativa al termostato e sistemazione dei tre display visualizzatori.

+POWER che a -POWER; se così non fosse agire su T8 come segue: collegare le boccole di SENSE (già collegate tra loro) a +POWER e prendere nota del valore letto sul multimetro; spostare il collegamento sulla boccola di -POWER rileggendo l'indicatore del multimetro: se questo valore è superiore al precedente ruotare il trimmer T8 in senso orario, in senso opposto in caso contrario. La regolazione fine va fatta con T9. La sequenza di taratura per approssimazioni successive va probabilmente ripetuta varie volte prima di raggiungere il risultato richiesto. A questo punto T10 permette di azzerare il display. Occorre verificare però che spostando il collegamento da +POWER a -POWER il multimetro rimanga ancora azzerato, altrimenti si rende necessario ripetere la procedura indicata sopra. Una regolazione fine dell'offset si ha col potenziometro multigi-ri.

Lasciare ancora cortocircuitate le boccole di POWER e di SENSE e collegare quindi quest'ultime alla boccola di +POWER; premuto il tasto corrispondente alla portata di 10 mΩ regolare T11 finché Voutput non risulti nulla.

Questa regolazione è influenzata da quella precedente su T10: è indispensabile quindi, nel caso si dovesse procedere nuovamente su T10, che si ritiri anche T11.

Per la messa a punto del guadagno in tensione Av dell'amplificatore differenziale si selezioni la portata da 100 Ω con la resistenza da 330÷470 Ω inserita tra le boccole di POWER collegando +SENSE con +POWER e -SENSE con -POWER. Posto il multimetro sul f.s. di 200 mV si misuri la tensione fra le boccole di SENSE prendendone no-

ta. Ammesso che non vi sia alcuna tensione di offset all'uscita in base alla precedente taratura, il valore della tensione alla stessa uscita deve essere reso esattamente 10 volte maggiore, regolando T12, di quella rilevata tra le boccole di SENSE.

T13 va regolato nello stesso identico modo, sostituendo però la resistenza da 330÷470 Ω con un filo di 50÷60 mΩ (semmai foste in dubbio sul valore misuratelo sulla portata da 100 mΩ che è già stata tarata); porre il milliohmmetro sulla portata di 10 mΩ e misurare la tensione tra le boccole di SENSE. Il suo valore, molto basso, è compreso tra 50 e 60 mV. La stessa indicazione la si deve ritrovare, questa volta moltiplicata per 100, all'uscita output. Sarebbe buona norma però, prima di eseguire questa taratura su T12, cortocircuitare tra loro le boccole di +SENSE, -SENSE e +POWER accertandosi che Voutput sia nulla; in caso contrario agire sul potenziometro di offset per ottenere l'azzeramento.

Aprire il collegamento tra TP3 e TP4 e collegare TP4 con la paglietta o faston F; ruotando T14 si deve fare in modo di azzerare il display del milliohmmetro. Ricostituire il collegamento tra TP3 e TP4. Predisponendo lo strumento sulla portata di 100 Ω (o di 1000 Ω) e collegando tra loro le boccole di +SENSE con +POWER e di -SENSE con -POWER, inserire tra le boccole di POWER una resistenza prossima al valore di fondo scala impostato. Con T15 si aggiusta l'indicazione del display del milliohmmetro al medesimo valore del multimetro allacciato alla presa di output e predisposto sul f.s. di 2V.

Un'avvertenza che è doveroso fare è di proteggere dalla polvere i commutatori della pulsantiera e mantenere puliti i contatti con spray disossidante per non correre il rischio di misure errate; inoltre, revisioni periodiche garantiscono una certa permanenza delle prestazioni.

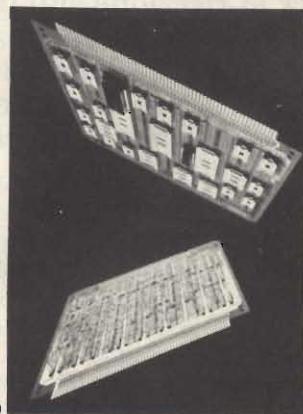
E con ciò spero di avere detto tutto.

### Cablaggio dei prototipi

La 3M propone un sistema di cablaggio delle schede dei circuiti basato su elementi autospellanti, il Protokit, che permette di passare direttamente dallo schema al prototipo senza la tappa intermedia della realizzazione delle schede.

Questo kit di connessioni Scotchflex, affidabile e veloce, sostituisce vantaggiosamente le tecniche normalmente impiegate; inoltre il Protokit consente di cambiare lo schema durante il montaggio.

3M ITALIA  
San Felice  
Segrate (MI)



# ... ANCORA "RXM2": funzionamento a banda larga

di Gianni Brazzoli

Come abbiamo detto in precedenza, il sintonizzatore professionale "RXM2", essendo stato concepito per l'applicazione nei ponti radio ha sensibilità elevatissima, reiezione ai segnali indesiderati portata al massimo, e tutto quel complesso di doti che, appunto, differenziano un apparecchio previsto per operare in un sistema di telecomunicazioni da un comune tuner "casalingo". In cambio, però, così com'è presentato, lavora con una gamma di ricezione piuttosto limitata, coperta tramite il controllo "sintonia fine". Può essere interessante trasformarlo per la ricezione sull'intera banda FM, o almeno per la banda 88 ÷ 104 MHz (E.B.U.), per cui indichiamo qui di seguito la procedura da seguire.

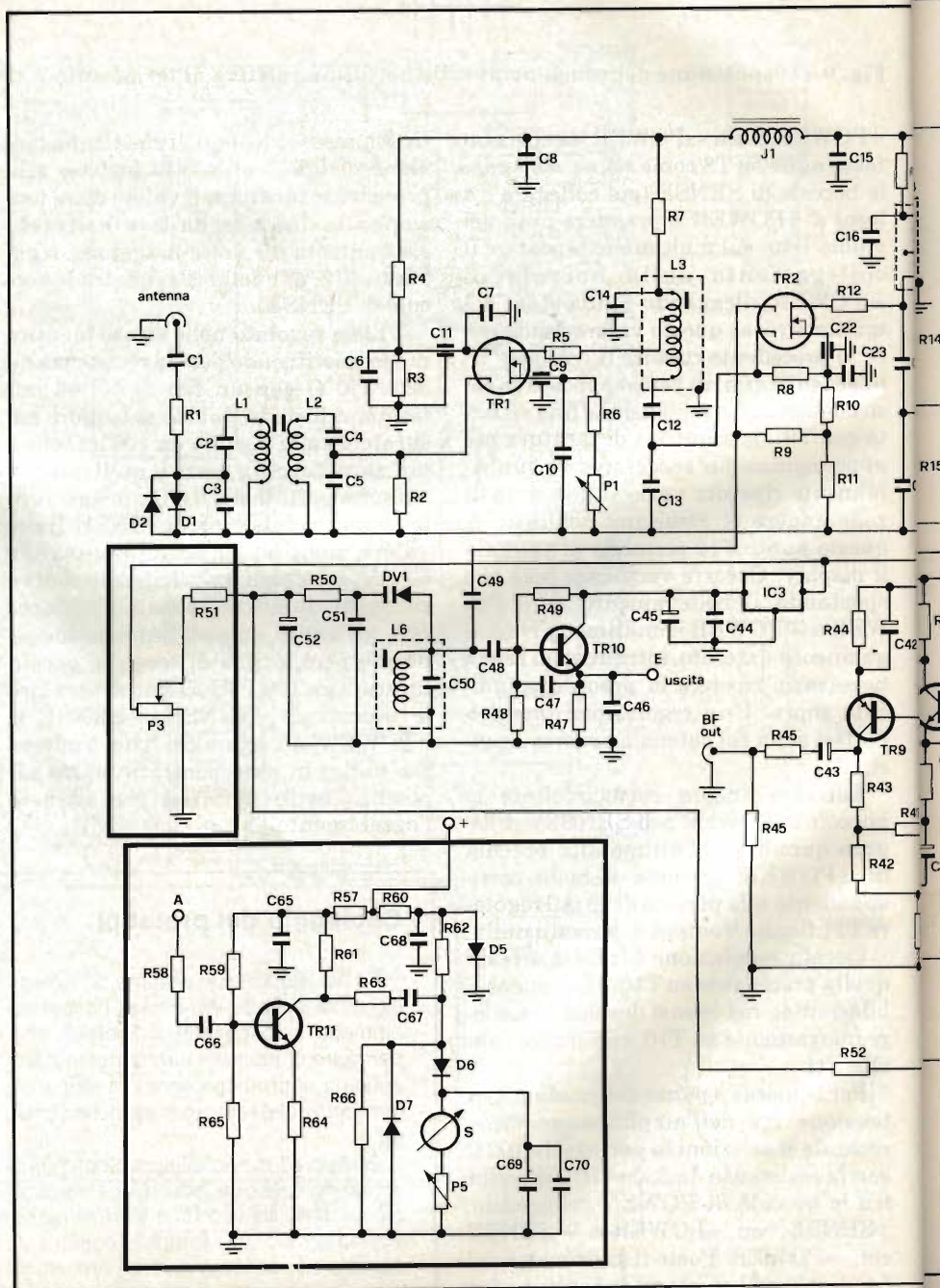
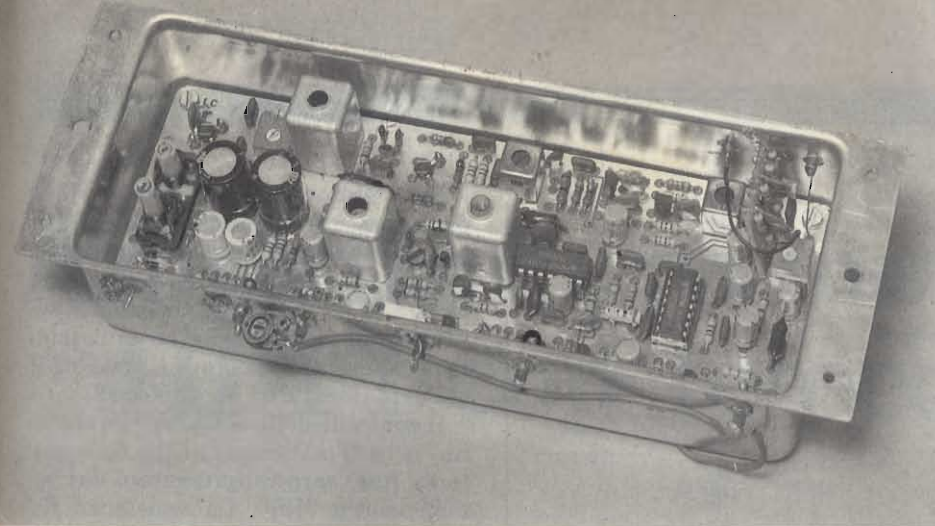
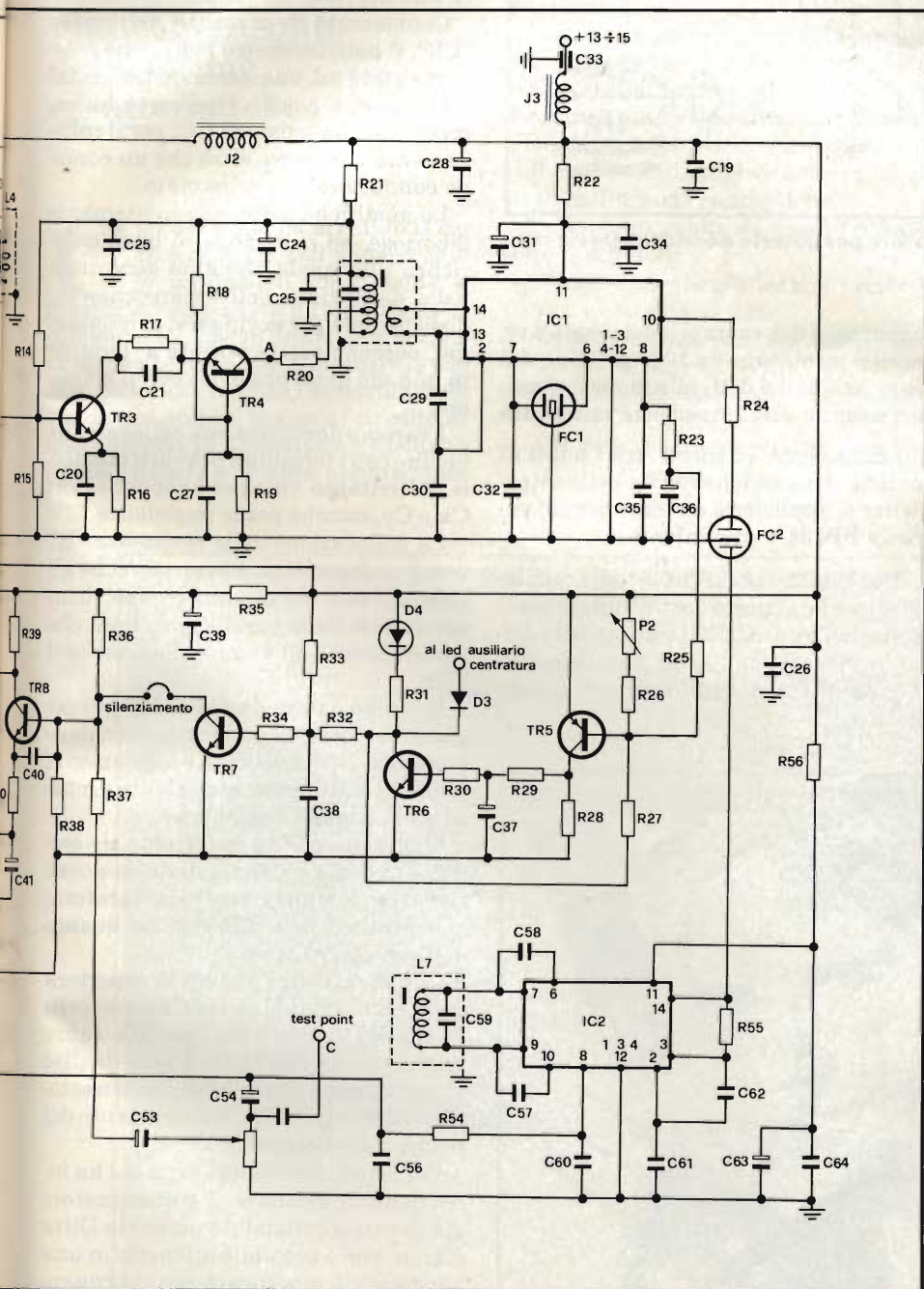


Fig. 1 - Schema elettrico del sintonizzatore professionale FM, la cui descrizione è a



Vista interna dell'RXM2 a realizzazione ultimata.



ta presentata sui numeri 1/3 del 1982 di questa stessa rivista.

**C**i sono moltissimi punti, nella banda FM, nei quali si può allineare il sintonizzatore RXM 2, al fine di ottenere l'ascolto dei programmi R.A.I., più varie emittenti private, o solo di queste ultime.

Tali punti, però, o "tratti di sintonia", sono pur sempre limitati, e ciò a causa della medesima natura dell'apparecchio, che è proprio nato per ricevere un solo tratto della banda, dovendo teoricamente servire per ponti radio, cioè per ripetitori che captano i segnali "al di qua" di un ostacolo insormontabile per le onde VHF (poniamo una catena montagnosa) e li ritrasmettano "al di là" del medesimo, o che compiono funzioni analoghe, con una eventuale conversione e riconversione della frequenza dei segnali (sistemi "transponder").

Come abbiamo detto nella precedente descrizione, tramite l'impiego della sintonia fine, è già possibile esplorare un buon numero di canali nella banda FM, quindi captare quelle stazioni "locali" o "private" che giungano deboli, interferite, e che invece interessano.

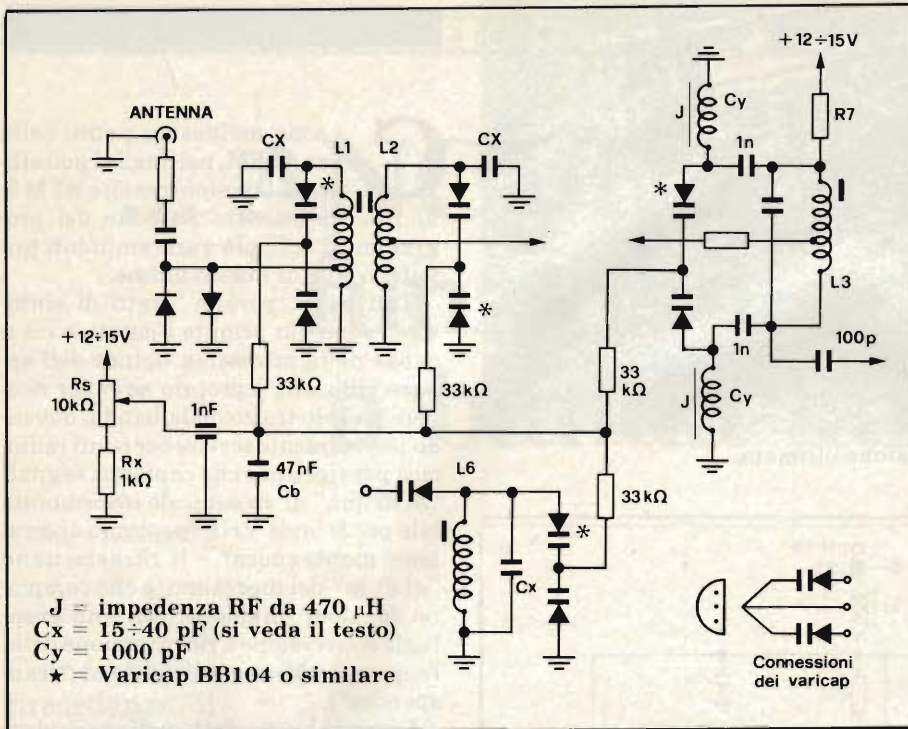
Molti lettori ci hanno però fatto notare che questo tipo di lavoro è limitativo, per un apparecchio tanto valido, e che sarebbe stato meglio se il sintonizzatore fosse stato previsto per ricevere l'intera banda E.B.U. (European Broadcasting Union) che è compresa tra 88 e 104 MHz, o la banda FM internazionale, che va da 88 a 108 MHz.

Poichè è sempre professionalmente poco corretto rielaborare una realizzazione altrui, e poichè i migliori risultati sono senz'altro più facili da conseguire, se è proprio il medesimo progettista che si occupa delle modifiche, ci siano rivolti all'Akron di Bologna, sottoponendo all'ufficio studi della Ditta il desiderio dei lettori relativo all'allargamento della banda ricevuta.

L'Akron ci ha risposto che la cosa è fattibilissima, e basta un certo numero di modifiche ed aggiunte, che chiunque può effettuare.

In pratica, si tratta (figura 2) di rielaborare gli accordi d'ingresso; l'accordo di uscita del TR1 (L3), ed infine l'accordo dell'oscillatore locale, L6.

Per l'ingresso, si distaccheranno i condensatori C2 e C3, in parallelo alla L1, e si provvederà alla loro sostituzione con un doppio Varicap BB104. La medesima sostituzione si effettuerà per i condensatori C4 e C5, originariamente in parallelo alla L2. Per il miglior



**Fig. 2 - Modifica da apportare al sintonizzatore per poterlo adattare alla ricezione dell'intera banda FM 88 ÷ 104 MHz.**

“centraggio” della gamma, si aggiungeranno i condensatori “Cx” che possono avere dei valori compresi da 15 a 40 pF, a seconda che interessi estendere verso l’alto o verso il basso la ricezione.

L’elaborazione dell’accordo d’uscita del TR1 è un poco più complessa. Prima di tutto si deve togliere il C16 originale, poi, sempre come si vede nella figura 2, in parallelo alla L3 si aggiungerà un “Cx” dal valore che ricada tra quelli anzidetti.

I terminali della bobina saranno distaccati dalle piste dello stampato, e

connessi a due comuni condensatori ceramici miniatura da 1000 pF (Cy); dai capi esterni dei detti alla massa, si conletteranno due impedenze miniatura

(J) da 470  $\mu$ H, ed infine, tra i punti di unione dei condensatori e delle impedenze si applicherà un terzo doppio varicap BB104 o equivalente.

Per quanto riguarda lo stadio oscillatore locale, al posto del C50 originale si collegherà un “Cx” (si veda quanto detto in precedenza), ed in parallelo alla L6, ed al Cx si applicherà un quarto BB104.

Per la sintonia, ovviamente i varicap devono essere adeguatamente polarizzati, e ciò è semplicemente ottenuto con resistenze da 33.000  $\Omega$  (1/4 di W oppure da 1/8 di W). Le quattro resistenze saranno raggruppate verso un unico punto di bypass a massa, ove è presente il condensatore “Cb” da 47.000 pF.

Il controllo della sintonia “grossolana” (è bene mantenere quello della sintonia fine) sarà rappresentato dal potenziometro “RS”. La resistenza Rx può avere un valore compreso tra 680  $\Omega$  e 1200  $\Omega$ . Normalmente se ne impiegherà una da 1.000  $\Omega$ .

Considerata la presenza del bypass “Cb”, il potenziometro può anche essere montato ad una certa distanza dal complesso, e poichè è percorso unicamente da una tensione CC, per il collegamento non serve altro che un comune conduttore non schermato.

Le modifiche dette, apparentemente laboriose, se si dispone di quell’esperienza alla quale abbiamo accennato nella descrizione dell’apparecchio, indispensabile per accingersi al montaggio, possono essere portate a termine in non più di un’ora di lavoro al massimo.

I varicap devono essere collegati alle bobine con i terminali più corti possibili. Altrettanto vale per i condensatori Cx e Cy, nonchè per le impedenze “J”.

La collocazione delle resistenze “R” non è molto critica; è bene però che gli elementi non siano posti troppo vicini per evitare delle possibili reazioni che porterebbero all’autooscillazione del TR1.

Il condensatore da 1nF (1000 pF) posto sulla linea di polarizzazione, deve essere del tipo passante, e logicamente avrà l’armatura esterna saldata a massa sulla scatola-contenitore.

Una volta che l’apparecchio sia modificato come abbiamo detto, si dovrà rivedere completamente la taratura, che peraltro non differirà da quanto detto in precedenza.

Con la modifica si avrà la copertura della banda E.B.U., e se i Cx sono scelti di piccolo valore, sarà possibile salire anche verso i 108 MHz. È però da dire che più piccoli sono questi condensatori, più critico diviene l’allineamento dei nuclei delle bobine.

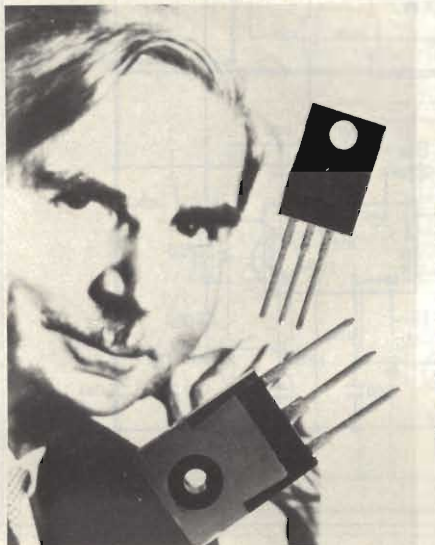
Per finire, rammentiamo a chi ha intenzione di ordinare il sintonizzatore già pronto e collaudato presso la Ditta Akron, che è possibile ottenerlo in una versione già modificata secondo quanto detto, con un piccolo sovrapprezzo.

## Diodi Schottky con 0,55 V di tensione diretta

La Siemens ha ampliato la gamma dei suoi diodi Schottky con tre modelli, BYS 28 da 25 A, BYS 24 da 8 A e BYS 21 da 1 A, tutti caratterizzati da una tensione inversa di cresta di 45 V.

I tipi BYS 24 e 28 sono diodi doppi incapsulati in contenitori plastici TO-220 e TOP-3, con uscite radiali. La Siemens propone anche una configurazione inedita, che permette di saldare i diodi Schottky automaticamente sulle schede dei circuiti stampati. Il BYS 21 invece è un diodo semplice a connessione assiali.

SIEMENS ELETTRA  
Via F. Filzi, 25/A  
Milano



# Amplificatore mono-stereo HI-FI con telecomando

di G. Contardi - Parte I

Un circuito piuttosto insolito dalle ottime caratteristiche.

Come si nota, osservando le caratteristiche dell'apparecchio le prestazioni sono buone, e contrariamente a tutti gli amplificatori commerciali, questo presenta una uscita mono che permette di ottenere la diffusione sonora in tutto l'appartamento con la possibilità, grazie al circuito di telecomando, di alimentare a distanza l'amplificatore e le altre apparecchia-

ture HI-FI fino al massimo di 2000 VA di potenza.

Tutti i circuiti audio sono stati realizzati utilizzando dei circuiti integrati. Nel preamplificatore, gli LM 387 della National; nei circuiti finali di potenza i TDA 2020 della SGS.

Il circuito dell'amplificatore impiega in tutto 7 schede elettroniche.

Le funzioni svolte da queste schede sono le seguenti:

- PS 100 preamplificatore correttore di toni
- SA 200 amplificatore stereo da 20 + 20 W
- AL 300 alimentatore di tutti i circuiti audio
- AM 400 sommatore del segnale stereo

e amplificatore mono da 20 W

- CN 500 controllo elettronico dei "V" meter

- 1/2 CN 500 controllo elettronico del "V" meter

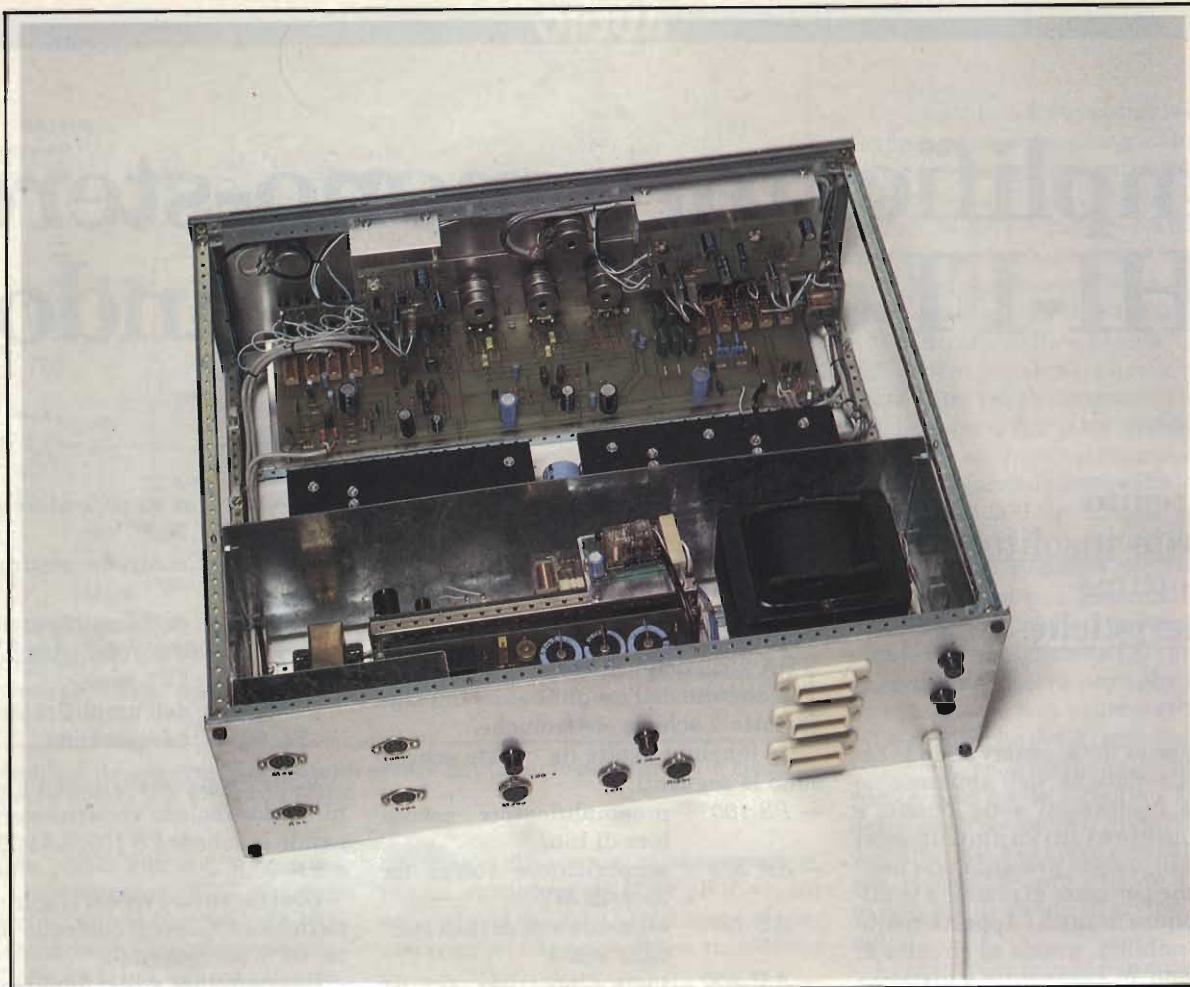
- TL 600 dell'amplificatore mono telecomando

Volendo si può realizzare questo amplificatore solo in versione stereo utilizzando le schede PS 100, SA 200, AL 300 e CN 500.

Così facendo avremo eliminato l'amplificatore mono, il controllo del V meter ed il telecomando.

Passiamo ora ad esaminare il funzionamento delle schede.





### L'alimentatore

Il circuito elettrico dell'alimentatore, scheda AL 300, lo si può trovare in *figura 1*.

La tensione erogata dall'alimentatore è di 28 V con 3 A di corrente.

La stabilizzazione della tensione è affidata all'integrato IC 301 ( $\mu A$  78G). Abbiamo utilizzato questo integrato in quanto permette di realizzare degli ottimi alimentatori stabilizzati regolabili, con l'impiego di pochissimi componenti esterni.

La tensione alternata, ridotta a 35 V, è applicata su un ponte raddrizzatore, PD 301, da 4 A 400 V.

La tensione raddrizzata viene poi filtrata da tre condensatori elettrolitici, C 301, C 302 e C 303, in parallelo fra loro.

Abbiamo utilizzato tre condensatori per ridurre le dimensioni della scheda in quanto un condensatore da 4500  $\mu F$  aveva un ingombro maggiore.

I condensatori C 304 e C 305, posti direttamente sui pin 2 e 3 dell'integrato, evitano l'insorgere di auto-oscillazioni che comprometterebbero il buon funzionamento dello stabilizzatore di tensione.

### CARATTERISTICHE

— Uscita stereo	20 + 20W
— Distorsione	0,5 %
— Impedenza	4 - 8 $\Omega$
— Uscita mono	20 W
— Distorsione	1 %
— Impedenza	500 $\Omega$ (100 V)
— Uscita per registratore	150 mV
— Impedenza	10 k $\Omega$
— Ingresso testina magnetica	2 mV
— Impedenza	47 k $\Omega$
— Ingressi radio, registratore e ausiliario	150 mV
— Impedenza	100 k $\Omega$
— Risposta in frequenza	20÷20 kHz
— Controlli di tono	- 2dB
— Filtri	alti, medi, bassi
— Attenuazione	scratch e rumble - 12 dB
— Telecomando a distanza tramite linea altoparlanti mono	

Al transistor TR 301 è affidato il compito di regolare la tensione in uscita; infatti, l'integrato darebbe solamente 1 A, mentre con questo transistor è possibile arrivare a una corrente di circa 3 A. È possibile anche superare questa corrente a patto di montare il transistor su un dissipatore di maggiori dimensioni.

Le resistenze R 301, R 302 e R 303 formano un particolare sulla tensione di uscita; parte di questa tensione viene inviata all'ingresso di controllo dell'integrato, permettendo così una controreazione di tensione e quindi la stabilizzazione della tensione in uscita.

Il trimmer R 301 permette la regolazione fine della tensione generata.

Il transistor TR 301 è montato su un dissipatore di dimensioni 60 x 51 x 16 codice GBC GC/1560-00.

Al fusibile F 301 è affidato il compito di proteggere l'alimentatore da eventuali cortocircuiti in uscita.

Tutto il circuito dell'alimentatore è montato sul circuito stampato il cui disegno lo potrete trovare in *figura 2*.

Particolare cura, quando riportate sulla basetta di disegno dello stampato

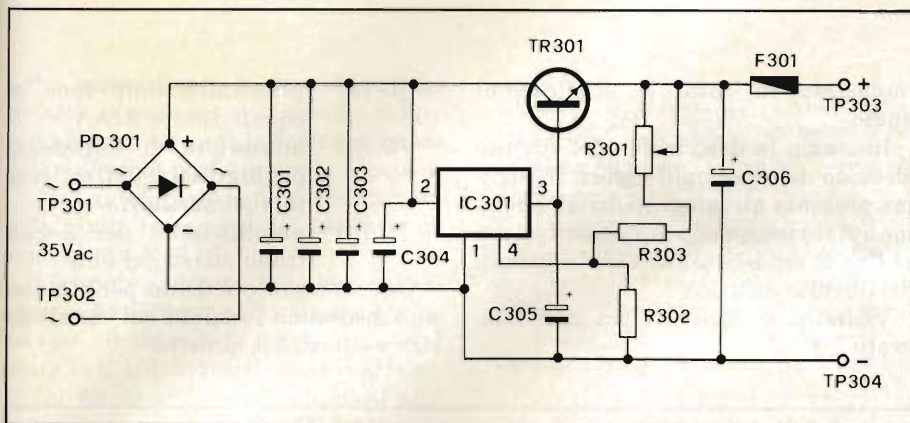


Fig. 1 - Circuito elettrico dell'alimentatore, scheda AL 300.

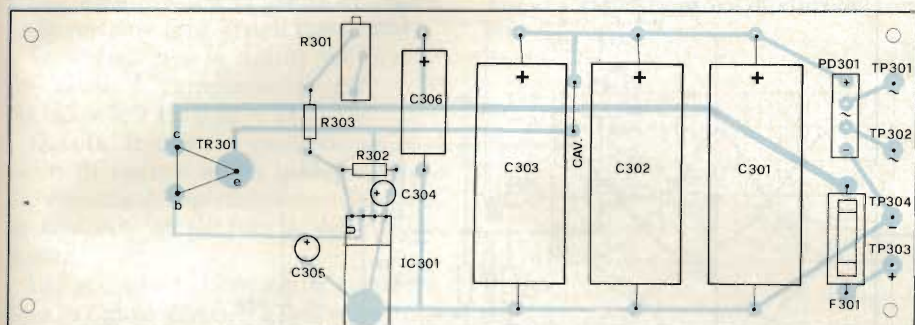


Fig. 2 - Disposizione dei componenti sulla basetta relativa all'alimentatore dell'amplificatore.

#### Componenti relativi al circuito dell'alimentatore AL 300

##### Resistenze

R 301 : trimmer a 10 giri da 10 k $\Omega$   
 R 302 : resistenza da 4,7 k $\Omega$  5%  
 R 303 : resistenza da 15 k $\Omega$  5%

C 305 : con. al tantalio  
 da 0,47  $\mu$ F 35 VL  
 C 306 : con. elettrolitico  
 da 220  $\mu$ F 35 VL

##### Condensatori

C 301 : con. elettrolitico  
 da 1500  $\mu$ F 63 VL  
 C 302 : con. elettrolitico  
 da 1500  $\mu$ F 63 VL  
 C 303 : con. elettrolitico  
 da 1500  $\mu$ F 63 VL  
 C 304 : con. al tantalio  
 da 1  $\mu$ F 35 VL

##### Semiconduttori

TR 301 : transistore di potenza  
 NPN BD 142  
 IC 301 : integrato  $\mu$ A78G  
 PD 301 : ponte di diodi KBL04 op-  
 pure equivalenti da 400 V - 4A

##### Varie

F 301 : fusibile da 3 A

(figura 2/a) va posta nella realizzazione delle piste che portano la massima corrente erogata, infatti, onde evitare indesiderate cadute di tensione, le medesime non devono essere assolutamente piú piccole di quelle da noi fatte.

## Il preamplificatore

Il preamplificatore da noi progettato è interamente montato su una grossa scheda di 38 x 10 cm, la sigla di questa scheda è PS 100.

Lo schema elettrico è visibile in figura 3. Come si vede, questo è il circuito che presenta il maggior numero di componenti; però, essendo stato realizzato sfruttando esclusivamente degli integrati, si è ottenuta una grande semplificazione costruttiva.

Prima di iniziare la descrizione del funzionamento del preamplificatore accenniamo al funzionamento dell'integrato National, LM 387 da noi utilizzato.

Il circuito integrato LM 387 è un doppio preamplificatore incapsulato in un contenitore minidip a 8 piedini.

Il livello di rumore totale, equivalente all'ingresso, vale 0,65  $\mu$ V RMS ed il rapporto di reiezione della tensione di alimentazione è di 100 dB, alla frequenza di prova di 1000 Hz.

Può essere alimentato con tensioni comprese tra 9 e 30 V; nel nostro caso abbiamo utilizzato una tensione di 24 V, ottenuta ponendo in serie all'alimentazione una opportuna resistenza.

Il guadagno massimo di questo circuito integrato preamplificatore è di 104 dB, operando ad anello aperto ovvero senza alcuna controreazione.

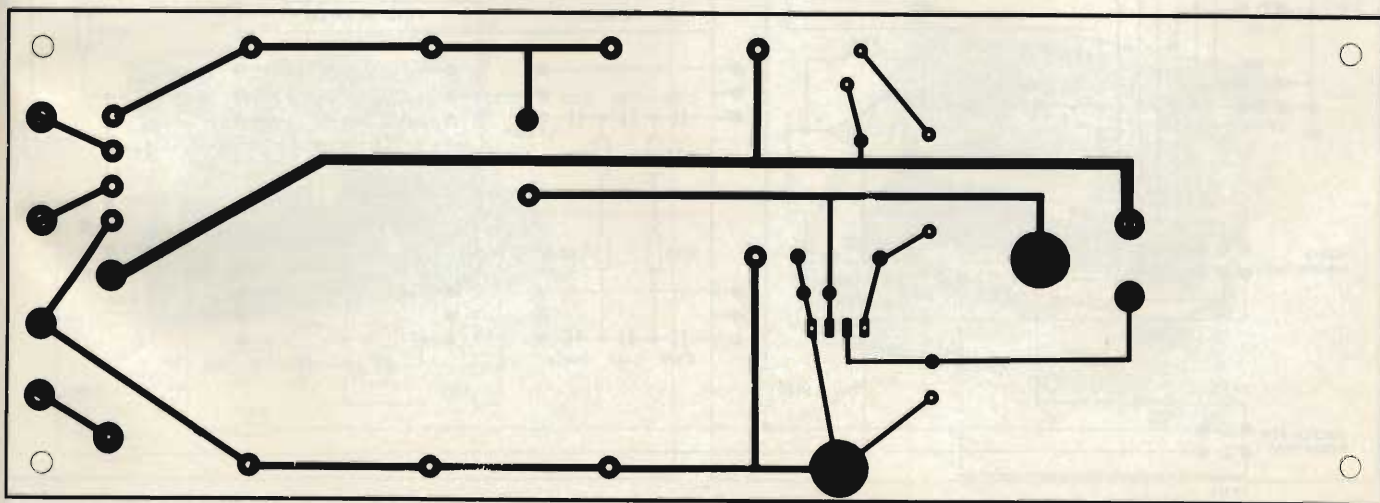


Fig. 2/a - Circuito stampato dell'alimentatore visto dal lato rame in scala 1:1.

La resistenza di ingresso tipica è di 100 k $\Omega$  per il non invertente e di 200 k $\Omega$  per l'invertente.

La separazione tra i due canali è di 60 dB, alla frequenza di 1 kHz e la distorsione totale è pari allo 0,1 % sempre alla frequenza di 1 kHz.

Come potete notare questo integrato presenta delle buone caratteristiche e pertanto si presta molto bene ad essere

impiegato in tutte le applicazioni audio.

Iniziamo la descrizione del circuito elettrico del preamplificatore: lo schema presenta gli integrati divisi, abbiamo optato per questa rappresentazione al fine di rendere più lineare la stesura del circuito elettrico.

Vediamo la funzione dei vari integrati:

- IC 101 preamplificatore fono ed equalizzatore RIAA
- IC 102 adattatore di impedenza per ingressi radio, registratore ed ausiliario
- IC 103 amplificatore per il controllo attivo dei toni.

Ogni integrato è usato per ottenere una medesima funzione sul canale destro e sul canale sinistro.

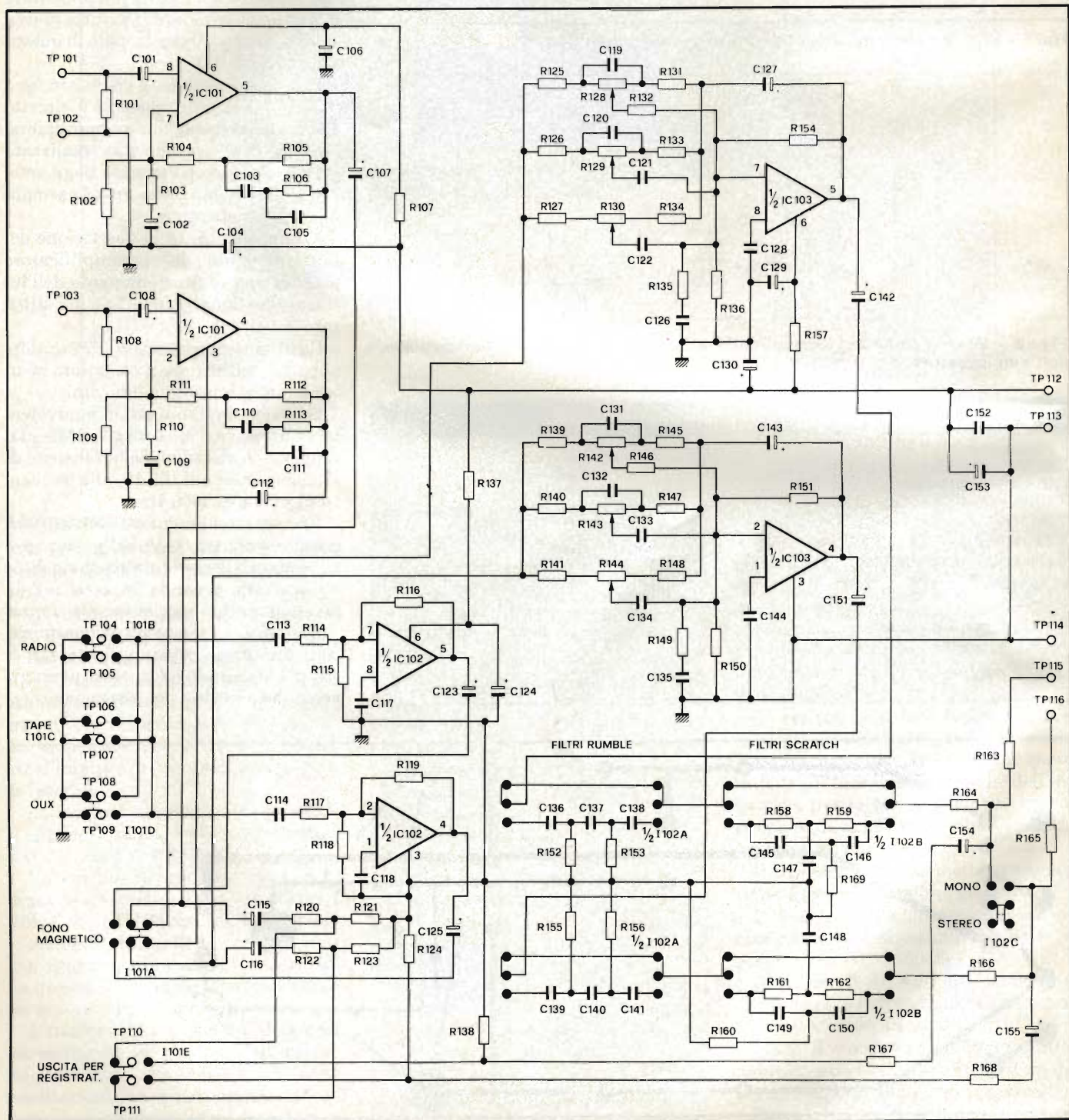


Fig. 3 - Schema elettrico del preamplificatore stereofonico denominato "Scheda PS 100".



Per semplificare la descrizione del circuito esaminiamo solamente il funzionamento del canale destro in quanto il sinistro è perfettamente identico.

Il preamplificatore fono è realizzato utilizzando la metà di IC 101 facendo capo ai pin 5 - 8 - 7.

Il segnale generato dalla testina magnetica è applicato sull'ingresso positivo (pin 8) tramite il condensatore al tantalio C 101; la resistenza di ingresso R 101 fornisce il carico standard alla testina secondo le norme RIAA.

La rete RC, che fornisce l'equalizzazione, è connessa tra l'uscita e l'ingresso invertente (pin 7) dell'integrato.

In questa rete si hanno tre diverse frequenze di funzionamento:  $f_1 = 50$  Hz,  $f_2 = 500$  Hz e  $f_3 = 2120$  Hz.

Queste frequenze rappresentano i punti di spettro audio in cui si passa dal sistema di registrazione ad ampiezza costante al sistema a velocità costante.

Per maggiori chiarimenti potete vedere in *figura 4* la curva dell'equalizzazione di riproduzione RIAA.

Se il Lettore è interessato ad approfondire le sue conoscenze sui sistemi di realizzazione dei dischi consigliamo di consultare il libro "AUDIO & HI-FI" della Jackson Italiana, reperibile presso ogni sede GBC.

Per ottenere dall'equalizzatore queste tre frequenze di taglio, si è calcolato il circuito di controreazione nel seguente modo:

$$f_1 \quad R_{105} = X.C_{103}, \text{ ovvero } C_{103} = 1/2 \cdot f_1.R_{105}$$

$$f_2 \quad X.C_{103} = R_{106}, \text{ da cui } R_{106} = .f_2.C_{103}$$

$$f_3 \quad X.C_{105} = R_{106}, \text{ pertanto } C_{105} = 1/2 \cdot .f_3.R_{106}$$

Operando opportunamente su queste formule è possibile calcolare tutti gli elementi in gioco.

Il segnale audio, amplificato ed equalizzato viene prelevato dal condensatore elettrolitico C 107.

La resistenza R 104 è usata per stabilizzare il circuito di amplificazione in quanto l'integrato non è compensato a guadagno unitario.

La resistenza R 103 determina il guadagno del preamplificatore; mentre il condensatore C 102 determina il guadagno alla minima frequenza di funzionamento (20 Hz).

La tensione di alimentazione è derivata dall'alimentazione generale mediante la resistenza R 107, disaccoppiata verso massa dal condensatore C 106.

I segnali stereo, amplificati da IC 101 arrivano al commutatore I 101a, che provvede a scegliere tra l'ingresso fono magnetico e gli altri tre ingressi.

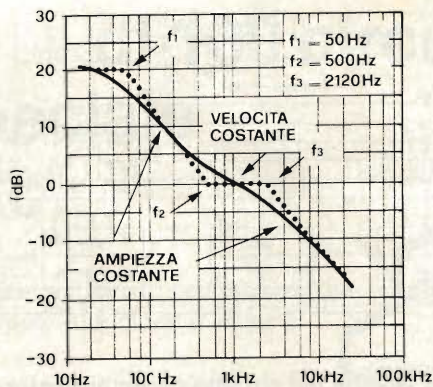
Quando viene selezionato uno degli ingressi RADIO - TAPE - AUX viene escluso dal circuito l'integrato IC 101 ed inserito l'integrato IC 102.

Questo integrato (IC 102) adatta il segnale di uscita delle altre sorgenti con il circuito correttore di tono.

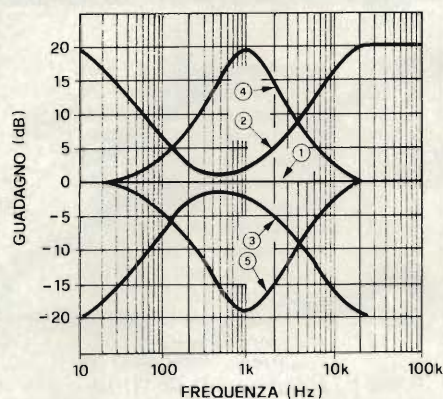
Esaminiamo il funzionamento del canale destro, la parte di integrato interessato fa capo ai pin 5 - 7 - 8.

Il segnale audio, dopo essere stato selezionato dai commutatori I 101b, I 101c e I 101d, entra nel circuito integrato tramite C 113 e R 114, l'impedenza di ingresso è di circa 100 k $\Omega$ .

Il guadagno dello stadio è determina-

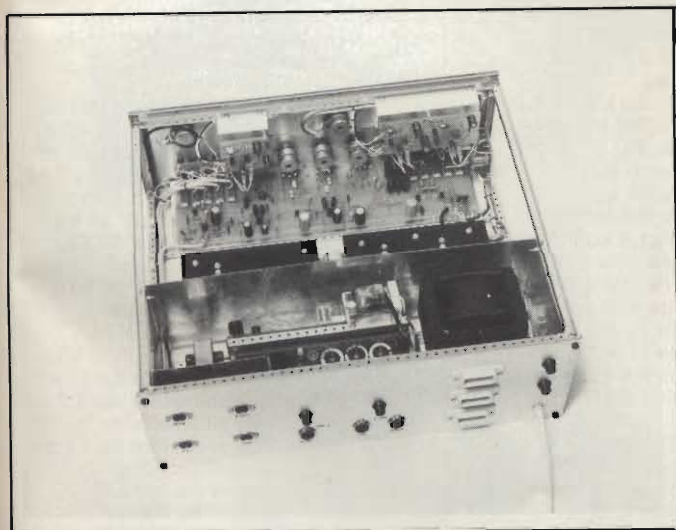


**Fig. 4 - Equalizzatore di riproduzione RIAA.**



- ① Tutti i controlli piatti
- ② Bassi e treble incrementati, midrange piatto
- ③ Bassi e treble tagliati, midrange piatto
- ④ Midrange incrementato, bassi e treble piatti
- ⑤ Midrange tagliato, bassi e treble piatti

**Fig. 5 - Controllo di tono attivo a tripla banda (bassi, midrange e treble).**



La foto mostra il montaggio della scheda dell'amplificatore di potenza SA 200.

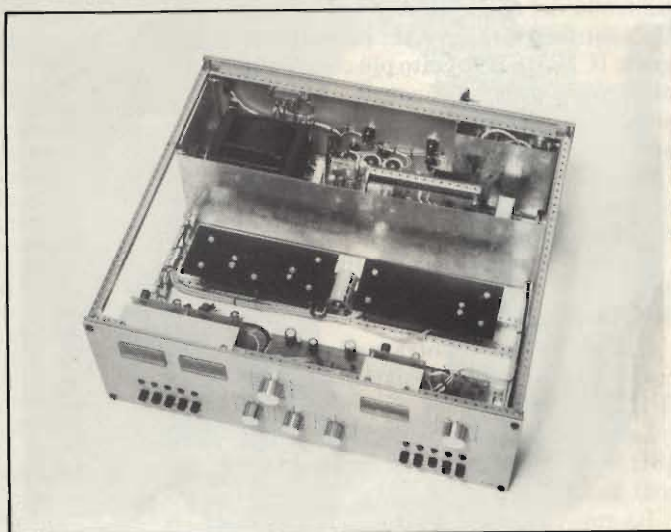


Foto dell'alimentatore a montaggio ultimato.

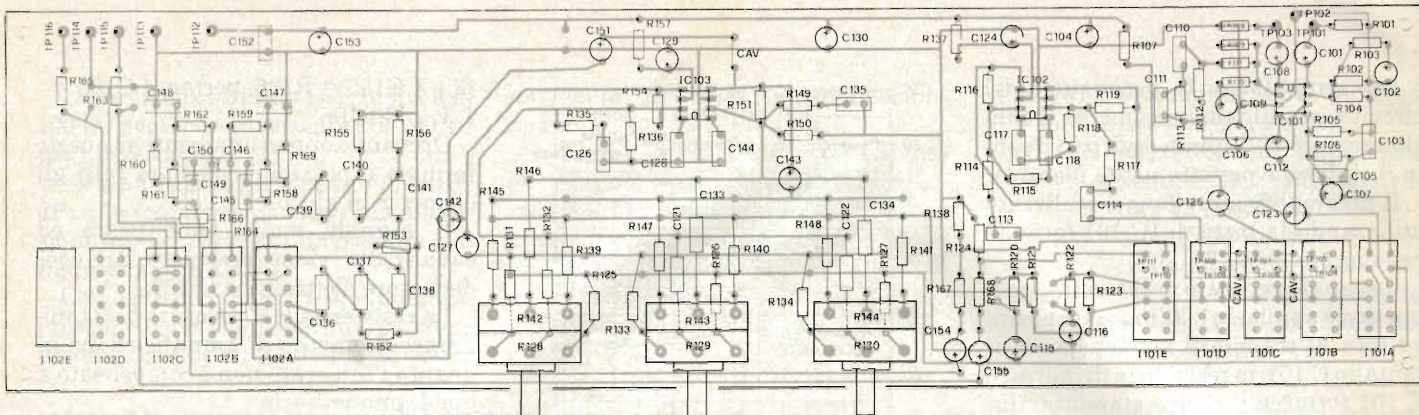


Fig. 6 - Disposizione dei componenti sulla basetta del circuito preamplificatore.

to dal rapporto tra R 116 ed R 114 ed è stato calcolato per avere valore unitario.

È possibile, se necessario, aumentare il guadagno dello stadio in base alle proprie esigenze.

Ad esempio, potete ottenere un'ingresso per microfono, infatti per avere una sensibilità di 1 mV è sufficiente applicare la seguente formula:  $V_u/V_i = R_{116}/R_{114}$ , quindi sapendo che  $V_u = 150$  mV,  $V_i = 1$  mV e  $R_{116} = 100 \Omega$  si può calcolare  $R_{114}$  che risulta essere uguale a 680  $\Omega$ .

La resistenza R 115 assicura la stabilità dell'amplificatore nel caso di guadagno inferiore a 10.

Il segnale è prelevato dal pin 5 tramite il condensatore C 123.

La tensione di alimentazione è derivata dalla sbarra comune tramite la resistenza R 137. Il condensatore C 124 disaccoppia la tensione di alimentazione verso massa.

Il segnale audio, dopo essere stato selezionato ed amplificato ad un livello standard (150 mV), entra nel circuito di controllo dei toni.

Questo circuito è realizzato dall'integrato IC 103. È il circuito più complesso di tutto il preamplificatore, infatti è stato progettato per controllare tre spettri di frequenza.

In figura 5 potete vedere come viene esattamente effettuata la risposta in frequenza.

Esaminiamo, come al solito, solo il canale destro che fa capo di pin 5 - 7 - 8 dell'integrato IC 103.

Il segnale audio entra nella rete di controllo tramite tre resistenze, R 125, R 126 ed R 127.

La rete composta da R 125, R 128, R 131, R 132 e C 119 opera il controllo sui toni bassi.

La rete composta da R 127, R 130, R 134 e C 122 controlla le frequenze alte, mentre la rete formata da R 126, R 129,

### Componenti relativi al preamplificatore stereofonico - PS 100 -

#### Resistenze

R 101	: resistenza da 47 k $\Omega$ 5%
R 102	: resistenza da 100 k $\Omega$ 5%
R 103	: resistenza da 1,5 k $\Omega$ 5%
R 104	: resistenza da 15 k $\Omega$ 5%
R 105	: resistenza da 820 k $\Omega$ 5%
R 106	: resistenza da 82 k $\Omega$ 5%
R 107	: resistenza da 330 $\Omega$ 5%
R 108	: resistenza da 47 k $\Omega$ 5%
R 109	: resistenza da 100 k $\Omega$ 5%
R 110	: resistenza da 1,5 k $\Omega$ 5%
R 111	: resistenza da 15 k $\Omega$ 5%
R 112	: resistenza da 820 k $\Omega$ 5%
R 113	: resistenza da 82 k $\Omega$ 5%
R 114	: resistenza da 100 k $\Omega$ 5%
R 115	: resistenza da 24 k $\Omega$ 1%
R 116	: resistenza da 100 k $\Omega$ 5%
R 117	: resistenza da 100 k $\Omega$ 5%
R 118	: resistenza da 24 k $\Omega$ 1%
R 119	: resistenza da 100 k $\Omega$ 5%
R 120	: resistenza da 68 k $\Omega$ 5%
R 121	: resistenza da 10 k $\Omega$ 5%
R 122	: resistenza da 68 k $\Omega$ 5%
R 123	: resistenza da 10 k $\Omega$ 5%
R 124	: resistenza da 10 k $\Omega$ 5%
R 125	: resistenza da 11 k $\Omega$ 1%
R 126	: resistenza da 3,6 k $\Omega$ 1%
R 127	: resistenza da 1,8 k $\Omega$ 5%
R 128	: pot. doppio da 100 + 100 k $\Omega$
R 129	: pot. doppio da 100 + 100 k $\Omega$
R 130	: pot. doppio da 470 + 470 k $\Omega$
R 131	: resistenza da 11 k $\Omega$ 1%
R 132	: resistenza da 11 k $\Omega$ 1%
R 133	: resistenza da 3,6 k $\Omega$ 1%
R 134	: resistenza da 1,8 k $\Omega$ 5%
R 135	: resistenza da 3,3 k $\Omega$ 5%
R 136	: resistenza da 240 k $\Omega$ 1%
R 137	: resistenza da 330 $\Omega$ 5%
R 138	: resistenza da 10 k $\Omega$ 5%
R 139	: resistenza da 11 k $\Omega$ 1%
R 140	: resistenza da 3,6 k $\Omega$ 1%
R 141	: resistenza da 1,8 k $\Omega$ 5%
R 142	: pot. doppio da 100 + 100 k $\Omega$
R 143	: pot. doppio da 100 + 100 k $\Omega$
R 144	: pot. doppio da 470 + 470 k $\Omega$
R 145	: resistenza da 11 k $\Omega$ 1%
R 146	: resistenza da 11 k $\Omega$ 1%
R 147	: resistenza da 3,6 k $\Omega$ 1%
R 148	: resistenza da 1,8 k $\Omega$ 5%
R 149	: resistenza da 3,3 k $\Omega$ 5%
R 150	: resistenza da 240 k $\Omega$ 1%
R 151	: resistenza da 2,2 M $\Omega$ 5%
R 152	: resistenza da 10 k $\Omega$ 5%
R 153	: resistenza da 10 k $\Omega$ 5%
R 154	: resistenza da 2,2 M $\Omega$ 5%
R 155	: resistenza da 10 k $\Omega$ 5%

R 156	: resistenza da 10 k $\Omega$ 5%
R 157	: resistenza da 330 $\Omega$ 5%
R 158	: resistenza da 10 k $\Omega$ 5%
R 159	: resistenza da 10 k $\Omega$ 5%
R 160	: resistenza da 4,7 k $\Omega$ 5%
R 161	: resistenza da 10 k $\Omega$ 5%
R 162	: resistenza da 10 k $\Omega$ 5%
R 163	: resistenza da 2,2 k $\Omega$ 5%
R 164	: resistenza da 2,2 k $\Omega$ 5%
R 165	: resistenza da 2,2 k $\Omega$ 5%
R 166	: resistenza da 2,2 k $\Omega$ 5%
R 167	: resistenza da 100 k $\Omega$ 5%
R 168	: resistenza da 100 k $\Omega$ 5%
R 169	: resistenza da 4,7 k $\Omega$ 5%

#### Condensatori

C 101	: con. al tantalio da 1 $\mu$ F 35 VL
C 102	: con. al tantalio da 4,7 $\mu$ F 35 VL
C 103	: con. in poliestere da 4,7 nF
C 104	: con. elettrolitico da 33 $\mu$ F 35 VL
C 105	: con. in poliestere da 1 nF
C 106	: con. elettrolitico da 47 $\mu$ F 35 VL
C 107	: con. elettrolitico da 1 $\mu$ F 35 VL
C 108	: con. al tantalio da 1 $\mu$ F 35 VL
C 109	: con. al tantalio da 4,7 $\mu$ F 35 VL
C 110	: con. in poliestere da 4,7 nF
C 111	: con. in poliestere da 1 nF
C 112	: con. elettrolitico da 1 $\mu$ F 35 VL
C 113	: con. in poliestere da 0,1 $\mu$ F
C 114	: con. in poliestere da 0,1 $\mu$ F
C 115	: con. elettrolitico da 1 $\mu$ F 35 VL
C 116	: con. elettrolitico da 1 $\mu$ F 35 VL
C 117	: con. in poliestere da 0,1 $\mu$ F
C 118	: con. in poliestere da 0,1 $\mu$ F
C 119	: con. assiale in poliestere da 47 nF
C 120	: con. assiale in poliestere da 4,7 nF
C 121	: con. assiale in poliestere da 22 nF
C 122	: con. assiale in poliestere da 4,7 nF
C 123	: con. elettrolitico da 1 $\mu$ F 35 VL
C 124	: con. elettrolitico da 33 $\mu$ F 35 VL
C 125	: con. elettrolitico da 1 $\mu$ F 35 VL
C 126	: con. in poliestere da 2,2 nF
C 127	: con. elettrolitico da 1 $\mu$ F 35 VL
C 128	: con. in poliestere da 0,1 $\mu$ F
C 129	: con. elettrolitico da 33 $\mu$ F 35 VL
C 130	: con. elettrolitico da 47 $\mu$ F 35 VL
C 131	: con. assiale in poliestere da 47 nF
C 132	: con. assiale in poliestere da 4,7 nF
C 133	: con. assiale in poliestere da 22 nF
C 134	: con. assiale in poliestere da 4,7 nF
C 135	: con. in poliestere da 2,2 nF
C 136	: con. in poliestere da 330 nF
C 137	: con. in poliestere da 330 nF
C 138	: con. in poliestere da 330 nF
C 139	: con. in poliestere da 330 nF

# Anche quest'anno Elektor ha selezionato + di 100 circuiti nel numero speciale di luglio/agosto.

Realizzazioni complete, circuiti supplementari, idee di progetto, novità ...  
questo ed altro troverete nel numero doppio di Elektor in edicola  
dal 1° luglio a lire 5.000.

Il numero doppio di luglio/agosto  
è un numero eccezionale.

Per i lettori interessati deve essere detto che Elektor, e solo  
Elektor, fa questo genere di cose una volta all'anno!

Questo numero speciale NON è una rassegna di  
circuiti già pubblicati e NEMMENO  
un anticipo sui progetti che verranno  
discussi nei dettagli nei prossimi numeri.

È adesso ... decidete un po' voi!

Noi speriamo che vi diventerà studiare questa  
selezione di circuiti e costruirne qualcuno  
(se non tutti).

Buona sperimentazione!!



C 140 : con. in poliestere da 330 nF  
 C 141 : con. in poliestere da 330 nF  
 C 142 : con. elettrolitico da 1  $\mu$ F 35 VL  
 C 143 : con. elettrolitico da 1  $\mu$ F 35 VL  
 C 144 : con. in poliestere da 0,1  $\mu$ F  
 C 145 : con. in poliestere da 1 nF  
 C 146 : con. in poliestere da 1 nF  
 C 147 : con. in poliestere da 2,2 nF  
 C 148 : con. in poliestere da 2,2 nF  
 C 149 : con. in poliestere da 1 nF  
 C 150 : con. in poliestere da 1 nF  
 C 151 : con. elettrolitico da 1  $\mu$ F 35 VL  
 C 152 : con. in poliestere da 47 nF  
 C 153 : con. elettrolitico da 100  $\mu$ F 35 VL  
 C 154 : con. elettrolitico da 1  $\mu$ F 35 VL  
 C 155 : con. elettrolitico da 1  $\mu$ F 35 VL

#### Circuiti integrati

IC 101 : circuito integrato LM 387  
 IC 102 : circuito integrato LM 387  
 IC 103 : circuito integrato LM 387

#### Varie

I 101 : commutatore a 4 + 1 pulsanti codice  
 GBC 00/0526-14  
 I 102 : commutatore a 5 pulsanti indipendenti codice  
 GBC 00/0527-04

R 133, C 120 e C 121 opera il controllo sui toni medi.

Il controllo dei medi è un insieme di quello dei bassi e di quello degli alti, con la capacità ponte dei bassi (C 120) ed il condensatore sul cursore (C 121).

In effetti, se il controllo dei bassi è un filtro passa basso e il controllo degli alti è un filtro passa alto, il controllo

dei medi è una combinazione di entrambi pertanto è un filtro passa banda.

Le resistenze R 136 e R 154 assicurano la polarizzazione dell'ingresso negativo.

Il condensatore C 127, posto nel circuito di retroazione, serve ad evitare ritorni di tensione continua all'ingresso della rete di controllo, in quanto un ritorno di tensione varierebbe la polarizzazione dell'integrato rendendo instabile il guadagno dell'integrato medesimo con possibilità di distorsione e autooscillazioni indesiderate.

Inoltre questo condensatore, bloccando la corrente continua, evita le variazioni di tensione sui condensatori della rete di ingresso assicurando così una azione silenziosa dei potenziometri in quanto, sui medesimi, non si verificano variazioni di tensione che potrebbero causare degli "scricchiolii".

Le rete formata dalla resistenza R 135 e dal condensatore C 126 attenua le alte frequenze, garantendo la stabilità del circuito.

L'alimentazione dell'integrato avviene tramite la resistenza R 157 ed è disaccoppiata verso massa dal condensatore C 129.

Il condensatore C 142 preleva la tensione di BF così trattata e la trasferisce a due reti di filtri passivi.

Questi filtri servono per "ripulire" la riproduzione sonora da eventuali disturbi presenti.

I filtri in questione sono il filtro "RUMBLE" ed il filtro "SCRATCH", e sono realizzati in modo doppio onde poter trattare il segnale su entrambi i canali.

I commutatori usati, per questi controlli sono I 102a e I 102b.

Il filtro RUMBLE è un passo alto, ed è calcolato per alimentare le frequenze inferiori a 40 Hz., mentre lo SCRATCH è un filtro passa basso, ed è stato realizzato per tagliare le frequenze maggiori di 10 kHz.

Questi filtri hanno una attenuazione di 12 dB per ottava, permettendo perciò l'eliminazione delle frequenze parassite senza sacrificare i segnali immediatamente superiori od inferiori a quelli di taglio.

I filtri, pur essendo molti efficaci, hanno l'inconveniente di introduzione degli sfasamenti variabili in funzione della frequenza e di deformare un poco i segnali che li attraversano.

Pertanto vanno utilizzati solo quando sono veramente utili per "pulire" dei segnali provenienti da dischi o da nastri molto vecchi e rovinati.

Infine il segnale, dopo essere stato trattato nei vari stadi del circuito, arriva sull'uscita della piastra del pream-

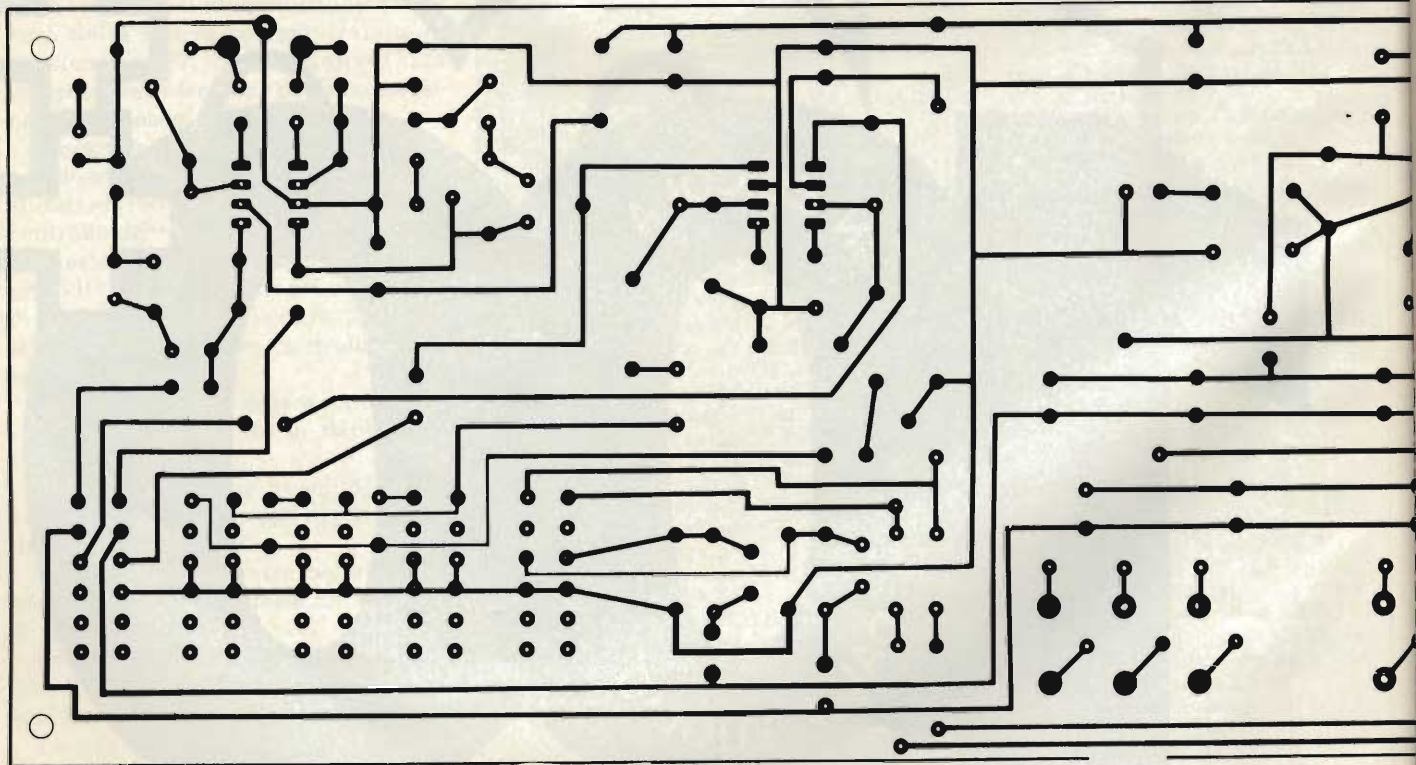


Fig. 6/a - Circuito stampato del preamplificatore visto dal lato rame in scala 1:1. N.B. Coloro che volessero

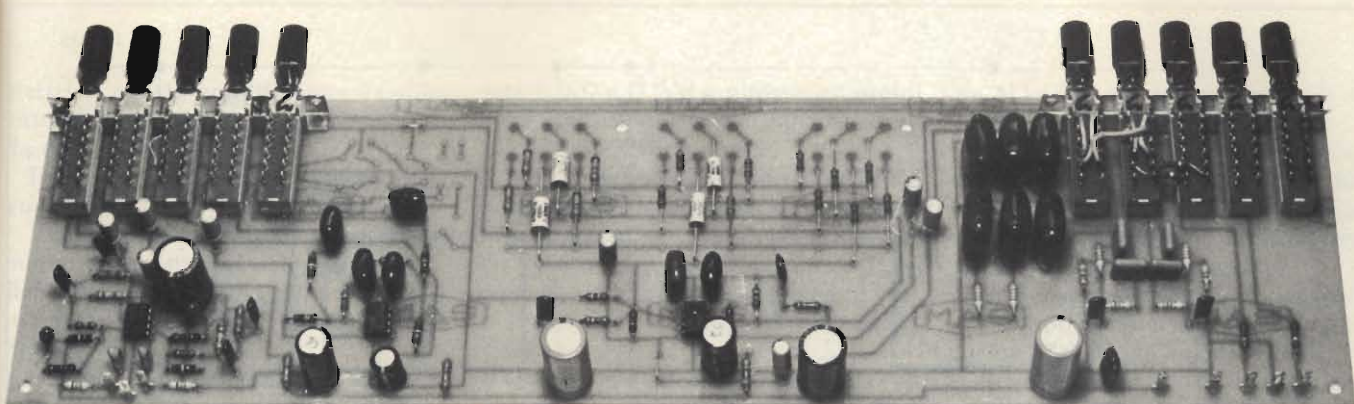


Foto scattata dopo aver terminato il montaggio della scheda PS 100.

plificatore.

Il commutatore I 102c, quando inserito, pone in parallelo i due canali stereo, rendendo l'uscita del preamplificatore mono.

Nel nostro preamplificatore è presente una uscita per registrare direttamente dal circuito preamplificatore.

È possibile, secondo la posizione del commutatore I 101e, prelevare il segnale da registrare a monte o a valle dei controlli di tono.

Abbiamo inserito questa doppia possibilità onde poter elaborare a piacimento il segnale audio da registrare, togliendo così eventuali imperfezioni in esso previsti.

Il livello di uscita è adattato alle norme DIN mediante delle reti resistive.

Queste reti resistive sono: R 120, R 121, R 122 e R 123 per il prelievo del segnale a monte dei circuiti correttori di tono e R 167, R 138 e R 124 per il segnale a valle del sistema correttore.

Sulla sbarra della tensione di alimentazione sono presenti dei condensatori elettrolitici di disaccoppiamento, questi condensatori sono C 153, C 130 e C 104.

Il condensatore C 152, in poliestere, elimina eventuali disturbi ad alta frequenza.

Tutto il circuito elettrico trova posto su un circuito stampato, realizzato in vetroresina, il cui disegno potrete trovarlo in *figura 6/a*. In *figura 6* troverete anche la disposizione dei componenti sul medesimo.

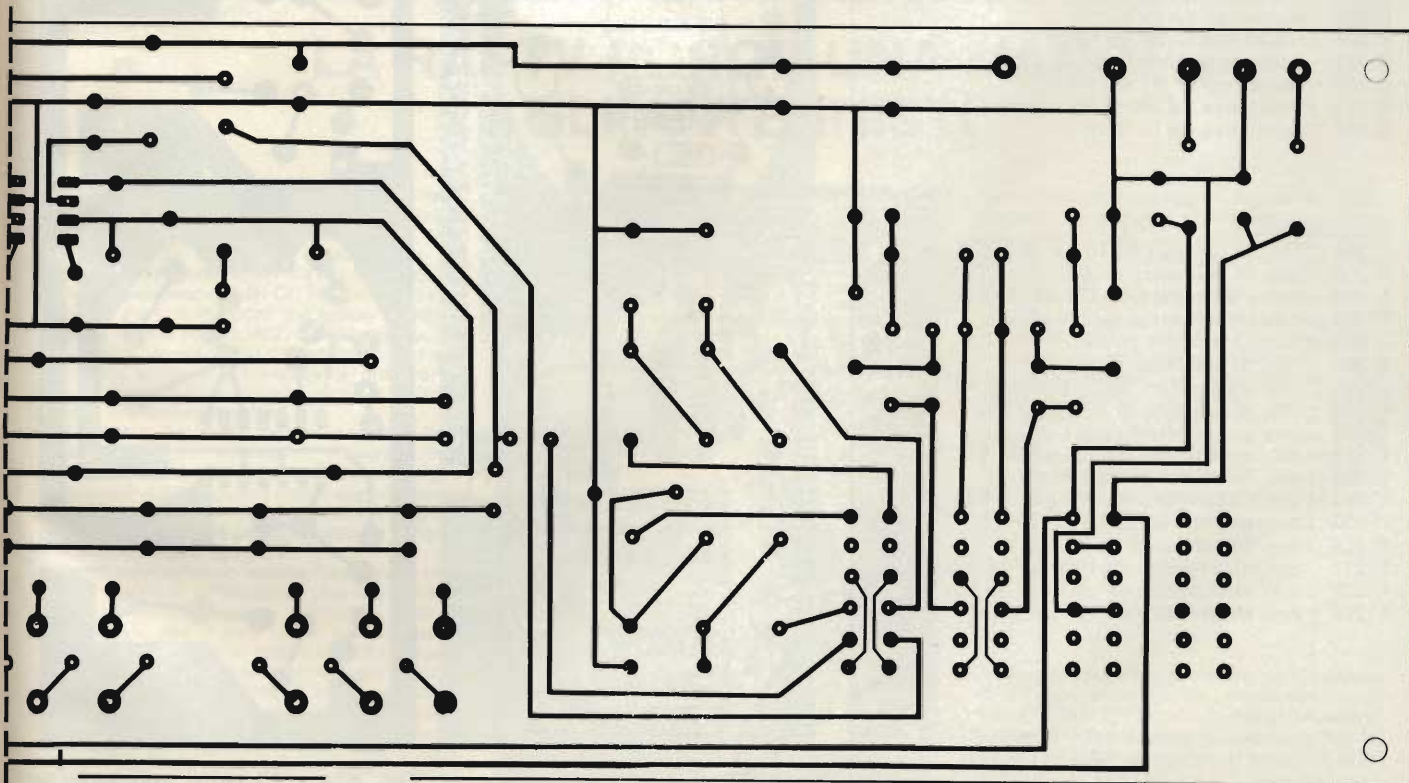
I condensatori C 119, C 120, C 131 e C 132 non sono montati sulla piastra bensì direttamente sui terminali dei potenziometri.

Nell'eseguire il montaggio di questo stampato va posta particolare cura nell'effettuare le saldature sui vari componenti che presentano i pin di collegamento molto vicini, commutatori a pulsante, integrati e sbarre di controllo tono.

Ricordandovi che tutto il circuito del preamplificatore è doppio, passiamo ora a descrivere l'amplificatore stereofonico di potenza.

### Amplificatore stereo

Come potete vedere dallo schema



realizzare questo circuito stampato, taglino e uniscano con del nastro adesivo trasparente i lembi tratteggiati.

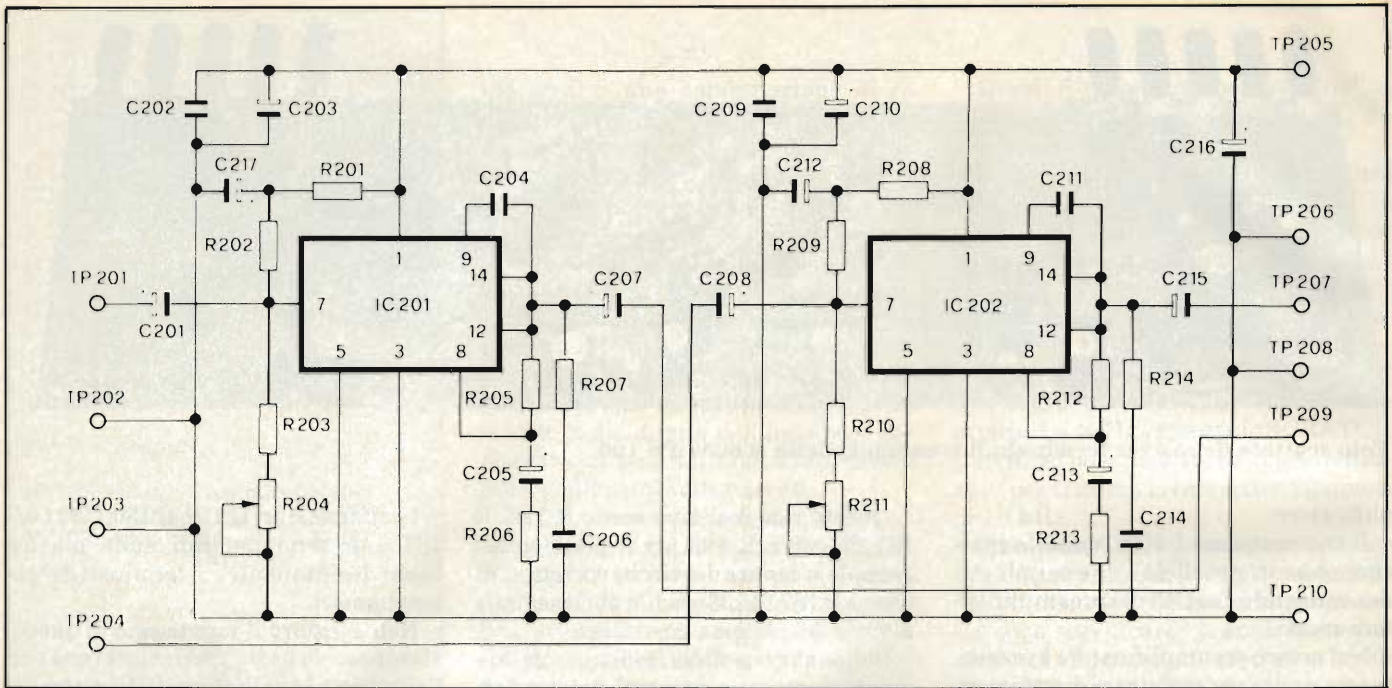


Fig. 7 - Schema elettrico dell'amplificatore di potenza stereo denominato scheda SA 200.

**Componenti relativi al circuito dell'amplificatore stereofonico SA 200**

*Resistenze*

- R 201 : resistenza da 22 k $\Omega$  5%
- R 202 : resistenza da 82 k $\Omega$  5%
- R 203 : resistenza da 82 k $\Omega$  5%
- R 204 : trimmer miniatura da 47 k $\Omega$
- R 205 : resistenza da 47 k $\Omega$  5%
- R 206 : resistenza da 560  $\Omega$  5%
- R 207 : resistenza da 10  $\Omega$  5%
- R 208 : resistenza da 22 k $\Omega$  5%
- R 209 : resistenza da 82 k $\Omega$  5%
- R 210 : resistenza da 82 k $\Omega$  5%
- R 211 : trimmer miniatura da 47 k $\Omega$
- R 212 : resistenza da 47 k $\Omega$  5%
- R 213 : resistenza da 560  $\Omega$  5%
- R 214 : resistenza da 10  $\Omega$  5%

*Condensatori*

- C 201 : con. al tantalio da 10  $\mu$ F 35 VL
- C 202 : con. in poliestere da 0,1  $\mu$ F
- C 203 : con. elettrolitico da 470  $\mu$ F 35 VL
- C 204 : con. in poliestere da 100 pF
- C 205 : con. al tantalio da 10  $\mu$ F 35 VL
- C 206 : con. in poliestere da 0,1  $\mu$ F
- C 207 : con. elettrolitico da 1000  $\mu$ F 16 VL
- C 208 : con. al tantalio da 10  $\mu$ F 35 VL
- C 209 : con. in poliestere da 0,1  $\mu$ F
- C 210 : con. elettrolitico da 470  $\mu$ F 35 VL
- C 211 : con. in poliestere da 100 pF
- C 212 : con. elettrolitico da 100  $\mu$ F 35 VL
- C 213 : con. al tantalio da 10  $\mu$ F 35 VL
- C 214 : con. in poliestere da 0,1  $\mu$ F
- C 215 : con. elettrolitico da 1000  $\mu$ F 16 VL
- C 216 : con. elettrolitico da 2200  $\mu$ F 35 VL
- C 217 : con. elettrolitico da 100  $\mu$ F 35 VL

*Semiconduttori*

- IC 201 : circuito integrato SGS TDA 2020
- IC 202 : circuito integrato SGS TDA 2020

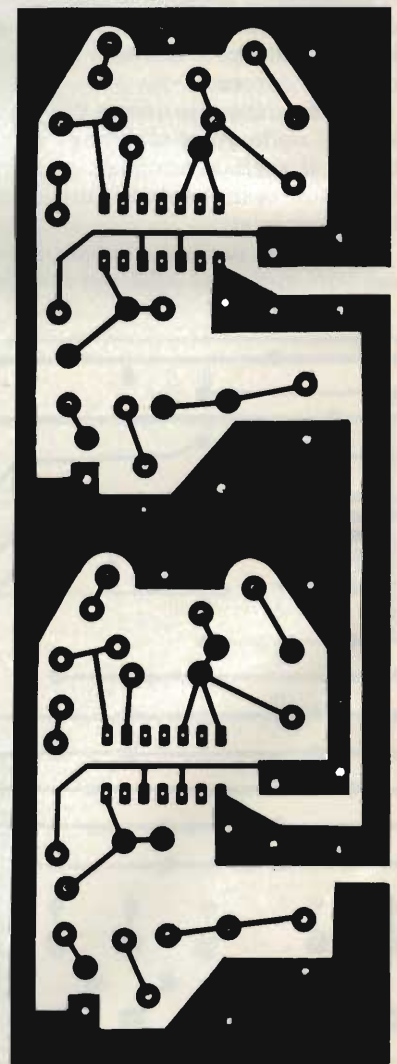
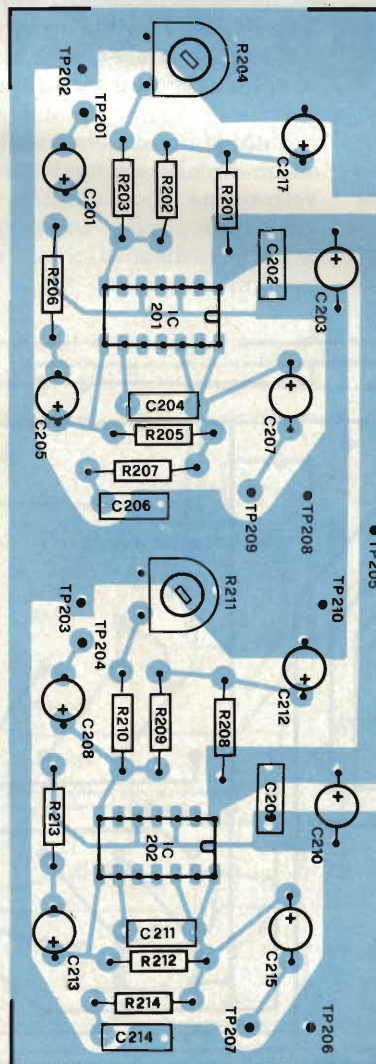


Fig. 8 - Disposizione dei componenti sul circuito stampato per la realizzazione dell'amplificatore.

Fig. 8/a - Circuito stampato in scala 1:1 dell'amplificatore stereofonico.

elettrico, questo amplificatore è realizzato da due circuiti identici composti da due integrati.

Il circuito in questione si trova in figura 7.

Vediamo in dettaglio il funzionamento di una sezione del nostro amplificatore prendendo in esame il circuito integrato IC 201 ed i relativi componenti.

Il segnale audio, tramite il condensatore C 201, entra nel pin 7 dell'integrato.

Il partitore di tensione composto dalle resistenze R 201, R 202, R 203 e dal trimmer R 204 servono a fornire la giusta polarizzazione all'ingresso dell'amplificatore.

Tale polarizzazione serve ad ottimizzare la distorsione di crossover dello stadio finale dell'integrato.

La controreazione alle alte frequenze è assicurata dal condensatore C 204.

La resistenza R 205 determina il guadagno dell'amplificatore, mentre la rete composta dal condensatore C 205 e dalla resistenza R 206 limita il guadagno alle alte frequenze.

Il nostro segnale, applicato all'ingresso, lo ritroviamo amplificato all'uscita, pin 12 e 14, dell'integrato.

Il condensatore, C 207, trasferisce questo segnale al sistema diffusore. La

rete R 207 e C 206 sopprime eventuali autooscillazioni causate dalla risonanza del circuito di uscita.

Sull'alimentazione della scheda sono presenti due condensatori elettrolitici e due condensatori in poliestere, posti nelle immediate vicinanze degli integrati, per eliminare eventuali disturbi presenti sulla linea di alimentazione stessa.

Questo circuito è tutto realizzato su un unico circuito stampato, il cui disegno si trova in figura 8/a.

Dalla disposizione dei componenti sulla piastra (figura 8) si può vedere che il condensatore C 216 non è posto sulla piastra, ma è saldato su due colonnette isolanti fissate direttamente sul telaio di supporto della scheda.

È stato aggiunto per aumentare la separazione dei canali in quanto, sul prototipo, la capacità dei condensatori C 203 e C 210 era risultata insufficiente per avere un buon disaccoppiamento delle alimentazioni.

Durante il funzionamento, questi integrati producono molto calore che deve essere disperso da un dissipatore di grandi dimensioni.

Noi abbiamo realizzato questo dissipatore con due parallelepipedi di alluminio aventi le seguenti dimensioni: 26 x 20 x 7 mm. fissati mediante delle viti

da M3 ad una piastra, sempre di alluminio di 175 x 70 x 4 mm.

Il suddetto dissipatore è tenuto in posizione da 5 distanziatori alti 30 mm.

I parallelepipedi sono a loro volta incollati, mediante adesivo cianoacrilico, al "case" degli integrati.

In questo modo abbiamo realizzato un semplicissimo, quanto efficace sistema di dissipazione del calore.

Ricordatevi di non far mai funzionare questo circuito senza il dissipatore in quanto si avrebbe la distruzione quasi istantanea degli integrati per troppo calore.

È possibile, durante la taratura, far funzionare l'amplificatore con i soli parallelepipedi, senza la piastra di dissipazione, ricordatevi, però, di non far assolutamente funzionare ad alto livello l'amplificatore, in quanto i soli parallelepipedi non sono sufficienti per dissipare il calore prodotto.

Le parti finora descritte possono costituire un buon amplificatore stereo, ora terminiamo la prima parte della descrizione rimandando il lettore al prossimo numero nel quale verranno prese in considerazione le schede "optional" del telecomando e dell'amplificatore mono.

(continua)

## LA RAI-TV PORGE UNA MANO AGLI ANTENNISTI

Abbiamo assistito, venerdì mattina 4 giugno, all'anteprima del Corso Antennisti presso la sede RAI di Corso Sempione a Milano.

Preceduta da una breve presentazione del Direttore della sede di Milano Ing. Mattucci e da varie considerazioni del Dr. Scarnera e del Dr. Panfili sulle motivazioni che hanno indotto la RAI a questa opportunità, è stata proiettata la sintesi di un elaborato che spazia, con mano leggera e forma piacevolmente didascalica, dalla legge di Coulomb alle norme di collaudo degli impianti centralizzati TV.

Gli invitati, per lo più tecnici impiantisti lombardi, sono poi intervenuti, sollecitati dagli stessi funzionari RAI, esponendo il proprio giudizio sull'utilità di questo tipo di aggiornamento professionale che è completato dall'omaggio di un volumetto di 125 pagine, riportante integralmente la materia del Corso.

Da quanto abbiamo sentito, unanime è stata l'approvazione all'iniziativa, che vuole essere anche manifestazione di gratitudine verso gli antennisti, per la loro tacita collaborazione. Inevitabilmente e non poteva essere altrimenti, le osservazioni di parecchi convenuti hanno toccato il "punctum dolens" attuale: l'indiscriminata proliferazione delle TV libere, in assenza di quella regolamentazione sistematicamente promessa dai governanti di turno e mai attuata. È facile verificare che il danno conseguente a una situazione così anomala si ripercuote parti-



colamente sull'installatore e sull'utente. Infatti, pur potendo disporre, oggi, di una vasta scelta di stazioni TV, per contro è difficilissimo realizzare impianti che diano garanzia di funzionamento stabile.

Da qualche installatore è stata avanzata la proposta di attuare una forma di boicottaggio nei riguardi di quelle emittenti che, sollecitate dalle Associazioni artigiane, non ottemperino a norme di trasmissione perfettamente ortodosse. È indubbio che l'apporto degli installatori antennisti a questa causa potrà essere determinante solo se verranno attuate intese comuni sulla base di una ben radicata etica professionale. Sotto questo profilo noi riteniamo che l'iniziativa RAI si dimostrerà utile in ogni senso.

Prima di copertina del volumetto che la RAI darà in omaggio a coloro che parteciperanno al Corso. Sono 125 pagine di piacevole lettura, corredate di tabelle e grafici, nelle quali è presentato in modo succinto ma completo tutto quello che un buon installatore di antenne deve sapere.

# SELEZIONE DI TECNICA

## RADIO TV HIFI ELETTRONICA

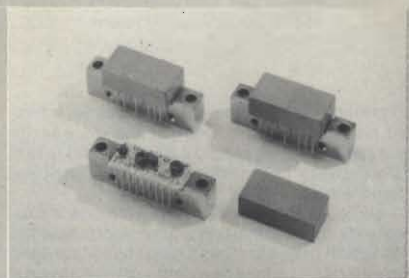
### Amplificatori per CATV 40-440 MHz

I moduli BGY74/75 della Philips lavorano nella banda di frequenze compresa tra 40 e 440 MHz; sono quindi amplificatori a larga banda per l'impiego di CATV. Entro tutta questa banda questi dispositivi danno un guadagno di potenza di 17 dB.

Il BGY74 è un preamplificatore che dà una tensione di uscita di 62,5 dBV e un rapporto segnale/rumore superiore a 6 dB. Il BGY75 è invece un amplificatore finale capace di dare una tensione di uscita di 65 dBmV e un rapporto segnale/rumore superiore a 7 dB.

Per ridurre al minimo la distorsione di secondo ordine, fenomeni di non-linearità e il rumore, entrambi i dispositivi impiegano un circuito cascode push-pull. L'impedenza di ingresso e di carico è 75 Ω. I due moduli possono essere impiegati come amplificatori di tratta e amplificatori distributori in sistemi CATV di qualità.

**PHILIPS**  
P.za IV Novembre, 3  
Milano

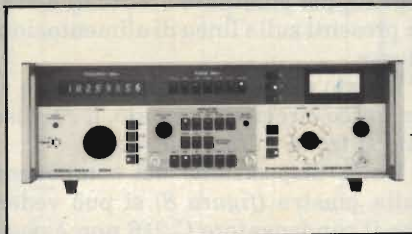


Amplificatori di qualità per CATV nella banda da 40 a 440 MHz.

### Generatore di segnali sintetizzati

Il Racal-Dana 9084 Synthesuzed Signal Generator, con il suo range di frequenza da 10 KHz a 104 MHz, copre l'intera banda radio HF, comprese le alte frequenze IF, e offre anche la capacità di funzionare in aree specializzate LF e VHF a bassa banda.

Programmabile mediante GPIB, è



Sintetizzatore con range di frequenza da 10 kHz a 104 MHz.

tanto semplice da usare che è praticamente impossibile commettere errori.

La selezione della frequenza di uscita, grazie ad un display a LED a 8 digit, è rapidissima, pur fornendo una risoluzione di 1 Hz fino a 10 MHz e di 10 Hz fino a 104 MHz. Inoltre questo sintetizzatore ha il segnale di uscita agganciato in fase ad un cristallo incorporato o a un segnale esterno, sia nel caso di modulazione FM che AM, consentendo di avere una precisione di 5 parti su 10<sup>10</sup>. Notevoli sono anche la purezza spettrale e la riduzione delle perdite RF.

Nel 9084 il livello di uscita può variare in un range di 149 dB, da 0,07 μV a 2 V su 50 Ω.

**AD INSTRUMENTS**  
Via J. Palma, 1  
Milano

### Interfonico per moto ed auto da rally

L'UK 826 - 826 W della AMTRON è un sistema interfonico che consente la libera conservazione tra il pilota e il passeggero. È costituito da una unità trasmittente e da una ricevente ben distinte e separate tra loro.



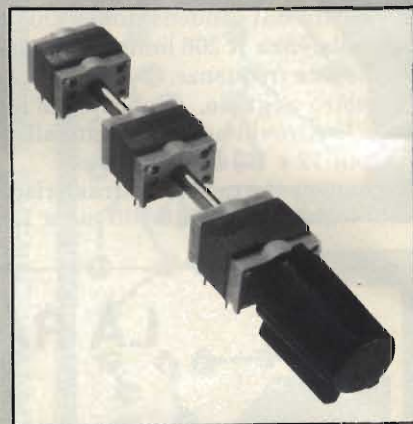
Interfonico per rally per parlare e trasmettere contemporaneamente.

La prerogativa principale di tale sistema è quella di poter parlare ed ascoltare contemporaneamente senza l'ausilio di commutazioni.

Corredato di microfoni e altoparlanti per l'inserzione nei caschi, offre la possibilità di inserzione di una batteria ricaricabile per rendere l'apparecchiatura indipendente dall'alimentazione della moto.

L'interfonico necessita di un'alimentazione a 12 Vcc con assorbimento a riposo di 18 mA.

**GBC ITALIANA**  
V.le Matteotti, 66  
Cinisello B. (MI)



### Commutatori rotanti per C.S.

Il MIL prodotto dalla ITT è un commutatore rotante per circuito stampato con passo di 2,54 mm e dimensioni di 17,78 x 17,78 x 12 mm. I moduli di base possono essere associati sia in linea (fino a 5), sia ad angolo (fino a 3), sia con dei moduli fissi ed altri calettati sull'asse, sia con altri tipi di allineamento.

Le possibilità di codificazioni elettriche sono numerose da 1 a 4 circuiti, e da 2 a 12 posizioni. Il codice binario può essere realizzato con 3 moduli ed è possibile il sistema a comando doppio. Il commutatore è completamente stagno e può subire senza danno la saldatura ad onda.

**ITT STANDARD**  
Via XXV Aprile  
S. Donato M. (MI)



## Controller per floppy disk in standard minimicro, con DOS per 6502

La COMPUTERJOB ELETTRONICA amplia la gamma di schede "Minimicro" con un nuovo prodotto appositamente studiato per i sistemi SYM ed AIM e, in genere per computers la cui CPU sia una 6502 (ed in seguito una 6809).

La scheda "MINIMICRO FLOPPY DISK CONTROLLER (FDC)", è del formato singolo-Euro, compatibile con BUS MINIMICRO, e permette all'utente di collegare al sistema e controllare adeguatamente da uno a quattro driver per dischi flessibili, da 5"1/4 o da 8".

In tale modo l'utente potrà espandere vistosamente le capacità di memorizzazione di massa del suo sistema, includendo nuove possibilità nella raccolta di dati utilizzando la FDC in apparecchiature automatiche a sè stanti. L'uso della scheda è assai semplificato grazie ad un "package" di routines (Disk Operating System - DOS) fornite assieme alla stessa scheda FDC.

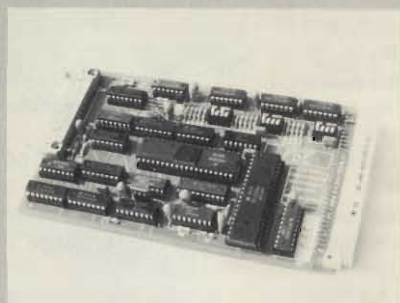
Non solo, ma viene fornito un dischetto "di sistema" per l'uso della FDC in computers basati sui SYM e sull'AIM (eventualmente anche sul KIM). In tale caso il DOS è specificatamente studiato per "cooperare" con il firmware (Monitor, Assembler/Editor, BASIC) del sistema sul quale la FDC sia montata, concatenandosi con esso in modo da aggiungere fisicamente tutti i nuovi potenti comandi dei dischi agli esistenti comandi.

La scheda è stata progettata in modo da risultare molto affidabile e di costo contenuto: essa opera in singola/doppia faccia, singola densità, con driver da 5"1/4 o da 8", dei tipi standard esistenti sul mercato.

Il DOS, nell'uso con i sistemi SYM o AIM, risiede in RAM lavorando in modo automodificante, si da occupare una estensione di memoria molto contenuta pur rendendo disponibile una lunga lista di comandi ed utility varie. Il caricamento è effettuato in maniera rapida e semplice con una breve routine di "bootstrap".

Una volta caricato, il DOS aggiunge una serie di comandi dei quali qui di seguito è data una lista parziale: LOAD, DELETE, ENTER, LIST, INDEX, PACK DISK, FORMAT DISK, LOAD & RUN, COPY TO ANOTHER DISK, RE-NAME FILE, READDRESS FILE, EXEC BYNARY FILE, etc.

Una serie di comandi è pure disponibile in ambienti di RAE e BASIC, ed in quest'ultimo caso sono automaticamente agganciate le routines trigono-



Controller per floppy disk in standard minimicro, con DOS per 6502

metriche e viene reso possibile il lavoro su file binari, o di dati, con il loro save e load dedicato. È reso anche possibile il chaining e l'append.

Nel caso del SYM e dell'AIM è inoltre possibile assemblare da disco lunghi blocchi di sorgente, blocco dopo blocco, semplificando notevolmente la messa a punto di complessi programmi.

In definitiva, la scheda Floppy Disk Controller della COMPUTERJOB ben si presta all'uso in sistemi di sviluppo per software industriale, là ove l'utente abbia necessità di semplificare in modo decisivo le operazioni di save/load di grossi files, senza però essere obbligato ad un pesante investimento di denaro. Infatti un sistema di sviluppo - ad esempio basato su di un SYM - diviene, con la FDC, competitivo nei confronti di sistemi di sviluppo custom, di certo assai più costosi.

**COMPUTERJOB ELETTRONICA**  
Ing. Paolo Bozzola  
Via A. Molinari, 20 - Tel. (030) 54878  
25124 BRESCIA

## Generatore di monoscopio

Il generatore di monoscopio TV PM 5519 della Philips è disponibile in versioni differenti per i vari sistemi televisivi.

Ora è disponibile una versione anche per TV a colori incorporante funzioni stereofoniche.

Il PM 5519 GX si basa sul modello CCIR/PAL PM 5519 G, con alcune importanti funzioni addizionali nel dominio del suono.

Esso comprende due diverse portanti acustiche, una di 5,5 MHz e l'altra di 5,74182 MHz, conformi agli standard internazionali. Il generatore di monoscopio offre segnali di prova audio interni che possono essere usati in modo mono e stereo. Vi sono anche funzioni di completa modulazione stereo esterna per registratori a nastro o a cassette o per giradischi.

Inoltre il PM 5519 GX genera un tono pilota standard a 54.6875 KHz, che può essere modulato con una o due frequenze di riconoscimento, derivate dalla frequenza di linea, a 274,1 Hz (indicante la presenza del secondo canale audio) o a 117,5 Hz (per la funzione stereo).

**PHILIPS**  
V.le Elvezia, 2  
Monza

## Interruttore subminiatura di precisione

Il modello SLOAN 401 è stato particolarmente studiato per soddisfare l'esigenza di un'alta affidabilità quale quella che si richiude nel campo aeronautico e industriale.

Lo scatto del pulsante è chiaramente percettibile sia al tatto che all'udito e la durata prevista è superiore al milione di manovre. Le dimensioni ridotte e il basso profilo, oltre alla configurazione DIP compatibile, lo rendono particolarmente adatto per il montaggio su schede a circuito stampato.

La resistenza di contatto è inferiore a 10 mΩ e la resistenza di isolamento è superiore a 10.000 MΩ, con un isolamento dielettrico di 500 Veff.

L'interruttore, che è conforme alle specifiche MIL S 3786, può funzionare nel range di temperatura da -25 a +100°C.

**SLOAN**  
Birmannsgasse, 8  
CH-4009 Basel (Svizzera)

## Amplificatore operazionale da 400 V/μs

L'HA-2540 della Matra-Harris Semiconducteurs è un amplificatore operazionale monolitico estremamente veloce che offre uno slew rate di 400 V/μs e un prodotto guadagno-larghezza di banda di 400 MHz con uno swing dell'uscita di ± 10 V. La banda passante in potenza è di 6,4 MHz e il tempo di assestamento allo 0,1%/10V è 125 ns.

L'HA-2540 permette l'utilizzazione di alimentazioni che vanno da ± 5V a ± 15 V.

L'amplificatore è disponibile in package ceramico per le gamme di temperatura militare e civile.

**MHS**  
BP 942  
44075 Nantes cedex (Francia)

# NUOVI PRODOTTI

## Transistor di potenza da 650 V

La RCA Solid State Division ha reso disponibile una serie di transistor switching Switchmax npn caratterizzati da una tensione di breakdown che va da 450 a 650 V.

I tipi 2N6774, 2N6775 e 2N6776 sono adatti a portare una corrente di collettore di 15 A e hanno incorporato un diodo di commutazione e un resistore base-emettitore, il tutto in un single chip monolitico. È evidente che ciò riduce il numero dei componenti esterni impiegati e lo spazio impegnato sulla scheda.

I transistor sono disponibili in package ermetico TO-204MA, conforme al JEDEC TO 3.

RCA  
P.za San Marco, 1  
Milano

## Relè miniatura da 60 VA

Il più piccolo dei relè miniatura della famiglia W 11 della Siemens ha un contatto invertitore e occupa un volume di

soli 1,78 cm<sup>3</sup>. Si tratta di relè non polarizzati, monostabili, disponibili anche con due contatti invertitori (2,66 cm<sup>3</sup> di volume), adatti per il montaggio sulle schede a circuito stampato.

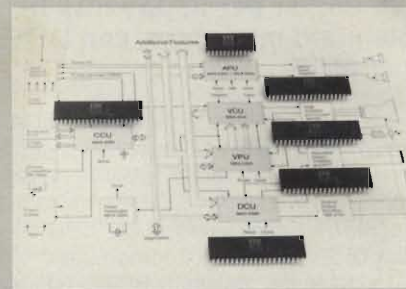
Il loro potere di commutazione è di 60 VA o 28 W; a seconda del campo di applicazione, i contatti possono essere in argento placcati d'oro o in una lega di argento/palladio con placcatura in oro.

La tensione di commutazione nominale dei modelli W 11 è 28 Vcc o 120 Vca, la corrente di commutazione nominale è 1 A. Inoltre il tipo standard può funzionare con una temperatura ambiente fino a 50°C, ma può sopportare anche temperature di 70°C.

SIEMENS ELETTRA  
Via F. Filzi, 25/A  
Milano

## Sistema TV digitale

Il sistema di elaborazione dei segnali TV presentato dalla ITT Semiconductors, formato da pochi circuiti VLSI e da un piccolo numero di componenti addizionali, sostituisce le centinaia di com-



Sistema digitale per l'elaborazione dei segnali TV.

ponenti finora necessari.

I vantaggi di questo sistema sono: numero ridotto di componenti, soppressione degli effetti dovuti alla tolleranza, alla deriva e all'invecchiamento, adattabilità dei VLSI e possibilità di effettuare l'allineamento mediante computer durante la produzione, possibilità di avere due canali per lo stereo o l'audio bilingue, compatibilità con tutti gli standard NTSC, PAL e SECAM e possibilità di programmazione differenziata.

ITT STANDARD  
Via XXV Aprile  
San Donato M. (MI)

SE-7/8-82

Tagliando ordine libri da inviare a:  
JCE - Via dei Lavoratori, 124 - 20092 Cinisello Balsamo (MI)

Nome Cognome \_\_\_\_\_

Indirizzo \_\_\_\_\_

Cap. \_\_\_\_\_ Città \_\_\_\_\_

Codice Fiscale (indispensabile per le aziende) \_\_\_\_\_

Inviatemi i seguenti libri:

Pagherò al postino il prezzo indicato nella vostra offerta speciale + L. 1.500 per contributo fisso spese di spedizione

Allego assegno n° \_\_\_\_\_ di L. \_\_\_\_\_  
(in questo caso la spedizione è gratuita)

Codice Libro	Quantità	Codice Libro	Quantità	Codice Libro	Quantità

Non abbonato  Abbonato

N.B. È possibile effettuare versamenti anche sul ccp n° 315275 intestato a JCE via dei Lavoratori, 124 20092 Cinisello B. In questo caso specificare nell'apposito spazio sul modulo di ccp la causale del versamento e non inviare questo tagliando.

SE-7/8-82

Tagliando ordine abbonamenti riviste da inviare a:  
JCE - Via dei Lavoratori, 124 - 20092 Cinisello Balsamo (MI)

Desidero sottoscrivere un abbonamento alla proposta n° \_\_\_\_\_

L'abbonamento dovrà decorrere dal mese di \_\_\_\_\_

Nome Cognome \_\_\_\_\_

Indirizzo \_\_\_\_\_

Cap. \_\_\_\_\_ Città \_\_\_\_\_

Codice Fiscale (indispensabile per le aziende) \_\_\_\_\_

Pagherò al postino il prezzo indicato al ricevimento del 1° fascicolo

Allego assegno n° \_\_\_\_\_ di L. \_\_\_\_\_

Pagherò al ricevimento della vostra fattura (formula riservata alle sole aziende)

Data \_\_\_\_\_ Firma \_\_\_\_\_

N.B. È possibile effettuare versamenti anche sul ccp n° 315275 intestato a JCE via dei Lavoratori, 124 20092 Cinisello B. In questo caso specificare nell'apposito spazio sul modulo di ccp la causale del versamento e non inviare questo tagliando.

**Quando una pila invece di Superpila?  
Quando dalle pulci nasceranno i pulcini.**



**c'è pila..  
e c'è Superpila**



**Superpila  
la potente  
che dura  
nel tempo**

# EVOLUZIONE ALAN

**NOVITÀ  
CON VOICE  
SCRAMBLER\***



## ALAN CX 450 + VOICE SCRAMBLER

N. canali: 480+480 [(120+120 AM)  
+(120+120 FM)+(120+120 (USB/LSB))]  
Gamma di frequenza: 26,515 ÷ 27,855 MHz  
Spostamento del clarifier: ±800 Hz  
Delta tuning: ±5 KHz  
Modo di trasmissione: AM/FM/USB/LSB  
Potenza d'uscita: 4 W AM/12 W FM/12 W SSB  
Sensibilità di ricezione: 1 µV AM / 1 µV FM / 0,5 µV SSB  
Tensione d'alimentazione: 13,8 Vcc  
Impedenza d'antenna: 50 Ω

## ALAN CX 550 + VOICE SCRAMBLER

N. canali: 800+800 [(200+200 AM)+(200+200 FM)+(200+200 (USB/LSB))]  
Gamma di frequenza: 25,965 ÷ 28,005 MHz  
Spostamento del comando coarse tune: ±5 KHz  
Spostamento del comando fine tune: ±800 Hz  
Modo di trasmissione: AM/FM/USB/LSB/CW  
Sensibilità di ricezione: 1 µV AM / 1 µV FM / 0,5 µV SSB  
Tensione d'alimentazione: 13,8 Vcc  
Impedenza d'antenna: 50 Ω

Potenza d'uscita:

	High	Mid	Low
SSB/CW	12 W	8 W	2 W
AM	7,5 W	4 W	1 W
FM	10 W	7 W	2 W

\* Il Voice Scrambler rende segrete le conversazioni con qualsiasi tipo di modulazione, AM/FM/USB/LSB. Può essere attivato o disattivato a piacere, tramite un semplice interruttore.